

BOTANIKOS INSTITUTAS

Rūtilė Pukienė

PUŠYNŲ AUGIMO DINAMIKA UŽPELKIJŲ TYRELIO  
AUKŠTAPELKĖJE SUBATLANČIO LAIKOTARPIU

Daktaro disertacija

Gamtos mokslai, biologija, (botanika) (2B)

Vilnius, 1997

Darbas atliktas 1986 - 1996 m. Vytauto Didžiojo Universiteto Kauno Botanikos sodo  
Dendroklimatochronologijos laboratorijoje

Doktorantūros teisė suteikta kartu su Vilniaus Universitetu 1992 10 07 Lietuvos  
Respublikos Vyriausybės nutarimu Nr. 739

Disertacija ginama eksternu

Doktorantūros komitetas:

pirmininkas:

dr. Romas PAKALNIS (Botanikos institutas, gamtos mokslai, biologija  
(botanika), 2B);

nariai:

habil. dr. Teodoras BITVINSKAS (Vytauto Didžiojo universitetas, gamtos  
mokslai, biologija (botanika), 2B);

prof. habil.dr. Jūratė BALEVIČIENĖ (Botanikos institutas, gamtos mokslai,  
biologija (botanika), 2B);

prof. dr. Dieter ECKSTEIN (Hamburgo universitetas (Vokietija), gamtos  
mokslai, biologija (ekologija), 2B);

prof. habil. dr. Meilutė KABALIENĖ (Vilniaus universitetas, gamtos mokslai,  
geologija ir mineralogija, 2E).

INSTITUTE OF BOTANY

Rūtilė Pukienė

PINEWOOD GROWTH DYNAMICS IN UŽPELKIJŲ TYRELIS  
OLIGOTROPHIC BOG DURING THE SUBATLANTIC  
PERIOD

Doctoral dissertation

Natural sciences: biology (botany), 2B

Vilnius, 1997

The research has been accomplished at the Laboratory of Dendroclimachronology,  
Kaunas Botanical Gardens, Vytautas Magnus University, Kaunas, Lithuania.

The right to doctoral studies is qualified together with Vilnius University by decision  
No 739 of the Government of Lithuanian Republic in 07 10 1992

The dissertation is defended in external order.

Doctoral Committee:

Chairman of the Committee:

Dr. Romas PAKALNIS - Institute of Botany, natural sciences, biology (botany);

Members:

Dr. habil. Teodoras BITVINSKAS - Universitas Vytauti Magni, natural sciences,  
biology (botany);

Prof. Dr. habil. Jūratė BALEVIČIENĖ - Institute of Botany, natural sciences,  
biology (botany);

Prof. Dr. Dieter ECKSTEIN - Hamburg University, natural sciences, biology  
(ecology);

Prof. Dr. habil. Meilutė KABAILIENĖ - Vilnius University, natural sciences  
geology and mineralogy.

## TURINYS

0. Ižanga	3
1. Medžių radialinio priaugio tyrimų panaudojimas ekologinių sėlygų dinamikai išaiškinti	8
1.1. Metinio radialinio priaugio serijų synchronizacijos metodas kaip ilgalaikių priaugio chronologijų sudarymo principas	9
1.2. Klimatinių ir kitų ekologinių veiksnių rekonstrukcija dendrochronologiniais metodais	13
1.2.1. Kiekybinės rekonstrukcijos Šiaurės Amerikoje	13
1.2.2. Dendroklimatiniai ir dendroekologiniai tyrimai Europoje	15
1.2.3. Istorinė palaidotų (subfosilinių) medžių informacija	18
2. Aukštapelkės - informacijos apie praeities gamtinės aplinkos pokyčius šaltinis	20
2.1. Bendros žinios apie Lietuvos pelkių formavimąsi	20
2.2. Aukštapelkinės augalų bendrijos	22
2.3. <i>Pinus sylvestris</i> L. ypatybės pelkinėse augimvietėse	24
3. Tyrimų objektas ir medžiaga	26
3.1. Užpelkių Tyrelio durpyno raida, remiantis durpių bei žiedadulkių analize	26
3.2. Durpėse užsikonseravusios subfosilinės <i>Pinus sylvestris</i> medienos pavyzdžiai	32
3.3. Aukštapelkiniai paprastosios pušies dabar augančių medžių dendrochronologiniai tyrimų bareliai	37
3.4. Meteorologiniai duomenys	40
4. Tyrimų metodika	41
4.1. Kameraliniai darbai	41
4.2. Dendrochronologiniai medžių priaugio synchronizavimo metodai	42
4.2.1. Matematiniai synchronizavimo metodai	42
4.2.2. Vizualiniai synchronizavimo metodai	45
4.3. Radioanglies datų kalibravimas	47
4.4. Egzogeninių priaugio dinamiką lemiančių veiksnių nustatymo metodai	49
4.4.1. Chronologijų standartizavimas	49
4.4.2. Koreliacinė ir regresinė analizė	50
4.4.3. Variacijos pirminių komponentų analizė	53
5. Pušynų išplitimo fazės Užpelkių Tyrelio aukštapelkėje subatlančio laikotarpiu	55
5.1. Aukštapelkinių augimviečių pušies metinio radialinio priaugio serijų synchronizavimo ypatybės	55

5.2. Užpelkių Tyrelio aukštapelkės durpėse užsikonservavusių medžių radialinio prieaugio serijų sinchronizavimas ir ilgalaikių prieaugio chronologijų sudarymas	64
6. Aukštapelkinių augimviečių <i>Pinus sylvestris</i> radialinio prieaugio priklausomybės nuo klimatinių veiksnių analizė	81
6.1. Medžių vidutinių radialinio prieaugio chronologijų koreliacija su klimatiniais rodikliais.	81
6.2. Informacija iš medžių prieaugio variacijos pirminių komponentų amplitudžių chronologijų	93
6.3. Rekonstruotų praeities pušynų radialinio prieaugio chronologijų panaudojimo klimatinių rodiklių atstatymui galimybės	104
7. Pušynų augimo Užpelkių Tyrelio aukštapelkėje dinamika - ekologinių sąlygų kaitos subatlančio laikotarpiu rodiklis	107
8. Išvados	115
Literatūra	117
List of figures (paveikslų pavadinimai anglų kalba)	133
<b>DISERTACIJOS PRIEDAI</b>	

## 0. IŽANGA

Žmogaus ūkinė veikla ir ekonominis gyvenimas neatsiejami nuo gamtinės aplinkos bei klimato sąlygų. Racionaliam gamtinių išteklių naudojimui ir sėkmingam aplinkosauginės politikos formavimui būtini duomenys ne tik apie dabartinės augalijos sudėtį, augalų rūšių produktyvumą, bendrijų funkcionavimą, bet ir apie jų kaitos procesus. Be antropogeninių ir endoekogeninių (Шенников, 1964) sukcesijų, ilgalaikiu požiūriu reikšminga ir natūrali egzoekogenetinė, tame tarpe ir klimatogeninė fitocenozių kaita. Augalijos klimatogeninės kaitos dėsningumų tyrimai ypač svarbūs, turint omenyje prognozuojamus pokyčius klimate. Iš kitos pusės, duomenys apie augalijos sudėties, atskirų rūšių produktyvumo dinamiką padeda rekonstruoti ekologinių sąlygų bei klimatinės rodiklių fluktuacijas praeityje ir taip geriau pažinti pačios klimatinės sistemos funkcionavimą.

Augalijos kaitos procesai yra ilgalaikiai, tiesiogiai juos stebeti sudėtinga. Duomenų apie ilgesnius laikotarpius teikia paleobotaniniai augalijos liekanų tyrimai. Pavyzdžiui, žiedadulkių ir sporų, kaip geriausiai išsilaikančių augalo dalių, analizės pagalba nustatyti poledynmečio klimatiniai periodai, kuriuose dėl skirtingo temperatūros ir drėgmės režimo vyravo skirtingos augalų bendrijos (Kabailienė, 1979). Praeities augalijos ir gamtinės aplinkos tyrimams naudojami ir durpių sudėties, augalų liekanų durpėse, ežerinėse ir kitose nuosėdose analizė (Kabailienė, 1990; Савукинене и др., 1978).

Tiriant augalų liekanas nuosėdose, tik retais atvejais (pavyzdžiui, juostuotuose moliuose) galima išskirti metinius nuosėdų sluoksnius ir tirti atskirų metų augalijos būklę. Papildomos, tiksliai datuotos informacijos apie praeities gamtinės aplinkos pokyčius teikia praeityje augusių medžių metinių rievių tyrimai.

Dėl kasmetinės vegetacijos ir ramybės sezonų kaitos medžiuose susiformuoja sluoksninė struktūra - medienos rievių seka, kurioje glūdi informacija apie konkrečių metų augimo sąlygas. Pakliuvusi į tinkamas sąlygas (pvz. anaerobinėje aplinkoje, šaltyje ir pan.), mediena, kaip ir žiedadulkės, gali išsilaikti nesuirusi tūkstančius metų. Jei praeities medžių augimo laikotarpiai laiko skaleje perdengė vienas kitą, dendrochronologiniais metodais jų rievių pločių (metinio radialinio prieaugio) serijos gali būti tarpusavyje sinchronizuotos - vienerių metų tikslumu datuotos viena kitos atžvilgiu. Tuo būdu galima rekonstruoti praeities medynų formavimosi istoriją, datuoti medžių žuvimą, augimo anomalijas, sudaryti ilgalaikės metinio radialinio prieaugio chronologijas, rodančias medžių biologinio produktyvumo svyravimus ir kt.

Nors medžių metinių rievių tyrimai jau gana plačiai naudojami datavimui ir praeities klimato rekonstrukcijoms, dažniausiai tiriami dabar

tebeaugantys medžiai arba archeologinių paminklų mediena, tai yra mediena, randama ne medžio augimo, bet panaudojimo vietoje. Kol kas dar nedaug atlikta tyrimų, apimančių augimo vietoje nuosėdose (dažniausiai durpėse) užsikonservavusių subfossilinių medžių medienos rievių analizę (Munaut, 1966; Tallis, 1975; Becker, 1979; McNally, Doyle, 1984; Leuschner, Delorme, Hofle, 1987; Lageard, Chambers, Thomas, 1992 ir kai kurie kiti). Vakarų Europoje, o taip pat ir kitose pasaulio dalyse, daugelyje pelkių randami vienas ar keli dažnai kelmingi stipriai susiskaidžiusios durpės sluoksniai ("ribos horizontai") (Munaut, 1966; Хотинский, 1971; Tallis, 1975; Becker, 1981; Delorme ir kt., 1983 ; McNally, Doyle, 1984 ir kt.). Dėl nepakankamai išsamių tyrimų kelmingieji horizontai anksčiau buvo laikomi visur sinchroniškais, reprezentuojančiais sausuosius borealio ir subborealio periodus (Birks, 1975). Radiokarboninė, o vėliau ir dendrochronologinė, subfossilinės medienos analizė parodė, kad šie sluoksniai, rodantys nusausėjimą ir medynų išplitimą durpynuose, dažniausiai nėra vienalaikiai įvairose Europos vietose (Vogel ir kt., 1969, Хотинский, 1971; McNally, Doyle, 1984 ir kt.). Juos salygojo tiek globaliniai klimato pokyčiai, tiek vietinės sąlygos.

Lietuvoje praeities augalijos tyrimams iki šiol subfossilinių medžių dendrochronologinė analizė nebuvo naudojama. Šio darbo hipotezė - kad dendrochronologiniai durpių kloduose užsikonservavusios praeities medžių medienos tyrimai gali papildyti palinologinę ir durpių analizę bei duoti naujos informacijos apie praeities augaliją, miškų augimo ir ekosistemų kaitos ypatybes, ekologinių sąlygų svyravimus.

Šiame darbe atliktais subfossilinių paprastosios pušies medžių liekanų, rastų durpių kloduose, dendrochronologiniai tyrimais siekta atstatyti Užpelkių Tyrelio aukštapelkės *Pinus sylvestris* L. medynų augimo dinamiką: pušynų išplitimo bei nunykimo fazes, medžių metinio radialinio prieaugio, kaip biomasės produktyvumo rodiklio, svyravimus; istoriškai įvertinti ekologinių sąlygų raidą. Šiam tikslui pasiekti, darbe buvo sprendžiami šie uždaviniai:

- išaiškinti aukštapelkinių augimviečių paprastosios pušies metinio radialinio prieaugio serijų synchronizavimo ypatumus;
- kryžmiškai datuoti praeities medžių augimo laikotarpius;
- sudaryti ilgalaikę metinio radialinio prieaugio chronologiją;
- atlikti pelkinį augimviečių pušies metinio radialinio prieaugio priklausomybės nuo klimatinių veiksnių analizę bei ištirti klimatinių veiksnių rekonstrukcijos galimybes;
- remiantis atstatyta pušynų augimo dinamika, įvertinti subatlančio laikotarpio ekologinių sąlygų kaitą.

Tai pirmas Lietuvoje darbas, kai paleoekologiniams tyrimams panaudota užsikonservavusios aukštapelkės durpėje medienos metinių rievių analizė. Šiai tyrimais nustatyta raistinės ir plininės augalijos fazės kaita pelkėje per daugiau kaip 2000 metų. Raistinėms fazėms sudarytos penkios *Pinus sylvestris* metinio radialinio prieaugio chronologijos, apimančios 80% viso 2145 metų ilgio periodo. Medžių stiebų metinio radialinio prieaugio priklausomybės nuo klimatinių veiksnių nustatymui panaudoti nauji matematinės analizės metodai: autoregresinis modeliavimas ir variacijos pirminių komponentų analizė. Pagal Užpelkio Tyrelio aukštapelkės pušynų augimo dinamiką kokybiškai rekonstruota pastarujų dviejų tūkstantmečių ekologinių sąlygų kaita. Rezultatų atitinkamas kitų autorių praeities klimato Europoje vertinimams rodo, kad nustatyti paleoaplinkos kūtimai nebuvo tik vietinės reikšmės, bet atspindėjo Europos masto makroklimatinius procesus.

Pirmame šio darbo skyriuje aptarti pasaulio dendrochronologų darbai kuriant ilgalaikes dendrochronologijas ir naudojant prieaugio dinamikos tyrimus gamtinės aplinkos sąlygų rekonstrukcijoms;

Antrame skyriuje aprašyti bendrieji Lietuvos pelkių bruožai, aukštapelkinės augalų bendrijos, paprastosios pušies augimo ypatybės aukštapelkinėje aplinkoje;

Trečiame skyriuje apibūdinti darbo objektas ir medžiaga;

Ketvirtame aprašytos darbe naudotos metodikos;

Penktas skyrius skirtas medienos pavyzdžių kryžminiam datavimui, pušyno išplitimo laikotarpių nustatymui ir ilgalaikės dendrochronologijos sudarymui;

Šeštame skyriuje analizuojami aukštapelkinių augimviečių pušies prieaugio dinamiką nulemiantys veiksnių;

Septintame darbo skyriuje atliktas gamtinės aplinkos kaitos subatlančio laikotarpyje įvertinimas, remiantis gautais rezultatais bei kitų autorių pateiktos medžiagos analize;

Aštuntame skyriuje pateiktos darbo išvados.

Pagrindiniai darbo rezultatai skelbti šiuose moksliniuose pranešimuose ir publikacijose:

Moksliniai pranešimai:

VII Jaunųjų mokslininkų - botanikų Sajunginėje konferencijoje Berezinos rezervate (Baltarusija) 1987, spalio 13-18: " Ilgaamžės dendroskalės - jų paskirtis ir sudarymo metodai" (rusų k.);

V Visasajunginėje konferencijoje dendrochronologiniai klausimai, Sverdlovskas (RSFSR), 1990, gegužės 29-31: " Kai kurie pelkinės pušies radialinio prieaugio dinamikos statistiniai parametrai" (rusų k.);

tarptautinėje konferencijoje "Medžių rievių tyrimai ir miškų džiūvimas", 1993 birželio 21-26 d., Kaunas: " 2000 metų ilgio vakarinės Lietuvos pušies chronologijos kūrimas: problemos ir rezultatai"(anglų k.);

Baltijos jūros regiono dendrochronologų pasitarime, 1993 lapkričio 18-21 d., Kopenhaga (Danija): " Lietuvos pelkinių ir sausų augimviečių pušies chronologijų dendroklimatiniai tyrimai, naudojant daugiamatę analizę"(anglų k.);

tarptautinėje konferencijoje " Medžių rievės, aplinka ir žmonija: tarpusavio ryšiai ir procesai", 1994 gegužės 17 - 21 d., Tucson, Arizona, JAV: " Klimato įtaka Pinus sylvestris radialiniams prieaugiui Lietuvos aukštapelkėje"(anglų k.);

tarptautiniame pasitarime " Europos dendrochronologijos pasiekimai", 1994 rugsėjo 14-18 d., Travemiundė, Vokietija: " Subatlančio paleoaplinkos dendrochronologiniai tyrimai vakarų Lietuvos aukštapelkėje"(anglų k.);

konferencijoje " Senųjų miestų ir archeologinių radinių geochronologija, dendrochronologija ir radiokarboninis datavimas", 1994 spalio 30 - lapkričio 4 d., Vilnius: " Pinus sylvestris medyno fazės Užpelkių Tyrelio aukštapelkėje (vakarų Lietuva) Subatlančio laikotarpiu, rekonstruotos subfossilinės medienos kryžminio datavimo būdu"(anglų k.);

VDU Kauno Botanikos sodo 1991-1994 m. darbų ataskaitinėje konferencijoje, 1995, vasario 20 d., Kaunas: " Subatlančio laikotarpio ekologinių klimatinių optimumų tyrimai, remiantis iškastinių medžių radialinio prieaugio dinamikos analize";

V konferencijoje " Absoliutaus datavimo metodai", 1995 balandžio 6-8 d., Gliwice-Rudy, Lenkija: " Praeities medynų dinamikos vakarų Lietuvos aukštapelkėje dendrochronologiniai tyrimai"(anglų k.);

tarptautiniame pasitarime " Baltijos tinklas pakrančių ekosistemų modelinių rūsių bio-įvairovei ir produktyvumui tirti", 1995 spalio 4-8 d., Nida, Lietuva: " Pinus sylvestris dendrochronologinių duomenų panaudojimas ir jų apimties išplėtimo galimybės" ir " Skirtingų rūsių medžių rievės ir aplinka"(abu su hab. dr. T.Bitvinsku, anglų k.).

#### Publikacijos:

Pelkinių augimviečių pušies radialinio prieaugio grupinio kitimo savybės. - Jaunujų mokslininkų straipsnių rinkinys, Lietuvos Mokslų akademija. Vilnius, 1989: 108 - 116 (santrauka anglų k.).

Influence of climate on the radial growth of *Pinus sylvestris* in a peat bog of Lithuania. - Abstracts of the International Conference on Tree Rings, Environment, and Humanity: Relationships and Processes, May 17 - 21, 1994, Tucson, Arizona. 1994: 44.

*Pinus sylvestris* forest phases in Užpelkių Tyrelis peat bog (Western Lithuania) during the Subatlantic period as derived by crossdating of

subfossil timber. - Abstracts and papers of the conference on geochronology and dendrochronology of old town's and radiocarbon dating of archaeological findings, Vilnius, Oct. 3 - Nov. 4. 1994: 32.

Dendrochronological study on palaeowoodland dynamics in a western Lithuanian peat bog. - Abstracts of International Meeting " Absolute Dating Methods", Gliwice Rudy, 6-8 April, 1995: 49.

2000 years woodland history in Užpelkių Tyrelis peat bog. - Conference of the European Dendrochronology Workshop 1996, 2-5 May, Moudon, Switzerland; Abstracts. 1996: p. 38.

Dendrochronological study on palaeowoodland dynamics in a western Lithuanian peat bog. - Zeszyty Naukowe Politechniki Śląskiej. Matematyka - Fizyka, Nr. 1330, Z. 79, Geochronometria 13, Gliwice, 1996: 203 - 214. (santrauka lenkų k.)

The Tree ring bank's conditions of storage and use in the KBG Dendroclimatochronology laboratory of Vytautas Magnus University. - Proceedings of the International Symposium " The Usage of the Database of Selected Species". Vilnius, 1996: 33. (Su T.Bitvinsku).

Tree-rings of different species and environment. - Proceedings of the International Meeting on " Baltic Network of Biodiversity and Productivity of Selected Species in Coastal Ecosystems". Vilnius, 1996: 43 - 44. (Su T.Bitvinsku).

The usage of dendrochronological data of *Pinus sylvestris* and the possibilities of its expansion. - Proceedings of the International Meeting on " Baltic Network of Biodiversity and Productivity of Selected Species in Coastal Ecosystems". Vilnius, 1996: 45 - 46. (Su T.Bitvinsku).

Структура и динамика радиального прироста сосны обыкновенной (*Pinus sylvestris* L.) в торфянике Ужпяльку Тирялис. - Материалы XIX экспедиции - конференции ботаников Прибалтики. Вильнюс, 1988: 42 - 44 (su T.Bitvinsku)

Методы синхронизации рядов ширины годичных слоев сосны на торфяный болотах верхового и переходного типов. - Тез. докл. научно - технической конференции. Новополоцк, 1989: 31 - 32 (su T.Bitvinsku).

Iš viso disertaciją sudaro 136 puslapiai, 13 lentelių, 52 paveikslai, 268 šaltinių literatūros sąrašas ir 8 priedai, apimantys 11 lapų.

## 1. MEDŽIŲ RADIALINIO PRIEAUGIO TYRIMŲ PANAUDOJIMAS EKOLOGINIŲ SĄLYGŲ DINAMIKAI IŠAIŠKINTI

Jau seniai pastebėta priklausomybė tarp medžių radialinio prieaugio ir klimatinių bei kitokių ekologinių faktorių. Galbūt pirmuoju dendrochronologu reikštę laikyti Leonardą da Vinči, kuris nustatė, kad medis per metus suformuoja vieną rievę, kurios plotis priklauso nuo drėgmės sąlygų, bei samprotavo apie klimatinių sąlygų rekonstrukciją (Stallings, 1937, "Some Early Papers on Tree-rings" iš Baillie, 1982). Aštuonioliktame amžiuje eilė mokslininkų, tame tarpe K. Linéjus, yra pastebėjė 1708-1709 metų rievėse šalčio pažeidimo pėdsakus ir siejo juos su šalta tų metų žiema (Studhalter, 1956). 1837 metais Babbage'as aprašė medžių rievių sinchronizaciją (cross-dating) ir numatė, jog šis metodas galėtų tarnauti palaidotų durpynuose miškų amžiaus nustatymui, datuojant jų metinio radialinio prieaugio (rievių pločių) chronologijas pagal dabar augančių medžių (t.y. medžių, kurių kiekvienos rievės susiformavimo kalendoriniai metai žinomi) chronologijas (Zeuner, 1958 "Dating the Past - an Introduction to Geochronology" iš Baillie, 1982). 1892 m. rusų mokslininkas F.Švedovas (Шведов, 1892) aprašė baltosios akacijos siaurų rievių ritmišką pasikartojimą, siedamas tai su sausrų pasikartojimu.

Sistemingiemis moksliniams tyrimams dendrochronologiją pradėjo taikyti šio amžiaus pradžioje amerikiečių mokslininkas A.E.Duglasas (Douglass, 1914; 1921), kuriam ir priklauso šio pavadinimo autorystė. Tuo metu instrumentinio klimatinių rodiklių matavimo serijos buvo gana trumpos, ir, norėdamas išsiaiškinti klimato svyravimų ryšį su Saulės ciklais, Duglasas pritaikė geltonosios pušies (*Pinus ponderosa*) metinių rievių pločių serijas kaip netiesioginį klimatinių duomenų šaltinį, nes sausringomis Arizonos sąlygomis pagrindinis rievių plotų lemiantis veiksnyς yra kritulių kiekis (Douglass, 1914). 1919 metais A.E.Duglasas sudarė ištisinę 500 metų ilgio *Pinus ponderosa* bei 3221 metų ilgio *Sequoia gigantea* radialinio prieaugio chronologijas (Baillie, 1982).

Šios chronologijos buvo ištisinės - gautos iš gyvų medžių, augusių šitiek amžių. Tačiau tokį amžių turintys medžiai - išimtinis atvejis. Dažniau galima aptikti ankščiau augusių medžių medienos, kurios rievių serijas sinchronizuojant su dabar augančių medžių serijomis, galima sukurti sudurtinę chronologiją.

Be to, ne visose augimvietėse yra tokia akivaizdi rievių pločio priklausomybė nuo konkrečių limituojančių ekologinių faktorių.

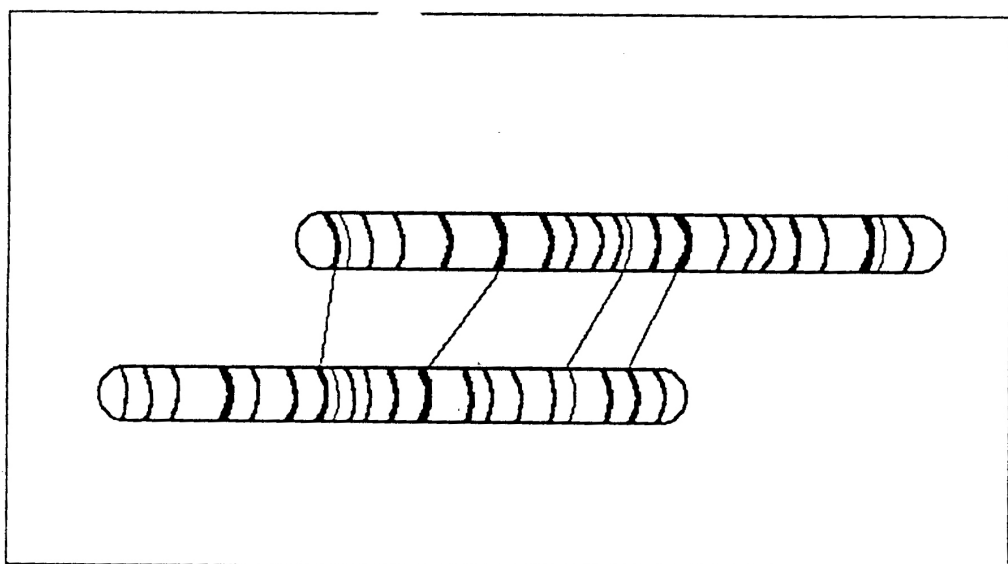
Taigi, noras panaudoti medžių rievių serijas kaip netiesioginį klimatinių duomenų šaltinį (proxy data) iškélé du uždavinius:

1) ilgalaikių chronologijų sukūrimas, synchronizuojant ir sujungiant persidengiančias trumpesnes radialinio medžių prieaugio serijas, tai vėliau buvo pavadinta dendrochronologija siauraja prasme,

2) klimatinių veiksninių, nuo kurių priklauso metinis prieaugis, išaiškinimas, kad, remiantis nustatytu ryšiu, būtų galima chronologiją panaudoti šių veiksnių rekonstrukcijai (dendroklimatologija).

### 1.1 Metinio radialinio prieaugio serijų synchronizacijos metodas kaip ilgalaikių chronologijų sudarymo principas

Turėdamas ilgalaikių chronologijų sudarymo patirtį, A.E.Duglasas panaudojo prieaugio dinamikos bruožų (pattern) lyginimo metodiką nežinomo laikotarpio medienos pavyzdžių datavimui. 1 paveiksle pavaizduota dviejų medienos pavyzdžių (gręžinelių) synchronizavimo pagal prieaugio svyravimų dinamiką, tai yra pagal siaurų ir plačių rievių pasikartojimo ritmiką, schema:



1. pav. Dviejų medienos gręžinelių prieaugio synchronizavimo (rievių kryžminio datavimo) pavyzdys.

Dirbdamas šiuo medienos pavyzdžių santiokinio datavimo principu, A.E.Duglasas pratęsė *Pinus ponderosa* chronologiją, prijungdama radialinio prieaugio serijas iš senovinių actekų statinių medienos iki 701 m.

po Kr. (Douglass, 1921), vėliau šiuo pačiu metodu chronologija pratęsta iki 322 m. pr. Kr. (Baillie, 1982).

Tarpusavio sinchronizavimo, remiantis prieaugio dinamikos bruožais, metodas reikalingas ne tik chronologijų pratęsimui, bet ir jų patikrinimui. Šis metodas buvo panaudotas sudarant ilgalaikę *Pinus aristata* (centrinė Kalifornija) chronologiją. Šiuos medžius kalnuose atrado E.Šulmanas 1954 metais (Shulman, 1956). Jie auga labai ilgai (amžius siekia 4000 metų) ir lėtai. Dėl ekstremalių sausrų dažnai pasitaikančios serijoje "iškrentančios" rievės gali visiškai iškreipti metinio prieaugio dinamikos vaizdą. Panaudojus atskirų medžių prieaugio tarpusavio sinchronizaciją bei patikrinus dviejų nepriklausomai sudarytų chronologijų atitikimą, septintame dešimtmetyje sukurta daugiau kaip 8000 metų ilgio *Pinus aristata* chronologija (Ferguson, 1969).

Europoje ilgalaikių chronologijų, naudojant atskirų persidengiančių laike prieaugio serijų sinchronizavimą, kūrimo darbą pradėjo B.Huberis. Naudodamas archeologinės (gautos iš archeologijos ir architektūros paminklų) medienos duomenis, jis pratęsė augančių medžių radialinio prieaugio chronologiją iki viduramžių, o 1963 metais jau turėjo 1000 metų ilgio Vakarų Europos ąžuolo chronologiją (Huber, Giertz, 1970).

Dirbdami vidutinio klimato sąlygomis, Europos dendrochronologai susidūrė visai su kitomis problemomis, negu sausringų Kalifornijos sričių tyrinėtojai. Jeigu A.E.Duglasas sinchronizavimui naudojo skeletinius grafikus, kuriuose buvo pažymėti laiko skalėje tik ekstremalūs mažo prieaugio metai, tai Europoje, kur prieaugių gali riboti keletas limituojančių faktorių, ir metinio prieaugio ekstremumai nėra išreikšti visuose medžiuose vienodai, toks metodas netiko. B.Huberis pasiūlė laikyti metus, kuriais daugiau kaip 75% medžių turi tą pačią prieaugio kitimo kryptį (padidėjimą ar sumažėjimą), reperiniai metais ir, sinchronizuojant prieaugių serijas, remtis šitais metais, kartu vizualiai lyginant gretinamą pavyzdžių prieaugio serijų grafinį vaizdą (pattern). B.Huberis taip pat pasiūlė naudoti ir panašumo procentą (coefficient of parallel variation) statistiniams vizualinio sinchronizavimo patikrinimui.

Po B.Huberio eilėje Europos vietų prasidėjo ilgalaikių chronologijų kūrimo darbai. Septintame - aštuntame dešimtmetyje E.Holšteinas (Vokietija) prijungdamas geležies amžiaus namų ir romėnų tiltų medienos rievių pločių serijas, pratęsė ąžuolo (*Quercus robur* / *petrea*) radialinio prieaugio chronologiją iki 700 m. pr. Kr. (Hollstein, 1979). Septintame dešimtmetyje tuometinėje Tarybų Sajungoje B.A.Kolčinas, sujungdamas Novgorodo archeologinių tyrinėjimų metu iškastų grindinio rastų radialinio prieaugio serijas, sukūrė 884 metų ilgio Novgorodo pušies (*P. sylvestris*) chronologiją. Dendrochronologinis Novgorodo grindinio rastų tyrimais

nustatytos miesto statybos darbų fazės ir atkurta gaisrų istorija (Колчин, Черных, 1977; Колчин, 1978).

Iki devinto dešimtmečio vidurio buvo sukurta eilė ąžuolo (*Q. robur / petrea*) chronologijų Airijoje ir Anglicoje (Schove, 1974. Baillie, 1982) iš kurių ilgiausios yra: absoliučiai datuota 7272 metų ilgio Belfasto ąžuolo chronologija (Pilcher ir kt., 1984), 1516 metų ilgio 3196 - 1681 m. pr. Kr. ir 1584 - 970 m. pr. Kr. datuojamos Rytų Anglijos chronologijos, kurias vėliau surinkta medžiaga pratęsia iki penkto tūkstantmečio pr. Kr. (Brown & Baillie, 1992).

Vokietijoje, Giotingeno laboratorijoje sudarytos ąžuolo, palaidoto upių slėniuose žvyro sąnašose, chronologijos, dendrochronologiškai datuotos 7197 - 4221 m. pr. Kr. ir 4000m. pr. Kr. - 931 m. po Kr., bei jas jungianti 6200 m. pr. Kr. - 928 m. po Kr. pelkėse ir jūrų nuogulose palaidoto ąžuolo chronologija (Leuschner, 1992). Kiolno laboratorijoje B.Šmidto (Schmidt) sukurta vakarų ir šiaurės Vokietijos žvyro sąnašose ir durpynuose užsikonservavusio ąžuolo chronologija su kai kuriais tarpais siekia 6800 m. pr. Kr.; Hohenheimo laboratorijoje B.Beckeris pratęsė pietų Vokietijos ąžuolo metinio radialinio prieaugio chronologiją iki devinto tūkstantmečio prieš Kristų ir pasiekė ąžuolo chronologijų Europoje ilgio ribą - poledynmečio laikotarpio ąžuolo išplitimo vidurio Europoje pradžią (Becker, Schmidt, 1989 iš Leuschner, 1992).

Lietuvoje taip pat yra surinkta Neries aukštupio žvyro sąnašose palaidoto ąžuolo medienos, kuri yra pagrindas penkių tūkstantmečių ilgio chronologijai sukurti (Битвинскас, 1978).

Siekiant patikrinti importuotas medienos buvimo Vakarų Europoje hipotezę (Baillie, 1982), devinto dešimtmečio viduryje sukurta Šiaurės Lenkijos ilgalaikė ąžuolo chronologija (Eckstein ir kt., 1986; Wažny, 1992), taip pat Viduramžių Torunės ir Chelmno miestų pušies (P. sylvestris) chronologijos (Zielski, 1987) Iš Vyslos slėnio aliuvinėse sąnašose randamų ąžuolų radialinio prieaugio serijų sudaryta pietinės ir centrinės Lenkijos tūkstantmetė ąžuolo chronologija (Krąpiec, 1992), šių ąžuolų medienos dendrochronologiniai tyrimai taip pat panaudoti geomorfologinių procesų datavimui (Kalicki, Krąpiec, 1995).

Švedijoje, vadovaujant T.Bartolinui, archeologinės medienos pagrindu sukurtos kelios Pietų Švedijos ąžuolo chronologijos, kurių ilgiausios siekia VII a. po Kr., bei pušies chronologijos iš įvairių Švedijos regionų, siekiančios apie tūkstantį metų ilgio (Bartholin, 1987; Schweingruber ir kt., 1988).

Daugumos aptartų ilgalaikių metinio radialinio prieaugio chronologijų kūrimo darbų pagrindinis tikslas - archeologiniai medienos dirbinių datavimai, plačiu mastu juose naudojama archeologinių paminklų medienos duomenys. Žinoma, šios chronologijos buvo panaudotos ir

praeities klimato bei kitų gamtinių reiškinių tyrinėjimams. Specialiai klimatiniam tyrimams Švedijoje iš savo augimvietėje užsikonservavusių medžių buvo sukurta Laplandijos (Tiornetrasko) *P. sylvestris* skalė, siekianti 402 m. po Kr. Šiaurėje pušies amžius yra gerokai ilgesnis (siekiama 600 metų) ir jos medienos irimas daug lėtesnis negu vidutinėse platumose. T.Bartolinas nurodo, jog Laplandijoje Vikingų laikais nudžiūvusios pušys vis dar guli nesuirusios ant žemės. Tikimasi šią chronologiją pratęsti iki 6000 metų ilgio, prijungiant pavyzdžių, iškastą iš pelkių ar ištrauktų iš ežeriuukų dugno, prieaugio serijas (Bartholin, 1987).

Su globalinių klimato pokyčių tyrinėjimais susiję ir Suomijoje vykdomi darbai. Devinto dešimtmecio pabaigoje Joensuu Universiteto dendrochronologijos laboratorijoje buvo sukurtos pušies (*P. sylvestris*), palaidotos durpynuose, ilgalaikės radialinio prieaugio chronologijos. Paskutiniaisiais metais, tariant klimato rekonstrukcijos darbus, netoli Šiaurinės medžių augimo ribos surinkta iš durpynų ir ezerų dugno medžiaga leido sukurti dvi radioanglies metodu datuotas chronologijas, apimančias 4100 - 3300 m. pr. Kr. ir 3400 - 2600 m. pr. Kr. Ateityje tikimasi šias chronologijas sujungti ir pratęsti jų ilgį iki šešių - septynių tūkstantmečių (Eronen, Zetterberg, 1992; Eronen ir kt., 1991).

## 1.2 Klimatinių ir kitų ekologinių veiksnių rekonstrukcija dendrochronologiniais metodais

Kaip minėta, jau pirmieji medžių rievių stebėjimai buvo susiję su noru išaiškinti klimatinį signalą, užfiksuotą metiniame prieaugyje. XIX a. pabaigoje empiriniai stebėjimai Odesos profesoriui F.Švedovui parodė, kad Europos miškastepių sąlgomis metinių rievių susiaurėjimas sutampa su sausringais metais, todėl galima šį ryšį panaudoti cikliškam praeities sausrų pasikartojimų rekonstravimui (Шведов, 1892). A.E.Duglaso Šiaurės Amerikos vakaruose gautos koreliacijos tarp žiemos kritulių ir Arizonos medžių rievių pločių (Douglass, 1914) vėliau buvo patvirtintos tikslios statistinės analizės metodais (Fritts, 1976).

### 1.2.1. Kiekybinės rekonstrukcijos Šiaurės Amerikoje.

A.E.Duglaso įkurta Medžių Rievių Tyrimo laboratorija Tusone (Arizonos valst.) tapo mokslinių tyrimų centras, kur didžiausias dėmesys skiriamas medžių prieaugio ryšių su klimatiniais veiksniiais ieškojimui, statistiniams klimatinių ir kitų ekologinių rodiklių rekonstravimo modeliams, šių modelių patikimumui. Kadangi medžių rievių pločių sekos nėra paprastas matematinės statistikos taikymo objektas - jose slypi medžio reakcija ne tik į išorinius (egzogeninius), bet ir į skirtingus vidinius (endogeninius) veiksnius, pasireiškianti senėjimo trendu, rievių pločių autokoreliacija ir t.t., - mokslininkams - dendroklimatologams tenka spręsti įvairias problemas.

Elektroninių skaičiavimo mašinų paplitimas septintame dešimtmetyje leido plačiau panaudoti statistinius analizės metodus. Arizonos Medžių Rievių Tyrimo laboratorioje H.Fritsas su bendradarbiais vystė metodikas prieaugio sekų standartizavimui, pašalinant amžiaus kreivę ir pervedant rievių pločius į indeksų serijas, šių serijų statistinių savybių charakterizavimui (Fritts, 1976). Šiaurės Amerikos vakaruose V.C. La Marche sukūrė 49 stočių dendroklimatinių tyrimo barelių tinklą, kuris buvo naudojamas klimato kitimų erdvėje modeliavimui (Fritts, Shatz, 1975). Erdviniam klimatinių parametrų modeliavimui buvo pritaikytas pirminių komponenčių (eigenvektorių) metodas (Fritts, La Marche, 1971). Medžių prieaugio duomenų pirminių komponenčių erdvinis išsidėstymas žemėlapių technikos pagalba susiejamas su klimatinių parametrų pirminių komponenčių išsidėstymu, identifikuojant parametrus, nulemiančius erdvinę prieaugio dinamiką. Taip buvo atlikta atmosferos slėgio laukų rekonstrukcija Šiaurės Amerikos vakaruose (Blasing, Fritts, 1973; Fritts, 1976).

Prieaugi lemiančių veiksnių nustatymui ir tolesnei šių veiksnių kiekybinei rekonstrukcijai pagal prieaugio chronologijas Arizonos

universitete buvo sukurta atsako funkcijos (responce function) ir perdavimo funkcijos (transfere f.) metodologijos (Fritts, 1976). Atsako funkcijos analizėje medžių priaugis lyginamas su įvairiais meteorologiniais parametrais, įidentifikuojant reikšmingiausius. Perdavimo funkcija - daugiamatė regresija tarp klimatinio paramетro ir medžių priaugio duomenų, leidžianti atlikti šio klimatinio paramетro kiekybinę rekonstrukciją.

Arizonos Medžių Rievių Tyrimo laboratorijoje didelis dēmesys atkreiptas į dendroklimatinį rekonstrukcijų verifikavimą, tam naudojant nepriklausomų (t.y. nepanaudotų rekonstrukcijos lygčiai apskaičiuoti) priaugio duomenų laikotarpį, turintį meteorologinių rodiklių instrumentinio matavimo duomenis).

Remiantis šiomis metodologijomis Šiaurės Amerikoje aštuntojo dešimtmečio viduryje atliktos pirmosios kiekybinės praeities klimato rekonstrukcijos (Blasing, Fritts, 1973 ir kt.). Pusdykumių klimato sąlygomis medžiai jautriausiai reaguoja į drėgmės trūkumą, todėl jų priaugio svyravimai gerai koreliuoja su kritulių kiekiu ir kitais hidrologiniais rodikliais, kaip upių vandeningumas, ežerų lygis. Atkreipiant dēmesį į vandens išteklių svarbą sausringosiose JAV valstijose, Šiaurės Amerikos vakaruose pagal medžių priaugį atlikta eilė šių hidrologinių rodiklių rekonstrukcijų (Stockton, Fritts, 1973; Stockton, 1975; Stockton, Meko, 1975; Cleaveland, Stahle, 1989, Meko ir kt., 1991). Skirtingos semiaridinių sričių medžių rūšys buvo panaudotos praeities sausroms (Stahle, Cleaveland, 1988; Stahle ir kt., 1988; Huges, Brown, 1992), saulėtumo trukmei (Stahle ir kt., 1991), kritulių istorijai (Blasing, Duvick, 1984; Blasing ir kt., 1988) rekonstruoti.

Kitame medžių paplitimo arealo pakraštyje, Šiaurės Amerikos Arktikoje, kur pakankamai stabilus limituojantis faktorius yra temperatūra, medžių priaugis panaudotas temperatūrinio režimo rekonstravimui (Blasing, Fritts, 1973; Jacoby, Cook, 1981; Jacoby ir kt. 1985; Jacoby ir kt., 1988 ir t.t.). Vidutinių metinių temperatūrų ir sausringumo indeksų kiekybių rekonstrukcijų pagal gyvų medžių priaugį duomenys įtraukiti į NOAA Pasaulio Geofizinių duomenų centro Paleoaplinkos duomenų bazes ir naudojami klimatiniams tyrimams bei ekonominiams skaičiavimams.

Vystantis dendroklimatologijai, buvo įsisavintos naujos duomenų standartizavimo, priaugio - klimato ryšių nustatymo, modelių patikimumo įvertinimo metodikos. JAV ir Kanados mokslininkų atliekamose praeities klimatinį parametrų rekonstrukcijose naudojamas priaugio serijų autoregresinis modeliavimas, įvertinant ir pašalinant praėjusių metų priaugio įtaką, robustinio vidurkio chronologijų skaičiavimas, įvertinant nenormalinį priaugio dydžių pasiskirstymą, standartinės paklaidos sumažėjimo (reduction of error) kriterijus rekonstrukcijos modelio

patikimumui nustatyti (Jacoby ir kt., 1985; Stahle, Cleaveland, 1988 ir t.t.), prieaugio pirminių komponenčių chronologijos (Jacoby, Cook, 1981), kiti kompleksiniai daugiamaciai statistinės analizės metodai. Arizonos Medžių Rievių Tyrimo laboratorijoje sukurtas kompiuterinių programų paketas, leidžiantis panaudoti analizei daugelių šių statistinių metodikų (Holmes, 1983; Cook, Holmes, 1986).

### 1.2.2.Dendroklimatiniai ir dendroekologiniai tyrimai Europoje

Pagal limituojančių faktorių teoriją, medžio prieaugi lemia tas veiksny, kurio intensyvumas tuo metu yra limituojantis augimą. Tačiau daugelyje arealo vietų, artimų ekologiniam optimumui, limituojantis faktorius nėra pastovus laiko bėgyje, t.y. jis keičiasi tiek sezono metu, tiek skirtingais augimo sezona. Tiek retais atvejais, daugiausia rūšies arealo pakrašiuose, galima išskirti daugmaž pastovų vieną limituojantį faktorių (pvz. drėgmės deficitas sausringiuose JAV pietvakariuose, vasaros temperatūra prie šiaurinės ar aukštuminės (kalnuose) miško ribos). Todėl dendroklimatinai tyrimai Europoje taip pat daugiausia nukreipti į šiaurinius ar aukštuminius arealo pakraščius. Spygliuočių medžių rūšių prieaugio analizė parodė, kad tiek kalnuose, tiek prie šiaurinės miško ribos stipriausias ryšys yra tarp metinio radialinio prieaugio ir vasaros mėnesių temperatūros (Eklund, 1950; Eckstein, Aniol, 1981; Bednarz, 1981; Briffa ir kt., 1990). Tai leido šiose gana pastovų limituojantį faktorių turinčiose vietovėse atlikti keletą kiekybinių temperatūrinų rekonstrukcijų. D.Ekštinas ir R.Anolas (Eckstein, Aniol, 1981), remdamiesi Alpėse augančių *Larix decidua*, *Pinus cembra* ir *Picea abies* metiniu radialiniu prieaugiu, daugiamatės regresijos pagalba rekonstravo birželio - liepos mėnesių temperatūras iki 1471 metų. Tatuose, naudodamas vienos medžių rūšies - *Pinus cembra* - metines rieves, Z.Bednažas (Bednarz, 1984) atliko birželio - liepos mėnesių temperatūros rekonstrukciją iki 1741 m. Šiaurinėje Švedijoje pagal *Pinus sylvestris* metinių prieaugi rekonstruotos 1680 - 1980 metų liepos temperatūros (Eckstein, 1986).

Nors klimatinių sąlygų kaita neabejotinai veikia medžių prieaugio dinamiką, atskirų meteorologinių parametrų ryšys su metinių rievių pločiu dėl nestabilumo laiko atžvilgiu nebūna labai stiprus. Net ekstremaliomis Alpių sąlygomis temperatūros ir kritulių įtakos modelis paaiškina tik iki 40% radialinio prieaugio variacijos (Bircher, 1982). Pušies (*Pinus sylvestris*) tyrimai Laplandijoje (Briffa ir kt., 1990) parodė, kad laikui bėgant kinta atskirų mėnesių temperatūros įtaka prieaugiui. Šis nestabilumas mažina rekonstrukcijos modelių pagal medienos metinių prieaugi tikslumą net ir arealo pakrašiuose.

Radiodensitometrinio metodo (Schweingruber, 1983) išplėtojimas leido konstatuoti, kad daugeliu atvejų spygliuočių rievių maksimalus

medienos tankis turi stabilesnį ryšį su vegetacijos sezono temperatūra (Bircher, 1982; Briffa ir kt., 1990 ir t.t.). Pavyzdžiu Alpėse, tyrinėjant eglęs (*Picea abies*) maksimalaus medienos tankio chronologijas, nustatyta, kad rugpjūčio - rugsėjo mėnesių temperatūrų variacija paaiškina iki 66% maksimalaus medienos tankio variacijos (Bircher, 1982). Taigi radiodensitometrinis metodas suteikė naujų galimybių klimato rekonstrukcijos modelių patikslinimui. Remiantis tiek rievių maksimalaus tankio, tiek standartinėmis rievių pločio chronologijomis, rekonstruotos Šiaurės Fenoskandijos vasaros temperatūros iki 500 m. po Kr. (Briffa ir kt., 1990; Briffa ir kt., 1992). Sukurtas Europoje ir Š.Amerikoje densitometriniai chronologijų tinklas suteiké galimybę rekonstruoti dviejų šimtmečių Europos ir keturių šimtmečių Šiaurės Amerikos vasaros temperatūrų erdvinę dinamiką (Briffa, Jones, Schweingruber, 1988 ir 1991).

Dėl medžių priaugij lemiančių veiksnių nevienareikšmiškumo tik retais atvejais galima išskirti konkretų brazdo aktyvumą limituojantį faktorių. Net ir nustačius ryšį tarp priaugio ir tam tikro klimatinio parametru, dažniausiai tik ekstrmaliose ribinėse zonose priklausomybė būna pakankamai stipri, kad ją "apvertus" būtų galima atlkti statistiškai patikimą kiekybinę klimatinio parametru rekonstrukciją. Vidutinio klimato zonoje priaugio - klimato ryšiai sudėtingesni. Pavyzdžiu, Lietuvos pušynuose nustatyti gana nestiprus (koreliacijos koeficientas tik retais atvejais didesnis už 0,4), skirtini atskiruose bareliuose koreliacinių ryšiai tarp metinio priaugio ir meteorologinių parametrų (Карпавичюс, 1984). Kadangi priaugis priklauso tiek nuo temperatūros, tiek nuo kritulių, geresnius rezultatus rodo koreliacija su hidrologiniais rodikliais, apjungiančiais tam tikrų mėnesių grupių temperatūrinio ir kritulių režimo rodiklius (Битвинскас, 1981).

Todėl šioje klimatinėje zonoje daugiau tyrimų kokybinės analizės srityje. Dažnai empiriškai bandoma nustatyti ekstremaliai mažo priaugio, ypač pasireiškusio didelėje teritorijoje ir būdingo plačiam rūsių spektrui, priežastis, nagrinėjant konkrečių metų augimo sąlygas. Pavyzdys gali būti 1816 m. siaura rievė daugelyje Europos medžių, kurios priežastis buvo Tambora ugnikalnio išsiveržimas 1815 m., sukėlęs klimato permainas - "metus be vasaros" (Baillie, 1985; Bednarz, 1981 ir kt.), 1940 m. priaugio kritimas Lietuvoje bei kitose šalyse dėl šaltos žiemos (Битвинскас, 1974) ir t.t.

Ši analizė išplečiama, nagrinėjant kaip konkrečiais metais reagavo medžiai, augantys skirtingose augimvietėse, išskiriant tam tikrus klimatinių sąlygų tipus, kuriems būdinga tam tikra skirtinė augimviečių medžių reakcija: pvz. šiltais-sausais metais drėgnų augimviečių medžių priaugis bus geras, sausringų augimviečių - blogas, šaltais-drėgnais metais - atvirkščiai (Kienast, Schweingruber, 1986). Tyrimai, atlkti Didžiojoje

Britanijoje, taip pat rodo, kad platesnis tyrimo barelių tinklas leidžia užčiuopti stabilesnius ryšius su klimatiniais parametrais. Vidutinio klimato sąlygomis ąžuolo (*Quercus petrea* Liebl. ir *Q. robur* L.) prieaugio ryšiai su klimatiniais rodikliais néra vienareikšmiški - nors dauguma Didžiosios Britanijos ąžuolų teigiamai reaguoja į kritulius, kai kurių barelių chronologijos tokio ryšio nerodo. Apjungus jautrius klimatui barelius ir panaudojus jų pirminių komponenčių daugiamatęs regresijos modelius, pavyko gauti patikimus, stabilius laiko atžvilgiu ryšius su vegetacijos sezono krituliais ir temperatūromis, tuo tarpu atskirų barelių chronologijos ar kelių barelių vidutinės chronologijos nerodė koreliacijos su temperatūromis, o ryšiai su krituliais buvo silpnesni (Briffa, 1987). Lietuvos sąlygomis išskirti keturi ąžuolynų reakcijos į klimatinius rodiklius tipai (Karpavičius, Kairaitis, 1994) galbūt taip pat, panaudojus daugiamatę regresiją, galėtų būti platesnių klimatinių rekonstrukcijų pagrindas.

Nevienareikšmiški ryšiai tarp medžių prieaugio ir įvairių jų veikiančių aplinkos veiksnių vidutinio klimato sąlygomis skatina ieškoti naujų matematinės analizės metodų. Iš šių būtų galima paminėti redundancinę analizę (Beeckman, 1992), kuria analizuojamos ryšiai ne tarp vidutinių metinio prieaugio ir pavienių klimatinių rodiklių eilučių, o tarp grupės klimatinių rodiklių ir grupės individualių medžių metinio prieaugio eilių matricių.

Tiriant medžių metinio prieaugio dinamiką, analizuojami ryšiai ne tik su klimatiniais, bet ir su kitais ekologiniais veiksniais. Jau kalbėta apie priklausančių nuo klimatinių sąlygų hidrologinių rodiklių, kaip upių ar ezerų vandeningumas, kiekybines rekonstrukcijas Šiaurės Amerikos sausringose zonose. Europoje taip pat tirti ryšiai tarp medžių radialinio prieaugio ir ezerų lygio svyravimų (Пакальнис, 1971, 1975, 1978; Kriukelis, 1995). Tirdamas Estijoje aukštapelkinių augimviečių pušį (*Pinus sylvestris*) Liaénelaidas (Ляэнелайд, 1981,a) nustatė koreliaciją tarp metinio radialinio prieaugio ir apsiniaukusių dienų skaičiaus. Jau pradedant Duglasu, ne kartą analizuotas priklausomybės tarp medžių rievių pločių ir Saulės aktyvumo ciklų buvimas (LaMarche, Fritts, 1972; Oleksyn, 1980; Kairiūkštis, Stravinskienė, 1987; Битвинскас, 1974, 1979; Ступнева, 1981, ir kt.). Introdukuotų medžių rūšių prieaugio analizė leidžia įvertinti ekstremalių sąlygų įtaką ne arealo ribose esantiems medžiams (Будрионас, Жеймавичюс, 1990). Nemažai autorų tyre antropogeninių faktorių įtaką medžių prieaugiui: pramoninio užterštumo (Юкнис, 1990; Kairiūkštis ir kt., 1987; Stravinskienė, Kairiūkštis, 1992 ir t.t.), nusausinimo (Стравинскене, 1983), gaisrų (Läänelaid, 1981) ir kitų, netgi tokių, kaip sportinė veikla - kalnų slidinėjimas (Pelfini, 1993).

### 1.2.3. Istorinė palaidotų (subfossilinių) medžių informacija

Praeityje augusių medžių metinio radialinio prieaugio kaita, rievių struktūra, praeities medynų žūties ir atželimo dinamika naudojama geomorfologinių procesų analizei, ledynų judėjimo, užpustymo smėliu, užtvindymo, taip pat ir pelkių raidos tyrimams.

Remdamasis palaidotų besitraukiančio ledyno tirpsmo sąnašose medžių liekanų Daetnau slėnyje (Šveicarija) ir Two Creeks vietovėje (JAV) dendrochronologine ir radioanglies analize, F.Kaizeris (Kaiser, 1987, 1989) atkūrė vėlyvojo glaciamo atšilimo fazą - Biolingo ir Alerodo 12 350 - 10 850 metais BP ("before present" - t.y. "nuo šių laikų" - nuo 1950 metų) augalijos raidos istoriją - beržyno ir vėliau pušyno susiformavimą, taip pat miško fazės pabaigą, prasidedant atšalimo fazei - jaunesniajam (vėlyvajam (Kabailienė, 1979)) driasui. Šią rekonstrukciją papildė ir patvirtino žiedadulkių bei moliuskų taksonominė analizė.

Alpių kalnų ežeruose ir ledynų morenose palaidoti medžiai traukia glaciologų ir paleoekologų dėmesį kaip ledynų judėjimo ir praeities klimato liudytojai. Šveicarijoje F.Reneris ir W.Bircheris (Renner, 1982; Bircher, 1982) tyrė medžių, augusių atskirais Atlančio, Subborealo ir Subatlančio laikotarpiais, chronologijas, jų maksimalaus medienos tankio dinamikos analizę kartu su galinių morenų, palinologiniais bei kitais tyrimais panaudojo prieistorinės Alpių ledynų dinamikos ir klimato kaitos atkūrimui. E.Šear ir F.Šveingruberis (Schär, Schweingruber, 1988), pagal maumedžio (*Larix decidua*), eglės (*Picea abies*) ir pušies (*Pinus cembra*) medžių liekanų, surinktų kalnų ežero dugne, dendrochronologinę analizę rekonstravo 6500 - 1000 m. BP medyno rūsinės sudėties, kartų kaitos dinamiką. Dendrochronologiniai tyrimai padėjo nustatyti tūkstantmetes Aletch ledyno fluktuacijas (Holzhauser, Zumbühl, 1988).

Nors ir nedaug, bet pasaulyje yra darbų, apimančių ir pelkėse užsikonservavusios praeities medžių medienos rievių tyrimus. Kaip minėta įvade, daugelyje Europos (ir ne tik) pelkių rasti smarkiai susiskaidę, dažnai kelmingi durpės horizontai ("ribos" horizontai) pradžioje buvo laikomi dviejų poledynmečio kseromorfinių fazų Borealo ir Subborealo periodais pasireiškimu (Birks, 1975; Хотинский, 1971). Radiokarboninio metodo išvystymas, o vėliau ir medienos dendrochronologiniai tyrimai parodė, kad šie sluoksnių nebūtinai sinchroniški, ir jų susiformavimas priklauso ne tik nuo globalinių klimato pokyčių, bet ir nuo vietinių sąlygų, pelkės formavimosi ypatumų (Хотинский, 1971, McNally, Doyle, 1984).

Septintame dešimtmetyje Belgijoje A.V.Munaut'as (Munaut, 1966 a, b) tyrė pušies kelmų sluoksnius pelkėje, veikiamoje jūros hidrologinio režimo. Apie 1000 *Pinus sylvestris* pavyzdžių datuoti radiokarboniniu būdu 4500 metais BP. Kitoje pelkėje pušies chronologijos datuotos 7200 - 6900,

6450 - 6100 ir 5000 metais BP. Medžių gyvenimo trukmė ir kartų kaita atskleidė jūros lygio kitimų dinamiką.

Tiek Belfasto, tiek Vokietijos ąžuolo ilgalaikių chronologijų kūrėjai (žr. 1.1 skyrių) greta medienos, randamos upių sąnašose, dirbo ir su pelkiniu ąžuolu. Rytų Anglijos durpynuose ąžuolas augo beveik penkis tūkstantmečius, pradedant Atlančiu (5000 m. pr. Kr.) iki Subborealio pabaigos, tik 1681 - 1584 m. pr. Kr. laikotarpyje buvo beveik išnykęs, kas siejama su ugnikalnių veikla (Brown, Baillie, 1992). H.H.Lioišneris su bendradarbiais rado Šiaurės Vokietijos pelkėse ąžuolo medienos horizontus, atitinkančius Subatlančio laikotarpio pradžią, ąžuolų masinis žuvimas 300 - 100 m. pr. Kr. buvo pelkių formavimosi ir durpių kaupimosi pasekmę (Delorme, Leuschner ir kt., 1983). Išanalizavęs daug ąžuolo medienos pavyzdžių iš įvairių Žemutinės Saksonijos pelkių, H.H.Lioišneris nustatė beveik sinchroniškas skirtingose pelkėse medžių žuvimo fazes, kurios atitinka mažo prieaugio periodus išgyvenusių medžių serijose apie 1080, 840, 700 ir 480 m. pr. Kr. (Leuschner, 1992).

Išsamūs užsikonseravusios *Pinus sylvestris* medienos sluoksnių pelkėse tyrimai atliliki Airijos saloje, kuri šiuo metu yra už paprastosios pušies arealo ribos (McNally, Doyle, 1984 a)). Nustatyta sinchroniškas *Pinus sylvestris* išplitimas daugelyje vietovių tarp 3750 - 3500 m. BP (Subborealio periodas). Glašabaumo aukštapelkėje pušys ištisai sudarė medyną 500 metų laikotarpyje nuo 4000 iki 3500 m. BP, ir nei aukščiau šio horizonto, nei žemiau pušies kelmu nerasta. Išaiškinta, kad medyno nunykimas susijęs ne su masine medžių žūtimi, bet kritiskai pablogėjus atžėlimo sąlygomis. Žiedadulkių analizė patvirtino tai buvus vandens lygio pakilimą (McNally, Doyle, 1984 b)).

Dendrochronologai dirba ne tik su radialiniu medžių prieaugiu. Kiti pametinės informacijos šaltiniai - viršūninis prieaugis (Eckstein, 1992), rievės vandens indų skersplotis (Sass, Eckstein, 1992), kasmetinė spygliuočių ūglių defoliacija, nustatoma pagal spyglių pėdsakus medienoje (Jalkanen, Kurkela, 1992).

Pabaigoje reiktų paminėti, jog mediena, kaip sluoksninė struktūra, saugo informaciją apie praeities reiškinius ne tik rievių struktūroje, plotyje ar medienos tankyje. Paskutiniai dešimtmečiais vis plačiau imama naudoti metinių rievių cheminių elementų analizė. Klimato kaitos istorijai aktualūs  $C^{12}/C^{13}$  izotopų,  $O^{16}/O^{18}$  izotopų ir vandenilio/deuterio santykijų tyrimai (Beeckman, 1993). Išplėtojus šiuos metodus, tiksliai datuota pametinė informacija iš medžių rievių gali labai praturtinti žinias apie praeities ekologines - klimatinės sąlygas.

## 2. AUKŠTAPELKĖS - INFORMACIJOS APIE PRAEITIES GAMTINĖS APLINKOS POKYČIUS ŠALTINIS

### 2.1 Bendros žinios apie Lietuvos pelkių formavimąsi

Dėl savo savybės kaupti nesuirusią organinę medžiagą, kuri sluoksniais užsikonservuoja rūgščioje beorėje terpėje, pelkės yra unikalus informacijos apie praeities augalijos raidą bei klimatinių sąlygų kitimus šaltinis.

Pagrindinės sąlygos pelkėms susidaryti yra drėgmės perteklius ir pelkinė augmenija. Lietuva yra perteklingo drėkinimo zonoje - per metus išgaruoja tik 50-70% kritulių (Seibutis, 1958), todėl esant atitinkamam reljefui ir geologinei sandarai susidaro palankios sąlygos pelkėms formuotis. Lietuvoje yra apie 330 tūkst. ha durpynų, didesnių negu 1 ha (5,1% teritorijos) (Skaisgirys, 1966). Maždaug du trečdaliai Lietuvos pelkių yra ezerinės kilmės - tai yra, susiformavusios užpelkėjant ezerams (Seibutis, 1958). Kitos pelkės atsirado supelkėjant daubose esantiems miškams ar pievoms.

Lietuvos teritorijoje durpių kaupimasis prasidėjo vėlyvajame leedynmetyje, aleriodo pašiltėjimo metu (prieš 11800 - 11000 m.) (Kabailienė, 1990). Intensyviau pelkės pradėjo formuotis preborealyje - borealyje (prieš 10000 - 8000 m.), kai poledynmečio klimatas atšilo bei pasausėjo. Tuo metu ledyninės kilmės ežeruose įsikūrė vandens augalai, pradėjo kauptis silpnai mineralizuoti sapropeliai, seklesniuose vandenye susiformavo ir pelkinių augalų bendrijos (Seibutis, 1958). Masiškiausiai pelkės formavosi borealio pabaigoje ir atlančio pradžioje, padrēgnėjus klimatui (Kabailienė, 1990). Atlančio periode (prieš 8000 - 5000 m.) visoje Lietuvoje labai padaugėjo aukštapelkių (Kabailienė, 1990). Pelkių chronologinio tyrimo duomenys rodo, kad dauguma Lietuvos pelkių susidarė prieš atlančio pradžią (Seibutis, 1958). Vėliau, sutankėjus upių tinklui, pagerėjo sausumos drenavimas, todėl pelkių formavimasis sulėtėjo (Gudelis, 1958). Tačiau ezerų seklėjimo ir virtimo pelkėmis procesai vyksta iki pat šių dienų.

Holoceno pelkių vystymuisi ir augalijos raidai Pabaltijyje didelę įtaką turėjo tokie geologiniai procesai, kaip žemės plutos svyravimai, formavę ežerų ir jūros transgresijas bei regresijas, ir klimato pokyčiai. Atlančio periode, holoceno klimatiniame optimume, prasidėjus Litorininei transgresijai, klimatas Lietuvos teritorijoje okeanizavosi: padrēgnėjo ir atšilo, pakilo gruntuvių vandenų lygis, prasidėjo spartesnis pelkėjimas (Gudelis, 1958). Žiedadulkių analizė rodo juodalksnio kreivės kilimą, taigi žemapelkinių raistų augmenijos gausėjimą (Seibutis, 1958). Pirmoje

atlančio pusėje Lietuvos augalijoje išskiriama alksnynų klestėjimo ir guobynų išplitimo fazė (Kabailienė, 1979). Subboreallo laikotarpiu (prieš 5000 - 2500 m.) klimatas buvo nepastovus, kartu su žemės plutos svyravimais tai sukėlė vandenų lygio svyravimus. Žinomas bent trys litorininės jūros regresijos (Gudelis, 1958). Subboreallo laikotarpio ežeruose užfiksuotos keturios regresijos ir transgresijos. Kaip rodo Biržulio ežero tyrimai, ypač staigi buvo antroji regresija (prieš 4400 - 4000 m.), kurios metu didžiuliai ežerų pakraščių plotai tapo sausuma, o vėliau - pelkėmis (Kunskas, 1984). Sausojo subboreallo laikotarpio durpėse randama daug mėdinių augalų liekanų. Antroje subboreallo pusėje Lietuvos ežerų lygis sumažėjo, paspartėjo jų užželimas ir virtimas pelkėmis (Kabailienė, 1990). Augalijoje išivyräuja beržai, pušys ir baltalksniai, sumažėja eglynų (Kabailienė, 1979).

Prieš 2500 - 2600 m., prasidedant Subatlančio periodui, įvyko staigi klimato permaina, iššaukusi pokyčius augmenijos pasaulyje. Kritulių gausėjimas iššaukė staigias ežerų transgresijas, gruntuvių vandenų kilmą ir pelkėjimo procesų paspartejimą. Biržulio ežere vandens lygis pasiekė Atlančio laikotarpio lygi (Kunskas, 1984). Pirmoje subatlančio pusėje Lietuvoje išplito eglynai, antroje pusėje augalijoje išskiriama pušynų ir beržynų fazė (Kabailienė, 1979). Šiame laikotarpyje Žemaitijos aukštumose išivyräuja oligotrofinės pelkės (Савукинене и др., 1978). Pelkėse oligotrofinių durpių labai padaugėjo visoje Lietuvoje, formavosi aukštapelkių išgaubtumas (Kabailienė, 1990). Subatlančio laikotarpyje intensyvus kiminų augimas, suformavęs storą mažai susiskaidžiusios durpės sluoksnį, būdingas visai iškiliujų oligotrofinių durpynų zonas Europinei daliai, kuriai priskiriamas ir Lietuvos regionas (Kač, 1948). Užpelkių Tyrelio durpyne subatlančio periodo pradžios sluoksniuose rasti giliausieji subfossiliniai pušies kelmai ir stiebai.

Subatlančio laikotarpio ežerų nuosėdose fiksuojami dar dviejų negilių regresijų pėdsakai: apie mūsų eros pradžią ir apie tūkstantuosius metus po Kr. (Kunskas, 1984). Atskiri drėgnesnio bei sausesnio klimato subperiodai išskiriami ir Užpelkių Tyrelio durpyno žiedadulkių spektruose (Савукинене и др., 1978).

Subatlančio laikotarpyje, ypač jo pabaigoje, pelkėdaros procesams didelę įtaką pradėjo daryti žmogaus veikla. Miškų kirtimas, žemdirbystės plitimasis pakeitė dirvožemio drėkinimo režimą, žmogaus sukelti gaisrai veikė augalijos dangą, tuo pačiu ir durpėjimo procesus, nekalbant apie tiesioginį pelkių sausinimą bei durpių kasimą, dėl ko pelkių plotai Lietuvoje paskutinijių šimtmetį ypač sumažėjo. Šiuo metu iš dvidešimt dviejų Lietuvos fizinių - geografinių rajonų aštuoniuose jau nebéra didesnių kaip 50 ha pelkių, kuriose vyktų durpėdara. (Kunskas, 1986).

## 2.2 Aukštapelkinės augalų bendrijos

Lietuvos pelkėse auga ir durpės klodus formuoja daug augalų - durpojų bendrijų. Pagal savo trofiškumą pelkių augalija skirtoma į tris tipus: žemapelkinį, tarpinį ir aukštapelkinį. Kiekvienas tipas turi tris potipius, besiskiriančius medyno išreikštumu: raistinį, plynraistinį ir plyninį (Seibutis, 1966).

Lietuvos aukštapelkės - vidutinio jūrinio klimato pelkės ir priskiriamos kimininių pelkių su centriniais duburiuotaisiais kompleksais bei silpnai išreikštu mikroreliefu grupei (Kač, 1948). Joms tiek pakilumose, tiek įdubimuose nebūdingi pataisai, mikroreliefas mažai diferencijuotas, vyrauja vidutinio lygio asociacijos, gilių duburių ir aukštų kauburių asociacijos užima daug mažesnį plotą.

Aukštapelkėse dėl itin specifinių augimvietinių sąlygų durpojų skaičius gana ribotas. Čia labiausiai paplitusios šios augalų bendrijos: aukštapelkiniai pušynai, švyliniai ir mediuminiai plynraisčiai, kimininiai liūnsargynai, kimininiai švylynai, fuskuminės ir rubeliuminės plynės (Seibutis, 1966).

Aukštapelkiniai pušynai pasižymi gerai susiformavusių paprastosios pušies - *Pinus sylvestris* f. *uliginosa* - medynu. Krūmokšnių tarpe sutinkamas gailis (*Ledum palustre*), vaivoras (*Vaccinium uliginosum*), iš samanų vyrauja magelaninis kiminis (*Sphagnum magellanicum*).

Švylinių ir mediuminių plynraisčių medyną sudaro *Pinus sylvestris* f. *litwinowii*. Švyliniuose plynraisčiuose žolynas susideda iš kupstinio šylio (*Eriophorum vaginatum*), samanų mažai, tuo tarpu mediuminiuose plynraisčiuose vyrauja magelaninis (*Sph. magellanicum*) ir siauralapis (*Sph. angustifolium*) kiminai, gausus rudasis kiminis (*Sph. fuscum*), o žolinė danga reta, susideda iš kupstinio šylio, tekšės (*Rubus chamaemorus*). Mediuminiai plynraisčiai - svarbiausia nedidelių ir vidutinių aukštapelkių bendrija. Švyliniai plynraisčiai labiausiai buvo paplitę viduriniajame holocene.

Kimininiai liūnsargynai - labiausiai užmirkusių augimviečių bendrija. Iš krūmokšnių čia sutinkama balžuva (*Andromeda polifolia*), žolyne vyrauja liūnsargė (*Scheuchzeria palustris*), kartais pasitaiko saidra (*Rhynchospora alba*) ir svyrusklinė viksva (*Carex limosa*). Iš samanų sutinkami duburių kiminai.

Kimininiai švylynai užima sausesnes vietas, dažni apsausėjusiose aukštapelkėse. Ši bendrija pasižymi ryškiu kupstuotumu, kurį formuoja kupstinis švylys, tarp kupstų auga kiminai.

Svarbiausia didesnių Lietuvos aukštapelkių bendrija - fuskuminės plynės. Jose kartais sutinkama *Pinus sylvestris* f. *willkommii*. Iš krūmokšnių sutinkami viržis (*Calluna vulgaris*), varnauogė (*Euphorium*

*nigrum*), spanguolė (*Oxicoccus quadripetalus*), gailis (*Ledum palustre*), iš žolinių augalų - kupstinis švylys). Samanynas labai vešlus, susideda iš rudojo kimino (*Sph. fuscum*). Labai panašiose rubeluminėse plynėse vietoj rudojo kimino vyrauja raudonasis kiminis (*Sph. rubellum*).

Lietuvos aukštapelkėse nemažai ir sudėtingų augalijos kompleksų - duburiuotųjų ir ežerokšnių. Duburiuotuose kompleksuose tarp pakilesnių fuskuminių ar rubelumininių plotelių išsidėstę duburiai, kuriuose vyrauja duburių kiminai, dažniausiai smailiašakis (*Sph. cuspidatum*). Kai kur sutinkami ežerokšniniai kompleksai, kuriuose užmirkusių duburių bendrijose tyvuliuoja ežerokšniai (Seibutis, 1966).

Kadangi Lietuva jau nuo seno gausiai gyvenamas kraštas, šalia natūralių pelkinių bendrijų labai dažnos fitocenozės, susiformavusios dėl žmogaus ūkinės veiklos: medyno iškirtimo, sausinimo, pelkės apylinkių dirbimo, gaisrų. Medyno iškirtimas pakeičia žolinės dangos sudėtį, po kiek laiko pelkėje išplinta tankūs krūmynai. Pelkei nusausėjus dėl žmogaus veiklos ar gamtinių priežasčių, suslūgsta durpės, nyksta higrofitiniai ir isivyrauja sausesnių augimviečių augalai, pradeda augti medžiai, plynės tampa plynraisčiais ar raistais, plynraisčiai - gerai augančiais raistais. Po gaisrų aukštapelkėse suintensyvėja gaisrą pergyvenusių durpojų, tame tarpe pušų, augimas, įsiveisia beržai. Degusių aukštapelkių požymis - neblogai augantis mišrus beržo ir pušies medynas, gausu viržinių šeimos krūmokšnių, paplitusios šiurės (Seibutis, 1966).

Pagal dabartinę floristinę - sociologinę sistematiką (Балявичене, 1991) Lietuvos aukštapelkių bendrijos priklauso dvims fitocenotinėms klasėms: *Oxycocco-Sphagnetea* Br.-Bl. et R.Tx. 43 ir *Vaccinietea uliginosi* Lohmeyer et R.Tx. 55. Klasė Oxycocco - Sphagnetea apima aukštapelkių bendrijas be sumedėjusių rušių, joje yra viena eilė Sphagnetalia magellanici Moore 68, viena sąjunga Sphagnion magellanici Kästner et Flosner 33 em. Dierssen 75 ir trys asociacijos: Sphagnetum magellanici Kästner et Flosner 33, Rhynchosporo-Baeothryetum caeospitosi Boč, Smagin 87, Eriophoro-Trichophoretum caespitosi Rübel 33. Klasei Vaccinietea uliginosi charakteringas *Pinus sylvestris* medyno dominavimas, išreikštasis krūmokšnių aukštasis. I klasę jeina viena eilė Vaccinietallia uliginosi Lohmeyer et R.Tx. 55, dvi sąjungos Ledo-Pinion R.Tx. 55 ir Betulion pubescentis Lohmeyer et R.Tx. 55 ir trys asociacijos: Ledo-Pinetum R.Tx. 55 su subasociacija L.-P. Empetrum nigri, pasitaikančia šiaurės Lietuvoje, Sphagno-Pinetum mugii Kästner et Flosner 33, rasta Šventelės pelkėje prie Kuršių marių ir Betuletum pubescentis R.Tx. 55, kuri būdingesnė durpynuose po gaisrų.

### 2.3 *Pinus sylvestris* L. ypatybės pelkinėse augimvietėse

Paprastojo pušis (*Pinus sylvestris* L.) - vienas iš ekologiškai plastiskiausių durpojų. Ji auga įvairose augimvietėse - tiek žemapelkėse, tiek aukštapelkėse, prisitaikydamas prie kintančių aplinkos sąlygų. Dėl menkos ūkinės reikšmės Lietuvoje pelkinį augimviečių paprastosios pušies savybės mažai tyrinėtos. Kitose *Pinus sylvestris* arealo šalyse tyrimai taip pat koncentruojami ūkiškai vertingose augimvietėse, tik kai kurių autorių darbai nukreipti ir į neturtingą pelkinį augimviečių puši (Карпавичюс, 1981 a, б, 1984 а, в; Läänelaid, 1981, 1982, Ляэнелайд, 1979, 1981 б; McVean, 1963 a, b; Смоляк, 1963 и kt.). Aukštapelkėje pušis turi prisitaikyti prie skurdaus mineralinio maitinimosi sąlygų, mažo deguonies kieko bei didelių temperatūros svyravimų šaknų zonoje, fiziologiškai prieinamo vandens trūkumo. Todėl tiek jos anatominės, tiek morfologinės savybės gerokai skiriasi nuo *Pinus sylvestris*, augančios mineraliniame dirvožemyje.

Jau amžiaus pradžioje V.Sukačiovas (Сукачев, 1905) apraše šiuos pelkinį augimviečių *Pinus sylvestris* savitumus: jos spygliai trumpesni, juose daugiau sakotakių, konkorėžiai ir sėklas mažesnės, skiriasi stiebo forma, metinės rievės labai siauros, mediena tankesnė ir sakingesnė, todėl daug lėčiau pūva. A.McNally ir G.J.Doyle (1984, a) nurodo, kad Airijoje durpynuose augusių pušų produktyvumas beveik dvigubai mažesnis negu mineraliniame dirvožemyje, be to durpyno pakraštyje augančios pušys turi didesnį prieaugį, negu durpyno centre, net jei durpių sluoksnis po šaknimis yra vienodo storio (McNally, Doyle, 1984, a). Be nepalankių aplinkos sąlygų, mažą pelkinį augimviečių pušies prieaugį dar salygoja silpnesnė negu mineraliniame dirvožemyje mikorizė (McVean, 1963b).

Keičiantis augimvietės sąlygomis, prie kurių turi prisitaikyti pušis, keiciasi ir jos rūšiniai požymiai. R.Abolinas (Аболин, 1915) apraše keturias morfolinges *Pinus sylvestris*, augančios pelkiniam dirvožemyje, formas. Labiausiai nepalankiomis sąlygomis auga *Pinus sylvestris* f. pumila. Tai keružinės formos pušis, jos priaugis tokis menkas, kad jo vos užtenka išlaikyti apaugančio kiminų sluoksnio paviršiuje šakų viršūnes su spygliais. Estijos aukštapelkėje tirtos pumila formos pušies antžeminė fitoprodukcija 93,9 g sausos medžiagos per metus, o vidutinis metinis ūglių viršūninis priaugis - 3,5 cm (Ляэнелайд, 1979). Centrinis stiebas ir pagrindinės šakos paprastai būna durpėje ar kiminų paklotėje. Lietuvoje *P.sylvestris* f. pumila retai aptinkama vakarinių rajonų aukštapelkių ir užaugančių ežerų kompleksuose (Dendrologija, 1973). *P.sylvestris* f. willcommii sutinkama truputį aukštesnėse vietose ir pasiekia 1,5 - 2 m aukštį. Kur gruntuinio vandens gylis neaukštesnis kaip 25 - 30 cm, auga forma litwinowii, išauganti iki 3 - 4 m aukščio, su plačia laja, kurios plotis

ne mažesnis kaip 2/3 medžio aukščio. *P.sylvestris* f. *uliginosa* artimiausia formoms, augančioms mineraliniame dirvožemyje, ji pasiekia 10 - 12, kartais 15 m aukštį (Аболин, 1915).

Jau V.Sukačiovas iškėlė klausimą, ar morfolinges pušies formas nulemia paveldėjimas, ar aplinkos sąlygos. Šiuo klausimu domėjosi Sukačiovo mokinys L.A.Tonkošanas. Dabar laikoma įrodytu faktu, kad ekologinės pušies formos neturi genetinio pagrindo, o atsiranda prisitaikant prie specifinių ekologinių sąlygų ir neperduodamos sekančioms kartoms (Березина и др., 1983 ).

Dendrochronologiniams tyrimams vertingiausios yra formos *P.sylvestris* f. *uliginosa* ir *P.sylvestris* f. *litwinowii*, nes labai skurdžių ir užmirkusių augimviečių *Pinus sylvestris* formų stiebo kreivumas bei pridėtinių šaknų įtaka iššaukia metinių rievių ekscentriškumą ir užtušuoja klimatinį signalą radialinio priaugio dinamikoje. Formos *P.sylvestris* f. *pumila* radialinis priaugis beveik neturi ryšio su meteorologiniais faktoriais (Ляэнелайд, 1979).

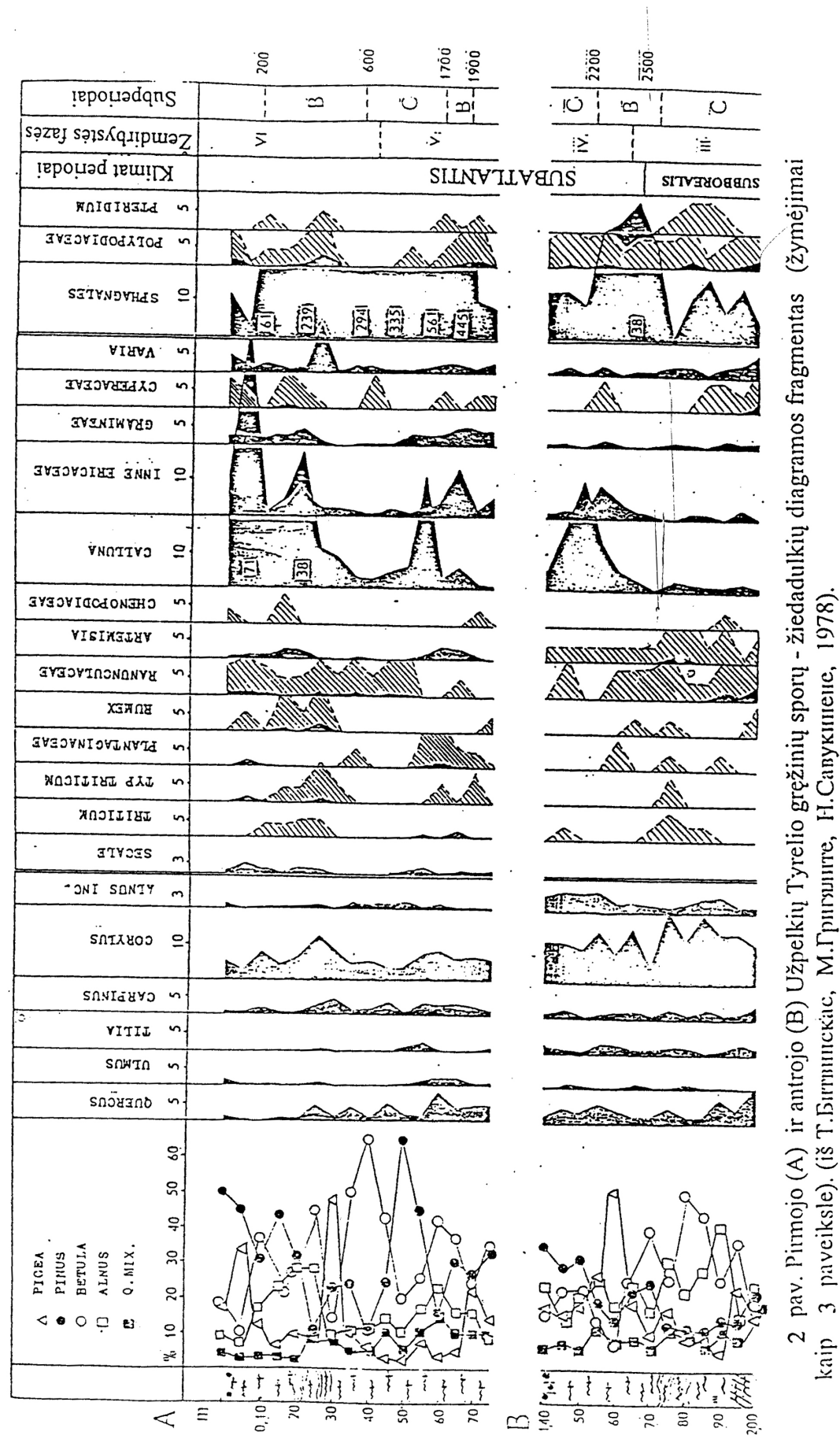
### 3. TYRIMŲ OBJEKTAS IR MEDŽIAGA

Užpelkių Tyrelio aukštapelkė, kurios durpių kluonuose surinkti subfossilinės medienos pavyzdžiai dendrochronologiniams tyrimams, yra Lietuvos šiaurės vakaruose, Plungės raj., Žemaičių aukštumose, 47 km į rytus nuo Baltijos jūros ir 1 km į šiaurę nuo Platelių ežero, 138 m aukštyje virš jūros lygio. Geografinės koordinatės: 56°05' šiaurės platumos ir 21°50' rytų ilgumos. Apylinkių reljefas kalvotas, taigi pelkės dugnas bei durpių sluoksniai taip pat yra daugiau mažiau banguoti. Durpyną 1959 metais, prieš pradedant eksploraciją, tyrė Durpių fondo valdyba (žr. I priedą) ir aštunto dešimtmečio pirmoje pusėje tuometinio Zoologijos - parazitologijos instituto Geografijos skyriaus (dabar Geografijos Institutas) darbuotojos M. Grigelytė ir N. Savukynienė (Савукинене и др., 1978).

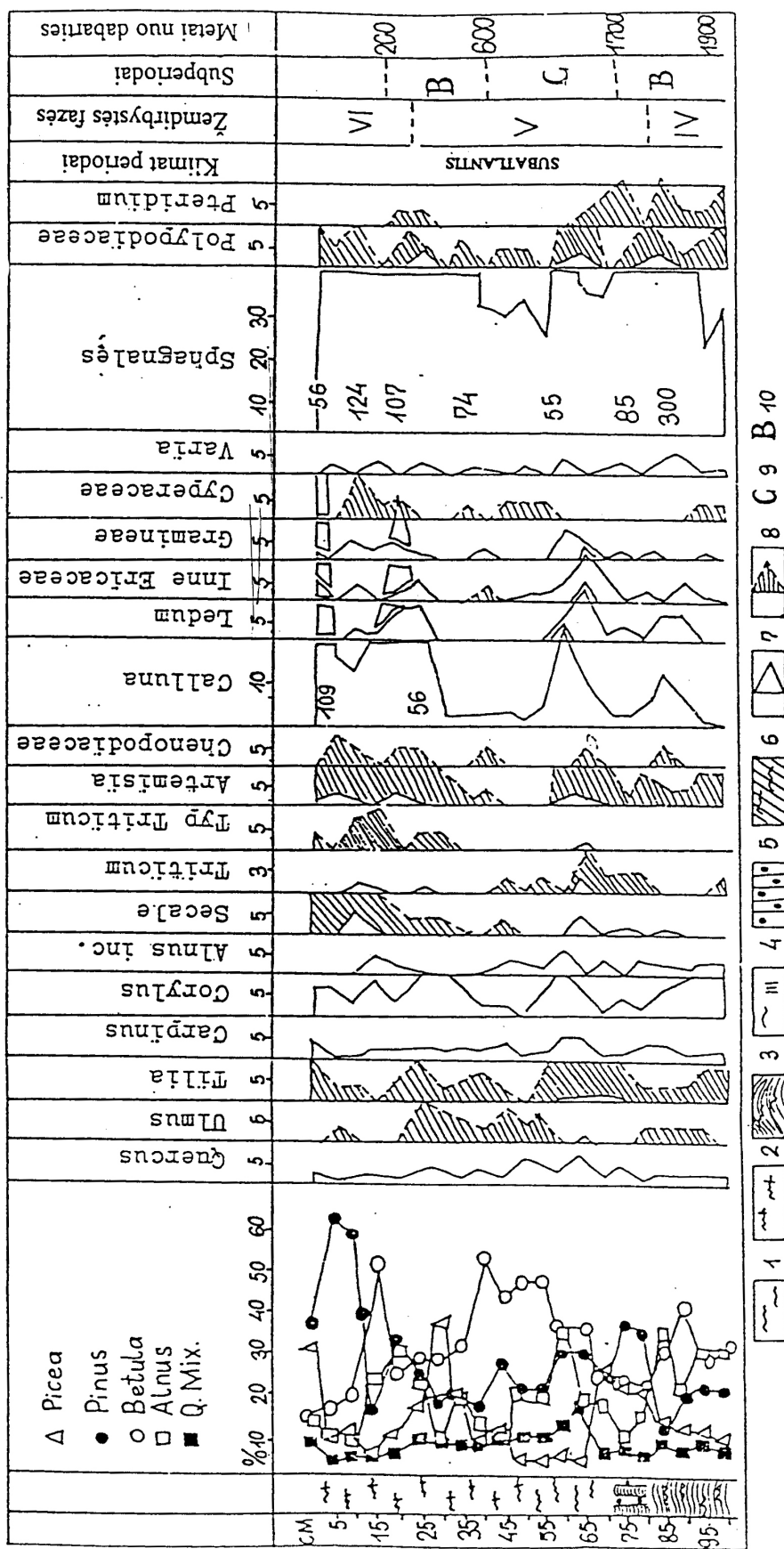
Aukštapelkės plotas 36,7 ha, vidutinis durpės storis 3,4 m, didžiausias - 8,0 m. Aukštapelkė yra ežerinės kilmės, ji pradėjo formuotis Borealo periode (maždaug 7000 metų pr. Kr.), oligotrofinė fazė prasidėjo sausame laikotarpyje Subborealo pabaigoje (apie 1000 m. pr. Kr.) (Савукинене и др., 1978). Subatlančio laikotarpyje visa pelkė, išskyrus pačią pietinę dalį, buvo oligotrofinė.

#### 3.1. Užpelkių Tyrelio durpyno raida, remiantis durpių bei žiedadulkių analize

Pelkės formavimosi pradžioje gana ilgą laiką vyravo eutrofinės kiminė bendrijos, suformavusios apie 0,7 m storio kimininės durpės sluoksnį, gulintį ant sapropelio (Савукинене и др., 1978). *Sphagnum teres* liekanų gausumas rodo, kad į pelkę patekdavo turtingo mineralinėmis medžiagomis gruntu vandens, o vandens augalų (*Typhaceae*, *Nymphaeaceae*, *Sparganiaceae*) liekanos - kad dar buvo neužakusių ežerėlių. Pelkės apylinkėse vyravo pušis ir beržas. Šilto ir drėgno atlantinio periodo metu (6000 - 3000 m. pr. Kr.) pelkės apylinkėse išplito plačialapių medžiai: ąžuolas, guobiniai, liepa; pušies ir beržo sumažėjo. Kaupiantis durpei ir pelkės paviršiui kylant, pelkėje išivyravo medyninės - kimininės bendrijos, palikusios alksninę - kimininę durpę, virš kurios slūgso stipriai suirusios alksninės durpės su viksvų, nendrių, paparčių priemaišomis. Alksnynus pakeitė trumpalaikės žemapelkinių pušynų bendrijos, iškūrusios laikotarpiais, kai sumažėdavo gruntu vandens lygis. To laikotario durpėse randama suirusios pušies medienos, deja netinkamos dendrochronologiniams tyrimams. Atlančio pabaigoje gruntinių vandenų įtakai padidėjus, vėl pasirodė žemapelkinės viksvinės - kimininės bendrijos (Савукинене и др., 1978).



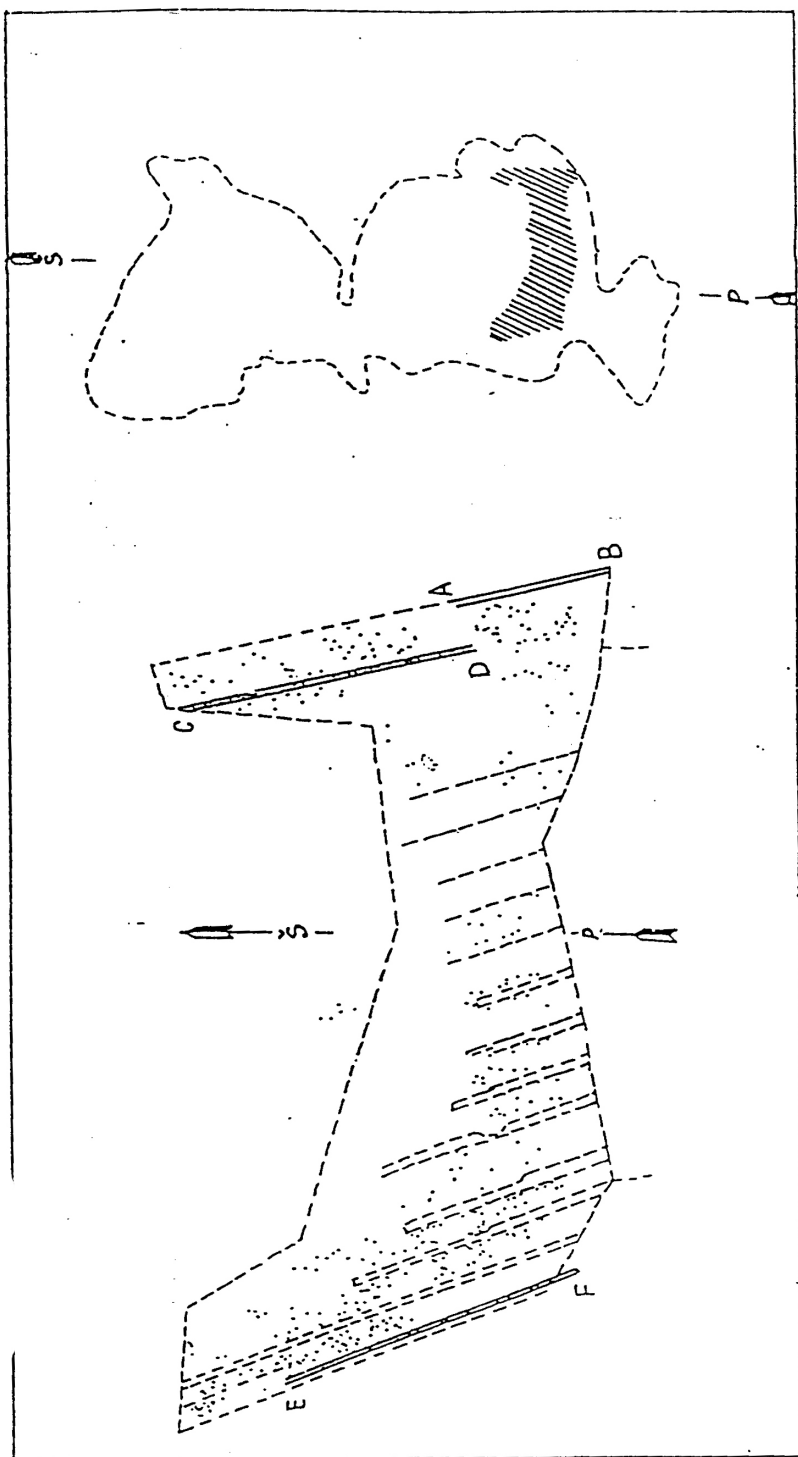
2 pav. Pirmojo (A) ir antrojo (B) Užpelkių Tyrelio grėžinių sporių - žiedadulkių diagramos fragmentas (žymėjimai kaip 3 paveiksle). (iš T. Biršnumskienė, M. Grūšlavičienė, H. Čaplykinienė, 1978).



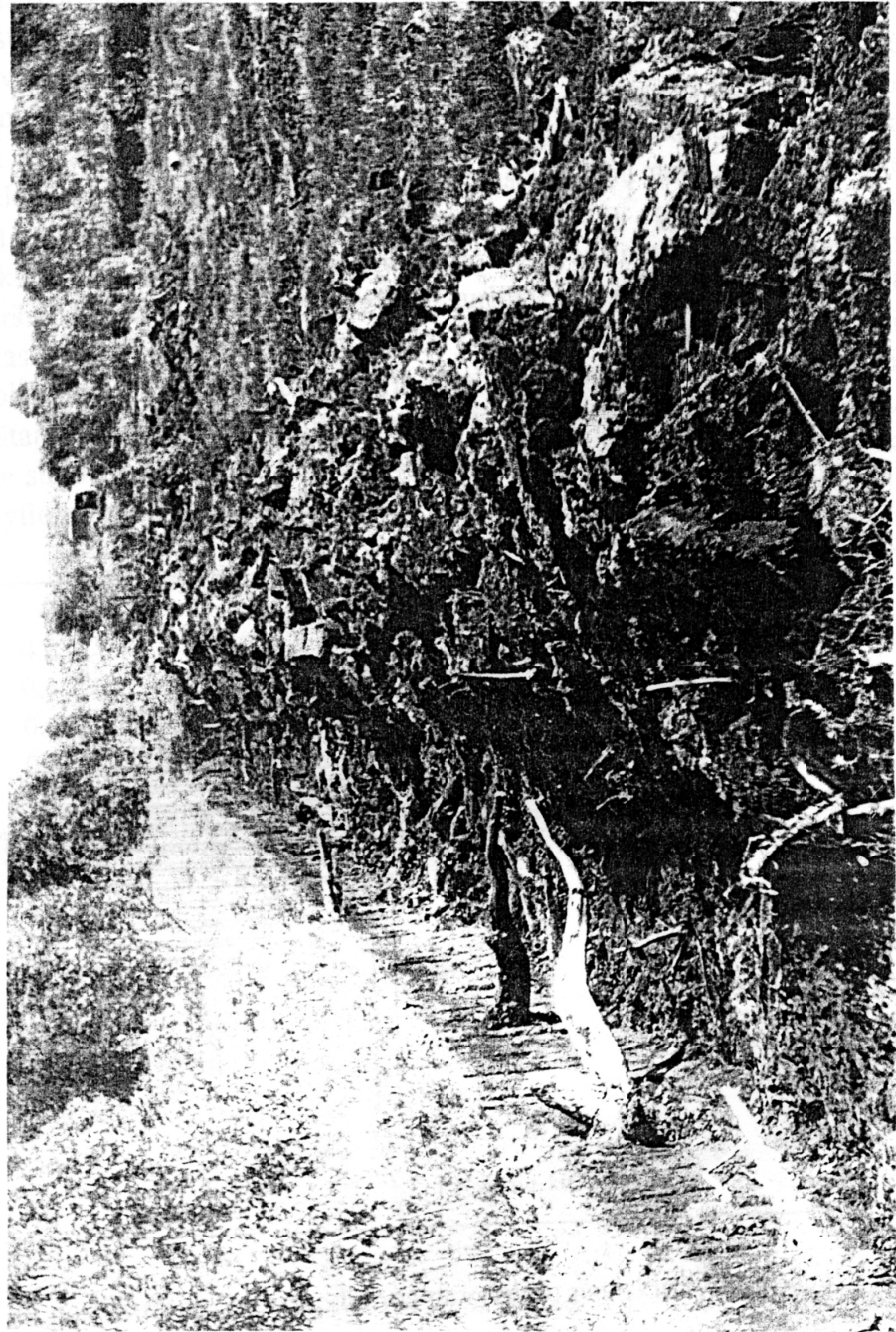
3 pav. Trečiojo Užpelkių Tyrelio grėžinio sporų - žiedadulkių diagramos fragmentas (1- medium durpē, 2-fuskum durpē, 3- švylinė, 4- liūnsarginė, 5- pušinė, 6- viksvinė - liūnsarginė tarpinė, 7- aukštapelkinė, 8- žiedadulkių kiekis procentais, 9- šiltasis sausasis subperiodas, 10- vėsusis drėgnasis subperiodas). (iš T. Bitvinickas, M. Grigulaitė, H. Savukienė, 1978).

Subborealo pradžioje beveik visą pelkés plotą užėmė tarpinio tipo viksvinės - kimininės bendrijos. Subborealo pabaigoje pelkė virsta aukštapelke, atsiranda liūnsarginės - kimininės durpės sluoksniai. Žiedadulkių spektre pradeda vyrauti aukštapelkių augalai (padaugėja erikinių šeimos augalų žiedadulkių), iš sporinių - aukštapelkiniai kiminai.

Subatlančio laikotarpiu pastebima skirtingų augmenijos bendrijų, kuriose vyrauja kiminai, kaita. Ši kaita susijusi su nežymiais gruntuvinio vandens lygio svyravimais, iššauktais klimatiniai pokyčiai. Durpyno paviršių prieš pradedant eksplotaciją dengė storas fuskuminės durpės sluoksnis. Viršutiniuose sluoksniuose rasta *Sphagnum balticum* liekanų, tai rodo, kad išsivystė mikroreljefas: ant mikropakilimų augo *Sph. fuscum*, mikroįdubimuose - *Sph. balticum*. Subatlančio laikotarpio durpės sluoksniuose rasta keletą lokalinių stipriai suirusios švylinės - kimininės, pušinės ar pušinės - kimininės durpės tarpsluoksnį. Jie yra susidarę dėl vietinio nusausinimo, greičiausiai dėl durpyno gaisrų. Iš Subatlančio laikotarpio žiedadulkių spekto galima nustatyti kelis šalto - drėgno ir šilto - sauso klimato subperiodus: šaltų - drėgnų laikotarpių metu padaugėdavo eglės ir alksnio žiedadulkių, sumažėdavo pušies, grūdinių kultūrų žiedadulkių; šiltų laikotarpių metu - pušies žiedadulkių padaugėdavo, išaugdavo viržio bei grūdinių kultūrų (iš pelkės apylinkių) žiedadulkių kiekis, sumažėdavo eglės ir alksnio (2, 3 pav.), (Савукинене и др., 1978). Šiame darbe atliktais užsikonservavusios durpės subfossilinės pušies medienos pavyzdžių dendrochronologiniais tyrimais siekta gauti papildomų ir detalesnių laiko atžvilgiu duomenų apie subatlančio laikotarpio pelkės augalijos raidos ir klimato svyravimo ypatumus.



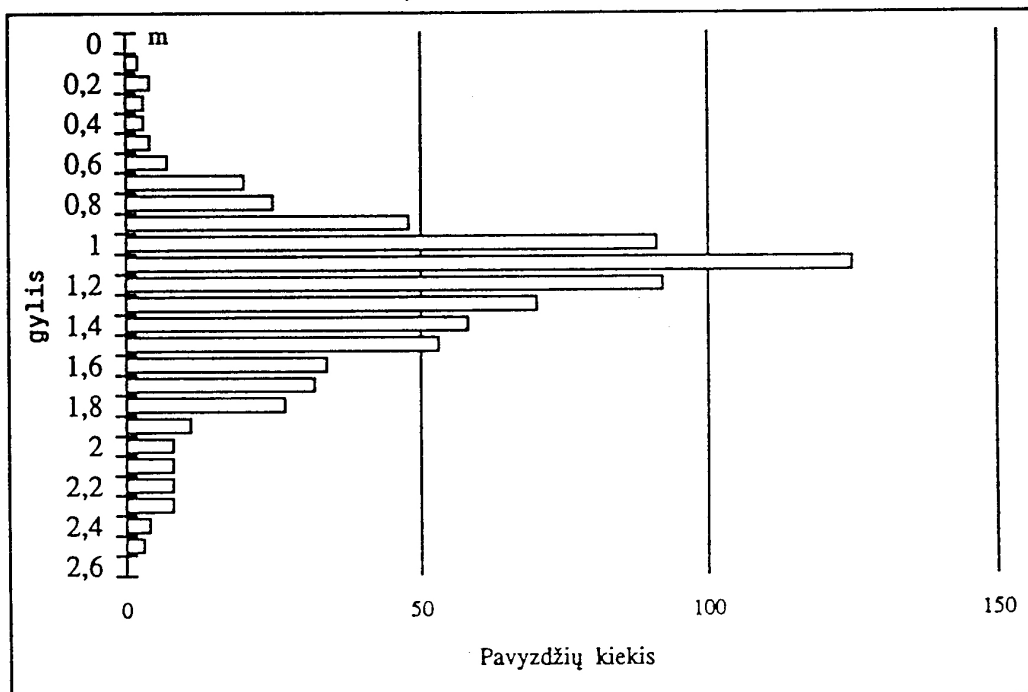
4 pav. Užpelkių Tyrelio aukštapelkė kontūrai ir tyrimų plotas (užbrukšniuotas). Kairėje - detalesnis tyrimų ploto planas: kasinys A-B - pirmasis durpės sluoksnio metras, C-D - antrasis durpės sluoksnio metras. Kasinys E-F - pirmasis durpės sluoksnio metras. Punktyrais parodyti viršutiniai durpių sluoksnio likučiai, taškais - išlikę pušies kelmai (stiebai). (iš T. Birtvinickac, 1978)



5 pav. Praeities pušynų liekanos Užpelkių Tyrelio durpių kluoose (foto. aut. T.Bitvinskas)

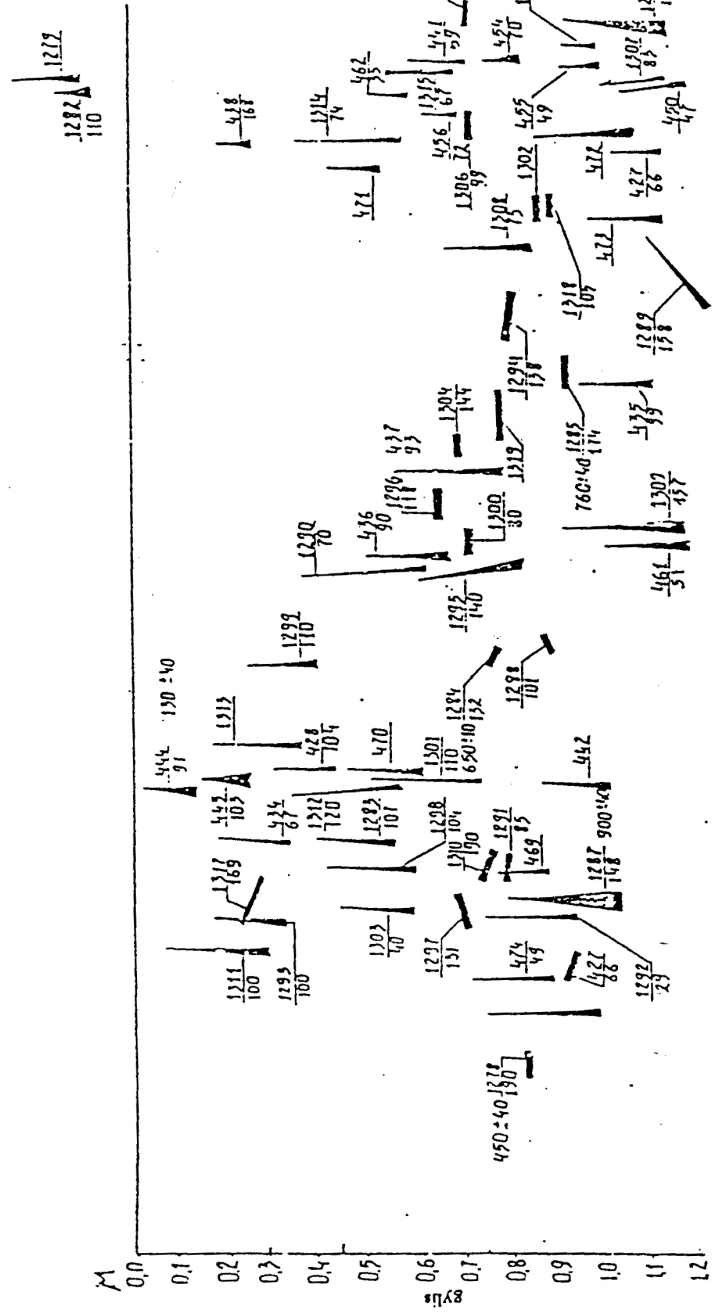
### 3.2. Durpėse užsikonservavusios subfossilinės *Pinus sylvestris* medienos pavyzdžiai

Užpelkių Tyrelio pelkės durpių horizontuose užsikonservavusios paprastosios pušies medienos pavyzdžiai - kelmų stiebinės dalies nuopjovos - surinkti dendroklimatochronologinės laboratorijos darbuotojų, vadovaujamų dr. T.Bitvinsko, ekspedicijų metu 1971 - 72 metais. Pelkės ir tiriamojo ploto schema parodyta 4 paveiksle. Tuo metu aukštapelkė buvo gerai nusausinta, ir rankiniu būdu buvo kasamos durpės (žr. 5 pav.). Didelėje durpyno paviršiaus dalyje pirmasis durpių metras buvo nukastas, todėl atsidengė nemažas kiekis pušies kelmų, palaidotų gilesniuose sluoksniuose. Apie pusę tirtų pavyzdžių buvo surinkta iš šio nukasto ploto paviršiaus. Kiti medienos pavyzdžiai surinkti iš 2 durpės sluoksnių profilių: vienas 1 m pločio ir 60 m ilgio kasinys buvo iškastas pietrytiname eksplotuojamojo ploto pakraštyje ir apėmė maždaug 1 m storio paviršinių aukštapelkinės durpės sluoksnį, antrasis, 2 m pločio ir 120 m ilgio, iškastas plote su jau nukastu paviršiniu durpės metru ir apėmė nuo 1 m gylio iki 2,8 m gylio esančius oligotrofinės durpės sluoksnius.

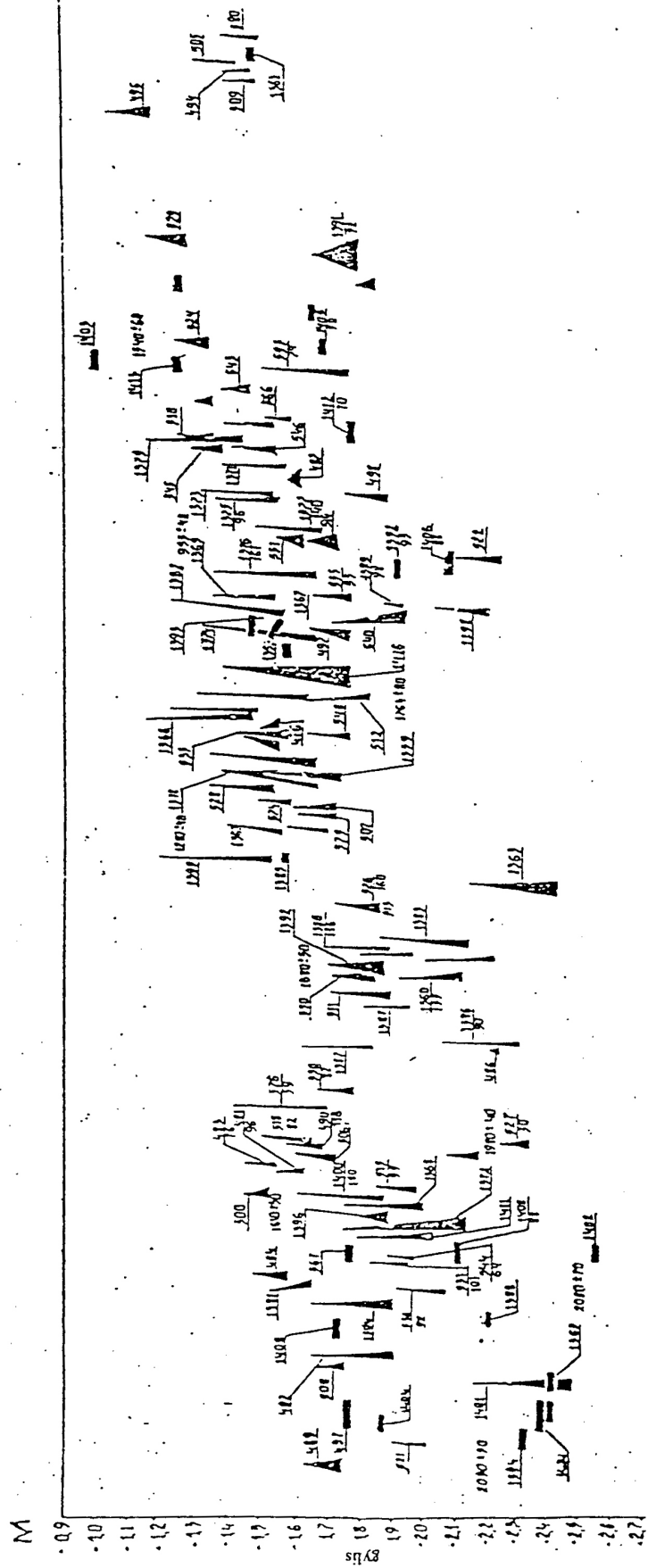


6. pav. Subfossilinės medienos pavyzdžių pasiskirstymas pagal gylį.

Oligotrofinėse durpėse užsikonservavusi pušies mediena - tai išlikę medžių kelmai su ilgesne ar trumpesne (vidutiniškai 20 - 40 cm ilgio)



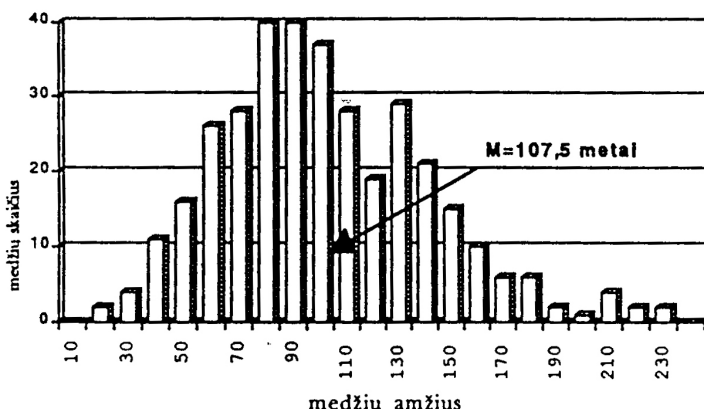
7 pav. Užpelkių Tyrelio aukštapelkės I kasinys. Paviršinis (pirmasis) durpės metras. Trikampis pavaizduoti pušies kelmai: kelmo pagrindo skersmenį santykiniai išreiškia trikampio pagrindas, stiebo ilkučio ilgį - trikampio aukštis. Gulintys stiebai pavaizduoti stačiakampiais. Radioanglies metodu datuoti parodyti su datomis. (iš T.Birnbaumo, 1978).



8 pav. Užpelkių Tyrelio aukštapelkės II kasinys. Antrojo durpės metro sluoksnis. Simboliai tokie patys kaip ir 7 pav.  
(iš T.Битвинская, 1978)

kamieno liekana, metinių rievių struktūra nesuirusi ir gerai ižiūrima. Vietomis pasitaikė horizontaliai gulinčių kamienų, rodančių, kad durpės apaugo ne stovintį, o nuvirtusį medį (Битвинскас, 1978). Pavyzdžių pasiskirstymas pagal gylių nevienodas (žr 6 pav.). Jų kiekio pikas apie 1,0 - 1,2 metro gylių iš dalies atspindi didesnį tirtą šio gylio durpių sluoksnių plotą. Tačiau ir profiliuose pavyzdžiai išsidėstę nevienodai. Didžiausias tankumas yra tarp 1 ir 1,8 metrų. Mažiausiai medienos rasta viršutiniuose 30 cm gylio sluoksniuose, giliausi rasti medienos pavyzdžiai - 2,6 m gylyje. Pavyzdžių pasiskirstymas profiliuose parodytas 7 ir 8 paveiksluose. Nevienodas pavyzdžių tankumas rodo, kad pušies medynui aukštapelkėje augti sąlygos ne visą laiką buvo vienodos.

Iškastų medžių liekanų metinių rievių tyrimai parodė, kad pušys aukštapelkėje nepasiekdavo ilgo amžiaus. Jauniausiuju amžius buvo 30 metų, tik 7 medžiai buvo vyresni negu 200 metų. Vidutinis amžius - 107 metai. 9 paveiksle pateiktas pavyzdžių pasiskirstymas pagal medžių gyvenimo trukmę.



9 pav. Medžių, augusių durpyne, pasiskirstymas pagal gyvenimo trukmę.

Dvidešimt aštuoni subfossilinės medienos pavyzdžiai iš įvairių gylių datuoti radioanglies metodu Estijos MA Zoologijos ir botanikos instituto radioanglies laboratorijoje (žr. 1 lentelę) ir 2 pavyzdžiai po tris rievių grupes datuoti St. Peterburgo Materialinės kultūros istorijos instituto Radioanglies laboratorijoje (2 lentelė). Šios datos buvo kalibravotos kompiuterinės programos, įvertinančios C 14 izotopo kiekio svyravimus

1 lentelė. Užpelkių Tyrelio aukštapelkės iškastinių pušies medienos pavyzdžių radioanglies datos (Estijos MA Zoologijos ir botanikos instituto C14 laboratorija)

Eil. Nr.	Pavyzdžio Nr.	Paėmimo gylis mm	Rievių skaičius	Datuotos rievės	Radioanglies data
1	1282	0010	110	67-110	šiuolaikinis
2	1298	0592	104	50-66	artimas šiuolaik.
3	1293	0322	91	1-80	artimas šiuolaik.
4	1311	0292	108	1-81	artimas šiuolaik.
5	444	0132	91	48-67	130+/-40
6	1278	0832	190	161-190	450+/-40
7	1295	0824	142	1-83	470+/-50
8	1284	0774	132	66-75	650+/-70
9	1290	0634	98	visas	690+/-50
10	1285	0932	174	110-129	760+/-40
11	1321	1252	170	146-155	830+/-80
12	1226	1132	177	131-140	860+/-80
13	1287	1022	148	31-40	900+/-40
14	1382	1568	170	75-104	995+/-40
15	1232	0922	182	154-163	1040+/-40
16	1378	1672	236	129-138	1210+/-40
17	1273	1462	223	48-57	1295+/-40
18	551	1612	150	61-150	1450+/-70
19	1413	1269	220	56-157	1540+/-60
20	484	1584	170	115-134	1610+/-50
21	1352	1852	190	116-165	1680+/-50
22	1416	1772	214	143-152	1764+/-80
23	1383	2162	120	24-53	1950+/-60
24	1372	2144	123	97-106	1980+/-40
25	1384	1894	109	62-71	1990+/-40
26	1401	2484	145	63-72	2050+/-50
27	1365	2401	120	83-102	2080+/-70
28	1396	2014	126	71-105	2090+/-50

2 lentelė. Užpelkių Tyrelio aukštapelkės iškastinių pušies medienos pavyzdžių radioanglies datos (Rusijos MA Materialinės kultūros istorijos instituto C14 laboratorija)

Eil. Nr.	Pavyzdžio Nr.	Paėmimo gylis mm	Rievių skaičius	Datuotos rievės	Radioanglies data
1	1048	-	142	100-114	1160+/- 40
2	1048	-	142	77-79	1230+/- 40
3	1048	-	142	63-67	1270+/- 40
4	951	-	123	88-98	1480+/- 40
5	951	-	123	50-56	1505+/- 40
6	951	-	123	32-38	1520+/- 40

atmosferoje pagal Stuiver'io ir Pearson'o (1986) kalibracinię kreivę, pagalba (Van der Plicht, Mook, 1989) (žr. 4.3 skyrių).

Iš viso Užpelkių Tyrelio durpyne dendrochronologiniams tyrimams paimta virš 300 paprastosios pušies medienos pavyzdžių.

### **3.3 Aukštapelkiniai paprastosios pušies dabar augančių medžių dendrochronologiniai tyrimų bareliai**

Siekiant išaiškinti pušies, augančios pelkinėse augimvietėse, radialinį prieaugį formuojančius faktorius bei vertinant atskirų medžių tarpusavio sinchronizacijos ypatumus, darbe panaudota dviejų dabartinių augančios paprastosios pušies (*Pinus sylvestris*) tyrimo barelių metinių radialinių prieaugių analizė.

Pirmo dendrochronologinio barelio medžiaga paimta toje pačioje Užpelkių Tyrelio aukštapelkėje, pakraščiuose, nepaliestuose durpyno eksploatacijos. Augimvietė Pa<sup>a</sup>, miško tipas - tyrašilis, Ledo Pinetum. Medyno sudėtis 10P, skalsumas 0,3, bonitetas Va, H=10m, D=11cm, amžiaus klasė 10. Paimti dešimties medžių pavyzdžiai - gręžinėliai metinių rievių tyrimams, gręžta prieaugio grąžtu krūtinės aukštyje.

Antras dendrochronologinis barelis - Utenos rajone, Daunorių g.-joje. Geografinės koordinatės: 55°26' Š pl., 25°57' R. ilg., aukštis virš jūros lygio 153 m. Augimvietė Pa, miško tipas - tyrašilis, Ledo Pinetum. Medyno sudėtis 10P, skalsumas 0,5, bonitetas Va, H=11m, D=13cm, šešiolikta amžiaus klasė. Siekiant įvertinti galimas prieaugio dinamikos individualumo, būdingo aukštapelkinių augimviečių pušiai (Karpavičyč, 1984, b; Pikšrytė, 1989) priežastis, medžiai tyrimui pasirinkti profilyje pagal liniją nuo aukštapelkės ezerėlio iki pelkės pakraščio, atsiremiančio į statų kalvos šlaitą (atstumas apie 130 m). 10 pav. pateikta gręžtų medžių išsidėstymo schema. Pirmasis medis yra atokiau nuo kitų medžių (apie 60m nuo 12-to medžio), prie pelkės pakraščio. Medžiai gręžti prieaugio grąžtu dviem kryptimis krūtinės aukštyje. Atskirų medžių amžius siekia 200 metų. Radialinio prieaugio matavimui atrinkta vienuolika medžių.

Augalinė dendrochronologinio tyrimo barelių danga įvertinta pagal Braun - Blanquet skalę (Natkevičaitė - Ivanauskienė, 1983):

r - individų labai mažai (iki 5 egz.), padengia labai mažą plotą;

+ - individų mažai, padengia mažą plotą;

1 - individų gana daug, esant mažam padengimui arba jų palyginti mažai, bet tada padengimas didesnis, tačiau nesiekia 1/20 viso ploto;

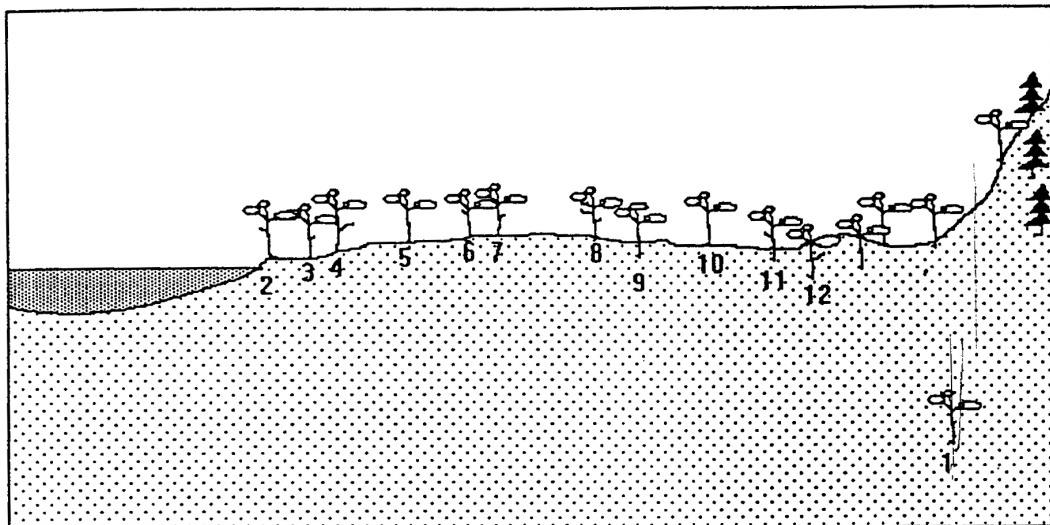
2 - individų labai daug arba padengia bent 1/20 ploto;

3 - individų įvairiai, padengia 1/4 - 1/2 laukelio;

4 - individų įvairiai, padengia 1/2 - 3/4 laukelio;

5 - individų įvairiai, padengia daugiau kaip 3/4 laukelio.

Abiejų barelių augalinės dangos įvertinimas pateiktas 3 lentelėje.



10 pav. Utenos raj. Daunorių g-jos dendrochronologinio barelio medžių išsidėstymo schema. Skaičiais parodyti gręžtų medžių numeriai.

3 lentelė. Tyrimo barelių augalinė danga (Ledo Pinetum)

	Užpelkių Tyrelio procentinis padengimas	Daunorių
medžiai	20%	40%
krūmokšniai ir žolės	80%	70%
samanos	90%	90%
medžiai		
<i>Pinus sylvestris</i>	2	2
krūmokšniai ir žolės		
<i>Ledum palustre</i>	2	3
<i>Vaccinium uliginosum</i>	2	2
<i>Vaccinium myrtillus</i>	1	1
<i>Vaccinium vitis-idaea</i>	+	-
<i>Andromeda polifolia</i>	+	+
<i>Oxicoccus quadripetallus</i>	+	+
<i>Empetrum nigrum</i>	+	1
<i>Calluna vulgaris</i>	1	-
<i>Rubus chamaemorus</i>	+	-
<i>Chamedaphne calyculata</i>	-	+

## 3 lentelės tēsinys

<i>Carex lasiocarpa</i>	1	+
<i>Eriophorum vaginatum</i>	1	2
<i>Drosera rotundifolia</i>	+	-
samanos		
<i>Sphagnum sp.</i>	3	4
<i>Polytrichum strictum</i>	2	2
<i>Dicranum polysetum</i>	+	-
<i>Hylocomium splendens</i>	+	-
<i>Aulacomnium palustre</i>	-	+

## 3.4. Meteorologiniai duomenys

Apskaičiuojant prieaugio ryšius su klimatiniais rodikliais (temperatūra ir krituliais), buvo naudojami vidutiniai mėnesiniai Telšių ir Utenos meteorologinių stočių duomenys (Климатологический справочник..., 1954, 1969; Метеорологические данные..., 1953, 1961). Stočių charakteristikos pateiktos 4 lentelėje:

4 lentelė. Meteorologinių stočių charakteristikos

Pavadini- mas	Geografinė platumą	Geografinė ilguma	Aukštis virš jūros lygio	Matavimų periodas:	
				temperatūra	krituliai
Telšiai	55°59'	22°15'	149 m	1924.02-1944.05 1945.04-1995	1924.02-1944.05 1945.04-1995
Utena	55°30'	25°36'	120 m	1945-1995	1925.10-1943.12 1944.04-05 1944.09-1995

Užpelkio Tyrelio aukštapelkės medžių prieaugiai buvo lyginami su Telšių meteorologinės stoties duomenimis, Utenos rajono Daunorių barelio - su Utenos meteorologinių duomenų eilėmis.

Trūkstamų mėnesių temperatūrų duomenys buvo interpoliuoti pagal kitų meteorologinių stočių matavimus: Telšių duomenys 1944.06-1944.09 laikotarpiu - pagal Karaliaučiaus (54°43' Š pl., 20°30' R. ilg., 19 m virš j. l.), 1944.10-1945.03 laikotarpiu - pagal Šiaulių (55°56' Š pl., 23°23' R ilg., 129 m virš j. l.) stotis. Utenos duomenys 1925.01.01 - 1944.06 ir 1944.10 - 1944.12 laikotarpiu interpoliuoti pagal Panevėžio (55°45' Š pl., 24°22' R. ilg., 57 m virš j. l.), o 1944.07- 1944.09 laikotarpiu pagal Kauno (54°55' Š pl., 23°56' R. ilg., 83 m virš j. l.), stotis.

Temperatūrų interpoliacija atlikta skirtumų metodu (Кобышева итд., 1980) pagal artimiausios, turinčios to laikotarpio matavimus, stoties duomenis, pridedant atitinkamą pataisą. Pataisa apskaičiuojama kiekvienam mėnesiui pagal vidutinį temperatūrų skirumą tarp stočių, nes artimų rajonų temperatūrinės eilės yra stipriai koreliuotos, ir skirtumų tarp atitinkamų rodiklių atskirose stotyse variacija nedidelė.

Kadangi kritulių pasiskirstymas Lietuvoje, ypač vasaros mėnesiais, gana mozaikiškas, ir skirumai tarp gretimų stočių kritulių gana smarkiai įvairuoja, kritulių eilių interpoliacija nebuvo daroma, o metai, kuriais nėra duomenų apie analizuojamo mėnesio kritulių sumą, į koreliacinę analizę neįtraukti.

## 4. TYRIMŲ METODIKA

### 4.1 Kameraliniai darbai

Subfossilinės pušies medienos pavyzdžių metinis radialinis prieaugis (metinių rievių plotis) išmatuotas pagal standartinę, dendrochronologijoje taikomą metodiką (Битвинскас, 1974): kelmų nuoprovų paviršius nušlifuotas, prieaugis matuotas 2 kryptimis stereomikroskopu MBC-2 padidinimu  $2 \times 8$ , naudojant mikroskopo okuliaro skalę (1 padala = 0,05 mm).

Aukštapelkinių augimviečių pušies medienoje dažnai pasitaiko labai siaurų rievių grupių, kai 1 mm priskaičiuojama iki 10 ir daugiau rievių, pasitaiko rievių, kurias praktiškai sudaro dvi ląstelių eilės - vieną galima priskirti prie ankstyvosios, kitą, storesnėmis sienelėmis, - prie vėlyvosios medienos. Tokios siauros rievės, o ypač jų grupės, labai apsunkina rievių matavimą ir sukelia pavoju, kad kai kurios rievės bus praleistos ir tai iškreips pamatinę radialinio prieaugio serijos seką. Todėl apie 20 % pavyzdžių išmatuoti pakartotinai, ieškant praleistų rievių. Tačiau dalies taip vadinamų "iškrentančių" rievių, dažnai pasitaikančių aukštapelkių pušies medienoje (Пикшртэ, 1989; Карпавичюс, 1981; Ляэнелайд, 1976) negalima nustatyti matuojant, nes, esant ekstremalioms sąlygoms, medžiui teužtenka medžiagų tracheidėms suformuoti tik atskirose stiebo vietose, dažniausiai jaunuose organuose (viršūnėje, šakose) (Лобжанидзе, 1972), o pamatinėje stiebo dalyje kambio ląstelės net nepradeda dalytis (Крамер, Козловский, 1983; Лир и кт., 1974). Tokias "iškrentančias" rievės galima nustatyti tik sinchronizuojant su kitu tuo pačiu laikotarpiu augusių medžių prieaugio serijomis. "Iškrentančios" rievės subfossilinių medienos pavyzdžių serijose buvo nustatomos vizualiai sinchronizujant prieaugio serijas, ir serijos koreguojamos, įterpiant "nulinio prieaugio" metus.

Dabar augančių medžių medienos pavyzdžių - gręzinélių matavimo paviršius paruoštas nudrožiant statmenai tracheidėms mikrotomu. Prieš matuojant metinių prieaugį kiekvieno medžio atskiruose gręzinéliuose rievės buvo skirstomas dešimtmeciais ir, lyginant vizualiai gręzinélius tarpusavyje, nustatomos iškrentančių rievių vietas. Užpelkių Tyrelio aukštapelkės pavyzdžiai išmatuoti originalia laboratorijoje sukurta prieaugio matavimo linija (Балчиunas, Bitvinskas, Bacevičius, 1983) stereomikroskopu MBC-1 bazėje 0,01 mm tikslumu. Išmatavus ir nubraižius prieaugio grafikus, atlikta pakartotinė verifikacija tarp atskirų vieno medžio matavimo krypčių bei atskirų medžių, naudojant grafikų

vizualinę synchronizaciją. Daunorių aukštapelkés pavyzdžių metinis radialinis prieaugis išmatuotas stažuotės Joensuu universiteto (Suomija) Dendrochronologinėje laboratorijoje metu, 0,01 mm tikslumu, naudojantis rievių matavimo linija, sukurta Kuchenreit'o sistemos stereomikroskopu, personalinio kompiuterio ir CATRAS programos, atliekančios duomenų tvarkymą, pagrindu. "Iškrentančios" rievės nustatytos vizualiai synchronizuojant prieaugio grafikus.

## 4.2 Dendrochronologiniai medžių prieaugio synchronizavimo metodai

Pagrindinė dendrochronologinio datavimo metodo prielaida yra ta, kad medžiai, augę tomis pačiomis sąlygomis tuo pačiu laikotarpiu, turi panašią augimo dinamiką. Jų metinio prieaugio svyravimai tarpusavyje koreliuoti. Tuo tarpu lyginant dviejų medžių metinio prieaugio serijas bet kokioje kitoje, ne synchroniškoje, gretinimo pozicijoje, koreliacija tarp jų turi būti artima atsitiktinių skaičių sekų koreliacijoms.

Ši prielaida tikrovėje pasitvirtina ne taip idealiai. Radialinio prieaugio svyravimus nulemia įvairūs veiksnių, skirtingai veikiantys atskirius medžius, be to turintys skirtinę kitimo dinamiką. Šių visų veiksniių, pradedant biologiniais procesais medžio viduje (pvz. procesai, dėl kurių prieaugio sekoje susidaro taip vadinama amžiaus kreivė), baigiant kosmogeniniais veiksnių, kaip Saulės aktyvumas, Žemės magnetinio lauko svyravimai, nulemantys atmosferos cirkuliacijos pokyčius, iššaukia radialinio medžių prieaugio sekose įvairių dažnių bei amplitudžių svyravimus. Dviejų medžių prieaugio svyravimai bus koreliuoti tiek, kiek juos bendrai formuoja tam tikri veiksnių ar jų kompleksas. Pavyzdžiui, koreliacija gali pasireikšti tikai tam tikruose dažnių diapozonuose, jeigu bendriesiems veiksniams būdingi šie dažniai, o individualieji veiksnių kinta kitaip dažniais. Kadangi synchronišką medžių augimo poziciją nustatyti nėra lengva, synchronizavimui naudojama eilė metodų, kuriuos galima suskirstyti į matematinius ir vizualinius.

### 4.2.1 Matematiniai synchronizavimo metodai

Synchronizuojant iškastinių Užpelkių Tyrelio medienos pavyzdžių prieaugio serijas, buvo naudojami šie matematinio synchronizavimo metodai: panašumo procentas, koreliacijos koeficientas, koreliacijos koeficiente t kriterijus.

Panašumo tarp dviejų prieaugio serijų procentą skaičiuoti pasiūlė jau B.Huberis. Šiuo metodu apskaičiuojamas procentas metų (prieaugio intervalų), kai prieaugio pokyčio, lyginant su praėjusių metų prieaugiu,

kryptis (padidėjimas ar sumažėjimas), sutampa abiejose lyginamose serijose:

$$Cx = \frac{n^+ \cdot 100}{n - 1},$$

kur  $n^+$  yra sutampančios pokyčio krypties intervalų (metų) skaičius,  $n$  - viso persidengiančių intervalų skaičius (Битвинскас, 1974).

Atsitiktinio persidengimo atveju šis rodiklis turi būti apie 50%, nes prieaugio pokyčio krypties sutapimas ar nesutapimas tarp serijų yra atsitiktiniai. Tiksliu atsitiktinio persidengimo atveju panašumo procentas išreiškiamas formule:

$$Ca = 50 \pm \frac{50}{\sqrt{n}} \%,$$

kur  $Ca$  yra atsitiktinio persidengimo panašumo procentas,  $\frac{50}{\sqrt{n}}$  yra 1 standartinis nukrypimas ( $\sigma$ ) (Huber, Gierz, 1970).

Pagal matematinę statistiką  $3\sigma$  nukrypimo nuo vidurkio tikimybė yra 1 iš 1000. Taigi, lyginant serijas, kurių persidengimas yra 100 metų, panašumo procentas didesnis kaip 65% bus reikšmingas su tikimybe 0,001. Tuo tarpu persidengimui tesiekiant 36 metus, reikšmingomis turėtumėm laikyti vietas, kuriose panašumo procentas didesnis už 75%. Kadangi pelkinės pušies sinchroniško persidengimo procentas retai viršija 70%, esant trumpiemis persidengimams, sunku atskirti tikrą persidengimo poziciją nuo atsitiktinės. Panašią išvadą daro ir M.G.L.Baillie (1982), dirbęs su ažuolų sinchronizacija, taip pat kiti tyrinėtojai (Hillam ir kt., 1987). Sinchronizuojant Užpelkio Tyrelio pavyzdžius, buvo naudojami panašumo procentai, apskaičiuoti ESM M-6000 visų pavyzdžių persidengimo, ne trumpesnio kaip 30 metų, vietose, galimai sinchroniškumo pozicijai nustatyti.

Kitas matematinis metodas, pritaikytas sinchronizavimui - koreliacijos tarp dviejų serijų prieaugio kitumų koeficientas  $r$ :

$$r = \frac{\sum_i x_i y_i - N \bar{x} \bar{y}}{(\sum_i x_i^2 - N \bar{x}^2)(\sum_i y_i^2 - N \bar{y}^2)},$$

kur  $\bar{x}$  ir  $\bar{y}$  yra atitinkamai  $x$  ir  $y$  reikšmių vidurkiai. Tačiau tam, kad koreliacijos koeficientas parodytų tikrajį ryšį tarp dviejų rodiklių, jų pasiskirstymas turi būti normalinis, kas ne visada būdinga medžių rievių serijoms. Be to, medžių metinio prieaugio serijos turi stiprią

autokoreliaciją, ypač pirmo laipsnio, tai yra metinės rievės plotis yra glaudžiai susijęs su praėjusių metų prieaugiu. Prieaugio serijose ryškūs ivairaus ilgio cikliškumai, o esant trendui ar ilgalaikiams ciklams, laiko eilutės autokoreliacijos koeficientas iki 1/4 ciklo bangos ilgio yra teigiamas. Laiko eilutės elementų tarpusavio ryšiai gali stipriai iškreipti koreliacijos tarp eilučių koeficientus. Jie yra padidinami, sutampant lėtujų svyravimų, kurie dėl įvairių biologinių ar išorinių priežasčių gali nebūti sinchroniški, fazėms, ir sumažinami, žemujų dažnių svyravimams įgavus priešingas fazes. Tai apsunkina sinchroniškos vietas suradimą, remiantis tik koreliacijos koeficientu.

Skaičiuojant koreliacijos koeficientą, neatsižvelgiama į persidengiančių rievių skaičių. Apie koeficiente patikimumą sprendžiama iš Stjudento kriterijaus  $t$ :

$$t = \frac{r}{m_r} ,$$

kur  $r$  yra koreliacijos koeficientas,  $m_r$  - jo paklaida:

$$m_r = \sqrt{\frac{1 - r^2}{n - 2}} , \quad \text{taigi} \quad t = \frac{r\sqrt{n-2}}{\sqrt{1 - r^2}}$$

Kriterijaus  $t$  reikšmes pagal persidengiančių rievių skaičių  $n$  ir patikimumo lygmenį galima rasti matematinės statistikos lentelėse. Pavyzdžiui, kad koreliacijos koeficientą būtų galima vertinti kaip statistiškai patikimą su tikimybe 0,1%, esant persidengiančių rievių skaičiui  $n \geq 100$ , turi būti didesnis už 3,5.  $t$  vertės skaičiavimams tarp dviejų lyginamų prieaugio serijų automatizuoti jau 1973 metais Belfaste (Šiaurės Airija) buvo sukurta kompiuterinė programa CROS, plačiai naudojama chronologijų sinchronizavimui (Baillie, Pilcher, 1973). Veliau  $t$  vertės skaičiavimai buvo tobulinami, atsižvelgiant į nenormalinį duomenų pasiskirstymą ir autokoreliaciją, kuriamos naujos kompiuterinės programos (Aniol, 1983; Schou, Rytter, 1992). Dabar  $t$  kriterijus plačiausiai iš visų statistinių metodų naudojamas Europos ir pasaulio dendrochronologijų chronologijų kūrimui.

Šiame darbe pavyzdžių matematinei sinchronizacijai panašumo procentai ir koreliacijos koeficientai buvo apskaičiuoti naudojantis Dendroklimatochronologijos laboratorijoje sukurtomis programomis ESM M-6000 pagalba,  $t$  kriterijai tarp pavyzdžių serijų buvo apskaičiuoti

stažuotės Joensuu Universiteto (Suomija) Dendrochronologijos laboratorijoje metu, naudojantis personalinio kompiuterio programa CATRAS. Skaičiavimai buvo atliekami visose persidengimo tarp pavyzdžių serijų porų pozicijose, kai persidengiančių metų skaičius ne mažiau kaip 30. Persidengimo pozicijos, kuriose kriterijaus  $t$  vertė didesnė už 2 buvo analizuojamos vizualiai, kaip galimos sinchroniškumo vietas.

#### 4.2.2. Vizualiniai synchronizavimo metodai

Matematiniai synchronizavimo mretodai parodo, kad tarp lyginamų priaugio eilių duotoje pozicijoje yra tam tikras ryšys. Paprastai, ypač lyginant pelkinės pušies priaugio serijas, matematinio ryšio stiprumas sinchroniškoje pozicijoje nedaug skiriasi nuo statistiškai vertinamo kaip atsitiktinis. Dėl priaugio serijų pseudosynchroniškumo reiškinio (žr. 5.1. skyrių), net ir esant statistiškai patikimai koreliacijai (pvz.  $t=3,5$ ) dar nereiškia, kad ši persidengimo pozicija yra sinchroniško augimo pozicija. Statistiniai metodai griežtai reaguoja į neatitikimus tarp serijų, kurie gali būti neesminiai, pavyzdžiui skirtinges ekstremumų amplitudės. Atskiri metodai yra skirtingai jautrūs tam tikriems svyravimų dažniams: panašumo procentas vertina pametinių svyravimų sutapimą, neatsižvelgdamas į amplitudę, koreliacijos koeficientą ir  $t$  vertę gali iškreipti lėtujų svyravimų neatitikimai, pavyzdžiui laikotarpiai, kai dėl kokių nors individualių priežasčių vieno iš medžių priaugis buvo padidėjęs ar atvirkščiai - labai sumažėjęs. Matematiniai metodai vertina iš karto visą persidengimo laikotarpį, ir praleista rievė vienoje iš serijų labai sumažina ryšio stiprumo įvertinimą. Todėl bet kokiui atveju galutinis sinchroniškumo nustatymas turi būti paremtas vizualine synchronizacija.

Vizualinis synchronizavimo metodas buvo pirmasis, kurį naudojo A.E.Duglasas, F.N.Švedovas, B.Huberis ir kiti dendrochronologijos pradininkai. Jie lygino medžių priaugų pirmiausia natūroje - skirtingu medžių nuopjovose ieškodami sutampančių siaurų ar placių rievių. Dirbdamas sausringuose rajonuose, kur medžių priaugų nulemia vienas (drėgmės) faktorius, A.E.Duglasas vizualiniams synchronizavimui panaudojo "skeletinių grafikų" lyginimo metodą: atskirų medžių grafikuose pažymimi stulpeliais tie metai, kuriais rievės buvo labai siauros, lyginant grafikus vieną su kitu vis kitoje persidengimo pozicijoje, randama sinchroniško augimo vieta, kurioje grafikai sutampa. Europoje toks lyginimo metodas pasirodė ne visai tinkamas, nes vidutinio klimato sąlygomis medžių priaugų lemia keletas veiksnių, todėl ekstremalus priaugio sumažėjimas (labai siauros rievių) nebūtinai vienodai pasireiškia visuose medžiuose. Europoje prigijo B.Huberio panaudotas

ištisinių priaugio grafikų , kai x ašyje yra metai, o y ašyje atidedami tu metų radialinio priaugio reikšmę, vizualinio lyginimo būdas, atkreipiant dėmesį ne tik į ekstremalius metus, bet ir į bendrą priaugio dinamikos piešinį (" pattern"), pasireiškiantį įvairių svyravimo dažnių ir jų amplitudžių kombinacija. Kadangi iki šiol nėra matematinių metodų, kurie vienareikšmiškai įvertintų visus synchronišumo kriterijus (t.y., kurie priaugio dinamikos dažniai, kokia svyravimų bangos ilgio kaita, kokia ekstremumų forma ir t.t. yra esminiai synchroniško augimo medžiams, o kokius žmogaus patirtis atmesta kaip neesminius), negalima remtis vien matematiniais metodais ir atsisakyti vizualinio priaugio grafikų lyginimo.

Šiame darbe atskirų pavyzdžių priaugio serijų synchroniškų persidengimo pozicijų nustatymui bei " iškrentančių" rievių išaiškinimui be matematinių metodų buvo naudojamas vizualinis priaugio grafikų lyginimas. Kiekvienam medžiui ant milimetrinio popieriaus buvo nubraižyti grafikai x ašies masteliu 1 metai = 5 mm ir 1 metai = 2mm. Pastarieji pasirodė patogesni, nes mažesniame plote telpa daugiau priaugio dinamikos elementų. Grafikai poromis buvo lyginami ant švieslentės, palaipsniui perstumiant vieną kito atžvilgiu per vienerius metus, ypatingą dėmesį atkreipiant į pozicijas, turinčias gerus matematinio synchronizavimo rodiklius. Ir atvirkščiai - pozicijos, kuriose priaugio grafikai turėjo vizualinį panašumą, buvo tikrinamos statistiniai kriterijais (Пикшрите, Битвинскас, 1989).

Aprašyti synchronizavimo metodai aptaria synchroniškos pozicijos nustatymą tarp dviejų medžių serijų. Kuriant chronologiją, reikia atstatyti grupės vienu metu augusių medžių augimo metų išsidėstymą laiko skalėje. Didėjant grupės pavyzdžių kiekiui, progresyviai didėja lyginamų porų skaičius. Tačiau nustačius didžiausią panašumą tarp kelių medžių priaugio kaitos toje pačioje jų priaugio serijų persidengimo pozicijoje, synchronizavimo klaidos tikimybė tampa daug mažesnė, negu synchronizuojant tarpusavyje tik poros pavyzdžių serijas.

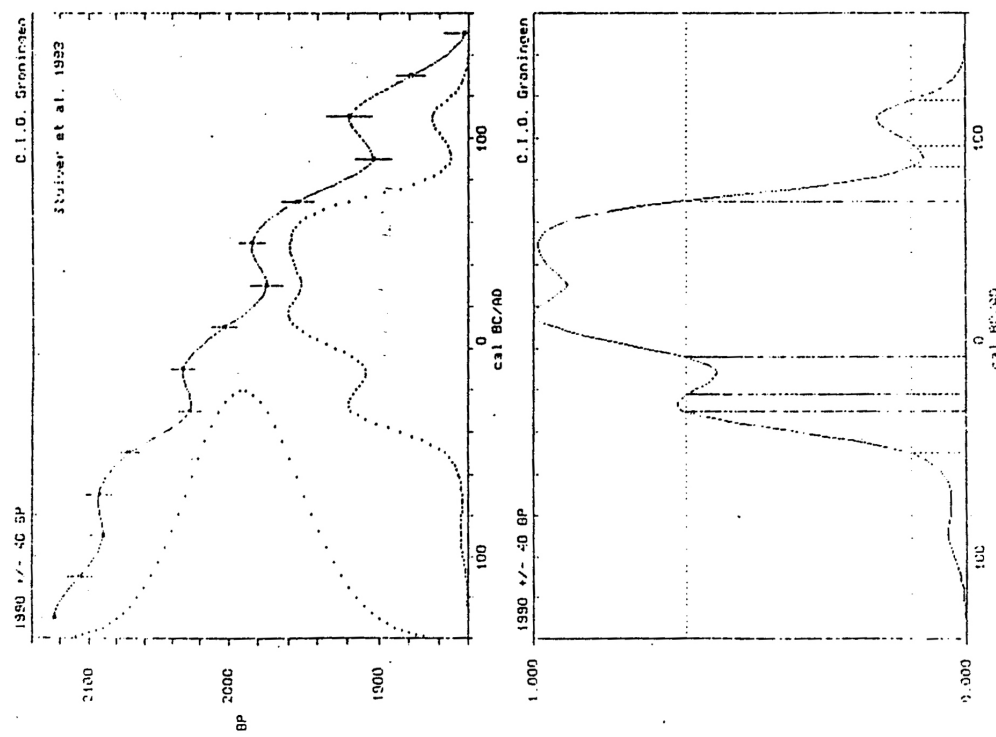
Galutinė išvada apie praeities medžių augimo synchroniškumą buvo daroma remiantis visų metodų - tiek matematinių, tiek vizualinių, kompleksu, be to, kai didžiausias panašumas buvo randamas ne tik tarp poros medžių priaugio dinamikos, bet į grupę įeidiavo daugiau kaip du medžiai, turintys didžiausią priaugio dinamikos panašumą toje pačioje serijų gretinimo pozicijoje.

### 4.3 Radioanglies datų kalibravimas

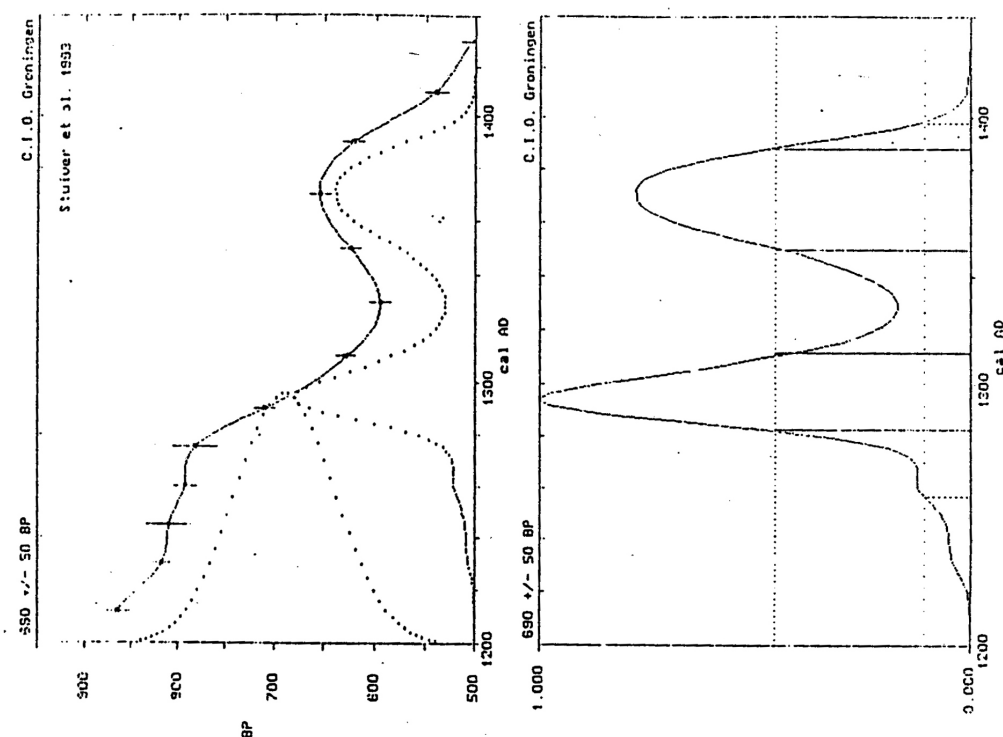
Radioanglies datavimo metodo pagrindas yra radioaktyvaus C<sup>14</sup> izotopo, nedideliais kiekiais pasitaikančio atmosferos anglies dvideginyje, koncentracijos matavimas organinėje medžiagoje, pagal šio izotopo suskilimą nustatant organikos susiformavimo laiką. Metodas nebūtų problematiškas, jei anglies izotopų santykis atmosferoje visą laiką būtų buvęs pastovus. Tačiau radioaktyviosios anglies susidarymas priklauso nuo įvairių kosminių faktorių, kaip kosminiai spinduliai, Saulės aktyvumas ir kt., ir jos kiekis atmosferoje kinta (Дергачев, Кочаров, 1981). Todėl organikos pavyzdys, susiformavęs padidėjusios C<sup>14</sup> koncentracijos metu bus pajauintas, o sumažėjusios - pasendintas.

Paskutiniaisiais dešimtmečiais pasaulyje atlikta daug C<sup>14</sup> kiekių matavimų dendrochronologiniu būdu datuotos medienos rievėse, šių matavimų pagrindu sukurta radioanglies datų kalibracinė kreivė (Stuiver, Pearson, 1986). Pagal šią kreivę, naudojant Grōningen kompiuterinę programą (Van der Plicht, Mook, 1989), buvo kalibruotos Užpelkio Tyrelio pavyzdžių radioanglies datos. Dalis datų kalibruota Joensuu Universiteto (Suomija) dendrochronologijos laboratorijoje, dalis - St. Peterburgo Materialinės kultūros istorijos instituto radioanglies laboratorijoje. Kadangi radioanglies data - statistinis dydis, paremtas C<sup>14</sup> izotopo kiekiu, kalibruota kalendorinė data - taip pat statistinis dydis, tačiau jo tikimybės pasiskirstymas priklauso nuo duoto laikotarpio kalibracinės kreivės (C<sup>14</sup> koncentracijos atmosferoje) svyravimų. 11 ir 12 paveiksluose parodyti C<sup>14</sup> datų kalibravimo pavyzdžiai. Viršutiniuose grafikuose parodyta duoto laikotarpio (C<sup>14</sup> data +/- 3σ) kalibracinė kreivė, y ašyje atidėtas normalinis C<sup>14</sup> datos tikimybės pasiskirstymas, x ašyje - apskaičiuotas kalendorinės datos tikimybės pasiskirstymas. Apatiniuose grafikuose pavaizduota normalizuota kalendorinės datos tikimybės funkcija su pažymėtais pasikliautiniais intervalais, kuriuose tikimybė viršija 68,3% (1σ patikimumo lygmuo) ir 95,4% (2σ patikimumo lygmuo).

Kadangi kalendorinės datos tikimybės pasiskirstymas nėra normalus, didžiausia datos tikimybė nesikoncentruoja intervalo viduryje, o gali būti bet kurioje vietoje, priklausomai nuo C<sup>14</sup> koncentracijos svyravimų pobūdžio. Esant žymiems C<sup>14</sup> kieko svyravimams gali būti keli datos didžiausios tikimybės intervalai ( 12 pav.).



11. pav. I a. pr.Kr. - 1 a. po Kr. medienos pavyzdžio radioanglies datos (1990+/-40 m. BP) kalibravimas.



12. pav. XIII - XIV a. po Kr. medienos pavyzdžio radioanglies datos (690+/-50 m. BP) kalibravimas.

#### 4.4. Egzogeninių priaugio dinamiką lemiančių veiksnių nustatymo metodai

##### 4.4.1. Chronologijų standartizavimas

Medžių radialinio priaugio fluktuacijas lemia įvairūs tiek vidiniai (endogeniniai), tiek aplinkos (egzogeniniai) veiksnių. Nagrinėjant priaugio ryšius su aplinkos veiksniu, stengiamasi kiek įmanoma labiau išryškinti priaugio serijose bendrų išorinių - klimatinių veiksnių poveikį, eliminuojant vidinių, neatspindinčių pametinių ekologinių sąlygų kaitos, faktorių pasireiškimą. Iš pastarujų galima paminėti neklimatinės prigimties amžiaus trendą, atsirandančią medžio priaugyje dėl stiebo apimties didėjimo ir senėjimo procesų, taip pat skirtingą medžių vidutinį priaugį ir priaugio svyravimų amplitudžių skirtumus dėl nevienodo atskirų individų gyvybingumo. Neklimatinės prigimties, išsaukta vidinių procesų, yra ir stipri priaugio eilučių autokoreliacija - t.y. priaugio priklausomybė nuo praėjusiųjų metų priaugio (pelkinės pušies eilutėse siekianti 0,8).

Siekiant sumažinti šių vidinių veiksnių pasireiškimą radialinio priaugio eilutėse, naudojami chronologijų standartizavimo būdai. Duomenų išlyginimui naudojama indeksacija - absoliučių priaugio dydžių pavertimas į santykinius indeksus:

$$I_i = \frac{x_i}{X_i},$$

kur  $I_i$  yra i-tujų metų priaugio indeksas,  $x_i$  - i-tujų metų priaugis,  $X_i$  - išlyginimo kreivės reikšmė i-taisiais metais (БИТВИСКАС, 1974)

Priaugio eilutės amžiaus kreivei ir kitiems su klimatiniais faktoriais nesusijusiems lėtiesiems svyravimams išlyginti naudojami įvairūs išlyginimo būdai: slenkančių vidurkių, skirtingų laipsnių (dažniausiai trečio laipsnio) polinomai, eksponentinės funkcijos, mažiausią kvadratų metodas, splaino funkcijos, matematiniai filtri, o nesant amžiaus kreivės, priaugiai dalijami iš jų vidurkio reikšmės (Cook, Holmes, 1986; Briffa ir kt., 1983; Fritts, 1976).

Tiriant metinio priaugio ryšius su klimatiniais veiksniu, šiame darbe buvo naudojamas "splaino" funkcijos amžiaus kreivės išlyginimas. "Splaino" funkcija susideda iš eilės kubinių polinomų:

$$q_i(x) = a_i x^3 + b_i x^2 + c_i x + d,$$

glotniai pereinančių vienas į kitą perėjimo taškuose, t.y. tenkinančių šias sąlygas:

$$q_i(x_i) = q_{i+1}(x_i), \text{ t.y. perėjimo taškuose } (x_i) \text{ funkcijos turi sutapti,}$$

$q'_i(x_i) = q'_{i+1}(x_i)$ , t.y. perėjimo taškuose turi sutapti funkcijų išvestinės,

$q''_i(x_i) = q''_{i+1}(x_i)$ , t.y. perėjimo taškuose negali keistis išlyginamosios kreivės kreivumas.

“Splaino” funkcija pasirinkta dėl to, kad gamtiniuose svyravimuose periodų ilgiai nėra stacionarūs, jie kinta, todėl kelių polinomų atkarpos geriau juos aproksimuoją negu viena funkcija.

Išlyginamųjų kreivių apskaičiavimas ir chronologijų indeksavimas buvo atliekami ARSTAN40 kompiuterinės programos iš Tarptautinio Medžių rievių duomenų banko programų paketo (1994 m. versija), sukurto Arizonos Universitete (JAV) (Cook, Holmes, 1986), pagalba.

Kaip minėta, priaugio eilutėms būdinga stipri autokoreliacija - priaugio priklausomybė nuo praėjusiųjų metų priaugio. Ji beveik visada stipresnė negu priaugio priklausomybė nuo klimatinių veiksnių. Tai apsunkina ryšių su aplinkos faktoriais analizę. Tuo pačiu, nustačius priaugio priklausomybę nuo praėjusiųjų metų meteorologinių rodiklių, darosi neaišku, ar tai tiesioginė šių veiksnių įtaka, ar ši įtaka pasireiškia tik dėl priaugio sekos autokoreliacijos. Todėl dendroklimatinuose tyrimuose kartais naudojamas autokoreliacijos pašalinimas, apskaičiuojant likutines (residual) chronologijas.

Šiam tikslui atliekamas autoregresinis chronologijų modeliavimas pagal regresijos lygtį:

$$x'_i = b_0 + b_1 x_{i-1} + b_2 x_{i-2} + \dots + b_n x_{i-n},$$

kur  $x'_i$  yra i-tujų metų priaugio dalis, nulemta praėjusių metų priaugio,  $x_{i-1}$  -  $x_{i-n}$  praėjusiųjų metų priaugiai,  $b_0$  -  $b_n$  - regresijos koeficientai. Kelių praėjusių metų priaugijų koeficientai reikšmingi, nustatoma pagal specialius matematinius kriterijus. Lietuvos pelkinės pušies serijose naudotas pirmos eilės autoregresinis modeliavimas (reikšmingi vieni praėjusieji metai). Autoregresinis modeliavimas ir likutinių (RES) chronologijų apskaičiavimas, pašalinant autoregresiją, buvo atliekama taip pat naudojant ARSTAN40 programą.

#### 4.4.2. Koreliacinė ir regresinė analizė

Paprastas koreliacijos koeficientas - labiausiai paplitęs ryšių tarp priaugio ir atskirų aplinkos veiksnių nustatymo būdas (Карпавичюс, 1984а, б ; Ляэнелайд, 1981а); Шиятов, Мазепа, 1987; Бурдюнас, Жеймавичюс, 1990; Fritts, 1976 ir kt.). Jo apskaičiavimo formulė duota 4.2.1. skyriuje.

Koreliacijos koeficientas išreiškia ryšio tarp dviejų atsitiktinių normališkai pasiskirsčiusių dydžių stiprumą. Ieškant didžiausią poveikį medžių prieaugui turinčių veiksnių, derinami statistiniai ir empiriniai metodai - koreliacijos koeficientas skaičiuojamas tarp prieaugio serijų ir empiriškai pasirinktų klimatinių rodiklių - dažniausiai atskirų mėnesių ar ilgesnių periodų vidutinių temperatūrų ir iškritusių kritulių. Tačiau medžių prieaugio eilutė - tai ne atsitiktinių dydžių eilutė, kadangi jai būdingas stiprus ryšys tarp elementų (autokoreliacija). Metinio prieaugio - klimatinių rodiklių ryšį galima išreikšti tokiu modeliu:

$$X_i = f(C_i, X_{i-1}),$$

kur  $X_i$  yra i - tujų metų prieaugis,  $C_i$  - i - tujų metų klimatiniai rodikliai,  $X_{i-1}$  - praetų metų prieaugis, turintis ryšį su i-1 -ujų metų klimatu. Kitas šių ryšių modelis:

$$X_i = f(C_i, C_{i-1}),$$

kur  $C_{i-1}$  yra praėjusiųjų metų klimatiniai rodikliai (Briffa ir kt., 1983). Naudojant pirmos rūšies modelį, į analizę įtraukiami praetų metų prieaugiai (Fritts, 1976; Fritts ir kt., 1992; Briffa ir kt., 1992 ir t.t.). Naudojant antros rūšies modelį, analizuojami ryšiai su einamujų ir praėjusiųjų metų rodikliais (Битвинскас, 1974; Карпавичюс, 1984а ,б ir kt.). Tačiau abu modeliai yra sąlyginiai - iš tikrujų prieaugio priklausomybė nuo praėjusių metų klimatinių sąlygų persiduoda ne tik per praėjusių metų medienos prieaugį, bet ir per kitas fiziologines grandis, pavyzdžiui, medžiagas, sukauptas spylgiuose ir pan. Be to, autokoreliacija metinio prieaugio eilutėje įneša paklaidas koreliacijos koeficiente skaičiavimuose.

Ryšium su tuo šiame darbe dendroklimatiniams aukštapelkinių pušies barelių tyrimams greta absoliučių dydžių bei indeksų chronologijų buvo panaudotos likutinės (RES) chronologijos su pašalinta pirmos eilės autokoreliacija, tiriant, kaip duomenų indeksavimas ir autoregresinis modeliavimas veikia koreliacinius ryšius su meteorologiniais faktoriais. Koreliacija buvo skaičiuojama su atskirų mėnesių, pradedant praėjusiųjų metų balandžiu, baigiant einamaisiais metais, vidutine temperatūra ir iškritusiais krituliais, taip pat su metiniais (einamujų ir kelių praėjusių metų) rodikliais. Koreliacijos koeficientai skaičiuoti EXCEL programos pagalba, koeficiente patikimumas įvertintas Stjudento kriterijumi t (žr 4.2.1 skyrių).

Koreliacijos koeficientas atspindi prieaugio priklausomybės nuo klimatinių veiksnių stiprumą. Dendroklimatinį tyrimų tikslas - panaudoti šią priklausomybę klimatinių sąlygų rekonstrukcijai pagal medžių prieaugi.

Tam naudojama regresinė analizė - linijinių modelių (regresijos lygčių) apskaičiavimas: prieaugio priklausomybės nuo klimatinės rodiklių (atsako (responce) funkcija) ir klimatinio rodiklio "priklausomybės" nuo prieaugio (taip vadinama perdavimo (transfer) funkcija) (žr. Fritts, 1976):

$$\hat{Y} = b_0 + b_1 x_1 + b_2 x_2 + \dots + b_n x_n,$$

kur  $\hat{Y}$  - apskaičiuojamas dydis (prieaugis atsako funkcijoje ir klimatinis rodiklis perdavimo funkcijoje),  $x_1 \dots x_n$  - kintamieji (regresoriai),  $b_1 \dots b_n$  - kintamųjų koeficientai,  $b_0$  - laisvasis narys (Wonnacott, Wonnacott, 1979).

Kintamųjų koeficientų reikšmingumas įvertinamas pagal  $t$  kriterijų. Nors statistinė tikimybė, kad kintamasis koreliuotas su  $Y$ , išlieka prie visų teigiamų  $t$  reikšmių, praktiškai įvedami kritinės mažiausios  $t$  reikšmės ( $t=1$  ar  $t=2$ ) lygmenys, apsprrendžiantys kintamųjų įtraukimą į regresijos lygtį (Briffa ir kt., 1983).

Koreliacijos tarp apskaičiuotų pagal regresijos lygtį ir tikrujų  $Y$  reikšmių koeficientas  $R$  yra daugiamatės koreliacijos koeficientas. Jo kvadratas parodo kokią dalį  $Y$  variacijos aprašo regresijos kintamieji:

$$R^2 = \frac{\sum (\hat{Y}_i - \bar{Y})^2}{\sum (Y_i - \bar{Y})^2} = \frac{Y \text{ variacijos dalis, kurią aprašo regresorių variacija}}{\text{visa } Y \text{ variacija}},$$

kur  $\hat{Y}_i$  - apskaičiuota  $Y$  reikšmė i - taisiais metais,  $\bar{Y}$  - vidutinė  $Y$  reikšmė,  $Y_i$  - tikroji  $Y$  reikšmė i - taisiais metais (Wonnacott, Wonnacott, 1979)

Atitinkamai paprasto koreliacijos koeficiente kvadratas, vadinamas determinacijos koeficientu ( $r^2$ ), parodo kokią dalį dydžio  $y$  variacijos paaiškina koreliuoto dydžio  $x$  kitimas (Wonnacott, Wonnacott, 1979). Detaliau koreliacinė ir regresinė analizė aprašyta matematinės statistikos leidiniuose (Songailienė, Ženauškas, 1985; Wonnacott, Wonnacott, 1979; ir kt.).

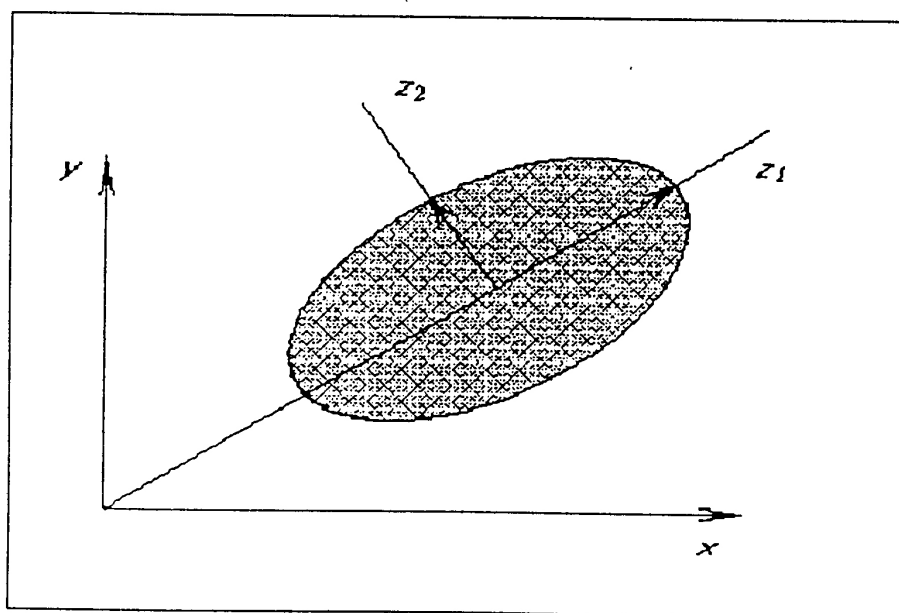
Šiame darbe, tiriant klimatinės rodiklių rekonstrukcijos galimybes, buvo naudojama vienmatė regresija, apskaičiuojant klimatinės rodiklių "priklausomybės" nuo vidutinių barelio prieaugio dydžių regresijos lygtis, ir daugiamatė regresija, kaip regresorius naudojant barelio medžių prieaugio kelių pirminių komponentių amplitudes. Regresinė analizė - regresinių modelių sudarymas ir rekonstruotų klimatinės rodiklių apskaičiavimas, atlikta naudojant EXCEL programą.

#### 4.4.3. Variacijos pirminiu komponentų analizė

Ieškant medžių priaugį lemiančių veiksnių, paprastai naudojama visų tyrimo barelio medžių metinių priaugio dydžių vidurkiai. Tiek atskirais atvejais analizuojama atskirų medžių reakcija (Ляэнелайд, 1981a). Pelkinėse augimvietėse pušies medžių reakcija į klimatinius veiksnius turi daug individualumo, kai kurie medžiai stipriau reaguoja į vienus, kiti - į kitus veiksnius, todėl sumažėja bendroji visiems medžiams priaugio dinamikos dalis. Tokių medžių vidurkio koreliacija su klimatiniais rodikliais bus sumažinta. Todėl klimatinį veiksnių, įtakojančių priaugį, išaiškinimui buvo panaudotas faktorinės analizės metodas, analizuojant visų barelio medžių priaugį ir išskiriant iš jų visumos pirminius medžių priaugio variacijos komponentus.

Pirminiu komponentų metodas - vienas iš faktorinės analizės metodų. Pagal faktorinės analizės prielaidą, koreliaciją tarp atsitiktinių dydžių, kurie neturi tiesioginio poveikio vienam kitam, sukelia bendro išorinio faktoriaus poveikis (Жуковская, Мучник, 1976). Šis jų dinamikos bendumras gali būti išreiškiamas variacijos pirminiu komponentu - nauja tiriamujų objektų charakteristika.

Grafiškai tai galima išreikšti, pavyzdžiui, dviejų dydžių atveju:



13 pav. Dviejų koreliuotų dydžių  $x$  ir  $y$  variacijos pirminiai komponentai  $z_1$  ir  $z_2$

Grafike pavaizduota dviejų kintamų dydžių  $x$  ir  $y$  priklausomybė. Jei jie yra koreliuoti, jų reikšmės varijuoja elipsėje, kurios ašių santykis tuo

didesnis, kuo stipresnė koreliacija tarp dydžių. Pakeitus koordinačių sistemą į  $z_1$  ir  $z_2$  (pirminių komponentų) ašis, informacija apie variaciją yra sukoncentruojama  $z_1$ , kintamajame,  $z_2$  ašyje kitimas lieka daug mažesnis. Kuo koreliacija tarp dydžių stipresnė, tuo daugiau variacijos tenka  $z_1$  komponentui. Jei dydžiai yra stipriai koreliuoti, jų abiejų variaciją pakankamai aprašys vienas pirmasis komponentas, o antrasis komponentas bus visai nereikšmingas (Белонин, Скублов, 1978). Analogiškai, esant dideliam tarpusavyje koreliuotų dydžių skaičiui, juos galima išreikšti daug mažesniu tarpusavyje nekoreliuotų (ortogonaliu) pirminių komponentų skaičiumi, paaiškinančiu maksimumą pradinių dydžių variacijos. Plačiau pirminių komponenčių metodas aprašytas: Жуковская, Мучник (1976), Белонин, Скублов, (1978), Ступнева, (1984 a, б), Wonnacott, Wonnacott, (1979), Fritts, (1976).

Pirminių komponenčių metodą dendrochronologijoje panaudojo H.Frittsas ir V.C.La Marche (1971). Amerikoje, o vėliau ir Europoje, šis metodas panaudotas erdviniams dendrochronologiniams tyrimams, išskiriant pirminius komponentus erdvėje išsidėsčiusių barelių prieaugio dinamikoje ir panaudojant šių komponentų amplitudžių chronologijas klimatinių parametru erdinėms ir daugiamatėms rekonstrukcijoms (Fritts, 1976; Blasing, Fritts, 1973; Briffa, Jones, Wigley ir kt., 1983, 1988). Pritaikytas šis metodas ir atskiro tyrimų barelio medžių prieaugio analizei, naudojant dendroklimatiniams tyrimams ne vidutinę barelio chronologiją, bet pirmojo (bendrojo visiems medžiams) variacijos komponento amplitudžių chronologiją (Jacoby, Cook, 1981); taip pat klasifikacijos uždavinuose, pavyzdžiui, išskiriant atipiskus metus pagal individualių medžių metinio prieaugio pasiskirstymo dėsningsumus (Dutilleul, Till, 1989), arba grupuojant dendrochronologinius barelius erdvėje pagal medžių prieaugio dinamikos pirminių komponentų svorius (Wažny, Eckstein, 1991).

Kadangi vieno barelio medžių prieaugiai yra tarpusavyje tam tikru mastu koreliuoti, beje, ne kiekvienas su kiekvienu vienodu stiprumu, jų tarpusavio koreliacių matrica yra pagrindas pirminiams komponentams ir jų svoriams atskirų medžių prieaugio dinamikoje apskaičiuoti. Šiame darbe pirminių komponentų svoriai ir jų amplitudžių chronologijos buvo apskaičiuotos, naudojant ARSTAN40 programą. Reikšmingais laikyti komponentai, kurių kumuliatyvinis svoris (eigenvalues) visų medžių dinamikoje viršijo vienetą (bedimensinis dydis) (Белонин, Скублов, 1978; Briffa ir kt., 1983 ir kt.). Pirmųjų reikšmingųjų komponentų amplitudžių chronologijos panaudotos apskaičiuojant prieaugio koreliaciją su klimatiniais rodikliais ir sudarant daugamačius prieaugio - klimatinių rodiklių regresijos modelius.

## 5. PUŠYNŲ IŠPLITIMO FAZĖS UŽPELKIJŲ TYRELIO AUKŠTAPELKĖJE SUBATLANČIO LAIKOTARPIU

### 5.1. Aukštapelkinių augimviečių pušies metinio radialinio prieaugio serijų synchronizavimo ypatybės

Subfossilinės užsikonservavusios durpių kloduose pušies medžių liekanos savo rievėse išsaugojo informaciją apie pametinius prieaugio svyravimus praeityje. Jei praeities medžių augimo laikotarpiai persidengė laike, dendrochronologinio synchronizavimo metodais šių atskirų medžių metinio prieaugio serijos gali būti tarpusavyje synchronizuotos - datuotas viena kitos atžvilgiu. Tuo būdu gaunama informacija apie medžių išdygimo ir žuvimo laikotarpius, rekonstruojama praeities medynų formavimosi istorija, sudaromos ilgalaikės metinio radialinio prieaugio chronologijos, rodančios biologinio produktyvumo svyravimus.

Siekiant datuoti Užpelkių Tyrelio aukštapelkės praeities medžių augimo laikotarpius, buvo atlikta jų metinio radialinio prieaugio serijų synchronizacija: gretinamos visos galimos subfossilinių pavyzdžių prieaugio serijų poros visose jų persidengimo laike pozicijose, kuriose persidengia ne mažiau kaip trisdešimt rievų. Aptykriai imant Užpelkių Tyrelyje augusių medžių vidutinį amžių lygį 100 metų, synchronizuojant tarpusavyje tik dviejų medžių serijas reikia patikrinti 140 persidengimo pozicijų; imant medžių skaičių lygį 301, vien tik vieną medį gretinant su likusiais 300 medžių, gauname 42 tūkstančius pozicijų. Visų variantų skaičius pagal kombinatorikos dėsnius:

$$N = 140 * C_{301}^2 ,$$

kur N - visų gretinimo variantų skaičius; 140 - vienos metinio prieaugio serijų poros galimų gretinimų skaičius,  $C_{301}^2$  - dvielemenčių derinių iš 301 elemento skaičius (Vilenkinas, 1979), apskaičiuojamas pagal formulę:

$$C_{301}^2 = \frac{301 * 300}{2},$$

taigi, visų galimų kombinacijų skaičius  $N = 6321000$ .

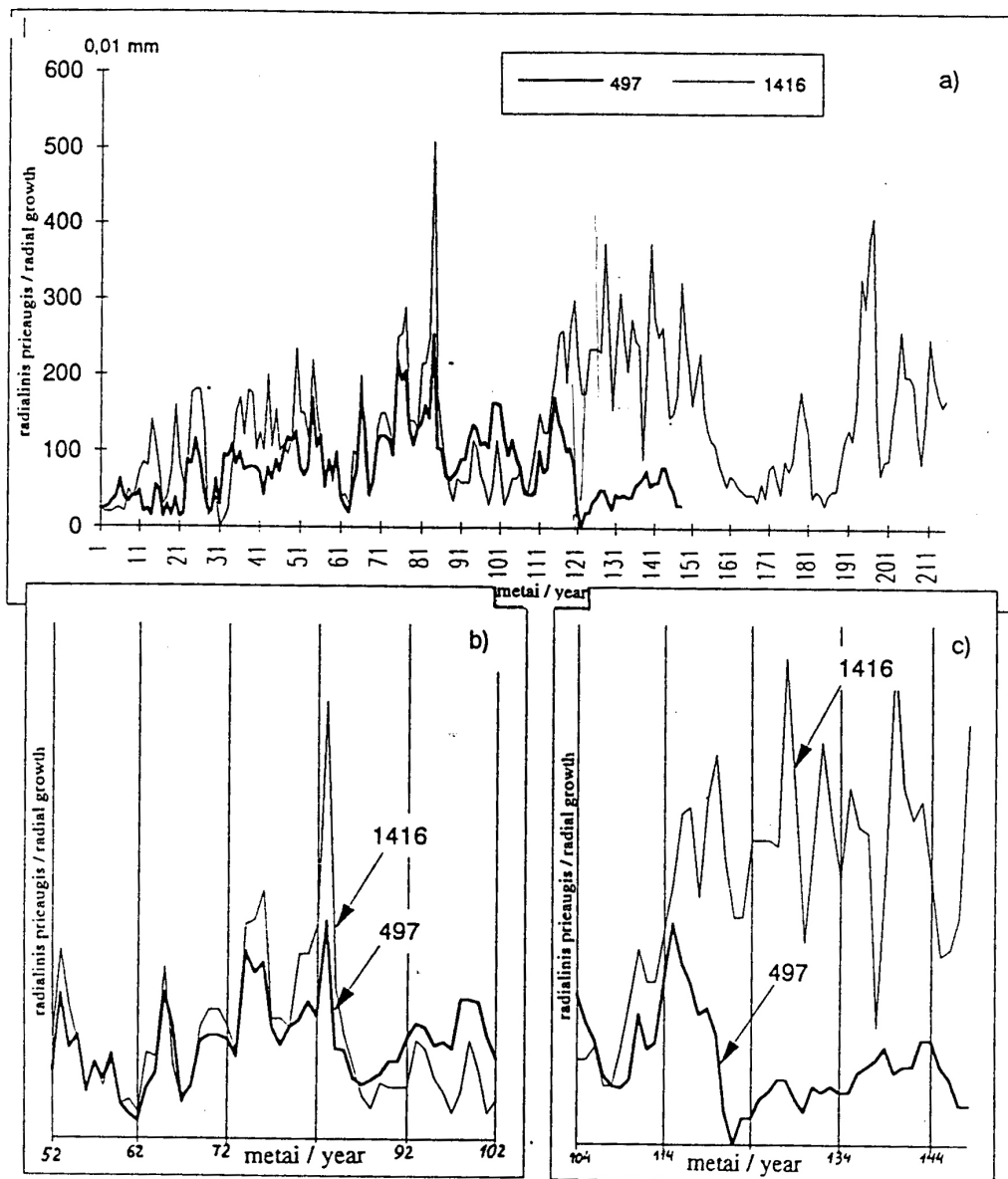
Atliekant tokios apimties serijų sugretinimo darbus, paaiškėjo, kad tamprūs ryšiai tarp aukštapelkinės augimvietės pušų metinio radialinio prieaugio dinamikos būdingi palyginus nedidelei medžių daliai. Pavyzdžiu, synchronizuojant matematiškai I - ojo kasinio 57 medžių serijas, pagal

radioanglies datavimą pasiskirsčiusias nuo šių laikų iki 900 m. BP (" before present", t.y. nuo 1950m.), koreliacijos koeficientai, kurių t kriterijaus reikšmė viršijo 6,0, buvo gauti 3 atvejais, t tarp 6,0 ir 5,0 - aštuonais atvejais, t tarp 5,0 ir 4,0 - 30 atvejų. Esant tolygiam medžių pasiskirstymui laike per šiuos 900 metų, kiekvieno medžio augimo laikotarpis turėtų persidengti vidutiniškai su dešimties medžių augimo laikotarpiais, viso turėtumėme apie 570 sinchroniško serijų persidengimo pozicijų. Tuo tarpu gauname tik 252 pozicijų, kuriose koreliacijos tarp serijų koeficiente t kriterijaus reikšmė didesnė už 3,0. Be to, nemaža dalis šių pozicijų, net turinčių dideles t kriterijaus vertes, neatitinka tikrojo sinchroniškumo. Esant trumpam serijų persidengimo intervalui, kartais gaunami klaidinančiai dideli priaugio dinamikos panašumo matematiniai rodikliai. Pavyzdžiui, dviejų nevienalaikių radiokarboniškai datuotų pavyzdžių Nr.444 ( $C^{14}$  data 130 BP) ir Nr.1287 ( $C^{14}$  data 900 BP) priaugio serijų vienoje sugretinimo pozicijoje (45 persidengiančios rievės) koreliacijos t statistika buvo 5,73.

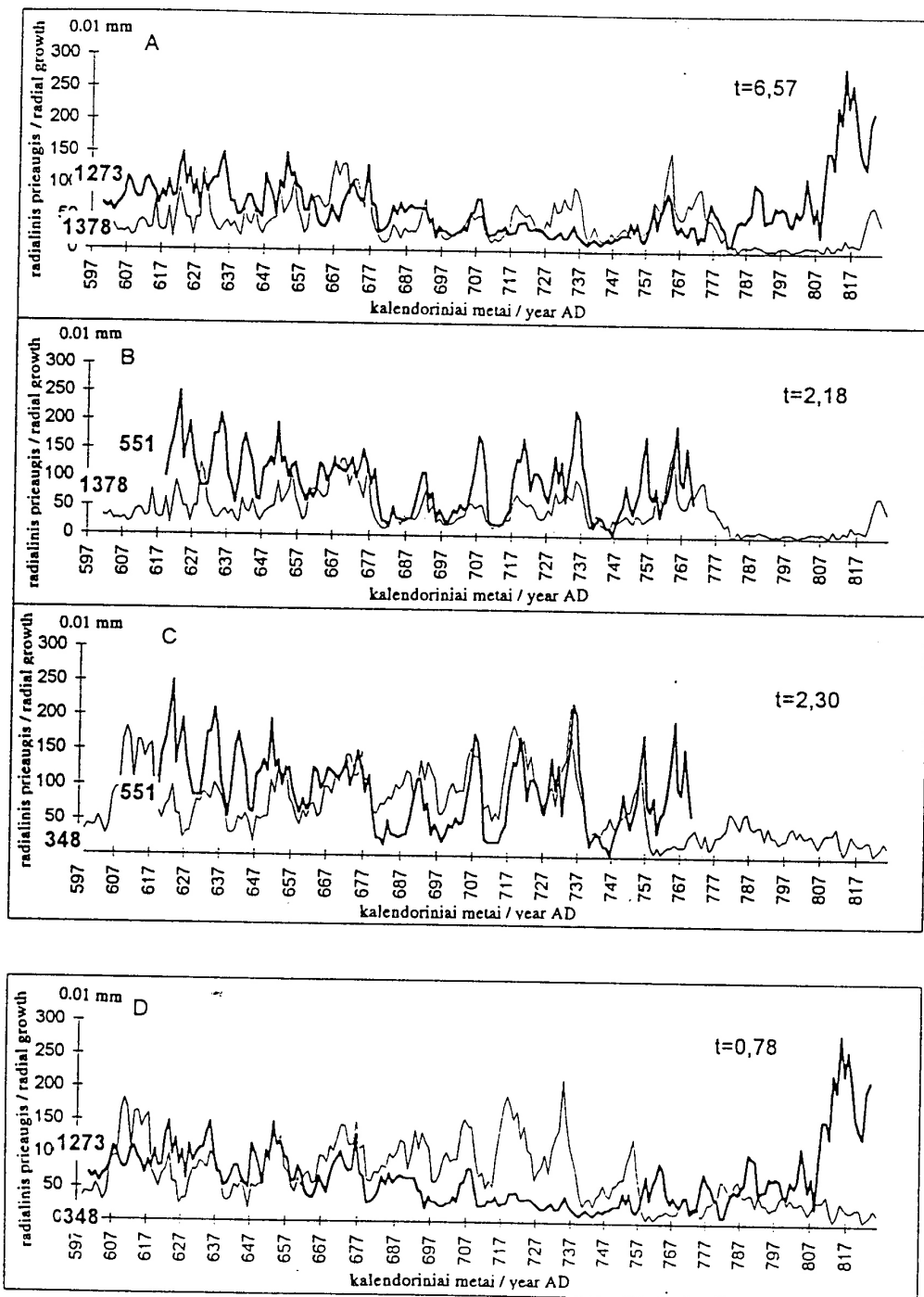
Taigi, atliekant aukštapelkinių augimviečių pušies priaugio serijų sinchronizavimą, susidurta su dviem sinchronizavimą apsunkinančiais momentais: kai, esant sinchroniškam serijų persidengimui, priaugio dinamikos panašumas tarp serijų mažas (individuali priaugio dinamika), ir kai pastebimas priaugio dinamikos pseudopanašumas (pseudo-sinchronišumas) asinchroniškose serijų gretinimo pozicijose.

Mažos matematinių panašumo kriterijų reikšmės, gretinant serijas sinchroniškose pozicijose, dažnai gaunamos dėl aukštapelkių pušies priaugio dinamikos savybės, kai atskirų medžių priaugis kinta sinchroniškai ne visame gretinimo intervale, bet tik tam tikrą laikotarpi, tuo tarpu kitu laikotarpiu, pakitus augimo sąlygomis, panašumas tarp priaugio serijų dinamikos sumažėja, sustipréja individualūs bruožai. Charakteringas pavyzdys parodytas  $^{14}$  paveiksle. Jame grafiškai pavaizduota medžių Nr.497 ir Nr. 1416 metinio radialinio priaugio dinamika: tam tikrą laiko tarpa jų priaugio kaita beveik identiška (b dalis), bet vėliau, įsijungus tam tikram faktoriui (pvz. liga, konkurencija, vandens lygio kaita ar kt.), priaugio svyravimai praranda panašumą (c dalis).

Aukštapelkinių augimviečių pušų priaugio dinamikai būdinga, kad vienalaikio augimo medžių grupėje metinio priaugio kaita ne tarp visų medžių sinchroniška. Gretinant medžius poromis, pirmo medžio priaugio serija gali gerai koreliuoti ir su antro, ir su trečio medžio serija, tačiau panašumas tarp pirmojo ir antrojo medžio priaugio dinamikos bus labiau išreikštasis vienuose priaugio ritmikos elementuose, tuo tarpu tarp pirmojo ir trečiojo - kituose, taigi panašumas tarp antrojo ir trečiojo medžių serijų gali būti mažas. Kaip pavyzdys 15 paveiksle poromis palyginti vienalaikio augimo medžių grupės radialinio priaugio grafikai. Lyginant pirmojo medžio (Nr. 1273) seriją su antrojo (Nr. 1378), antrojo su trečiojo (Nr. 551),



14 pav. Priaugio dinamikos individualumas: a) dviejų medžių serijų bendras vaizdas, b) periodas, kuriuo priaugio svyravimai sutampa, c) laikotarpis, kuriuo tų pačių medžių priaugio dinamika smarkiai skiriasi.

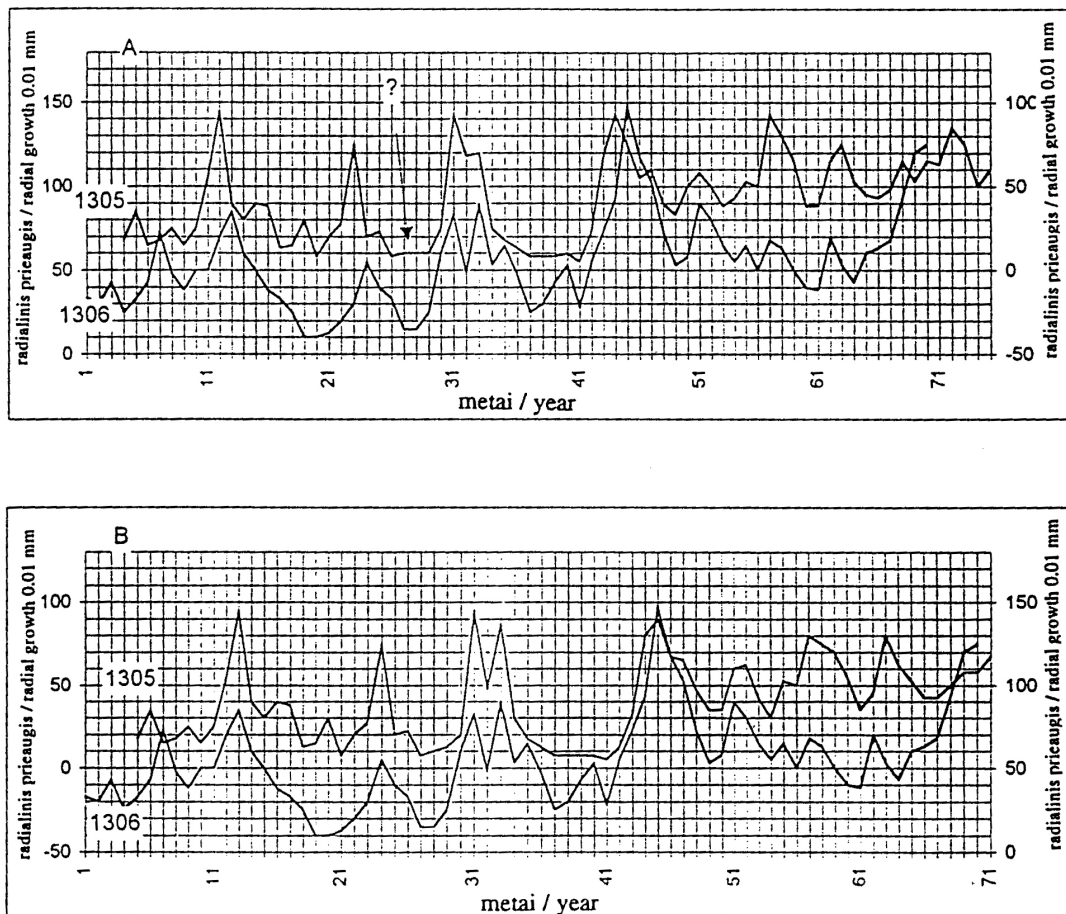


15 pav. Individualumas aukštapelkinės augimvietės pušies prieaugio dinamikoje. Grupės sinchronizuotų pavyzdžių serijų palyginimas poromis: palaipsniui gretinant vieną medį su kitu (A,B,C dalys), skirtumai tarp jų prieaugio svyravimų néra dideli, tuo tarpu pirmojo ir paskutinio medžio poroje (D dalis) jie išryškėja, ypač antrajame augimo šimtmetyje. Grafikuose pažymėtos gretinamų serijų koreliacijos  $t$  kriterijaus reikšmės.

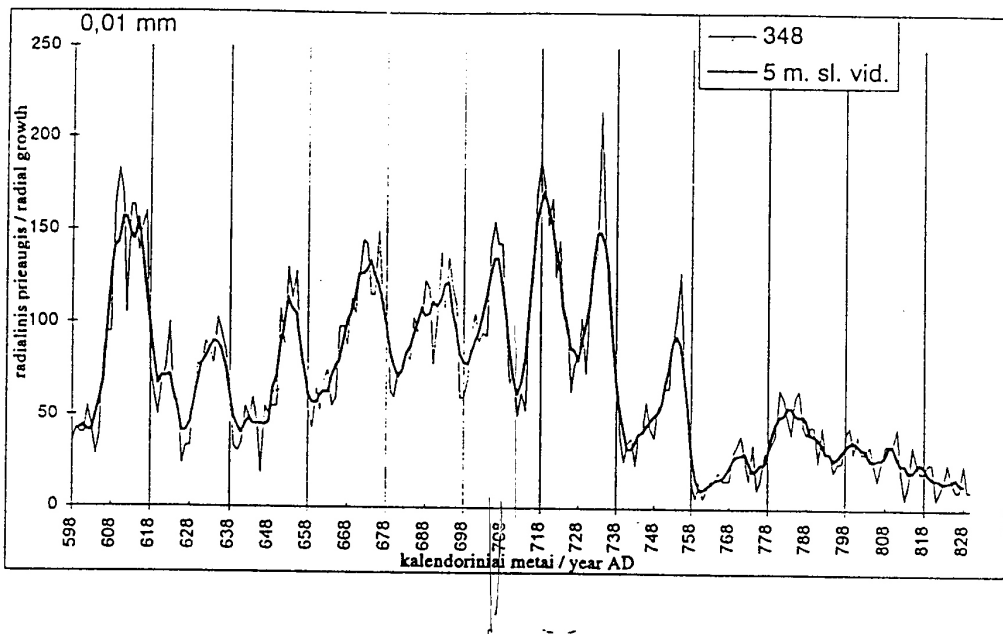
trečiojo su ketvirtojo (Nr. 348), individualūs jų skirtumai nėra dideli, tuo tarpu pirmojo (Nr. 1273) ir ketvirtojo (Nr. 348) medžių poroje jau pastebimas jų prieaugio kaitos asinchronišumas, ypač antrajame jų augimo šimtmetyje. Dėl specifinių sąlygų aukštapelkinėse augimvietėse medžių prieaugio variaciją didele dalimi apsprendžia ne tiek bendrieji visiems medžiams klimatiniai veiksnių, kiek edafinių ir klimatinių veiksnių sąveika, priklausanti nuo mikraugimvietinių skirtumų. Kaip rodo J.Karpavičiaus tyrimai, skirtingose aukštapelkės mikraugimvietėse (aukštapelkės šlaitas, plynaukštė ir t.t.) pastebima skirtinga medžių reakcija į klimatinius veiksnius, tuo pačiu skirtinga prieaugio dinamika (Карпавичюс, 1994). Rezultatai, autorės gauti analizuojant dabartinių medžių, augančių aukštapelkinėse augimvietėse, prieaugio dinamikos panašumą, rodo, kad individualių medžių tarpusavio koreliacijos koeficientas kinta nuo +0,79 iki +0,08 (Užpelkių Tyrelio dabar augančių medžių tyrimo barelis) ir nuo 0,81 net iki -0,14 (Daunorių barelis). J.Karpavičius, tyrės dabar augančių pušų prieaugį, nustatė, kad aukštapelkinėse augimvietėse didesnį kaip 60% panašumo koeficientą turi tik 30 - 60% medžių metinio radialinio prieaugio serijų (Карпавичюс, 1984в). Todėl, norint patikimai sinchronizuoti prieaugio serijas, esant nedideliam panašumui tarp jų, būtina, kad persidengtų kelių medžių serijos. Tuo būdu sinchronišumas tarp labiau besiskiriančių savo dinamika prieaugio serijų randamas sinchronizuojant jas su tos pačios grupės medžių serijomis, turinčiomis panašią dinamiką. Dalies medžių, kurių prieaugio dinamika skiriasi nuo visų kitų medžių, serijos negali būti patikimai sinchronizuotos (Pikšrytė, 1996).

Matematinį aukštapelkinių augimviečių pušies prieaugio serijų sinchronizavimą labai apsunkina pasitaikantys sekose anomalaus augimo atvejai - taip vadinamos "iškrentančios" ir "dvigubos" rievės. Šiuos pažeidimus prieaugio laiko eilutėse galima nustatyti tik vizualiai sinchronizuojant seriją su kitų tuo pačiu laikotarpiu augusių medžių prieaugio serijomis - atliekant verifikaciją. 16 paveikslė parodytas verifikacijos, sinchronizuojant dviejų Užpelkio Tyrelio aukštapelkės medienos pavyzdžių prieaugio sekas, pavyzdys. Nustačius sekose prieaugio anomalijas, serijos koreguotos, įterpiant metus su "nuliniu" prieaugiu arba apjungiant sudvigubintas rieves.

Autorių, tyrusių pušies prieaugio dinamiką paežerinėse augimvietėse (Пакальник, 1978; Kriukelis, 1995), darbai rodo, kad veikiamų aukšto gruntuinio vandens pušų prieaugio fluktuacijoms būdingas cikliškumas, susijęs su kumuliatyviniais ežero lygio, tuo pačiu gruntuinio vandens lygio svyravimais. Aukštapelkinės pušies prieaugio svyravimams taip pat būdingas atskirais laikotarpiais gana ryškiai išreikštas vidutinių dažnių cikliškumas, matyt susijęs su cikliškais pelkių vandeninguo pokyčiais (17 pav.).

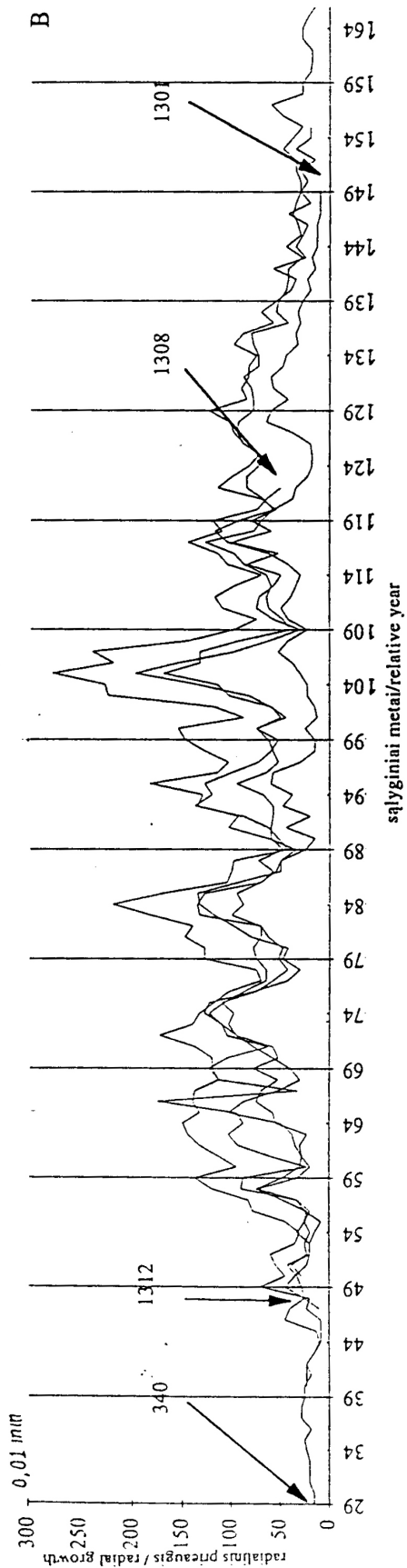
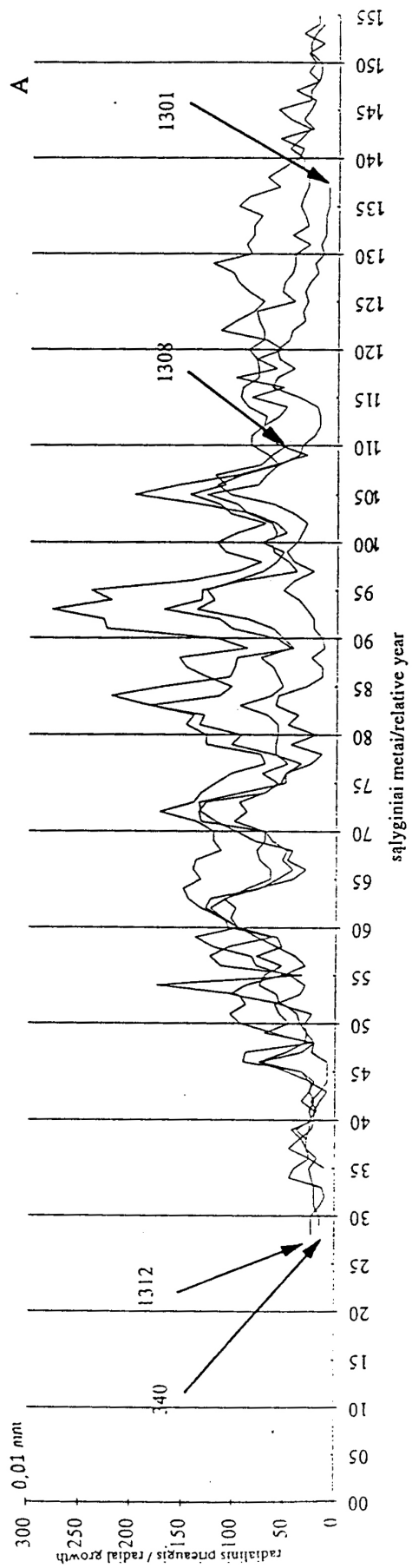


16 pav. Prieaugio serijų vizualinis verifikavimas (anomalijų metinių rievų sekose išaiškinimas). A dalyje klaustuku pažymėti metai, prieš kuriuos pastebimas lyginamų serijų prieaugio kaitos fazijų prasislinkimas. Išanalizavus 1305 pavyzdžio prieaugio sekas, vienoje matavimo krypčių rasta dviguba rievė. Atlikus korekciją, perskaičiuota 1305 medžio vidutinė metinio radialinio prieaugio serija, kuri sugretinta su pavyzdžio Nr.1306 serija paveikslė B dalyje.

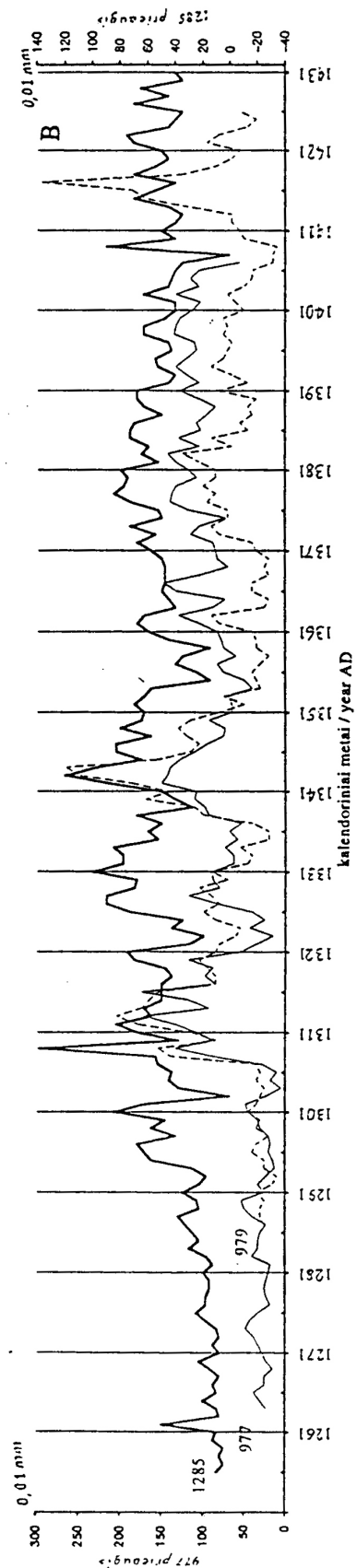
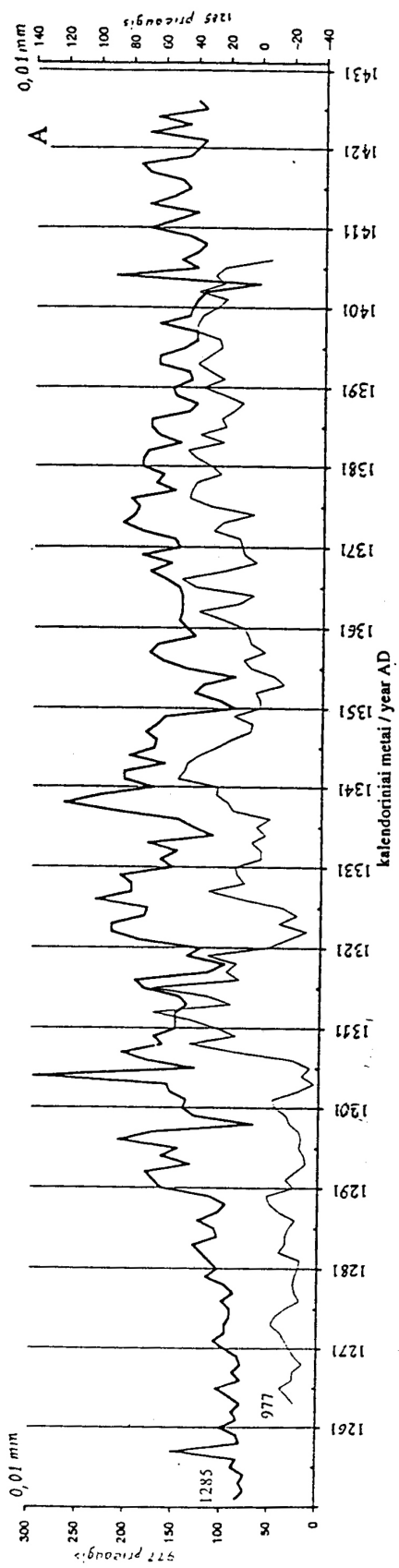


17 pav. Užpelkių Tyrelio aukštapelkės pušies prieaugio ritmai (pavyzdys Nr. 348 iš VII - IX a.). Metinis radialinis prieaugis parodytas plona linija, storesne linija - slenkantieji penkiamečiai vidurkiai.

Dėl šių pasikartojančių cikliško pobūdžio fluktuacijų, ypač sinchronizuojant trumpesnio amžiaus medžių serijas, kartais gaunami geri panašumo rodikliai keliose serijų persidengimo pozicijose, kuriose sutampa periodiškų svyravimų fazės. Susiduriame su pseudopanašumo (pseudosinchroniškumo) reiškiniu. Atliekant matematinę Užpelkių Tyrelio pavyzdžių prieaugio serijų sinchronizaciją, pasitaikė atvejų, kai geri panašumo rodikliai (pavyzdžiu, t vertė didesnė už 4,0) pasikartoja toje pačioje gretinamų medžių poroje trijose ar net keturiose serijų gretinimo pozicijose. Jau minėta, kad aukštostas kriterijaus t vertės kartais gaunamos tarp skirtinges radiokarbonines datas turinčių pavyzdžių prieaugio serijų, kurių sinchroniškumo, beje, nepatvirtina ir vizualinė sinchronizacija. C. Millsas (Mills, 1992), tyres statistinių panašumo rodiklių dinamiką atsitiktiniuose prieaugio serijų persidengimuose, taip pat konstatavo, kad t kriterijaus vertė netikro sinchroniškumo pozicijose kartais viršija 6,0. Pseudopanašumas pasireiškia taikant ir matematinius, ir vizualinius sinchronizacijos metodus. 18 a paveiksle parodytas vizualinio pseudopanašumo atvejis ne sinchroniškoje grupės medžių serijų gretinimo pozicijoje. 18 paveikslo b dalyje ta pati grupė medžių serijų sinchronizuota, remiantis didžiausiomis tarpusavyje matematinių rodiklių (t kriterijaus) vertėmis. Be abejo, sinchroniškoje persidengimo pozicijoje vizualinis panašumas yra didesnis,



18 pav. Pseudosinchroniškumo pavyzdys: A - grupės medžių prieaugių dinamikos panašumas ne sinchroniškoje serijų gretinimo pozicijoje, B - ta pati grupė medžių, prieaugio serijos sinchronizuotos, remiantis didžiausiomis t kriterijaus reikšmėmis.



19 pav. Pseudosynchronišumas: a) pavyzdžių Nr. 1285 ir 977 rievių serijų gretinimo pozicija, kurioje t vertė didžiausia - atitinkamai 13/1 rievė, t kriterijus 5,3; b) 1285 ir 977 pavyzdžiai sinchronizuoti vizualiai pozicijoje 9 / 1 rievė (t kriterijus 4,8). Šioje pozicijoje pavyzdžių fluktuacijos sinchronizuojasi ir su kitų grupės medžių serijomis (palygintiui papildomai pateiktiamas 979 medžio prieaugio grafikas).

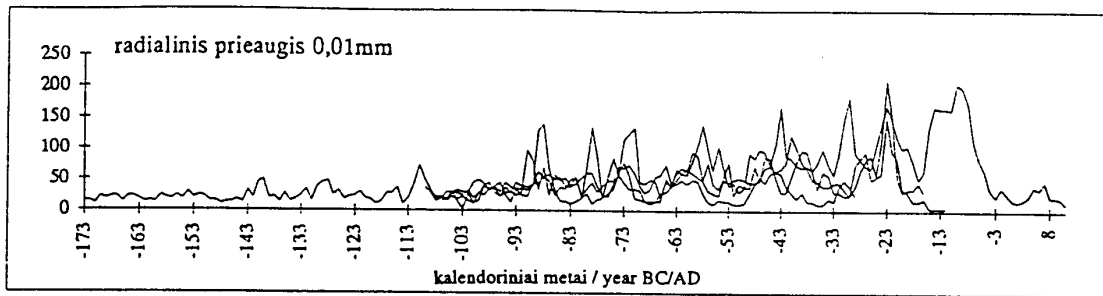
negu pseudosinchroniškoje pozicijoje. Tuo tarpu matematiniai rodikliai asinchroniškoje pozicijoje kartais gali būti net didesni. 19 A paveiksle parodytas dviejų medžių priaugio grafikų sugretimas pozicijoje, turinčioje didžiausią t kriterijaus vertę. Vizualinis metodas rodo sinchroniškumą kitoje serijų persidengimo pozicijoje (B dalis), šią poziciją patvirtina ir palyginimas su kitų sinchroniško augimo grupės medžių priaugio seriomis. Matematinius koreliacijos rodiklius šioje pozicijoje sumažina kai kurių lėtųjų svyravimų fazų persistūmimas (pavyzdžiui apie 1335 - 1341 metus).

Pastarieji pavyzdžiai rodo, kad, atliekant aukštapelkinių pušies pavyzdžių priaugio serijų synchronizavimą, negalima remtis vienu kuriuo iš metodų, bet būtina tiek matematinus, tiek vizualinių synchronizavimo metodus naudoti kompleksiškai: matematiniai metodai palengvina galimų sinchroniškumo pozicijų atrinkimą, tačiau galutinė išvada turi būti paremta vizualiniu metinio priaugio grafikų palyginimu. Kad dviejų medžių augimo santykinio datavimo patikimumas būtų didesnis, sinchronišumas, ypač esant nedideliems panašumams tarp priaugio serijų, turėtų būti patvirtintas abiejų medžių priaugio serijų synchronizavimo su kitomis vienalaikio augimo medžių seriomis.

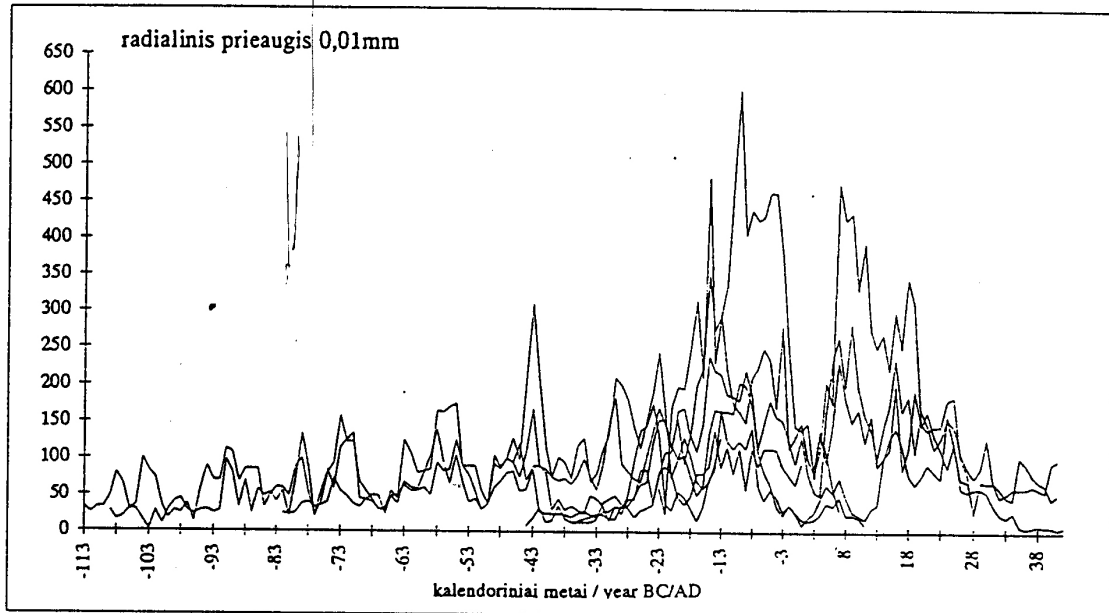
## **5.2. Užpelkių Tyrelio aukštapelkės durpėse užsikonservavusių medžių radialinio priaugio serijų synchronizavimas ir ilgalaikių priaugio chronologijų sudarymas**

Kadangi aukštapelkinėse augimvietėse pušies priaugui greta bendrujų visiems medžiams klimatinių veiksnių didelę reikšmę turi ir besiskiriančios mikroaugimvietinės sąlygos, kiekvieno medžio metinio priaugio dinamika įgauna savitų dėsningumų. Ankstesniame poskyryje aptartos ir su pavyzdžiais parodytos aukštapelkinių paprastosios pušies priaugio serijų synchronizavimo ypatybės. Dėl aptartų ypatybių, daugiausiai dėl priaugio dinamikos individualumo, tik apie pusės (47%) Užpelkių Tyrelio pavyzdžių priaugio serijos buvo tarpusavyje synchronizuotos ir įtrauktos į sinchroniško augimo medžių chronologijas. Daugiausiai atmeti nedaug metų turintys pavyzdžiai. Kitų autorių, dirbančių su aukštapelkinėse augimvietėse augusios paprastosios pušies serijų synchronizacija, pastebėjimais, esant neilgoms (100 - 150 metų) serijoms, taip pat tepavyksta datuoti apie 1/3 - 1/2 pavyzdžių (D.M.Brown (Š. Airija), asmeninis pokalbis).

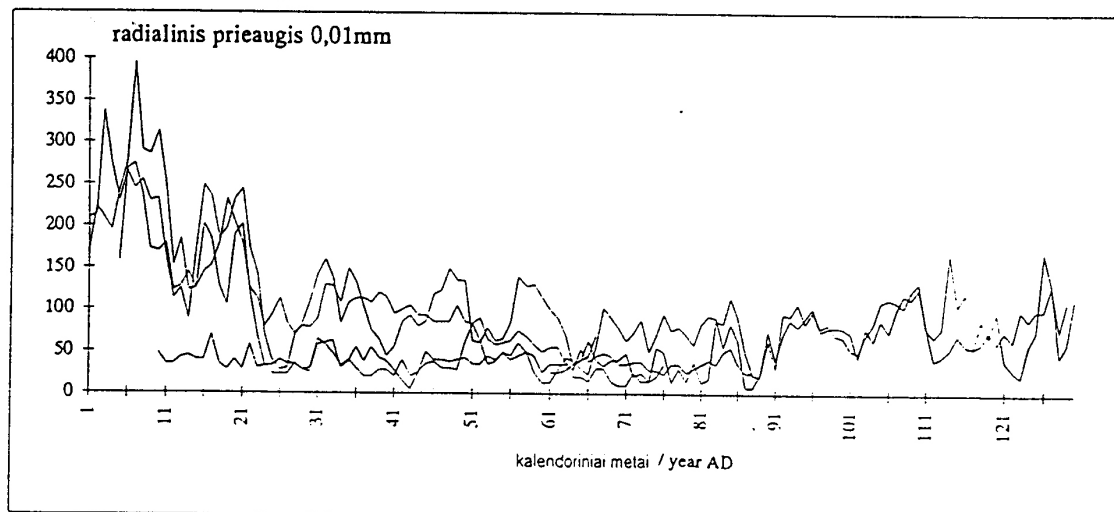
Sinchronizuojant Užpelkių Tyrelio subfossilinės medienos pavyzdžių, surinktų iš nuplentuoto duryno paviršiaus, priaugio serijas, nustatyta, kad šie pavyzdžiai reprezentuoja dvi sinchroniškai augusių medžių grupes. Rekonstruotose grupėse dauguma medžių buvo beveik vienaamžiai - jų



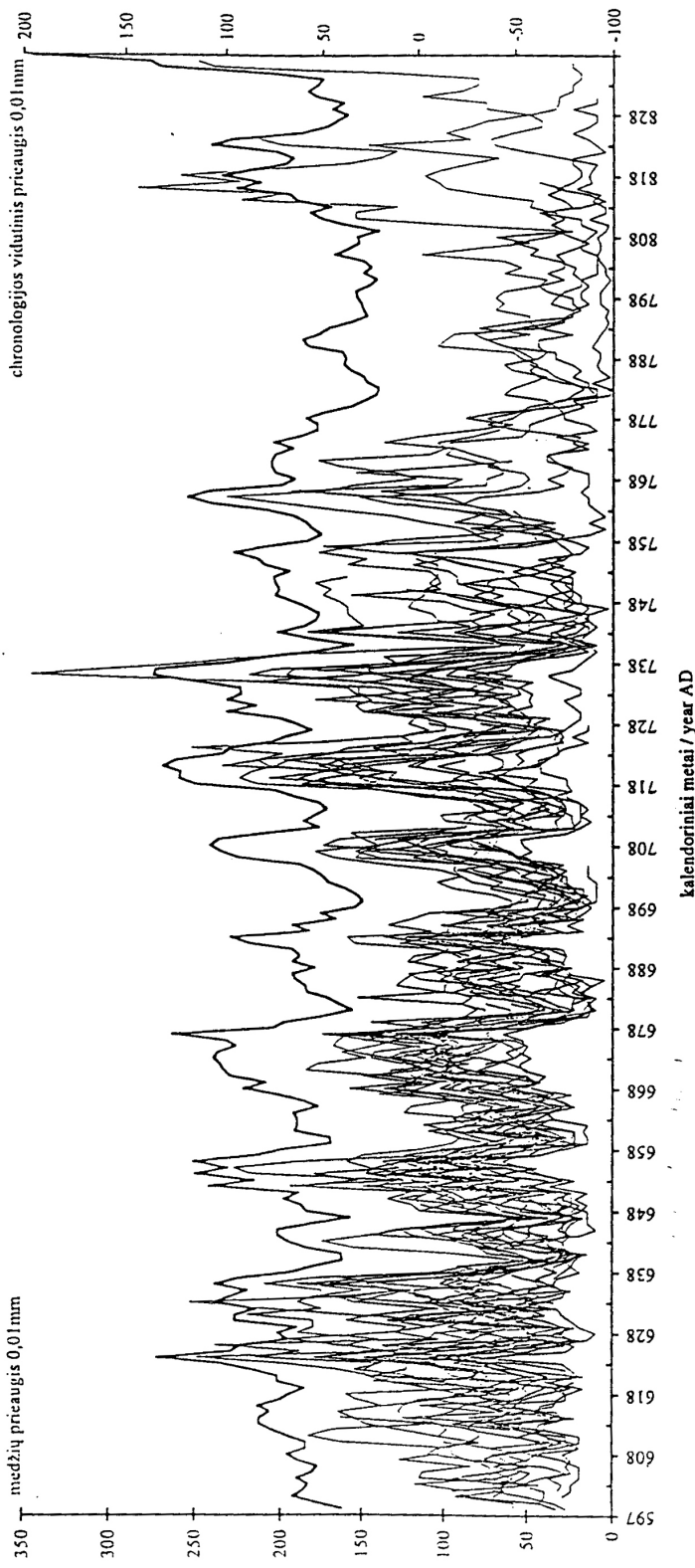
20 pav. Seniausių aukštapelkės pušų (grupė "LCWUT99Z", II - I a. pr. Kr.) radialinio prieaugio kaita.



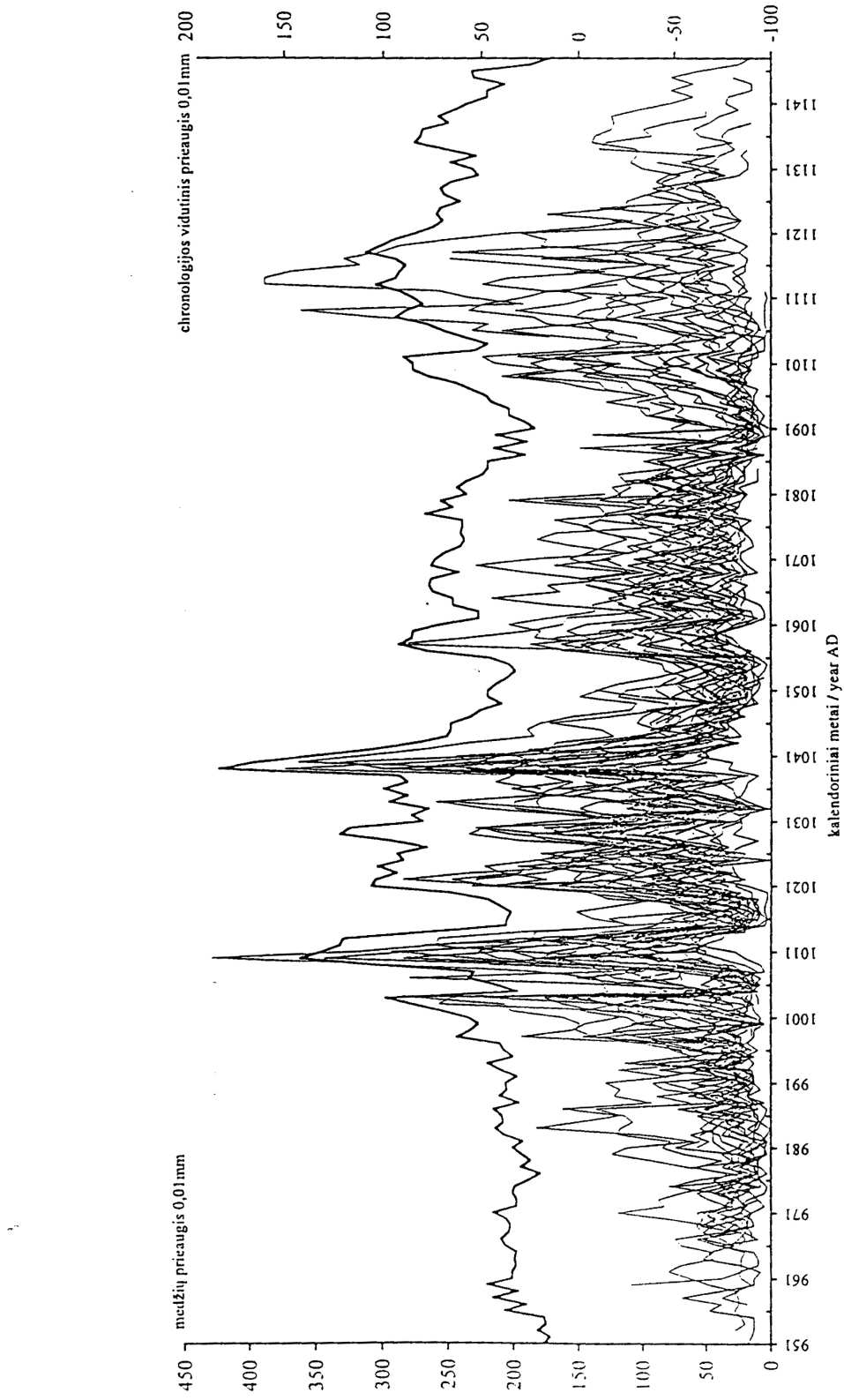
21 pav. Tolimesnis seniausios aukštapelkinio pušyno fazės ("LCWUT99Z") medžių prieaugio dinamikos fragmentas



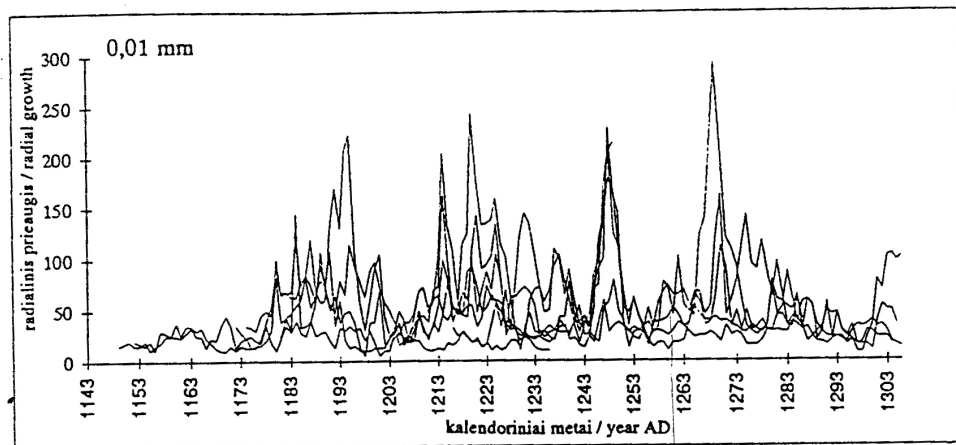
22 pav. Medžių, augusių durpyne mūsų eros pradžioje (grupė "LCWUT99Z"), prieaugio dinamika.



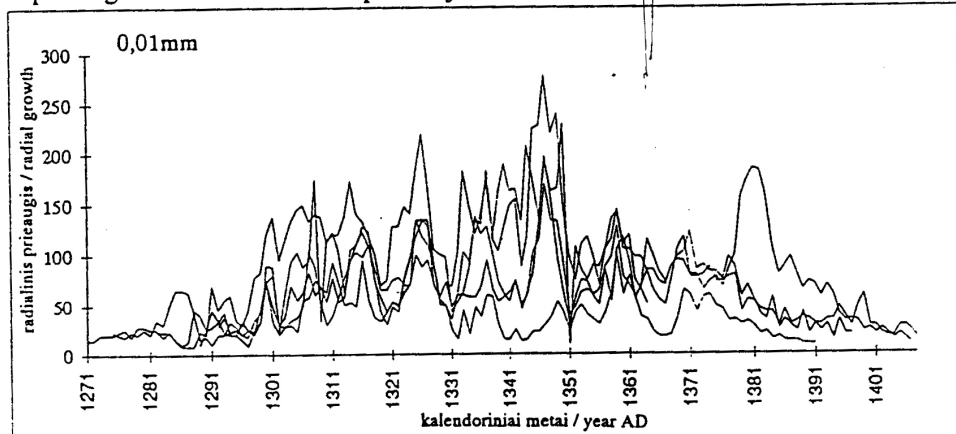
24. pav. Užpelkių Tyrelio iškastinių medžių grupės "LCWU130B" (VI - IX a. po Kr.) synchronizuoti radialiniai prieaugiai. Storesnė linija rodo grupės vidutinį prieaugi.



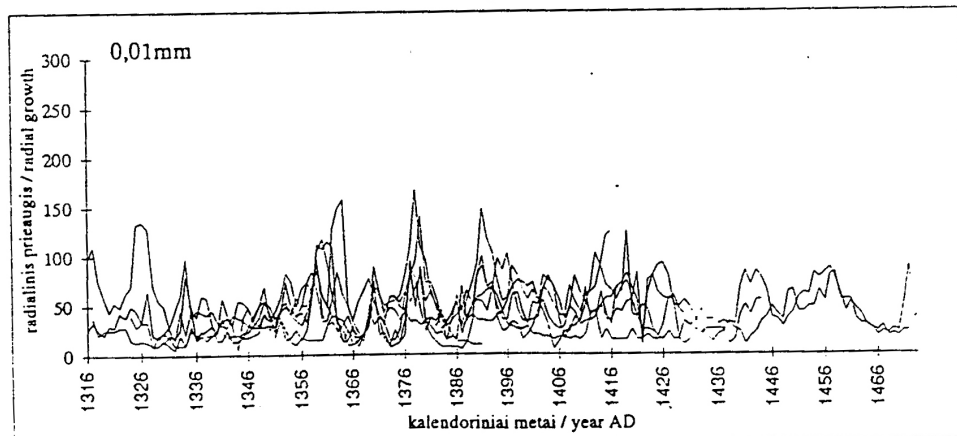
25 pav. Iškastinių medžių grupės "LCWUT60A" (IX - XII a. po Kr.) sinchronizuoti radialiniai prieaugiai. Pastorinta linija rodo grupės vidutinį prieaugį.



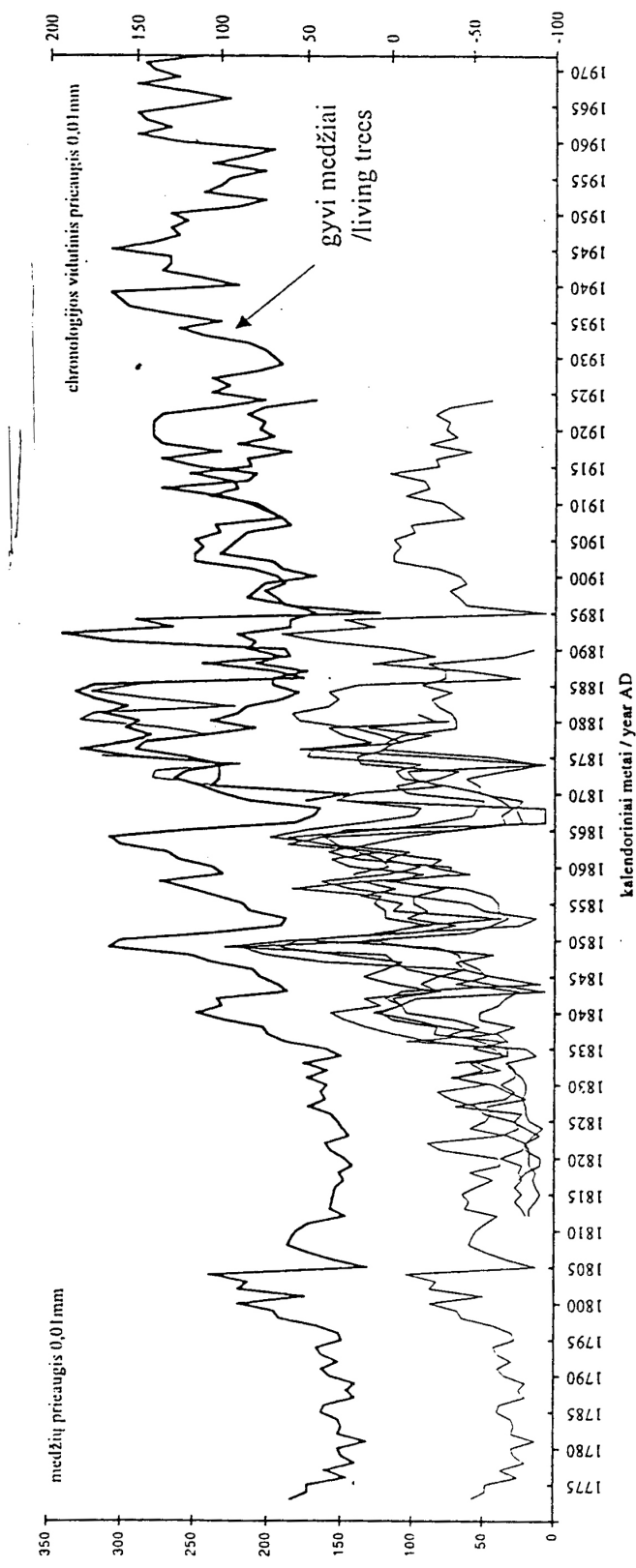
26 pav. XII - XV a. medžių grupės "LCW1319A" prieaugio dinamikos fragmentas: medžių radialinis prieaugis šios raistinės fazės pradžioje.



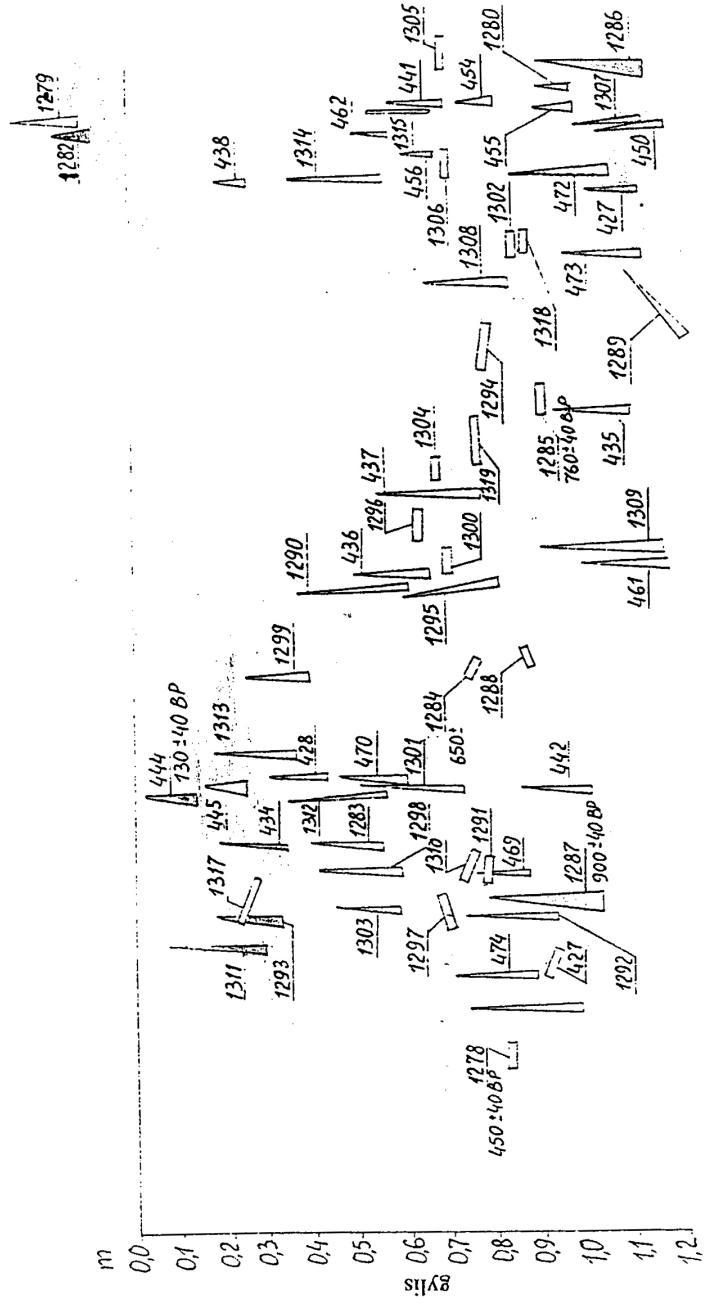
27 pav. Medžių grupė "LCW1319A": tolimesnis prieaugio dinamikos fragmentas.



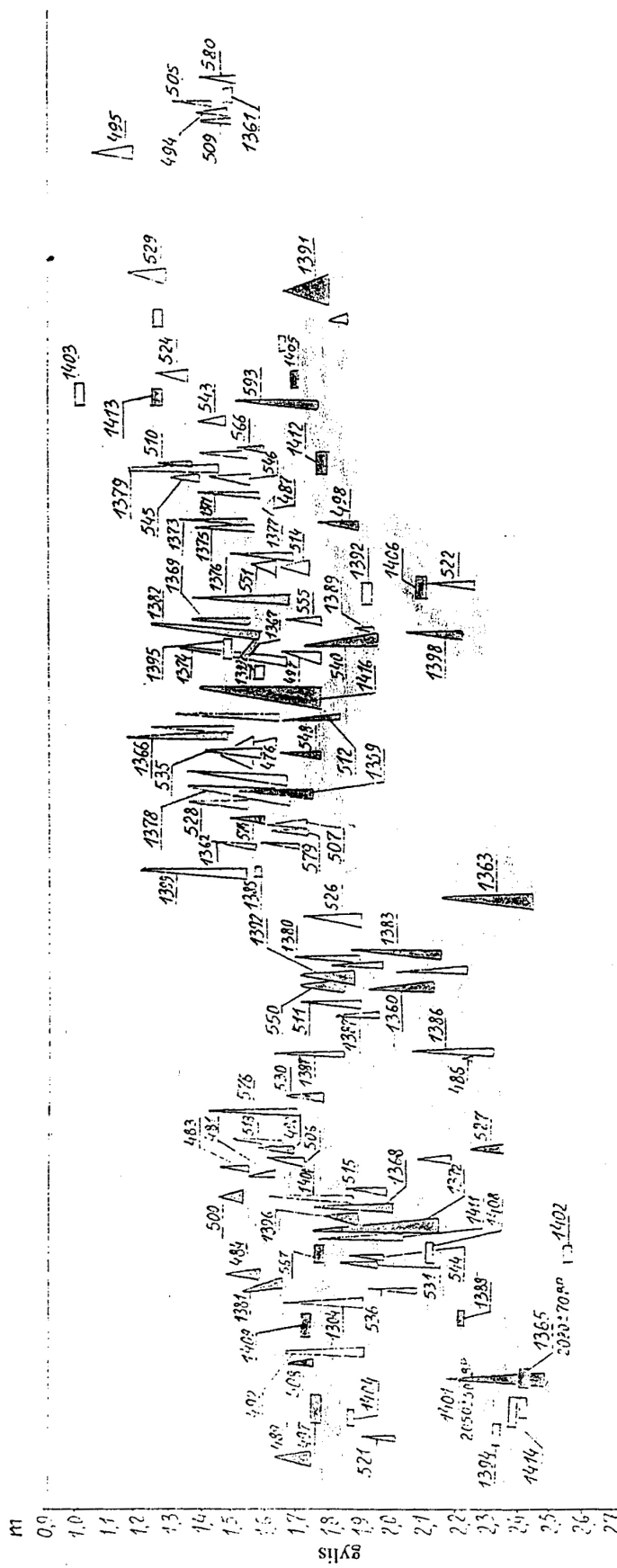
28 pav. Medžių grupė "LCW1319A": medžių radialinio prieaugio kaita fazės pabaigoje.



29 pav. Synchronizuoti XVIII - XX a. subfossilinių medienos pavyzdžių (grupė "LCWUTXXA") radialiniai prieaugiai ir jų datavimas pagal dabar augančių medžių (Užpelkių Tyrelio aukštapelkė) chronologiją. Pastorintos linijos rodo vidutines prieaugio chronologijas.



30 pav. Skirtingų pušyno fazų liekanų sluoksnių pirmame durpyno kasinyje (viršutinis oligotrofinės durpės klodo metras):   
 (LCWUT60a);   
 - XII - XV a. fazė (LCW1319a);  
 - XIII - XX a., grupė LCWUTXXa.  
 - X - XII a. fazė (LCWUTXXa).



31 pav. Skirtingų pušyno fazijų ir subfazijų liekanų sluoksnių antrame durpyno kasinyje (apatinis oligotrofinės durpės klodo metras):  
*confinisiosi pušyno fazis (SWI/T99')* [a pr. Kr. - VI a. po Kr.];

augimo pradžios grupuoja vieno - dviejų dešimtmečių intervale. Pirmąjį grupę ("LCWUT13b") sudaro daugiausiai ilgaamžiai (iki 200 metų ir daugiau) medžiai, turintys panašią metinių rievių pločio kaitą, pasižyminti ritmiškais, maždaug kas 20 metų pasireiškančiais, augimo pagerėjimais ir pablogėjimais. Pusė šios grupės medžių išdygo per šešerių metų laikotarpį. Ypač gausi antroji grupė ("LCWUT60a"), kurioje greta ilgai (150 - 180 metų) gyvavusių medžių yra daug neilgaamžių (50 - 60 metų) pušaičių, turėjusių neblogą prieaugį ir augusių laikotarpiu, kai ilgaamžių medžių prieaugis buvo padidėjęs.

Dalis pavyzdžių iš durpyno profilių taip pat yra sinchroniški šioms dviems medžių grupėms. Apatiniai I - ojo kasinio pavyzdžiai ir viršutiniai pavyzdžiai iš II kasinio centrinės dalies priklauso grupei "LCWUT60a", kiek žemiau II kasinyje esančių kelmų sluoksnis sinchroniškas grupės "LCWUT13b" medžiams (žr. 30 ir 31 pav.).

Iš viso pagal prieaugio serijų dendrochronologinio synchronizavimo rezultatus į "LCWUT13b" medžių grupę įtraukti 23 pavyzdžiai. 5 lentelėje, kaip matematinio serijų synchronizavimo pavyzdys, pateikta "LCWUT13b" grupės medžių synchronizuotų prieaugio serijų tarpusavio koreliacijos t kriterijaus verčių matrica. Apskaičiavus grupės medžių metinio radialinio prieaugio serijų vidurkius, sudaryta 287 metų ilgio prieaugio chronologija.

Į medžių grupę "LCWUT60a" įtraukti 43 pavyzdžiai. Iš šių medžių metinio radialinio prieaugio reikšmių sudaryta 198 metų ilgio vidutinė prieaugio chronologija.

Šių dviejų susynchronizuoto prieaugio medžių grupių radialiniai prieaugiai ir jų vidutinės prieaugio chronologijos parodytos 24 paveiksle ("LCWUT13b", arba VI - IX a. grupės (apie datavimą žr. žemiau)) ir 25 paveiksle ("LCWUT60a", arba X - XII a. medžių grupės).

Gilesniųjų II kasinio medienos pavyzdžių prieaugio serijų synchronizavimas parodė, kad šių medžių augimo laikotarpiai, perdengdami laike vienas kitą, apėmė maždaug aštuonis šimtmečius (medžių grupė "LCWUT99z"). Šiame laikotarpyje aukštapelkėje pušys nesudarė vienaamžio medyno, medžių išdygimo metai išsidėstė per šešis amžius. 20 paveiksle parodytas pačių seniausiuju aukštapelkės pušų radialinio prieaugio kaita, 21, 22 ir 23 paveiksluose pateikti tolimesni datuotų vienas kito atžvilgiu medžių prieaugio dinamikos fragmentai (kalendoriniai metai nustatyti pagal radiokarboninį medžių grupės datavimą, žr. žemiau). Santykinis medžių augimo laikotarpių datavimas leidžia šiame ištisiniamame pušies medyno vystymesi atsekti tris tam tikras kartų kaitos subfazes, kai baigiantį nunykti medyną pakeisdavo pradėjęs formuotis naujas pušynas. Tačiau labai ryškių ribų tarp subfazių nėra. Seniausios subfazės ("LCWUT99a" grupė) medžių išdygimo metai išsidėstė maždaug dviejų šimtmečių laikotarpyje, sekančios subfazės ("LCWUT99b") pušys pradėjo

augti per beveik pusantro šimto metų laikotarpį, subfazė "LCWUT99c" formavosi apie vieną šimtmetį. I subfazės "LCWUT99a" medžių grupę įeina 21 pavyzdys, į grupę "LCWUT99b" - 9 pavyzdžiai, į "LCWUT99c" grupę - 12 pavyzdys. Skirtingų subfazių medžių sluoksniai II - ojo kasinio profilyje parodyti 31 paveiksle. Seniausios subfazės medžių liekanų išsidėstymas durpių klodo profilyje rodo, kad pirmosios aukštapelkės pušys kūrėsi ant banguoto durpyno paviršiaus. Pavyzdžiu, beveik vienaamžių (skirtumas tarp išdygimo datų penkeri metai) medžių Nr. 531 ir Nr. 1365, augusių vienas nuo kito 11 m atstumu, šaknies kaklelių gyliai skiriasi 0,45 metro. Durpyno banguotumas išliko ir vėliau, kaupiantis durpių kladams.

Apskaičiavus šių susinchronizuotų pavyzdžių metinių radialinių priaugijų vidurkius, sudaryta 766 metų ilgio radialinio priaugio chronologija "LCWUT99z".

Pirmaojo durpyno kasinio (paviršinis durpės klodo metras) subfosilinių medienos pavyzdžių priaugio serijų sinchronizavimas parodė, kad daugumos aukščiau "LCWUT60a" grupės pavyzdžių sluoksnio esančių medžių, išskyrus pačius viršutinius, augimo laikotarpiai taip pat perdengė vienas kitą. Datuoti vienas kito ažvilgiu pavyzdžiai apjungti į grupę "LCW1319a". Šios grupės medžių liekanų išsidėstymas I - ojo kasinio profilyje parodytas 30 paveiksle. Grupės "LCW1319a" pušys sudarė nevienaamžį medyną, gyvavusį apie tris šimtmecius. Medžių augimo pradžios beveik tolygiai išsidėsčiusios per du amžius, masinio pušų sudygimo nefiksuojama. Grupės "LCW1319a" (arba XII - XV amžiaus grupės, apie absolutų datavimą žr. žemiau) medžių radialinio priaugio dinamikos fragmentai parodyti 26, 27 ir 28 paveiksluose. Iš viso grupėje sinchronizuoti 25 pavyzdžiai, apskaičiavus jų metinio radialinio priaugio vidurkius, sudaryta 332 metų ilgio priaugio chronologija.

Iš paviršinio durpės sluoksnio (iki 0,5 m gylio) subfosilinės medienos pavyzdžių pavyko tarpusavyje sinchronizuoti penkių medžių priaugio serijas, sudarant grupę "LCWUTXXa". Jos 152 metų ilgio radialinio priaugio chronologija persidengė laike su Užpelkių Tyrelio aukštapelkės augančių *Pinus sylvestris* medžių barelio (žr. 3.3 poskyri) priaugio chronologija. Pagal pastarąją datuota grupės "LCWUTXXa" chronologija prasideda 1773 ir baigiasi 1924 metais. Pirmaojo grupės medžio išdygimo data - 1773 metai, paskutiniojo - 1833 m. Grupės medžių radialinio priaugio dinamika ir jos susiejimas su gyvų medžių barelio priaugio chronologija parodyta 29 paveiksle.

Užsikonservavusią Užpelkių Tyrelio durpių kluonose medžių liekanų metinio priaugio sinchronizavimas parodė, kad nuo pelkės perėjimo į oligotrofinę fazę pušies medynas tiriamajame plote neaugo ištisai visus du tūkstančius metų. Jis išplisdavo tam tikrais laikotarpiais: medžių, reprezentuojančių šiuos laikotarpius, radialinio priaugio sekos grupuoja

laiko skalėje (Pikšrytė, 1994). Sudarytos penkios synchronizuoto augimo medžių grupės. Šių atskirų medyno fazų metinio prieaugio serijos neperdengia (arba beveik neperdengia) viena kitos, fazes skiria plyninės (bemiškės) augalijos fazės. Todėl dendrochronologiniu metodu vienerių kalendorinių metų tikslumu datuoti praeities medynų augimo neįmanoma. Absoliučiai datuojant pušies medyno išplitimo fazes buvo remiamasi radioanglies datomis. Kalibrutuotų subfosilinės medienos pavyzdžių datų ( $1\sigma$  patikimumo intervale) pasiskirstymas laiko skalėje pateiktas 32 paveiksle.

Synchronizuoto prieaugio medžių grupėse yra nuo dviejų iki aštuonių pavyzdžių, datuotų  $^{14}\text{C}$  metodu. Grupės datuotos pagal šių pavyzdžių atitinkamą rievių kalibruotas datas (Pikšrytė, 1996): grupės pirmosios rievės data nustatyta kaip datų pagal visus datuotus pavyzdžius vidurkis.

6 lentelė. Pušyno išplitimo Užpelkių Tyrelio aukštapelkėje fazes reprezentuojančių medžių grupių charakteristikos

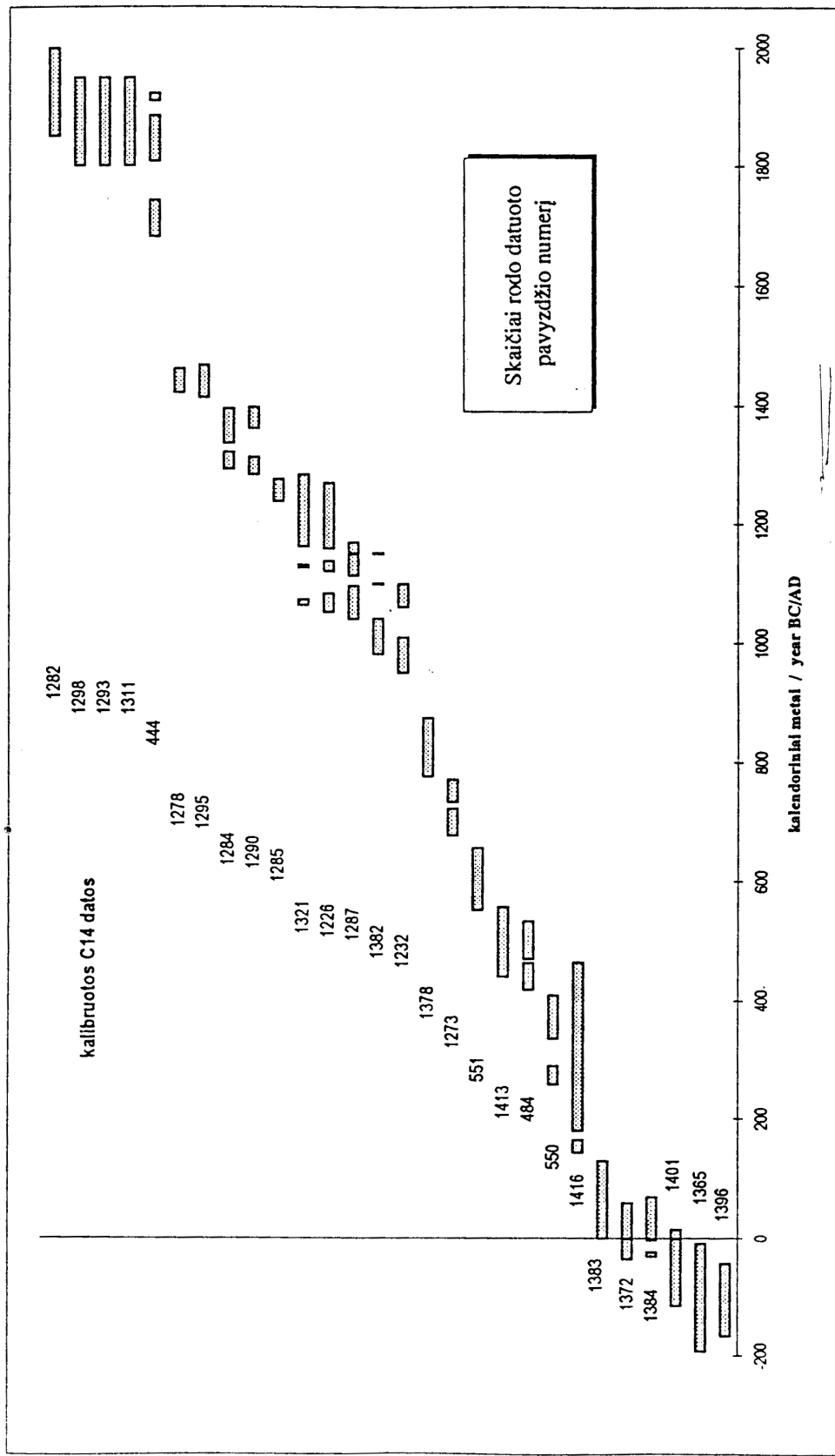
Medžių grupės šifras	Augimo pradžios metai	Augimo pabaigos metai	Chronologijos ilgis metais	Medžių skaičius grupėje
LCWUT99z	173 pr. Kr.	593 po Kr.	766	42
LCWUT13b	551 (597)* po Kr.	837 po Kr.	287	23
LCWUT60a	951 po Kr.	1148 po Kr.	198	43
LCW1319a	1143 po Kr.	1474 po Kr.	332	25
LCWUTXXa	1773 po Kr.	1924 po Kr.	152	5

\*) - masinio medžių augimo pradžia

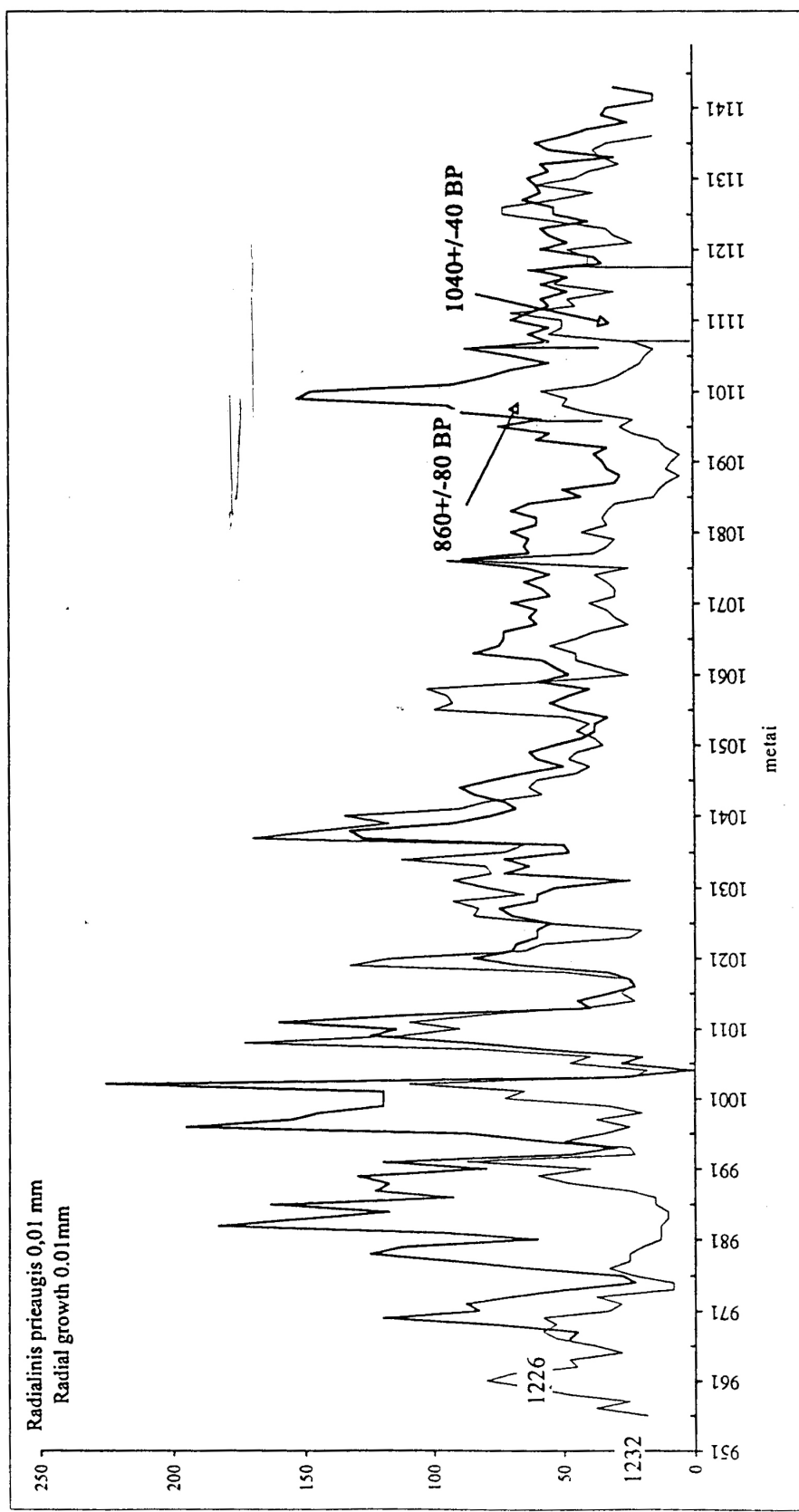
Dažniausiai atskirų vienos grupės pavyzdžių metinių rievių datavimas radioanglies metodu atitinka jų santykinį datavimą dendrochronologiniu metodu. Tačiau atskirais atvejais radiokarboninės beveik vienalaikių rievių datos gali skirtis iki dviejų šimtmečių. 33 paveiksle parodytas dviejų IX - XI a. grupės "LCWUT60a" medžių Nr.1226 ir Nr. 1232, kurių radioanglies datos skirtingos, dendrochronologinis datavimas. Tokie neatitikimo atvejai nėra prieštaravimas tarp dviejų datavimo metodų, tačiau rodo radioanglies datavimo, kaip statistinio metodo, galimas paklaidas, pripažystamas ir pačių radiokarboninio metodo specialistų (M.Pazdur, asmeninis pokalbis).

Santykinių datavus (synchronizavus) dendrochronologiniai metodai Užpelkių Tyrelio subfosilinių medžių augimo laikotarpius ir absoliučiai datavus radioanglies metodu medžių grupių egzistavimą, rekonstruotos penkios pušyno išplitimo fazės per daugiau kaip dviejų tūkstantmečių laikotarpi. Šias fazes reprezentuojančių medžių grupių gyvavimo laikotarpiai (pagal kalibruotas radioanglies datas) pateikti 6 lentelėje.

Seniausioji aukštapelkinio pušyno fazė truko beveik aštuonis šimtmečius nuo II a. pr. Kr. iki maždaug VI a. po Kr. Pirmosios pavienės



32 pav. Užpelkių Tyrelio medienos pavyzdžių kalibravotų radiokarboninių datų tikimybės pasiskirstymas ( $1\sigma$  intervaluose)



3.3 pav. Dvičių X - XII a. grupės "LCWUT60a" medžių, datuotų C<sup>14</sup> metodu, prieaugio grafikai. Beveik synchroniškų rievių radioanglies datos skiriasi dviejų šimtmeciais.

Fig. Growth patterns of two C<sup>14</sup> dated samples from the X - XII c. AD group "LCWUT60a". C<sup>14</sup> dates of almost synchronous rings differ by two centuries.

pušys įsikūrė II amžiaus pr. Kr. pradžioje. Intensyvesnis medyno formavimasis pastebimas pačioje II amžiaus pr. Kr. pabaigoje bei I tūkstantmečio pr. Kr. ir I tūkstantmečio po Kr. sandūroje. I amžiaus po Kr. pabaigoje ir tarp II ir III a. po Kr. fiksuojama tam tikra medyno kartų kaita. Baigiantis šiai pušyno fazei beveik pusantro šimtmečio (nuo V a. po Kr. vidurio) medynas buvo labai išretėjęs, fazės pabaigą V - VI a. reprezentuoja tik 2 - 3 ilgaamžiai medžiai siauromis rievėmis.

VI a. po Kr. pabaigoje - VII a. po Kr. pradžioje vyko staigus pušyno atželimas. Ši raistinė fazė tęsėsi iki IX a. antros pusės. Po šimtmetį trukusios plyninės augalijos fazės, X amžiaus viduryje, aukštapelkėje vėl gana staigiai išplito pušys, medynas gyvavo iki XII a. Šių dviejų raistinių fazių datavimas atitinka pušies žiedadulkių piką pelkés pirmojo grėžinio palinologinėje diagramoje (Савукинене и др., 1978, žr. 2 pav.).

Antrame mūsų eros tūkstantmetyje aukštapelkėje pušynas vėl pradėjo formuotis XII a. viduryje. Ši raistinė fazė baigėsi XV a. ir beveik trijų šimtmečių durpių klode pušies kelmu nerandama. Tik XVIII a. pabaigoje prasidėjo nauja pušies medyno fazė, trukusi iki durpyno eksploatacijos pradžios (Pikšrytė - Pukienė, 1996).

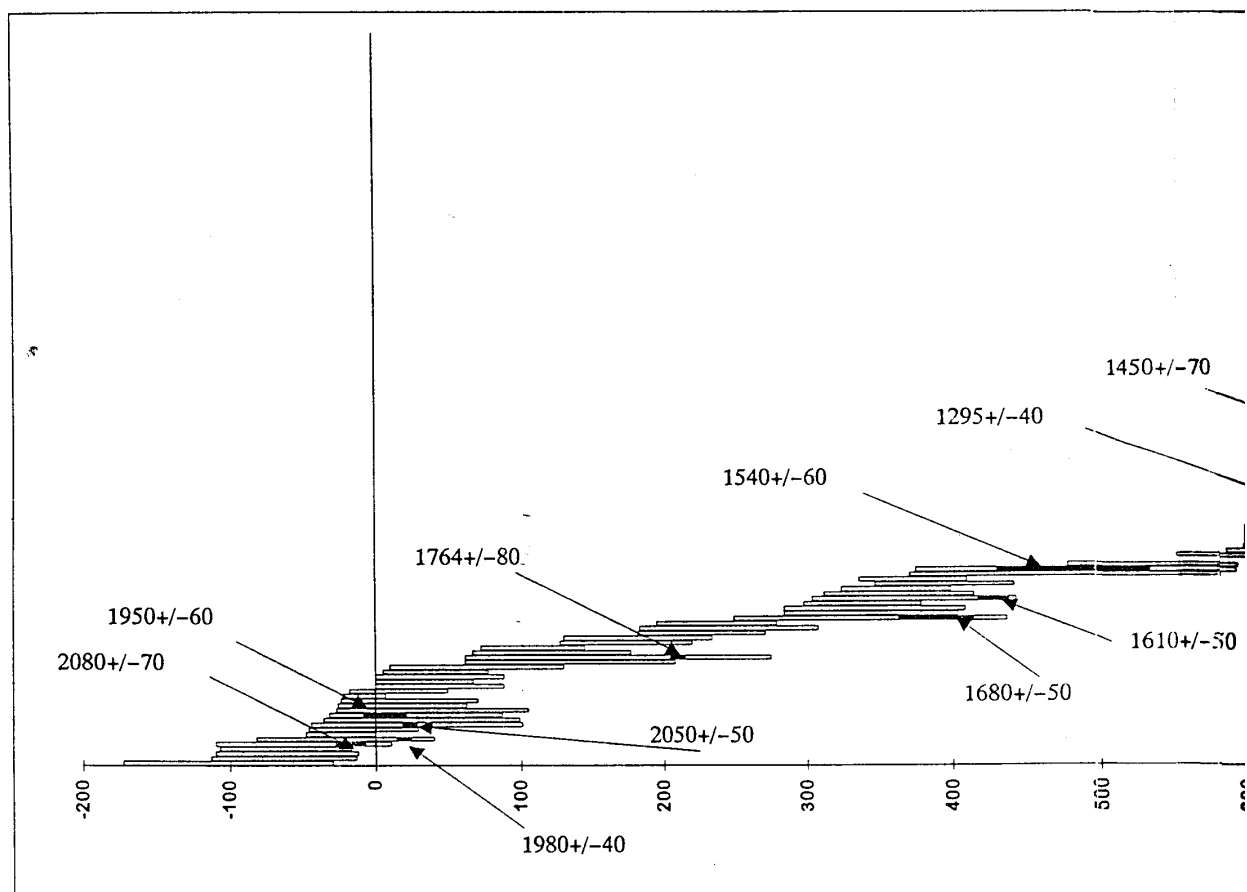
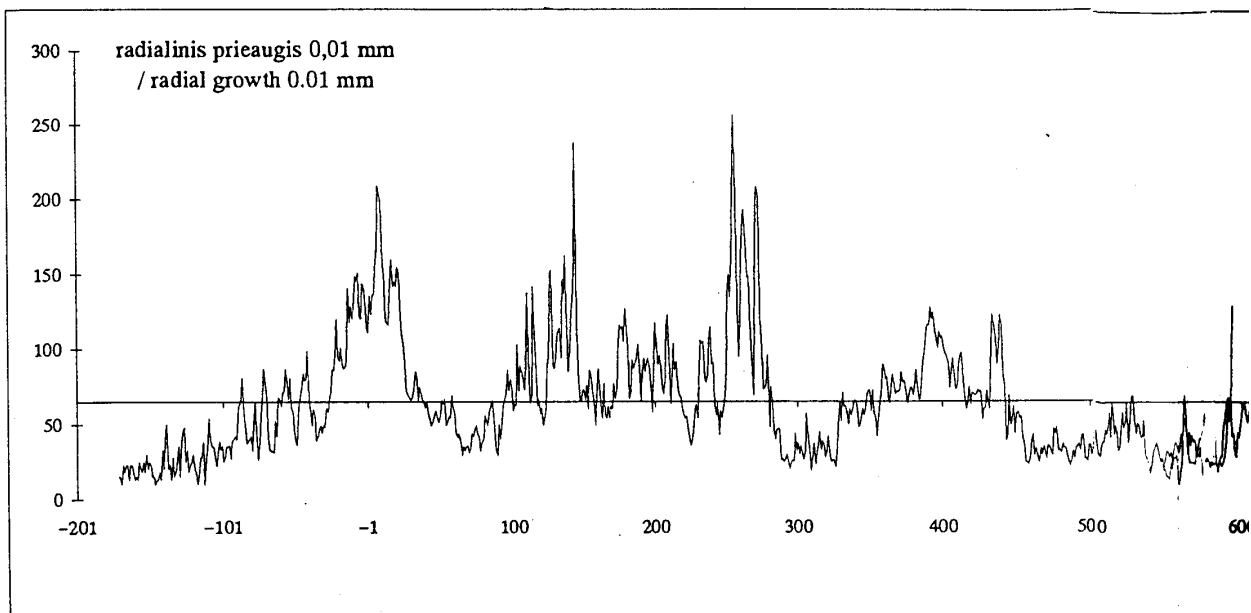
34 paveiksle pavaizduota rekonstruota *Pinus sylvestris* medžių augimo Užpelkio Tyrelio aukštapelkėje dinamika: B dalyje - datuotų medžių, reprezentuojančių pelkés raistines augalijos fazes, augimo laikotarpių išsidėstymas laiko skalėje; A dalyje - metinio radialinio priaugio, kaip biologinio produktyvumo rodiklio, fluktuacijos apie tūkstantmetį vidurkį atskirų pušyno fazų metu.

*Pinus sylvestris* metinio radialinio priaugio chronologijos, sudarytos pagal Užpelkių Tyrelio aukštapelkės durpių kloduose užsikonservavusios subfossilinės medienos metinio radialinio priaugio serijas, iš viso apima 1714 metų. Tai sudaro 80% viso 2145 metų ilgio laikotarpio.

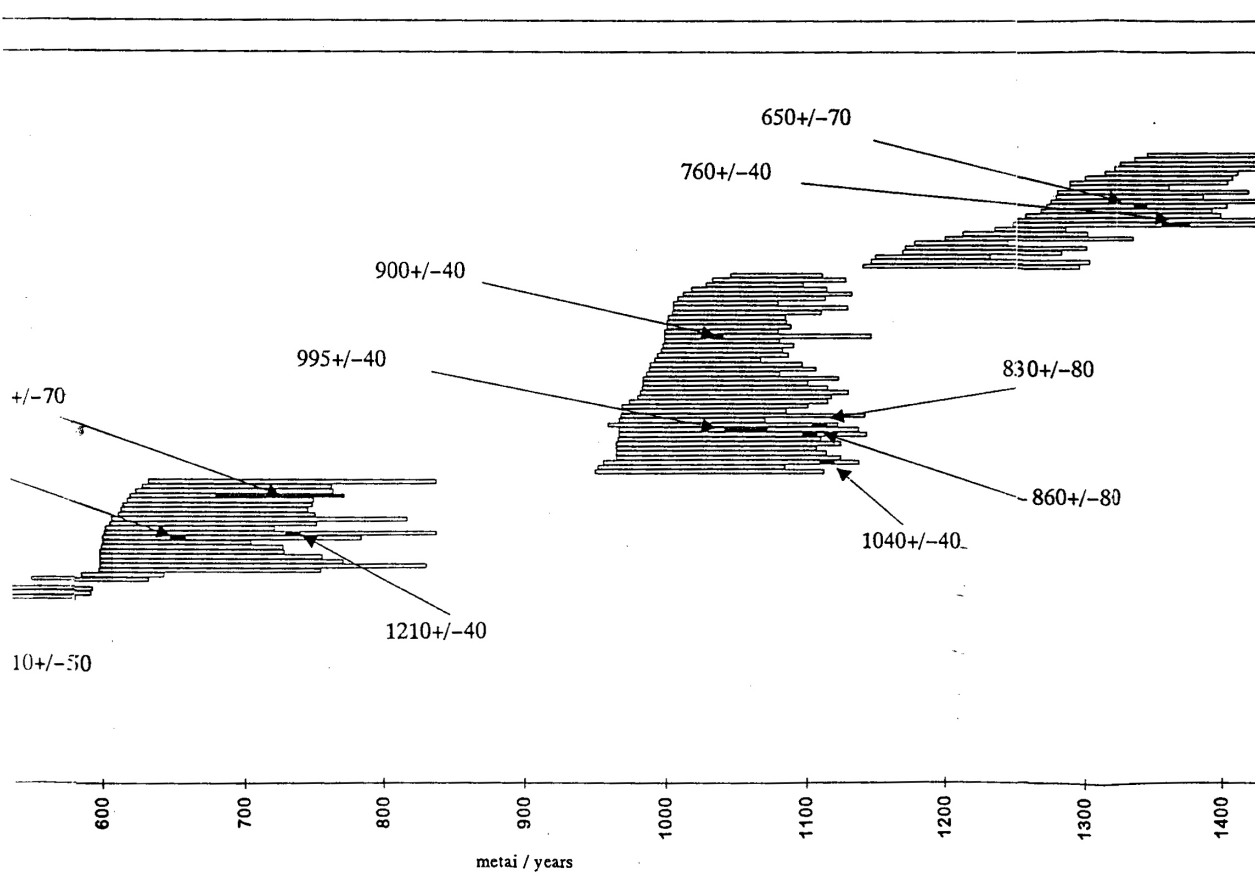
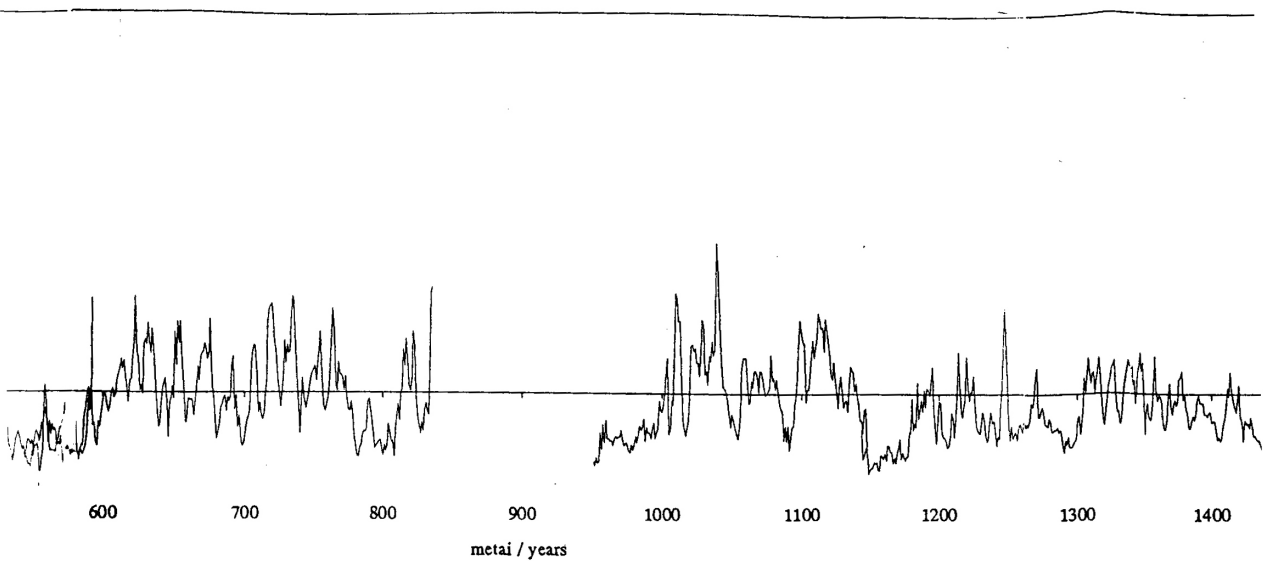
Susinchronizuotų medžių grupių metinio radialinio priaugio chronologijos pateiktos šio darbo II - VI prieduose.

Plačiau pušynų augimo dinamika aptarta septintame darbo skyriuje.

Kadangi radiokarboninis metodas nurodo tik statistiškai labiausiai patikimos datos intervalą, šiuo metodu paremtas absolutus pušyno fazų datavimo tikslumas nėra konkretūs kalendoriniai augimo metai. Tolimesni tyrimai jį gali koreguoti keliais dešimtmečiais. Tikslių medžių augimo kalendorinę datą vienerių metų tikslumu galima gauti tik dendrochronologiniu metodu. Norint sujungti atskirų pušyno fazų chronologijas ir dendrochronologiskai jas datuoti, reikalingi nauji dendrochronologiniai tyrimai panašių savybių objektuose - aukštapelkėse, užkonservavusiose savo durpių kloduose praeities pušynų liekanas, ir kuriose medžių priaugis koreliuotas su Užpelkių Tyrelio medžių priaugio svyravimais.

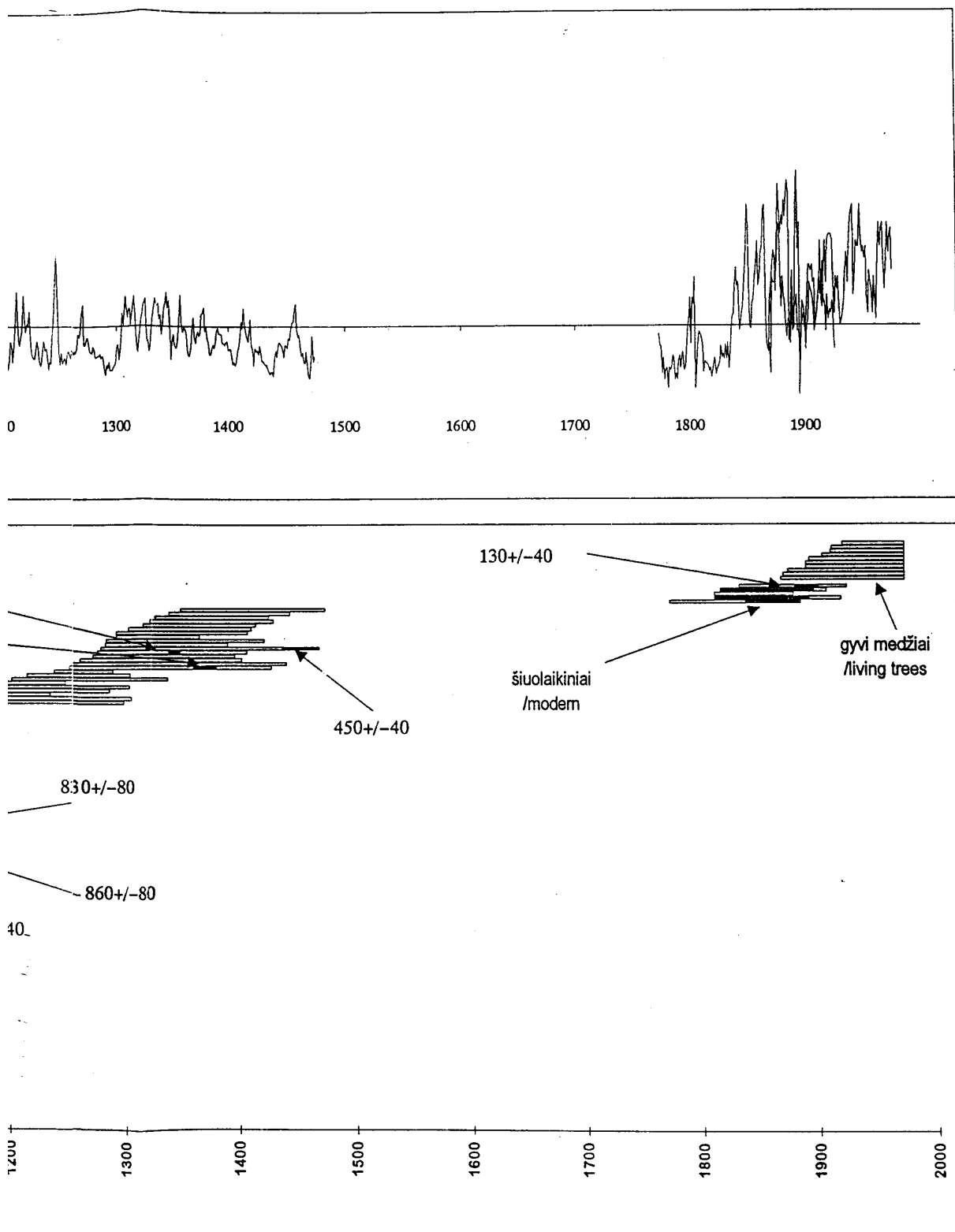


34 pav. Pušynų augimo dinamika Užpelkių Tyrelio aukštapelkėje per daugiau kaip du tū  
 A.-Vidutinės metinio radialinio prieaugio chronologijos: fluktuacijos apie vidurkį; B.-Pušyn  
 išsidėstymas laiko skalėje. Radioanglies metodu datuotos medžių rievės pažymėtos juodai, skaič



per du tūkstantmečius:

- Pušynų augimo istorija: medžių gyvenimo laikotarpių i., skaičiai rodo radioanglies datas metais nuo šių laikų.



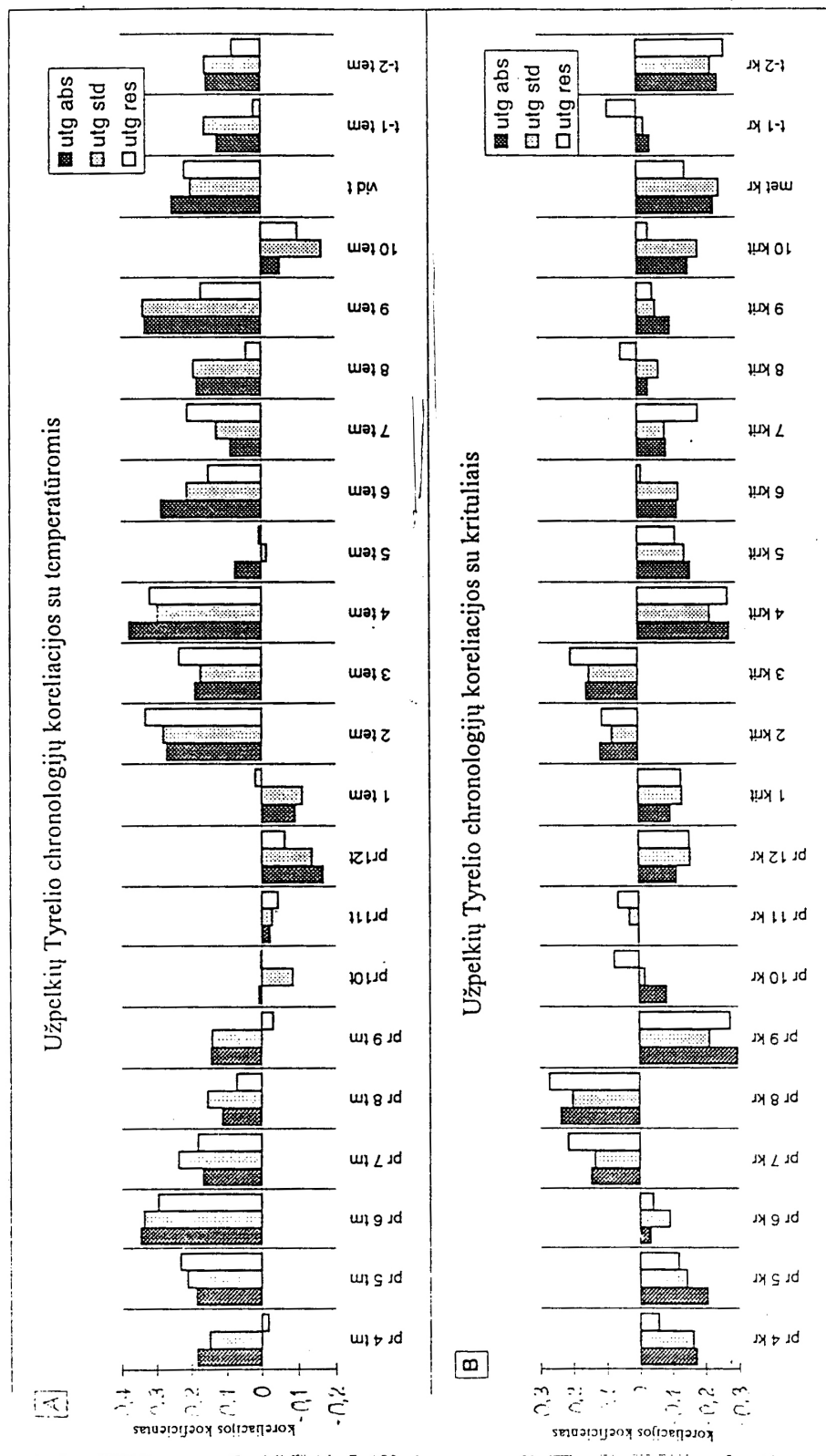
## 6. AUKŠTAPELKINIŲ AUGIMVIEČIŲ *PINUS SYLVESTRIS* RADIALINIO PRIEAUGIO PRIKLAUSOMYBĖS NUO KLIMATINIŲ VEIKSNIŲ ANALIZĖ

Vidutinio klimato sąlygomis paprastai sunku išskirti vieną stabilių laike medžių prieaugį limituojančią faktorių. Aukštapelkinės augimvietės pagal tinkamumą medžių augimui yra ekstremalios, t.y. yra prie ekologinės rūšies paplitimo ribos. Todėl šiose augimvietėse intensyvus limituojančių ekologinių faktorių veikimas. Tačiau, skirtingai negu geografinio arealo pakraščiuose (ties šiaurine, pietine ar aukštikalnių riba), medžių metinio prieaugio ir rūšies išplitimo ribos dinamika čia labiau priklauso ne nuo tiesioginio klimatinių faktorių veikimo, o nuo kitų, daugiausiai edafinių, faktorių, modifikuojančių klimatinių veiksnių poveikį (pavyzdžiui, nuo prieinamo deguonies, mineralinių medžiagų kieko, kas susiję su pelkės vandens lygio dinamika, tuo pačiu - su meteorologinėmis sąlygomis). Todėl, tiriant aukštapelkių medžių metinio prieaugio reakciją į atskirų mėnesių, sezono ar hidrologinių metų hidroterminges sąlygas, gaunami net labiau nei kitose augimvietėse nevienareikšmiški ryšiai. Pušies metinio radialinio prieaugio (viso tyrimų barelio vidurkis) ir atskirų klimatinių rodiklių koreliacijos koeficientai paprastai neviršija 0,25 (Карпавичюс, 1984 a, б), kartais reikšmingas koreliacijas rodo tik atskiri medžiai (Ляэнелайд, 1981).

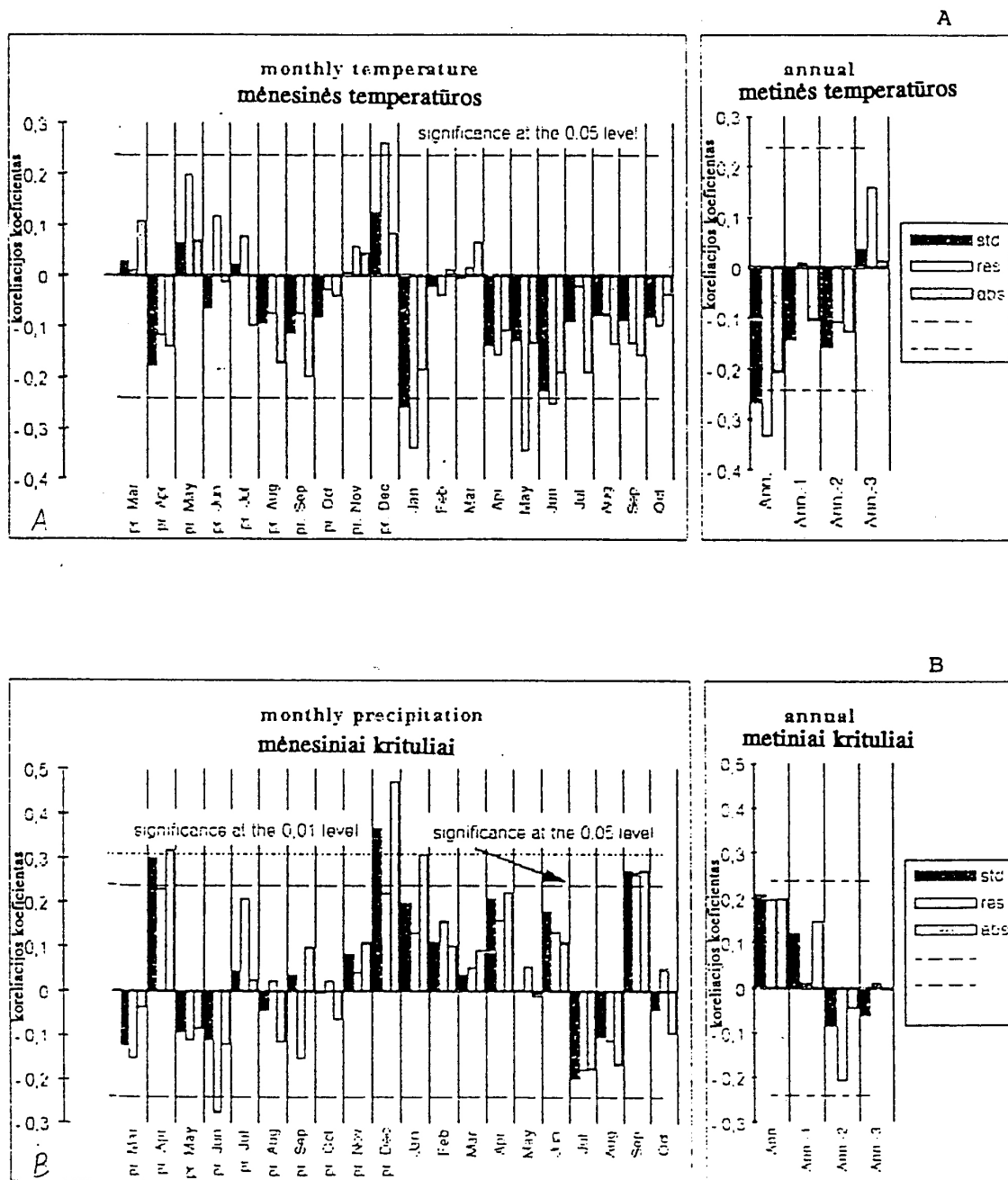
Siekiant interpretuoti praeities pušynų augimo dinamikos Užpelkių Tyrelės aukštapelkėje tyrimo rezultatus, buvo ištirta dabar augančių pušies medžių reakcija į besikeičiančias gamtines sąlygas. Tirti Užpelkių Tyrelė (Plungės raj.) ir Utenos rajono Daunorių girininkijos aukštapelkių augančių medžių metinio radialinio prieaugio dinamikos ryšys su klimatiniais parametrais. Naudotos medžių prieaugio vidutinės trijų tipų chronologijos: absoliučių dydžių (ABS), indeksuotos (standartizuotos) (STD) ir likutinės po autoregresijos pašalinimo (RES) (Pikšrytė, 1994a), taip pat medžių prieaugio variacijos pirminių komponentų (PC) amplitudžių chronologijos. Iš klimatinių rodiklių naudoti praėjusių ir einamujų (riebės susiformavimo) metų atskirų mėnesių vidutinė temperatūra ir kritulių suma, taip pat einamujų ir kelių praėjusiųjų metų metinė vidutinė temperatūra bei kritulių suma.

### 6.1. Medžių vidutinių radialinio prieaugio chronologijų koreliacija su klimatiniais rodikliais

Užpelkių Tyrelės ir Daunorių aukštapelkinių pušies tyrimo barelių vidutinės radialinio prieaugio chronologijos pateiktos VII ir VIII prieduose.



35 pav. Užpelkių Tyrelio aukštapelkės dabar augančių medžių tyrimų barelio vidutinių radialinio prieaugio chronologijų koreliacijos su mėnesių ir metinių klimatiniais rodikliais: A - vidutinėmis temperatūromis, B - kritulių sumai. utg abs - absolūtių dydžių, utg std - standartinė, utg res - likutinė chronologijos.



36 pav. Daunorių g-jos aukštapelkės barelio trijų tipų vidutinių radialinio prieaugio chronologijų koreliacijos su mėnesių bei metinėmis temperatūromis (A) ir krituliais (B). Punktyrinės linijos rodo koreliacijos koeficiente statistinį patikimumą. std - standartinė, res - likutinė, abs - absoliučią dydžių chronologijos.

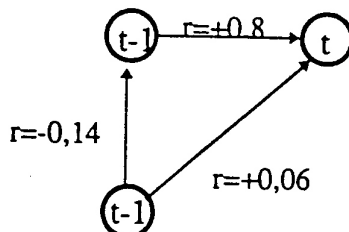
35A ir 35B paveiksluose parodytos koreliacijos, gautos tarp Užpelkių Tyrelio tyrimo barelio vidutinių chronologijų ir Telšių meteorologinių rodiklių: atskirų mėnesių vidutinės temperatūros ir kritulių sumos, pradedant praėjusių metų balandžio mėnesiu (pr 4 tem ir pr 4 kr atitinkamai), baigiant einamujų metų spaliu (10 tem ir 10 krit atitinkamai), taip pat einamujų ir praėjusių dvejų metų temperatūra bei krituliais (vid t, t-1 tem, t-2 tem ir met\_kr, t-1 kr, t-2 kr atitinkamai). Koreliacijos apskaičiuotos laikotarpiui nuo 1924 iki 1972 m., viso 49 metai. Statistiškai patikimą, esant patikimumo lygmeniui 0,1, ryšį rodo koreliacijos koeficientai, viršijantys  $|0,24|$ , esant patikimumo lygmeniui 0,05, - viršijantys  $|0,28|$  (ribinės t kriterijaus reikšmės iš Колемаев и др., 1991).

36A ir 36B paveiksluose parodytos koreliacijos, gautos tarp Daunorių tyrimo barelio vidutinių chronologijų ir Utenos meteorologinių rodiklių: atskirų mėnesių vidutinės temperatūros ir kritulių sumos, pradedant praėjusių metų kovo mėnesiu (prMar), baigiant einamujų metų spaliu (Oct), taip pat einamujų ir praėjusių trejų metų temperatūra bei krituliais (Ann, Ann-1, Ann-2, Ann-3). Koreliacijos apskaičiuotos laikotarpiui nuo 1925 iki 1991 m., viso 67 metai. Statistiškai patikimą ryšį, esant patikimumo lygmeniui 0,1, rodo koreliacijos koeficientai, viršijantys  $|0,20|$ , esant patikimumo lygmeniui 0,05, - viršijantys  $|0,24|$ , o su 0,01 patikimumo lygmeniu - viršijantys  $|0,31|$ .

Stipriausią koreliaciją Daunorių medžių prieaugis rodo su praėjusių metų gruodžio mėnesio (RES chronologijos  $r=+0,28$ ), einamujų metų sausio (RES  $r=-0,35$ ), gegužės (RES  $r=-0,36$ ) ir birželio (RES  $r=-0,24$ ) mėnesių temperatūromis bei praėjusių metų balandžio (ABS  $r=+0,32$ ), birželio (RES  $r=-0,29$ ), gruodžio (STD  $r=+0,37$ , ABS  $r=+0,48$ ), einamujų metų sausio (ABS  $r=+0,31$ ) ir rugsėjo (STD  $r=+0,28$ ) mėnesių krituliais. Indeksų (STD) chronologija kartais rodo truputį geresnius ryšius su klimatiniais rodikliais, negu absoliučių dydžių chronologija (pavyzdžiui su sausio mėnesio temperatūra, vidutine metine temperatūra), tačiau statistiškai patikimos, vienareikšmės prieaugio serijos indeksavimo įtakos koreliacinei analizei nenustatyta, kartais indeksavimas koreliacijos koeficientą sumažina (pvz. koreliacija su praėjusių metų gruodžio, einamų metų rugpjūčio krituliais). Indeksavimas neduoda reikšmingo poveikio, nes aukštapelkinių augimviečių pušies prieaugio serijų amžiaus kreivė néra išreikšta. Chronologija, kurioje pašalinta praėjusių metų prieaugio įtaka (eilutės autokoreliacija), paprastai rodo stipresnę koreliaciją su meteorologiniais rodikliais, ypač temperatūromis, negu standartinės (ABS ir STD) chronologijos.

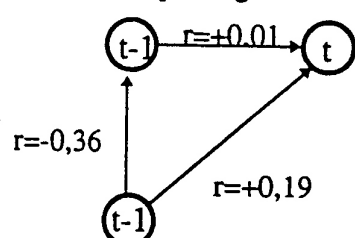
Matome, kad didelę įtaką šio barelio medžių radialinio prieaugio formavimuisi turi praėjusių metų gruodžio meteorologinės sąlygos: kuo aukštesnė temperatūra ir gausiau kritulių, tuo sekantių metų prieaugis

t-1 ir t metų radialinis medžio prieaugis:



t-1 metų gegužės temperatūra

t-1 ir t metų radialinis medžio prieaugis:

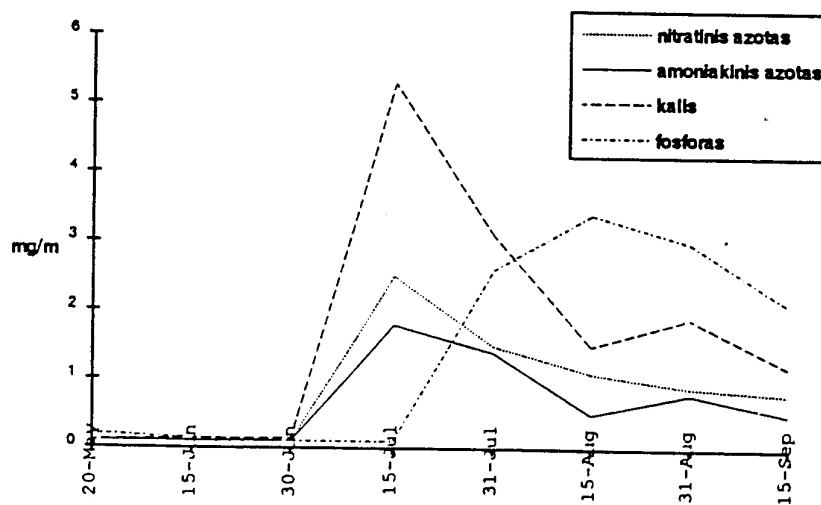


t-1 metų gegužės temperatūra

a) koreliacinių ryšių, esant stipriai prieaugio eilutės autokoreliacijai (STD indeksų chronologija)

b) koreliacinių ryšių, pašalinus prieaugio eilutės autokoreliaciją (RES likutinė chronologija)

37 pav. Gegužės mėnesio temperatūros poveikio gretimų metų prieaugui (Daunorių tyrimo barelis) schema.



38 pav. Makroelementų išisavinimo šaltų dirvožemiu pušies šaknyse sezoninė dinamika. (Iš Прокушкин, 1982)

didesnis. Iš to sektų išvada, kad šaltis ir nepakankama sniego danga neigiamai veikia medžius, tuo tarpu gausūs krituliai ir aukštos temperatūros gruodžio mėnesį palankiai veikia arba medžių žiemojimą, arba pelkinės augimvietės tinkamumą geresniams medžių augimui kitais metais (pavyzdžiui, sumažindami vandens rūgštingumą ar praturtindami deguonimi).

Sausio mėnuo taip pat reikšmingas. Temperatūros ryšys su priaugiu neigiamas. Krituliai, kaip ir gruodžių, palankiai veikia sekančio sezono priaugį.

Stiprus neigiamas ryšys nustatytas tarp metinio priaugio ir gegužės - birželio mėnesių temperatūros. Ši priklausomybė ypač išryškėja, atmetus praėjusių metų priaugio įtaką (RES chronologijoje). Be to RES chronologijoje išryškėja teigama praėjusių metų gegužės ir birželio mėnesių temperatūrų įtaka, ko nepastebime standartinėse chronologijose. Tai galima būtų paaiškinti tuo, kad standartinėje chronologijoje metinis priaugis stipriai priklausomas nuo praėjusiųjų metų priaugio (autokoreliacijos koeficientas +0,8). Ši autokoreliacinė priklausomybė užtušuoja teigiamą praėjusių metų gegužės temperatūros įtaką šių metų priaugui, nes praėjusių metų priaugui šios temperatūros įtaka yra neigiamą (žr. 37 pav. parodytą schemą). Standartinės chronologijos koreliacija su praėjusių metų gegužės temperatūra téra +0,06. Pašalinus praėjusių metų priaugio įtaką, teigiamas priaugio ryšys su praėjusių metų gegužės temperatūra išryškėja ( $r=+0,19$ ).

Dvejopą gegužės (kiek mažiau birželio) temperatūros įtaką priaugui (neigiamą einamujų, teigiamą sekančiujų metų) galima paaiškinti teigiamu šio laikotarpio temperatūrų poveikiu fiziologiniams procesams, turintiems tiesioginę įtaką kitų metų priaugui, ir neigiamu aukštos oro temperatūros augimo sezono pradžioje poveikiu to sezono brazdo dalijimosi procesams. Yra nustatyta, kad šaltuose pelkiniuose dirvožemiuose augimo sezono pradžioje pušys ilgai negali paimti joms reikalingų mineralinių medžiagų iš dirvos, (pvz. žr. 33 pav. parodytą mineralinių elementų iisisavinimo grafiką) (Прокушкин, 1982), o reikalingą azotą ima iš praėjusių metų spyglių ir kitų medžio audinių, todėl gegužės mėnesį tiek azoto, tiek kitų elementų kiekis praėjusiųjų metų spygliuose krenta (Лир и др., 1974). Be to, skleidžiantis spygliams, suintensyvėja augalo kvėpavimas (disimiliacijos procesai), ir senųjų spyglių fotosintezė nesugeba to kompensuoti, todėl naudojami kamieno medžiagų rezervai. Pavyzdžiui, Insbruko parke normali medžių netto fotosintezė atsistato birželio pirmoje pusėje, pilnai išsiskleidus naujiems spygliams (Лир и др., 1974). Aukštos gegužės - birželio temperatūros palankiai veikia naujų spyglių formavimąsi, nuo ko teigiamai priklauso sekančiujų metų priaugis, tačiau organinių azoto junginių rezervo

išnaudojimas ekstremaliomis ekologinėmis sąlygomis radialinį einamujų metų priaugį gali veikti neigiamai.

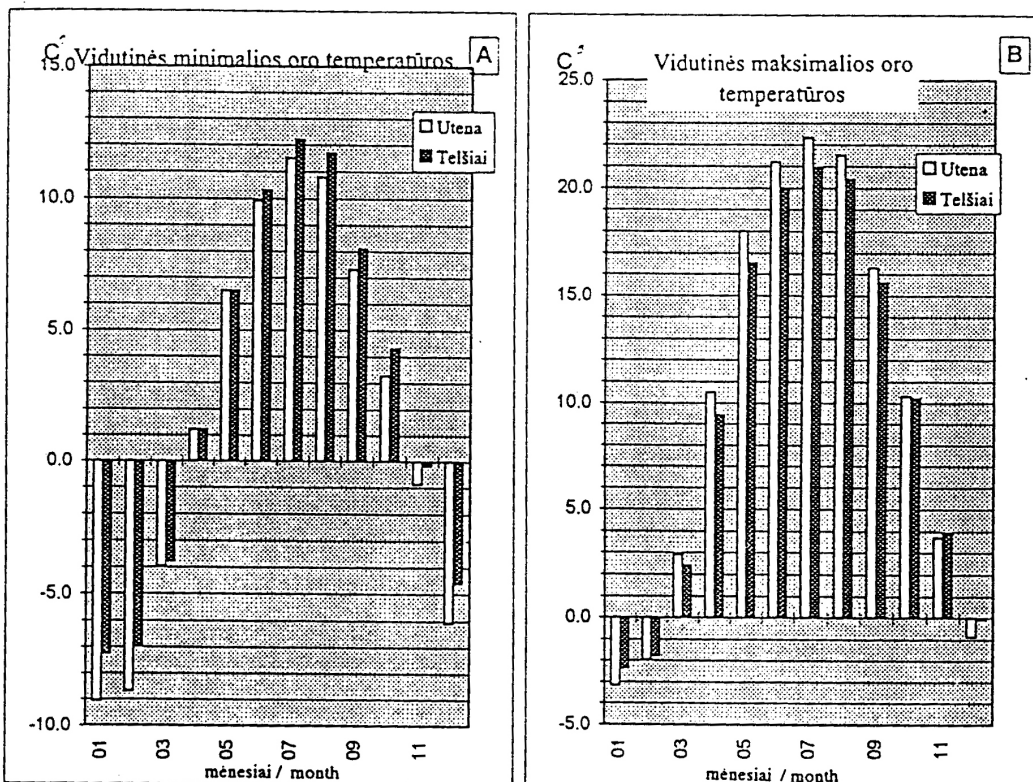
Užpelkių Tyrelio tyrimo barelyje, skirtingai nuo Daunorių barelio, vasaros mėnesių temperatūrų įtaka medžių priaugui yra teigama. Teigiamai veikia ir praėjusiųjų metų vegetacijos sezono temperatūros, ypač birželio mėnesio (absoliučių dydžių chronologijos  $r=+0,36$ ). Vyraujančios teigiamos koreliacijos su atskirų mėnesių temperatūromis nulemia ir teigiamą koreliaciją su visų metų vidutine temperatūra (ABS chronologijos  $r=+0,24$ ), tuo tarpu kai Daunorių barelio koreliacija su metine temperatūra neigiamai (RES chronologijos  $r=-0,33$ ). Užpelkio Tyrelio aukštapelkė yra apie 40 km nuo Baltijos jūros ir yra labiau jūrinio klimato įtakoje, tuo tarpu Daunorių barelis yra labiau kontinentinio klimato įtakos pietryčių Lietuvos zonoje, todėl esant karštesnėms ir sausesnėms vasaroms (žr. 39) Daunorių barelyje aukštos vasaros mėnesių temperatūros turi neigiamą poveikį.

Kaip ir Daunorių barelyje, Užpelkio Tyrelyje vasario - kovo temperatūros priaugį veikia teigiamai, o sausio - neigiamai (RES chronologijos  $r=+0,35$  (vasaris),  $r=+0,25$  (kovas), standartinės(STD) chronologijos  $r=-0,11$ (sausis)). Kaip ir Daunorių barelyje, išskirtinis pagal medžių priaugio reakciją yra gegužės mėnuo: praėjusiųjų metų gegužės temperatūros įtaka teigiamai (RES chronologijos  $r=+0,23$ ), tuo tarpu su einamujų metų gegužės temperatūra priaugio koreliacija artima nuliui.

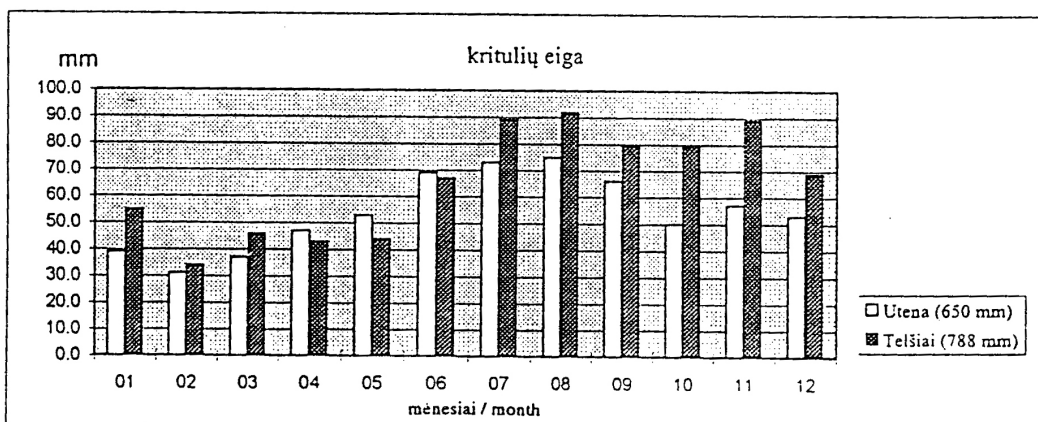
Vyraujanti kritulių įtaka Užpelkių Tyrelio medžių priaugui yra neigiamai, didžiausią neigiamą įtaką turi praėjusiųjų metų rugsėjo (ABS chronologijos  $r=-0,31$ ) ir einamujų metų balandžio (ABS chronologijos  $r=-0,29$ ) krituliai. Statistiskai patikimą teigiamą ryšį priaugis rodo tik su praėjusiųjų metų rugpjūčio (RES chronologijos  $r=+0,29$ ) ir kiek mažiau su praėjusiųjų metų liepos (RES chronologijos  $r=+0,23$ ) krituliais. Koreliacija su metine kritulių suma yra neigiamai (STD chronologijos  $r=-0,23$ ). Kaip ir Daunorių barelyje, neigiamai veikia ir ankstesnių metų krituliai (RES chronologijos koreliacija su prieš dvejus metus buvusiais krituliais  $r=-0,28$ ).

Kaip ir Daunorių barelyje, Užpelkių Tyrelio barelyje praėjusių metų priaugio įtakos pašalinimas (RES chronologija) nepašalina praėjusiųjų metų meteorologinių rodiklių įtakos, o kai kuriuos jų net išryškina (vasario - balandžio krituliai ir temperatūra, praėjusiųjų metų liepos - rugsėjo krituliai). Tai rodo, kad priaugio koreliaciją su šiais rodikliais iššaukia ne autokoreliaciniai priaugio eilutės ryšiai, bet praėjusiųjų metų sąlygos veikia kitus einamujų metų priaugio formavimąsi lemiančius procesus.

Visumoje galima pastebėti, kad aukštapelkinės pušies priaugio dinamikos ryšiai su klimatiniais rodikliais néra labai stiprūs, be to reakcija skirtinguose bareliuose daugiau mažiau skiriasi. Tai patvirtina ir kitų autorų tyrimo duomenys (Карпавичюс, 1984 a).



39. pav. Metinė vidutinių minimalių (A) ir maksimalių (B) oro temperatūrų eiga Uteneje ir Telšiuose.



40. pav. Vidutinė daugiametė kritulių eiga Utenos ir Telšių meteostotyse. Skliausteliuose - metinė kritulių suma.

Lyginant skirtingų barelių koreliacinių analizės rezultatus, pastebime, kad žiemos sezonui būdinga besikeičianti atskirais mėnesiais prieaugio reakcija į temperatūrą. Tam tikru laikotarpiu šis ryšys yra neigiamas (t.y. kuo žemesnė temperatūra, tuo geresnis ateinančio sezono prieaugis): Užpelkių Tyrelyje lapkričio - sausio mėnesiais, Daunorių barelyje - sausio mėnesį; J.Karpavičiaus Šakių rajone tirtuose aukštstapelkiniuose pušies bareliuose (Карпавичюс, 1984 a) neigama reakcija pasireiškia lapkričio mėnesį. Kitais mėnesiais prieaugis į temperatūrą reaguoja tiesiogiai: Užpelkių Tyrelyje - pradedant vasario mėnesiu, Daunorių barelyje - gruodžio mėnesį, Šakių rajone (Карпавичюс, 1984 a) - sausio mén. Neigiamą medžio reagavimą į temperatūrą gali išsauktis žiemojimo fiziologiniai procesai. Pirma, tam tikro masto šalčio poveikis būtinės ramybės būklės nutraukimui (jarovizacijai) ir geram augimui būsimo sezono metu. Bandymai rodo, kad pernešus paprastosios pušies sodinukus į šildomą šiltnamį anksčiau kaip vasario mėnesį, jų augimas smarkiai atsilik nuo egzempliorių, šaldytų iki vasario mėnesio (Лис и др., 1974). Antra, ilgesni atšilimų periodai baigiantis ramybės laikotarpiui susilpnina medžio užsigrūdinimą ir jis tampa jautrus sugrįžantiems šalčiams (Лис и др., 1974). Tiesioginė reakcija į temperatūrą susijusi su spartėjančiais asimiliacijos procesais kylant temperatūrai, ypač praėjus būtinajam ramybės laikotarpiui. Be to, ypatingai žemos temperatūros pavojingos augalamams.

Šių skirtingų fiziologinių procesų deriniai, priklausomai nuo skirtingų temperatūrinį režimų, ir sukelia kintančią medžių reakciją į temperatūrinį režimą. Pavyzdžiui, Utenos vidutinė daugiametė gruodžio temperatūra yra beveik 2 laipsniais žemesnė už Telšių (59 pav.), todėl Utenoje temperatūros svyravimai galbūt neišsaukia jarovizacijos proceso pertrūkių. Vidutiniškai žemesnių temperatūrų pakanka ir medžių užsigrūdinimui, net ir pakilus oro temperatūrai jie nepraranda atsparumo tolimesniems šalčiams. Todėl vyrauja stipri tiesioginė reakcija į temperatūrą (kuo šilčiau gruodži, tuo didesnis sekantį metų prieaugis). Tuo tarpu baigiantis fiziologinės ramybės laikotarpiui, sausio mėnesį, nusveria fiziologiniai procesai, lemiantys neigiamą būsimo prieaugio priklausomybę nuo temperatūros (galbūt mažėja atsparumas grįžantiems šalčiams). Vasario mėnesį, kylant temperatūroms, užsigrūdinimo pradimo pavojus mažėja, didėja spartėjančios asimiliacijos įtaka (prieaugio koreliacija su temperatūra artima nuliui). Užpelkių Tyrelio tyrimo barelyje, kur žiemos šiltesnės, šie procesai tolydesni: žiemos pradžioje reakciją į temperatūrą lemia fiziologiniai procesai, kuriems reikia žemų temperatūrų (jarovizacija, užsigrūdinimas), baigiantis fiziologinei ramybei nusveria teigiamai į temperatūrą reaguojantys procesai (asimiliacija), todėl priešinga prieaugio reakcija į temperatūrų svyravimą. žiemos pradžioje vasario mėnesį keičiasi į tiesioginę.

Vegetacijos sezono metu Užpelkių Tyrelio barelyje prieaugis teigiamai koreliuoja su temperatūra, teigama aukštapelkinės pušies priaugio reakcija į balandžio - rugpjūčio vidutinę temperatūrą nustatyta J.Karpavičiaus ir Šakių rajone (Карпавичюс, 1984 a). Daunorių barelyje, kaip minėta, šis ryšys neigiamas.

Kritulių įtaka metiniams priaugui paprastai teigama pavasarį (Užpelkių Tyrelyje - vasarų-kovą) ir žiemą (Daunorių barelyje ir Šakių rajono (Карпавичюс, 1984 a) skirtinguose bareliuose - lapkričio- balandžio mėnesiais). Vasaromis dažnesnis neigiamas poveikis: Užpelkių Tyrelyje pradedant balandžiu, Daunoriuose - liepą, rugpjūtį, Šakių raj. (Карпавичюс, 1984 a) priaugis neigiamai koreliuoja su balandžio - rugpjūčio mėnesių kritulių suma. Reikšmingi priaugui ir praėjusio sezono krituliai: abiejuose bareliuose neigiamai veikia gegužės - birželio, teigiamai liepos, neigiamai - rugsėjo (Daunorių barelyje tai išryškėja tik pašalinus pirmos eilės autokoreliaciją) mėnesių krituliai. Daunorių barelyje nusveria teigama metinės kritulių sumos įtaka, Užpelkių Tyrelio barelyje priaugio koreliacija su metiniais krituliais neigiamas. Tačiau ilgalaikių tendencijų tyrimai patvirtina J.Karpavičiaus (Карпавичюс, 1984 a) išvadas, kad daugiaumečiai krituliai neigiamai veikia pelkinės pušies priaugį - abiejuose bareliuose prieš dvejus metus buvę krituliai koreliuoja su priaugiu neigiamai.

Dėl neišreikštos amžiaus kreivės aukštapelkinių augimviečių pušies chronologijų indeksavimas vienareikšmiško rezultato koreliacinei analizei neduoda - kartais geresnę koreliaciją rodo absolucių dydžių, kartais - indeksuota chronologija. Pašalinus metinio radialinio priaugio serijos pirmos eilės autokoreliaciją, išlieka priaugio ryšys su praėjusių metų meteorologinėmis sąlygomis. Autokoreliacijos pašalinimas išryškina koreliaciją su tais meteorologiniais rodikliais, kurių poveikis einamujų ir sekancių metų priaugui yra priešingas (pvz. gegužės temperatūra Daunorių tyrimo barelyje).

Kadangi Užpelkių Tyrelio barelyje temperatūra priaugij beveik ištisai veikia teigiamai pradedant vasario, baigiant rugsėjo mėnesiu, buvo paskaičiuota metinio radialinio priaugio koreliacija su šių mėnesių temperatūrų vidurkiu. Standartinės chronologijos koreliacijos su šių mėnesių grupe koeficientas lygus +0,40. Regresinės analizės būdu sudaryta vasario - rugsėjo mėnesių vidutinės temperatūros ryšio su Užpelkių Tyrelio medžių metiniu radialiniu priaugiu (STD chronologija) tiesinės regresijos lygtis:

$$\hat{Y}_i = 6,25 + 2,08x_i$$

kur  $\hat{Y}_i$  - įvertinta vidutinė vasario - rugsėjo mėnesių temperatūra i metais,

$x_i$  - standartinės chronologijos reikšmė i-taisiais metais

Pagal šią regresijos lygtį iš medžių standartinės (indeksų) chronologijos apskaičiuoti įvertintieji temperatūros dydžiai, kurių palyginimas su tikraisiais parodytas 4 paveiksle

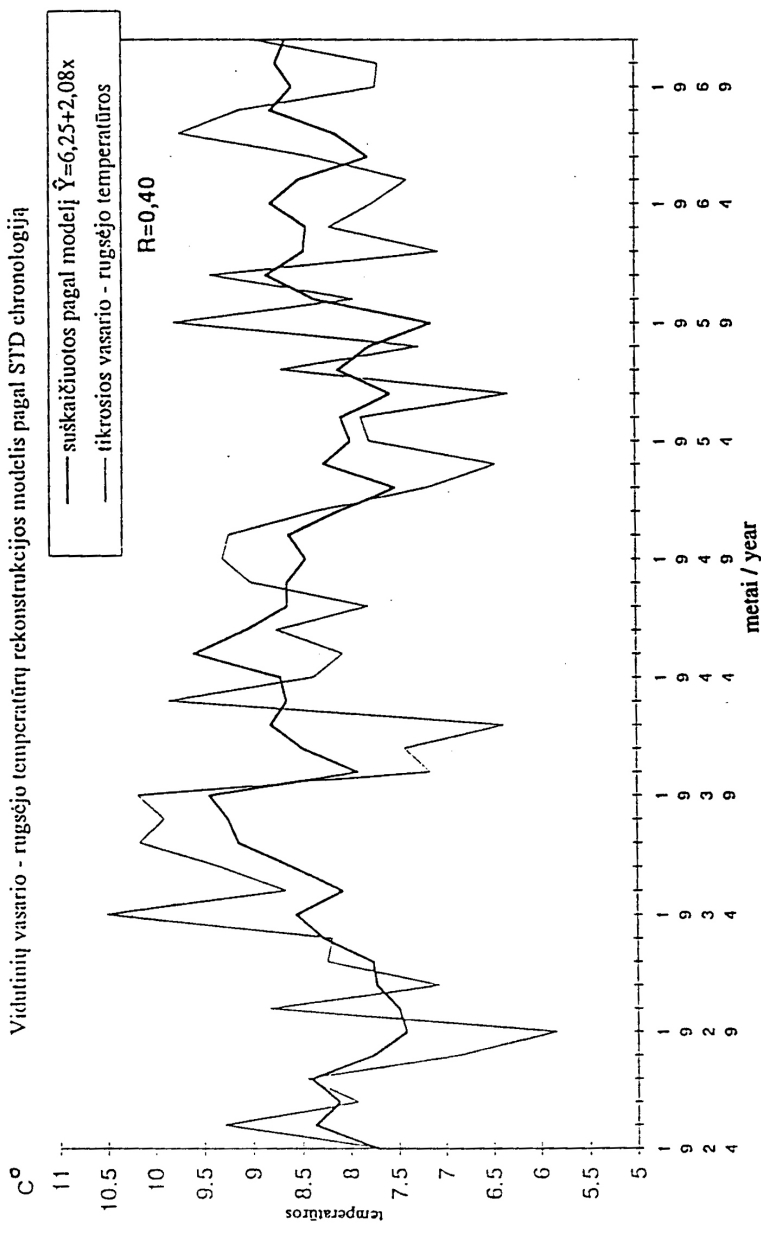
Regresijos parametrai pateikti 7 lentelėje.

7 lentelė. Regresijos tarp vasario - rugsėjo mėnesių vidutinės temperatūros ir Užpelkių Tyrelio medžių standartines chronologijos parametrai

Koreliacijos koeficientas R	0,4044	
Determinacijos koeficientas R <sup>2</sup>	0,1636	
Patikslintas pagal laisvės laipsnių pradimą R <sup>2</sup>	0,1454	
Stebėjimų skaičius	49	
	statistikos	reikšmingumas
Regresijos F statistika	8,9956	0,00436
Laisvojo nario t statistika	8,9165	p vertė 1,13E-11
Regresoriaus t statistika	2,9993	p vertė 0,00432

Remiantis Užpelkių Tyrelio medžių standartine (indeksų) chronologija galima rekonstruoti 16 mėnesių vidutinės temperatūros - rugsėjo mėnesių periodo temperatūros variacijos.

TLSKORG GR Chart 7



41. pav. Tikrosios ir rekonstruotos pagal Užpelkių Tyrelio pušų prieaugio standartinę chronologiją vidutinės vasario - rugšėjo periodo temperatūros.

## 6.2. Informacija iš medžių priaugio variacijos pirminių komponentų amplitudžių chronologijų

Išanalizavus aukštapelkinių tyrimo barelių pušų metinio radialinio priaugio individualią dinamiką pirminių komponentų (PK) metodu, paaiškėjo, kad pirmasis, bendrasis visų medžių dinamikai, variacijos PK aprašo apie 40% metinio radialinio priaugio variacijos: Daunorių barelio medžių grupėje - 38,5%, Užpelkių Tyrelio barelio medžių grupėje - 40,9% variacijos (žr. 8 ir 9 lenteles). Daunorių barelyje reikšmingi (kurių vertė viršija vienetą) yra keturi komponentai: antrasis aprašo 17,0%, trečiasis 11,0%, ketvirtasis 9,9% priaugio variacijos. Viso šie keturi reikšmingi komponentai paaiškina 76,4% variacijos. Užpelkių Tyrelio barelio medžių grupėje reikšmingi yra 3 pirminiai komponentai. Antrasis paaiškina 18,4%, trečiasis - 12,1%, visi trys - 71,7% priaugio variacijos.

Abiejose bareliuose pirmojo komponento, paaiškinančio didžiausią dalį priaugio variacijos, svoris beveik vienodas visų medžių priaugio dinamikoje (žr. 42 ir 43 paveikslus). Žemesniųjų PK svoriai kai kurių medžių priaugio variaciijoje gali būti didesni už pirmojo (pvz. trečiasis PK Užpelkių Tyrelio barelio penkto medžio dinamikoje, antrasis PK Daunorių barelio pirmo, ketvirtuoju, penkto medžio dinamikoje ir t.t. 42 ir 43 pav.)). Bet šių komponentų svoriai atskirų medžių priaugio dinamikoje įvairuoja, medžiai pagal PK pasireiškimą grupuoja į grupes. Komponentų pasireiškimas grupės medžių priaugio dinamikoje rodo, kad tai néra atsitiktinis medžių priaugio dinamikos individualumas, bet grupės medžių reakcijos į aplinkos sąlygas savitumas. PK svorių pasiskirstymo medžių grupėse kriterijus néra aiškus, tačiau, pavyzdžiui, Daunorių barelio medžių priaugio variacijos IV PK pasiskirstyme pastebima tendencija, kad jo svoris virsta neigiamu, artėjant medžio augimo vietai prie pelkės pakraščio (teigiamas svoris antro, šešto, septinto medžio priaugio variaciijoje, neigiamas - aštunto, devinto, dešimto, vienuolikto medžio variaciijoje; medžių išsidėstymo pelkės profilyje schemą žr. 10 pav.)<sup>44</sup> ir <sup>45</sup>paveiksluose parodytos Užpelkių Tyrelio augančių medžių barelio ir Daunorių barelio medžių priaugio variacijos reikšmingųjų PK amplitudžių chronologijos.

Siekiant išaiškinti galimą pirminių priaugio dinamikos komponentų kilmę, paskaičiuotos koreliacijos tarp šių komponentų amplitudžių chronologijų ir meteorologinių rodiklių. Rezultatai pateikti 47 (Daunorių gjos barelio) ir 46 (Užpelkių Tyrelio barelio) paveiksluose.

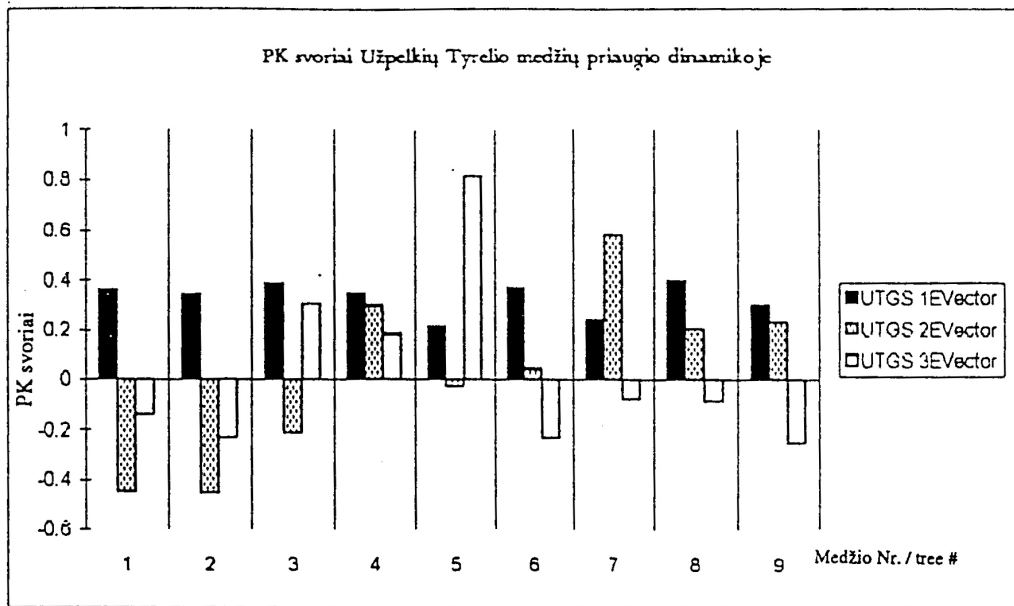
Kadangi pirmasis komponentas turi beveik vienodą svorį visų medžių priaugio dinamikoje, jo amplitudžių chronologijos rodo geriausią koreliaciją su tais pačiais klimatiniais rodikliais kaip ir barelio vidutinės chronologijos. Pavyzdžiui Daunorių tyrimo barelyje tai praėjusių metų gruodžio meteorologiniai rodikliai ( $r=+0,19$  - su temperatūra ir  $r=+0,35$  su

8 lentelė. Užpelkių Tyrelio tyrimų barelio dabar augančių medžių radialinio priaugio variacijos pirminių komponentų analizė.

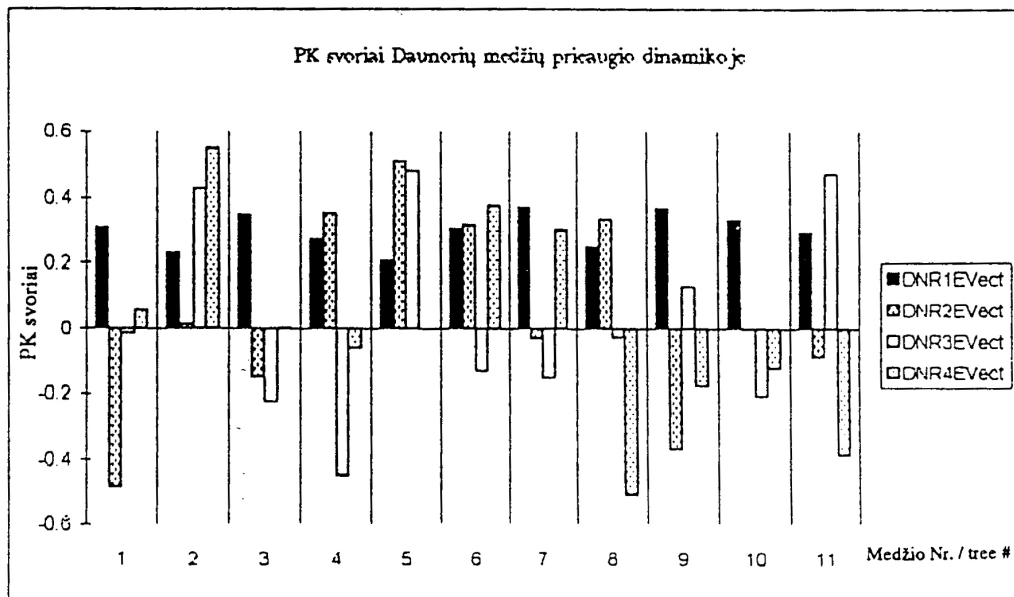
PRINCIPAL COMPONENTS ANALYSIS						
Dabartinių medžių - Užpelkių		Tyrelio aukštaapelkės barelis				
PK	Kumulatyvinis svoris	Variacijos %	Kumulatyvinė variacija %	Grafikas		
P C	Eigenvalue	Variance %	Cumulative %	Score plot		
1	3.6351	40.946	40.946			
2	3.6323	38.959	59.905			
3	1.1153	12.392	71.397			
4	7.2448	8.250	79.917			
5	5.349	7.109	87.026			
6	2.8314	4.227	91.258			
7	2.4779	3.954	95.157			
8	2.5515	3.183	98.311			
9	1.520	1.089	100.000			

9 lentelė. Daunorių tyrimo barelio medžių radialinio priaugio variacijos pirminių komponentų analizė.

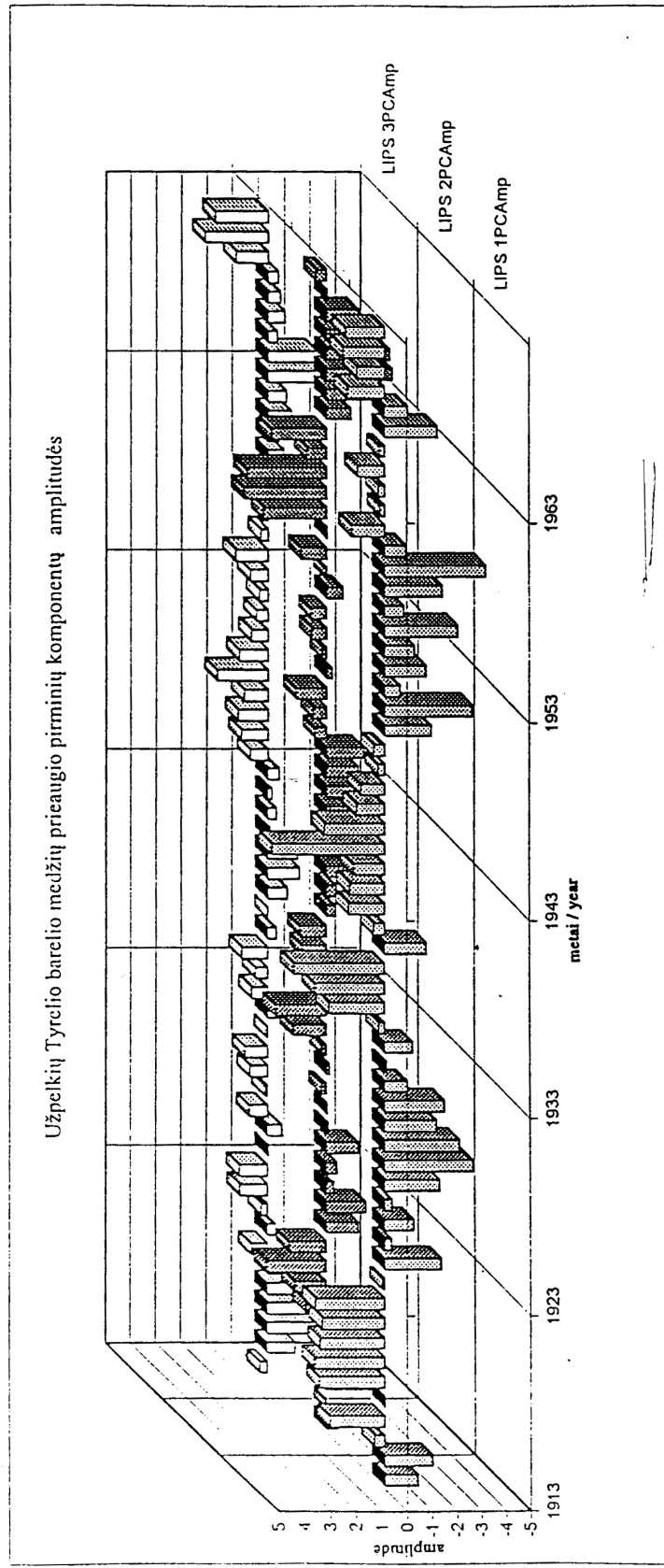
PRINCIPAL COMPONENTS ANALYSIS						
Dabartinių medžių - Utenos raj.		Daunorių g-jos peltines pusies barelis				
PK	Kumulatyvinis svoris	Variacijos %	Kumulatyvinė variacija %	Grafikas		
P C	Eigenvalue	Variance %	Cumulative %	Score plot		
1	4.2976	38.557	38.557			
2	18.665	16.964	55.492			
3	15128	11.676	66.256			
4	11.652	9.874	76.387			
5	7.552	6.592	82.982			
6	5.922	4.905	87.887			
7	4.727	4.293	92.175			
8	2.535	3.218	95.395			
9	2.011	2.010	97.483			
10	1.829	1.657	98.142			
11	1.645	8588	100.000			



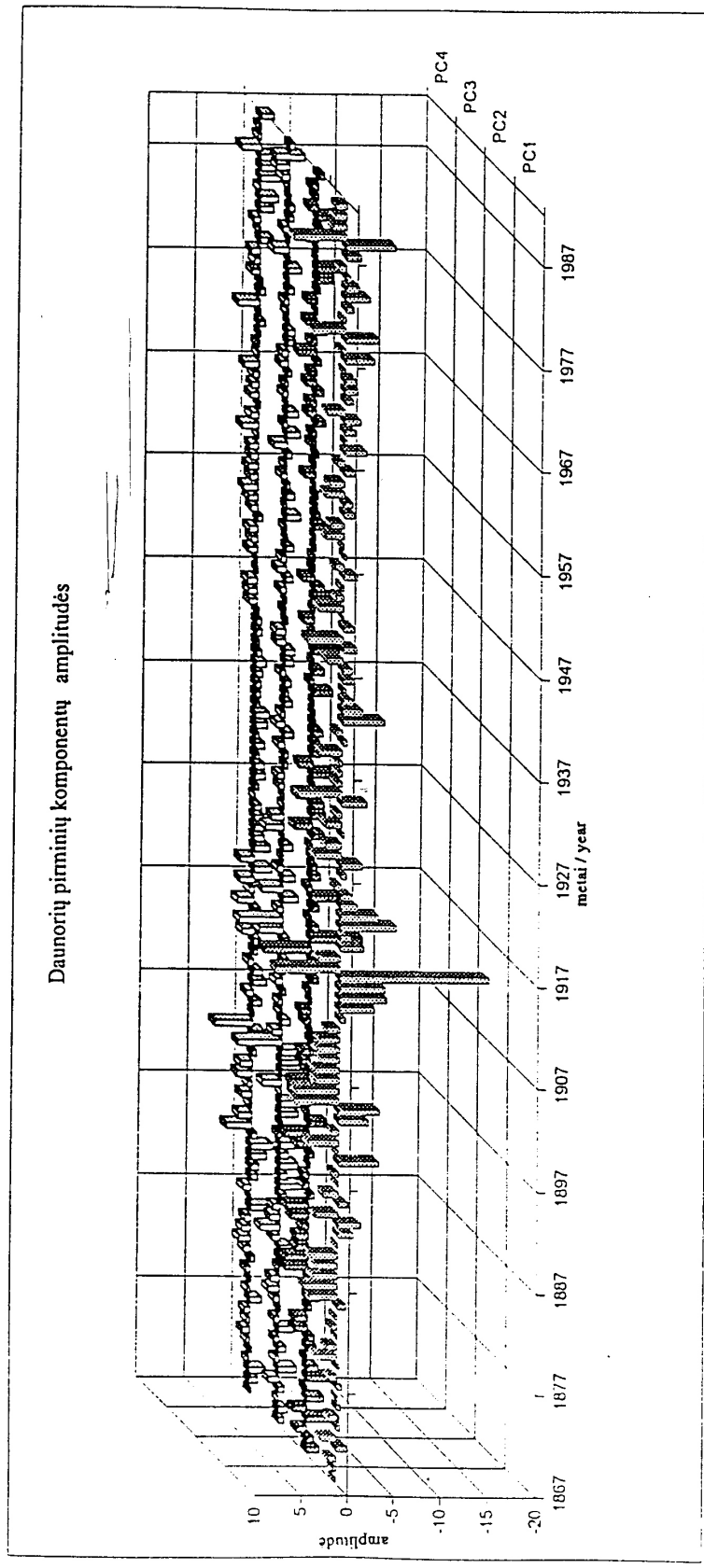
42 pav. Trijų reikšmingų variacijos pirminių komponentų (PK) svoriai Užpelkių Tyrelio dabar augančių medžių tyrimų barelio atskirų medžių priaugio dinamikoje. UTGS1EVector - pirmasis PK; UTGS 2EVector - antrasis PK; UTGS 3EVector - trečiasis PK.



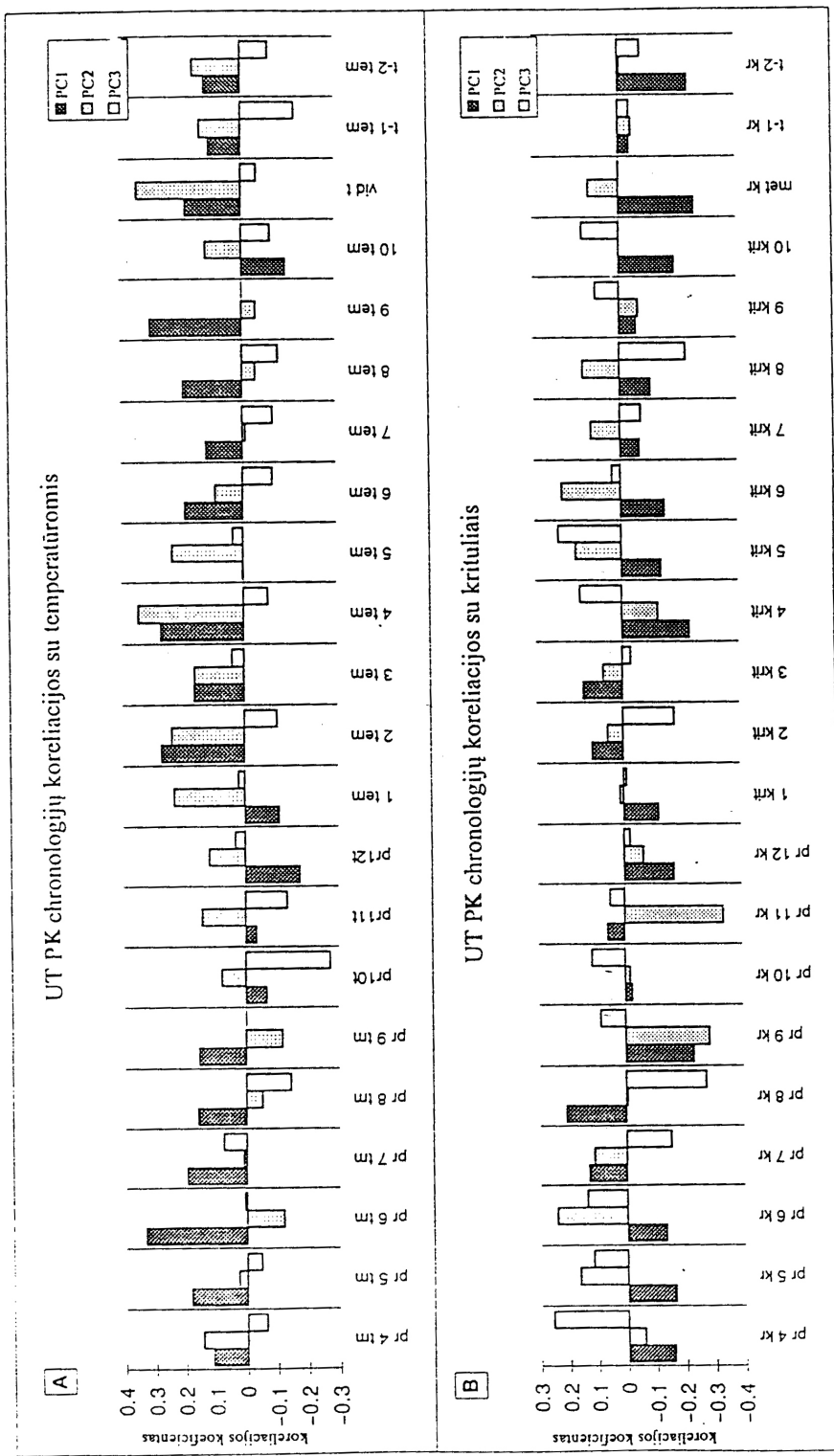
43 pav. Keturių reikšmingų variacijos pirminių komponentų (PK) svoriai Daunorių tyrimų barelio atskirų medžių priaugio dinamikoje. DNR 1EVector - pirmasis PK; DNR 2EVector - antrasis PK; DNR 3EVector - trečiasis PK; DNR 4EVector - ketvirtasis PK.



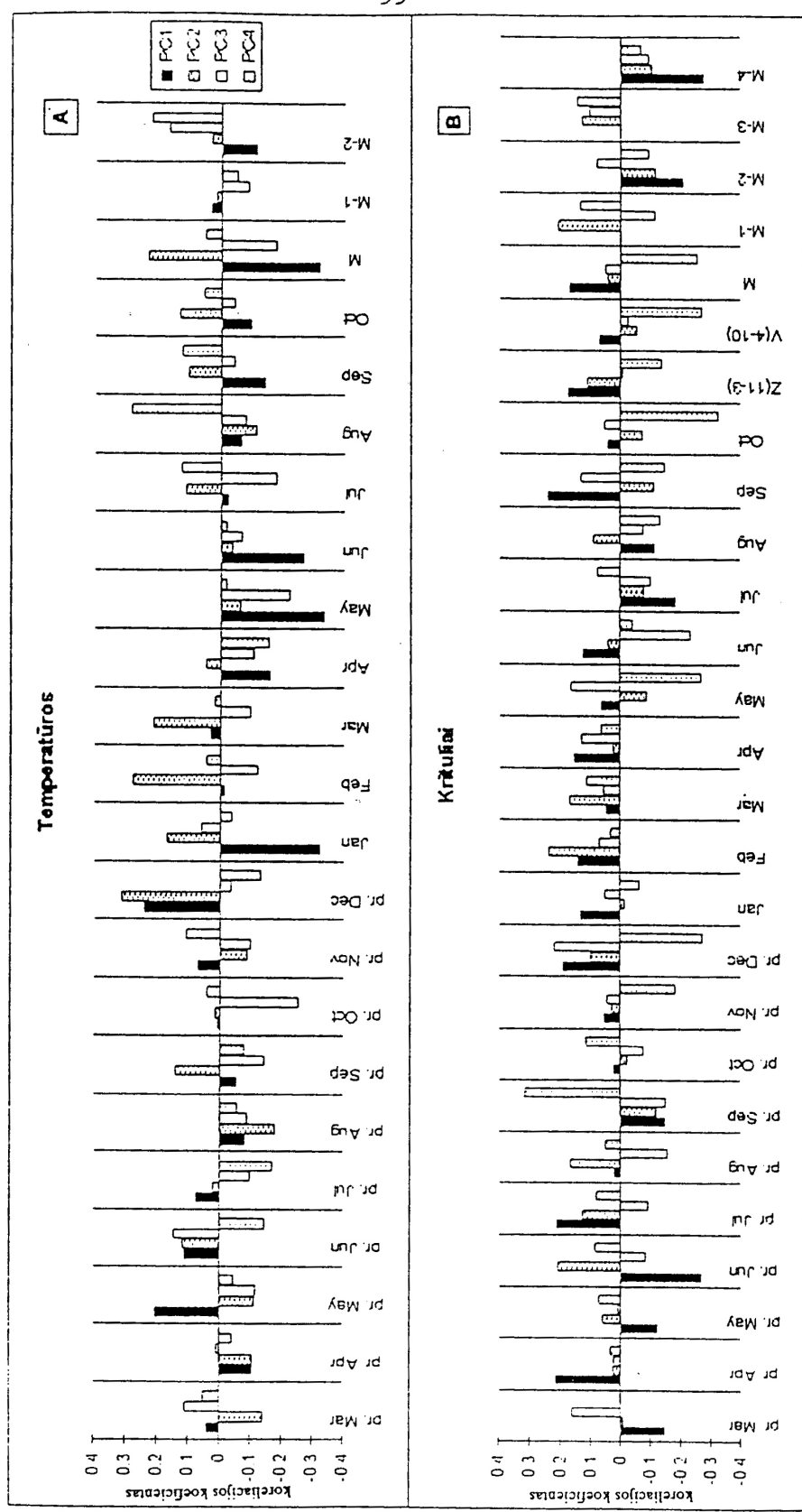
44 pav. Užpelkių Tyrelio dabar augančių medžių barelio medžių prieaugio variacijos pirminių komponentų amplitudžių chronologijos: LIPS 1PC Amp - pirmojo komponento, LIPS 2PC Amp - antrojo komponento, LIPS 3PC Amp - trečiojo komponento amplitudės.



45 pav. Daunorių barelio medžių prieaugio variacijos pirminių komponentų amplitudžių chronologijos: PC1 pirmojo komponento, PC2 - antrijo, PC3 - trečijo, PC4 - ketvirtijo komponento amplitudės.



46 pav. Užpelkių Tyrelio barelio medžių prieaugio variacijos pirminių komponentų amplitudžių koreliacijos su mėnesių bei metiniai klimatiniai rodikliai: A - vidutinėmis temperatūromis, B - kritulių suma. PC 1 - pirmasis; PC 2 - antrasis, PC 3 - trečiasis komponentai.



47 pav. Daunorių barelio medžių prieaugio variacijos pirminių komponentų amplitudžių koreliacijos su mėnesių bei metinių klimatiniais rodikliais: A - vidutinėmis temperatūromis, B - kritulių suma. PC 1 - pirmasis; PC 2 - antrasis, PC 3 - trečasis, PC 4 - ketvirtasis komponentai.

krituliais), praėjusių metų gegužės krituliai ( $r=-0,29$ ), einamujų metų gegužės - birželio temperatūra ( $r=-0,11$  ir  $r=-0,24$  atitinkamai). Kiek ryškesnė šioje komponentėje praėjusių ir einamujų metų liepos kritulių įtaka ( $r=+0,28$  ir  $r=+0,20$  atitinkamai). Užpelkių Tyrelio barelyje pirmojo komponento amplitudės turi tuos pačius ryšius, kaip ir vidutinė chronologija.

Kitų komponentų amplitudžių koreliacinė analizė atskleidžia tuos priaugio - klimato ryšius, kuriuos suniveluoja priaugio duomenų vidurkinimas. Komponenčių išskyrimas parodo, kad tam tikrų klimatinių rodiklių įtaka yra nevienoda skirtingų medžių grupių priaugio dinamikai (gali buti priešinga atskiriems komponentams), todėl bendrosios priaugio dinamikos (vidutinės chronologijos) koreliacinė analizė tų ryšių neparodo. Daunorių barelyje ypač tai būdinga vasaros mėnesiams. Praėjusių metų ir einamų metų liepos krituliai neigiamai koreliuoja su II komponento amplitudėmis (koreliacija su praėjusių metų liepos krituliais  $r=-0,43$ , koreliacija su einamų metų liepos krituliais  $r=-0,37$ ), bet teigiamai su I, III ir IV komponentų amplitudėmis (III komponento koreliacija su praėjusių metų liepos krituliais  $r=+0,24$ , su einamų metų  $r=+0,37$ ). Praėjusių ir einamujų metų rugpjūčio temperatūra neigiamai koreliuoja su II ( $r=-0,27$  ir  $r=-0,34$  atitinkamai), bet teigiamai su III ir IV komponentais (koreliacija tarp praėjusių metų rugpjūčio temperatūros ir III bei IV komponentų amplitudžių yra  $r=0,21$  ir  $r=0,12$  atitinkamai, tarp einamujų metų rugpjūčio temperatūros ir III bei IV komponentų -  $r=0,21$  ir  $r=0,26$  atitinkamai). Vidurkių chronologijos šių ryšių nerodo.

Daunorių barelio antrasis komponentas rodo geras koreliacijas su vegetacijos sezono pabaigos (liepos, rugpjūčio, rugsėjo mėnesių) temperatūromis bei praėjusių 4 metų krituliais. Apjungus šiuos periodus, koreliacija su vidutine liepos - rugsėjo mėnesių temperatūra gauta  $r=-0,39$ , koreliacija su praėjusių 4 metų kritulių suma  $r=-0,58$ .

Trečiasis komponentas geriausius ryšius rodo su liepos mėnesio krituliais ir rugpjūčio temperatūromis. Ketvirtojo komponento amplitudės neigiamai koreliuoja su sausio temperatūra ( $r=-0,31$ ) ir praėjusių metų krituliais ( $r=-0,39$ ). Šio komponento svoris medžių priaugyje turi tendenciją virsti neigiamu arčiau pelkés pakraščio augančiuose medžiuose (Nr. 8,9,10,11), praktiskai tai reikštų, jog medžiai, turintys teigiamą šio komponento svorį (Nr. 2, 6, 7), labiau neigiamai reaguoja į gausius praėjusių metų kritulius, tuo tarpu medžius, augančius arčiau pelkés pakraščio ir turinčius neigiamą šio komponento svorį, praėjusių metų krituliai veikia teigiamai.

Užpelkių Tyrelio barelyje antrojo priaugio komponento amplitudės rodo teigiamą ryšį su vidutinėmis mėnesių, pradedant praėjusių metų spaliu, baigiant einamujų metų birželiu, temperatūromis, vidutine metine

temperatūra, statistiškai patikima neigama koreliacija su praėjusiųjų metų rugsėjo ir lapkričio krituliais, vyraujančios teigiamos koreliacijos - su praėjusių ir einamujų metų augimo sezono mėnesių krituliais. Trečiasis komponentas, didžiausią svorį turintis 5 medžio prieaugio variacijoje, rodo statistiškai patikimą neigamus ryšius su praėjusių metų spalio temperatūra, praėjusių ir einamujų metų rugpjūčio krituliais, vyrauja teigiamą koreliaciją su praėjusių ir einamujų metų pavasario krituliais.

Analizuojant prieaugio - klimato ryšius vidutinio klimato sąlygomis, kur prieaugi lemia keletas aplinkos veiksniių, ir medžių reakcija į šiu veiksniių kaitą nevienareikšmę, atskirų prieaugio variacijos pirminių komponentų išskyrimas ir jų analizė greta barelio vidutinių chronologijų duoda papildomos informacijos apie medžių prieaugio dinamiką formuojančius veiksnius. Kadangi atskirų komponentų amplitudės turi skirtingą ryšį su klimatiniais veiksniais, jų visuminei reakcijai įvertinti buvo apskaičiuota daugiamatė koreliacija tarp klimatinių rodiklių ir reikšmingųjų pirminių komponentų grupės. Daugeliu atveju daugiamatės koreliacijos koeficientai didesni už vienmatę koreliaciją tarp barelio vidutinės chronologijos ir meteorologinių rodiklių. Pavyzdžiui Daunorių barelyje koreliacija su metine temperatūra nuo koeficiente 0,22 (vidutinė chronologija) pakyla iki 0,44 (keturių reikšmingų pirminių komponentų grupė).

Užpelkių Tyrelio aukštapelkėje visų barelio medžių vidutinė standartinė (indeksų) chronologija rodo geriausią koreliaciją su vidutinės vasario - rugsėjo mėnesių temperatūros fluktuacijomis - koreliacijos koeficientas  $r=+0,40$  (žr. 6.1 poskyrį). Pritaikius šio klimatinio rodiklio modeliavimui daugiamatę regresiją, kaip regresorius naudojant trijų reikšmingųjų prieaugio variacijos pirminių komponentų amplitudes, gautas daugiamatės koreliacijos koeficientas  $R=0,50$ . Šio modelio lygtis:

$$\hat{Y}=8,38+0,25x_1+0,25x_2-0,11x_3,$$

kur  $\hat{Y}$  - įvertintos vidutinės vasario - rugsėjo temperatūros,  $x_1$  - pirmojo,  $x_2$  - antrojo,  $x_3$  - trečiojo Užpelkių Tyrelio medžių prieaugio variacijos pirmonio komponento amplitudė.

Regresijos modelio parametrai pateikti 10 lentelėje.

Kadangi šiame modelyje trečiojo komponento statistiniai parametrai nepatikimi - t statistika yra neigama, p vertė=0,4732, - sekancioje pakopoje

buvo apskaičiuotas daugiamatės regresijos modelis, kaip regresorius naudojant dviejų pirmujų komponentų amplitudes. Modelio lygtis:

$$\hat{Y} = 8,37 + 0,25x_1 + 0,26x_2$$

(reikšmės tokios pat, kaip ankstesniame modelyje).

Šio modelio parametrai pateikti 11 lentelėje.

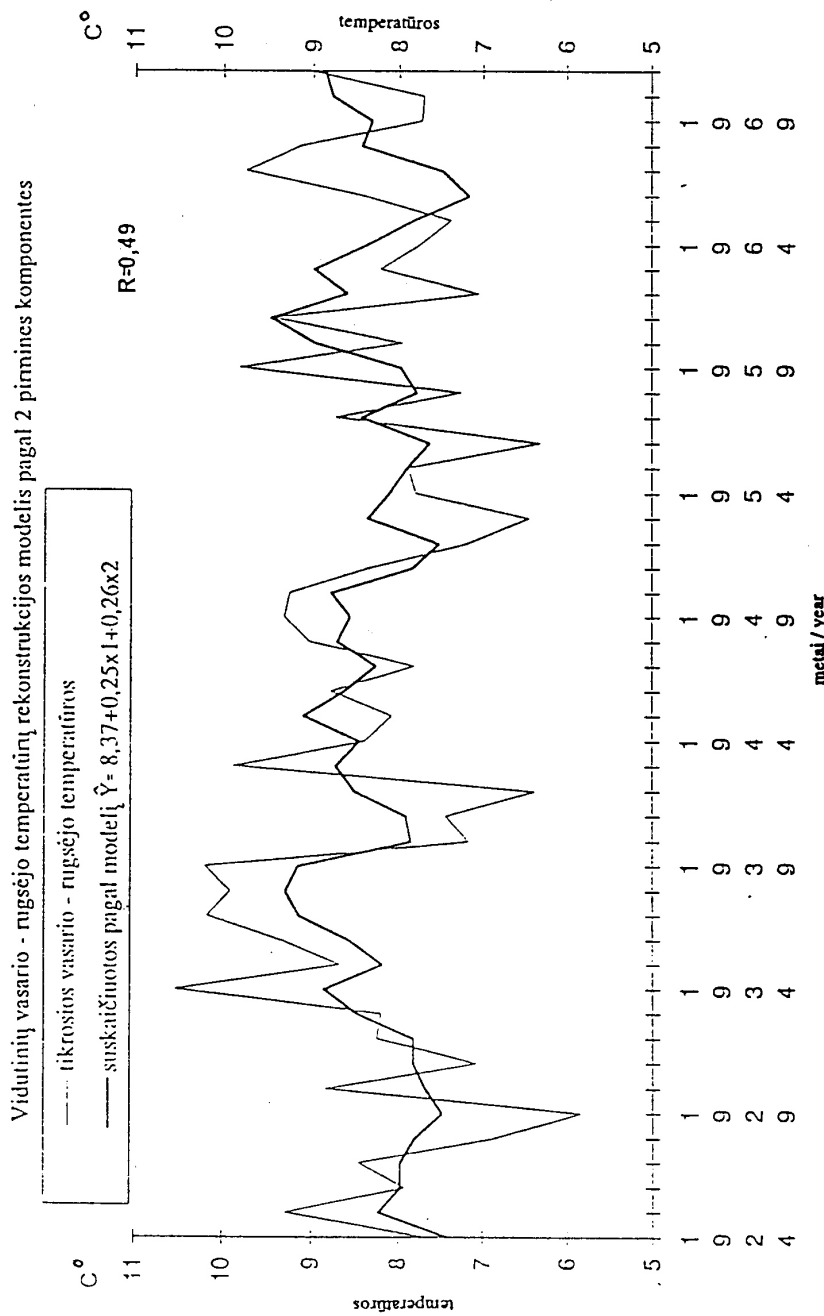
10 lentelė. Daugiamatės regresijos tarp vasario - rugsėjo mėnesių vidutinės temperatūros ir Užpelkių Tyrelio medžių prieaugio trijų pirminių komponenčių amplitudžių modelio parametrai

Koreliacijos koeficientas R	0,5004	
Determinacijos koeficientas R <sup>2</sup>	0,2506	
Patikslintas pagal laisvės laipsnių praradimą R <sup>2</sup>	0,1993	
Stebėjimų skaičius	49	
	statistikos	reikšmingumas
Regresijos F statistika	4,9000	0,00504
Laisvojo nario t statistika	56,9850	p vertė 4,9372E-45
1PC koeficiente t statistika	3,2082	p vertė 0,0024
2PC koeficiente statistika	2,1833	p vertė 0,0340
3PC koeficiente statistika	-0,7231	p vertė 0,4732

11 lentelė. Daugiamatės regresijos tarp vasario - rugsėjo mėnesių vidutinės temperatūros ir Užpelkių Tyrelio prieaugio dviejų pirminių komponenčių amplitudžių modelio parametrai

Koreliacijos koeficientas R	0,4914	
Determinacijos koeficientas R <sup>2</sup>	0,2415	
Patikslintas pagal laisvės laipsnių praradimą R <sup>2</sup>	0,2078	
Stebėjimų skaičius	48	
	statistikos	reikšmingumas
Regresijos F statistika	7,1645	0,00199
Laisvojo nario t statistika	57,4964	p vertė 3,26E-45
1 PC koeficiente t statistika	3,2171	p vertė 0,00235
2PC koeficiente t statistika	2,3052	p vertė 0,0236

Nors šio modelio daugiamatės koreliacijos koeficientas truputį sumažėja - R=0,49, tačiau dėl mažiau prarastų laisvės laipsnių (mažesnis



48 pav. Tikrosios ir rekonstruotos pagal Užpelkių Tyrelį pušų radialinio prieaugio variacijos dviejų pirminių komponentų amplitudes vidutinės vasario - rugšėjo periodo temperatūros.

regresorių skaičius), įvertintas  $R^2$  padidėja. Padidėja ir modelio patikimumas.

Pasinaudojant šiuo daugiamatės regresijos modeliu, iš dviejų pirminių komponentų amplitudžių chronologijų buvo rekonstruotos vidutinės vasario - rugsėjo temperatūros. 43 paveiksle parodytas tikrujų vasario - rugsėjo mėnesių vidutinių temperatūrų ir rekonstruotų pagal daugiamatės regresijos modelį palyginimas.

Pagal Užpelkio Tyrelio pušų prieaugio variacijos dviejų pirminių komponentų amplitudžių regresijos modelį galima rekonstruoti 24% vidutinės vasario - rugsėjo mėnesių temperatūros variacijos.

Dėl to, kad aukštapelkinėse augimvietėse medžiai į kintančias aplinkos sąlygas reaguoja nevienodai, pirminių komponentų išskyrimas iš individualių medžių prieaugio variacijos ir šių komponentų amplitudžių chronologijų panaudojimas daugamačiuose modeliuose leidžia rekonstruoti didesnę klimatinių rodiklių variacijos dalį negu standartinės vidutinės prieaugio chronologijos, apjungiančios visų barelio medžių informaciją.

### **6.3. Rekonstruotų praeities pušynų radialinio prieaugio chronologijų panaudojimo klimatinių rodiklių atstatymui galimybės**

Atlikus aukštapelkinės augimvietės dabar augančių pušies medžių radialinio prieaugio priklausomybės nuo klimatinių veiksnių (kritulių ir oro temperatūros) analizę, nustatyta tiesioginė priklausomybė tarp Užpelkių Tyrelio aukštapelkės pušų metinio radialinio prieaugio ir oro temperatūros žiemos ramybės sezono pabaigoje bei vegetacijos sezono mėnesiais. Koreliacijos koeficientas tarp vidutinės radialinio prieaugio chronologijos ir vidutinės vasario - rugsėjo mėnesių periodo oro temperatūros yra + 0,4, t.y. chronologijos dinamika atspindi 16% šio klimatinio rodiklio variacijos (žr. 6.1. poskyrį). Kaip rodo kitų šalių mokslininkų tyrimai, rekonstruojant klimatinį rodiklį iš medžių prieaugio nepriklausomu laikotarpiu (t.y., kurio duomenys nebuvvo naudoti modelio sudarymui), rekonstruojamos variacijos dalis dar sumažėja (Fritts, 1976; Cook, Jacoby, 1977; Blasing et al., 1988; Briffa et al., 1990 ir kt.). Taigi nelabai stiprūs kiekybiniai ryšiai tarp atskiro tyrimų barelio (Užpelkių Tyrelio aukštapelkės) vidutinės prieaugio chronologijos ir klimatinių rodiklių leidžia rekonstruoti tik nedidelę praeities klimatinių rodiklių variacijos dalį.

Didesnę klimatinio rodiklio variacijos dalį leidžia iššifruoti pirminių komponentų (PK) išskyrimas individualių medžių prieaugio dinamikoje ir PK amplitudžių panaudojimas daugiamatės regresijos modeliuose. Pagal Užpelkio Tyrelio pušų prieaugio variacijos dviejų PK amplitudžių regresijos

modelį rekonstruota 24% vidutinės vasario - rugsėjo mėnesių temperatūros variacijos (daugiamatės koreliacijos koeficientas yra 0,49) (žr. 6.2. poskyrį). Todėl pirminių komponentų metodu išanalizuotos ir Užpelkių Tyrelio praeities pušynų medžių grupės. 12 ir 15 lentelėse parodytos dviejų didžiausių praeities medžių grupių (grupė "LCWU130b" iš VI - IX a. ir "LCWUT60a" iš X - XII a.) priaugio dinamikos pirminių komponentų struktūra. Palyginus su dabar augančių medžių tyrimo bareliais (žr. 8 ir

9 lentelės), synchronizuoto priaugio medžių grupėse stipriau dominuoja pirmojo PK svoris ("LCWU130b" medžių grupėje pirmasis PK aprašo 50,4%, "LCWUT60a" grupėje - 38,5% priaugio variacijos). Kadangi priaugio serijų synchronizacija atliekama pagal bendrąjį visiems medžiams pirmajį priaugio dinamikos komponentą, individualių priaugio dinamikos skirtumų turintys medžiai (t.y. turintys didesnius žemesniųjų priaugio dinamikos PK svorius), natūraliai egzistuojantys medynuose, turi tendenciją būti atmesti ir neįtraukti į synchronizuoto priaugio medžių grupes. Taigi rekonstruotų praeities medžių grupių priaugio komponentinė struktūra nėra visai tapati dabarties medžių atsitiktinės atrankos bareliams. Todėl be papildomų tyrimų pritaikius kiekybinėms klimatinio rodiklio rekonstrukcijoms sudarytus pirminių komponentų amplitudžių regresijos modelius galimos rezultatų paklaudos.

Kaip rodo kitų autorių tyrimai (Briffa, 1987), vidutinio klimato sąlygomis patikimesnės kiekybinės rekonstrukcijos gaunamos ne iš atskirų tyrimo barelių priaugio chronologijų, o apjungus informaciją iš barelių tinklo. Todėl šiame darbe, nagrinėjančiame vienos aukštapelkės pušynų augimo dinamiką, apsiribojama kokybine Subatlančio laikotarpio klimato kaitos analize, neatliekant kiekybinės rodiklių rekonstrukcijos, tikintis, kad ateityje, dendrochronologiškai ištyrus daugiau panašių objektų ir sukūrus ilgalaikių pušies chronologijų tinklą, bus galima patikimai rekonstruoti kiekybinių klimatinių parametrų kaitą per paskutinius 2 - 3 tūkstantmečius.

KOMPONENDOC

**12 lentelė.** Užpelkių Tyrelio kryžmiškai datuotų praeities medžių grupės "LCWUT130B" radialinio priaugio variacijos pirminių komponentų analizė.

OPRINCIPAL COMPONENTS ANALYSIS:					
Užpelkių Tyrelio LCWU130B chronologijos medžių grupė (VI - IX a.)					
PK	Kumuliatyvinis svoris	Variacijos %	Kumuliatyvinė variacija %	Cumulative %	Grafikas
P C	Eigenvalue	Variance %	variacija %	Cumulative %	Scree plot
1	7.0528	50.3774	50.3774	50.3774	-----
2	.9050	6.4646	56.8420	56.8420	-----
3	.8296	5.9260	62.7680	62.7680	-----
4	.7390	5.2756	68.0466	68.0466	-----
5	.6872	4.9065	72.9550	72.9550	-----
6	.5304	4.5026	77.4577	77.4577	-----
7	.5606	4.1488	81.6065	81.6065	-----
8	.5202	3.7155	85.3220	85.3220	-----
9	.4722	3.3726	88.6946	88.6946	-----
10	.3900	2.7855	91.4801	91.4801	---
11	.3729	2.6635	94.1436	94.1436	---
12	.3163	2.2596	96.4032	96.4032	---
13	.2767	1.9763	98.3799	98.3799	---
14	.2563	1.6201	100.0000	100.0000	---

**13 lentelė.** Kryžmiškai datuotų praeities medžių grupės "LCWUT60A" radialinio priaugio variacijos pirminių komponentų analizė.

OPRINCIPAL COMPONENTS ANALYSIS:					
Užpelkių Tyrelio LCWUT60A chronologijos medžių grupė (X - XII a.)					
PK	Kumuliatyvinis svoris	Variacijos %	Kumuliatyvinė variacija %	Cumulative %	Grafikas
P C	Eigenvalue	Variance %	variacija %	Cumulative %	Scree plot
1	12.6927	36.4526	36.4526	36.4526	-----
2	2.2735	6.3593	45.3519	45.3519	-----
3	1.8744	5.6799	51.0318	51.0318	-----
4	1.2174	5.5074	56.5392	56.5392	-----
5	1.3634	4.1317	60.6709	60.6709	-----
6	1.2320	3.7335	64.4043	64.4043	-----
7	1.2145	3.6613	68.0657	68.0657	-----
8	1.1113	3.2676	71.4533	71.4533	-----
9	.9942	2.7096	74.1629	74.1629	-----
10	.7350	2.3879	76.5507	76.5507	-----
11	.7513	2.2766	72.8273	72.8273	-----
12	.7330	2.2214	81.0486	81.0486	-----
13	.6640	2.0728	83.1214	83.1214	---
14	.6051	1.8335	84.9549	84.9549	---
15	.5449	1.6512	86.6061	86.6061	---
16	.5311	1.6095	88.2156	88.2156	---
17	.4555	1.3613	89.5970	89.5970	---
18	.4312	1.3066	90.9036	90.9036	---
19	.3915	1.1573	92.0509	92.0509	---
20	.3521	1.0569	93.1578	93.1578	---
21	.3263	.9558	94.1467	94.1467	---
22	.2955	.8959	95.0425	95.0425	---
23	.2563	.8129	95.8555	95.8555	---
24	.2473	.7509	96.6063	96.6063	---

## 7. PUŠYNŲ AUGIMO UŽPELKIŲ TYRELIO AUKŠTAPELKĖJE DINAMIKA - EKOLOGINIŲ SĄLYGŲ KAITOS SUBATLANČIO LAIKOTARPIU RODIKLIS

Dendrochronologiniu metodu ir radioanglies metodo pagalba kryžmiškai datavas Užpelkių Tyrelio oligotrofinių durpių kloduose užsikonservavusios subfosilinės pušies medienos rievių serijas, nustatytos penkios pušyno išplitimo tiriamajame plote per paskutinius du tūkstantmečius fazes, kurias skyrė ilgiau ar trumpiau trukusios plyninės augalijos fazės (žr. 5 skyrių; 3<sup>4</sup> pav.).

Kaip rodo pelkių augalijos tyrimai (Seibutis, 1966; Балявичене, 1991) raistinių ir plyninių augalų bendrijų paplitimas glaudžiai susijęs su pelkės vandens lygiu. Aukštapelkių raistinės Vaccinietea uliginosi klasės bendrijos įsikuria sausesnėse vietose, kur pelkės vandens lygis žemesnis (40-50 cm (Балявичене, 1991)). Plyninės Oxycocco - Sphagnetea klasės bendrijos užima šlapesnes vietas, kur aukštasis pelkės vandens limituoja sumedėjusių augalų paplitimą. Raistinių ir plyninių bendrijų kaita atspindi ilgalaikius pelkės vandens lygio svyravimus.

Atkurtų pušyno fazų metinio radialinio prieaugio analizė parodė nemažus metinės rievės pločio svyravimus (žr. 3<sup>4</sup>A pav.) Per daugiau kaip 2000 metų istoriją vidutinis metinis radialinis prieaugis kito nuo 0,1 mm iki 2,6 mm (vidutinis 0,67 mm). Nustatytą teigiamą Užpelkių Tyrelio pušų metinio radialinio prieaugio priklausomybę nuo vidutinės vasario - rugsėjo mėnesių periodo temperatūros bei neigiamą koreliacija tarp prieaugio ir metinių kritulių (žr. 6 skyrių) rodo, kad didesnis metinis prieaugis (platesnės metinės rievės) atspindi šiltus ir sausus laikotarpius (klimatinius optimumus), tuo tarpu prieaugio sumažėjimas būdingesnis atšalimo ir drėgmės padidėjimo laikotarpiams.

Užpelkių Tyrelio pelkė perėjo į oligotrofinę fazę subborealio pabaigoje (Савукинене и др., 1978). Drėgna subatlančio laikotarpio pradžia (Kabailienė, 1991) aukštapelkėje nebuvo palanki pušies medyno įsikūrimui. Pirmieji medžiai tiriamajame plote pradėjo augti II - I a. pr. Kr. Pušynas formavosi palaipsniui - nors pastebimi atskiri medžių dygimo suintensyvėjimo periodai, masinio atsiželdinimo nebuvo. Metinis radialinis prieaugis II a. pr. Kr. buvo labai mažas ir sudarė 15% - 60% vidutinio prieaugio. I a. pr. Kr. pušų radialinis prieaugis palaipsniui didėjo, o antroje amžiaus pusėje viršijo daugiametį vidurkį (0,67 mm). Medyno augimo dinamika rodo, jog antrame amžiuje pr. Kr. prasidėjo palaipsnis pelkės nusausėjimas. I amžiaus pr. Kr. pabaigoje klimatas tapo palankus aukštapelkės pušų augimui (temperatūros kilimo ir kritulių mažėjimo tendencija). I amžiaus pr. Kr. pabaigoje - I amžiaus po Kr. pirmoje pusėje

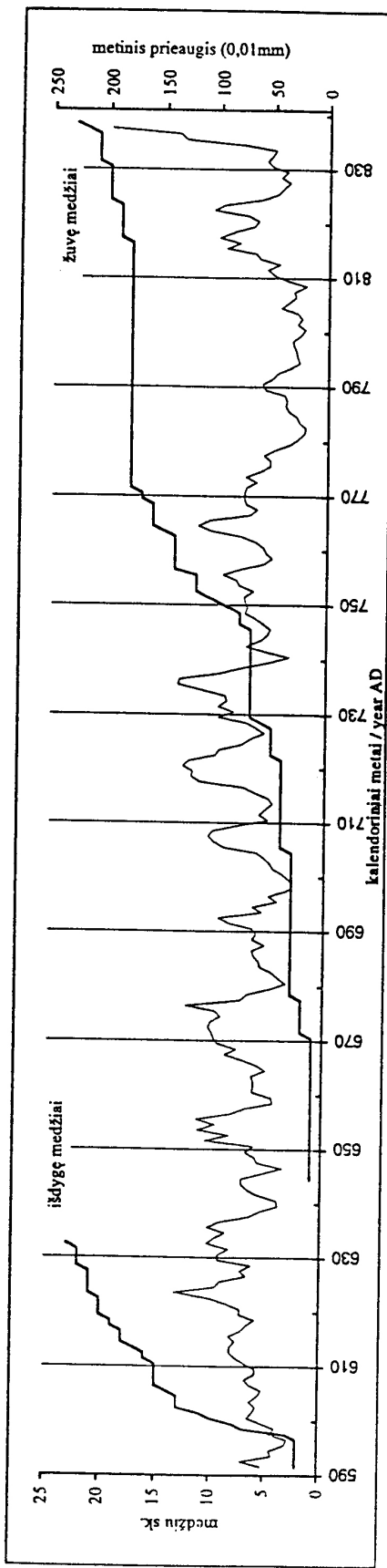
medžių priaugis gerokai viršijo vidurkį (siekė 310% vidutinio priaugio) ir buvo vienas didžiausių per dviejų tūkstantmečių istoriją. Geras priaugis (siekiantis 380% vidutinio) stebimas ir II - III a. po Kr. Radialinis Užpelkių Tyrelio pušų priaugis rodo optimalų šilumos ir sauso klimato derinį beveik iki III amžiaus po Kr. pabaigos.

Medžiams, augusiems IV ir ypač V - VI a. po Kr., charakteringas sumažėjės radialinis priaugis (dažniausiai mažesnis už vidutinį, kartais tesiekiantis 35% vidurkio). Kiek geresnis priaugis, sudarantis 150%-185% vidutinio, stebimas IV a. pabaigoje ir V a. pradžioje. Pušų, augusių Užpelkių Tyrelyje, radialinis priaugis rodo, kad IV - VI a. po Kr., išskyrus IV a. pabaigą, aukštstapelkėje vyraovo nepalankios augimui klimatinės sąlygos (žemos temperatūros ir drėgmė), išsauskusios pelkės vandens lygio kilmą ir pušies medyno nunykimą.

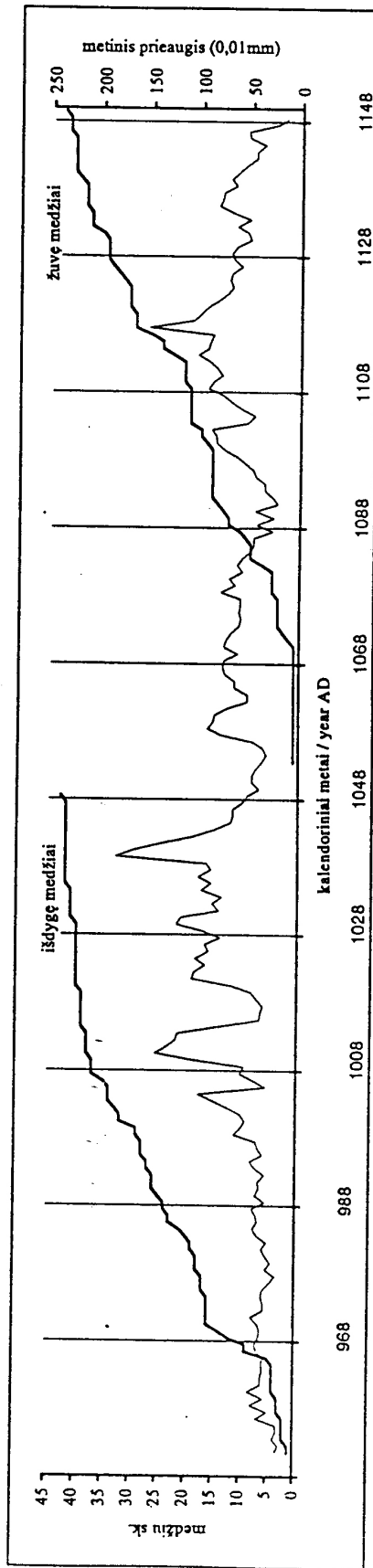
VI ir VII amžių sandūroje Užpelkių Tyrelio aukštstapelkėje per trumpą laiką susiformavo tankus beveik vienaamžis pušies medynas. Apie du šimtmečius vyraovo aukštesnis nei vidutinis (siekiantis 195% ilgamečio vidurkio) metinis priaugis, beveik cikliškai sumažėjantis kas 20 arba 11 metų. Medynas nunyko VIII a. pabaigoje - IX a. pirmoje pusėje. Pušyno formavimosi dinamika ir medžių radialinis priaugis rodo, kad periodas apie septintajį mūsų eros amžių buvo šiltas ir sausas, nes toks staigus raistinės augalijos išplitimas galėjo vykti staigiai nuslūgus pelkės vandens lygiui arba po gaisrų. Optimalios sąlygos palyginus neblogam pelkinės pušies priaugui truko daugiau kaip pusantrę šimtmečio ir pablogėjo VIII a. pabaigoje - IX a. pradžioje.

Sekanti pušyno fazė aukštstapelkėje prasidėjo apie X a. vidurį. Tai gausiausia medžių grupė, išplitusi taip pat per gana trumpą laiką ir gyvavusi iki XII a. Radialinio priaugio chronologijoje yra trys pagerėjusio medžių augimo intervalai, kai priaugis 30 - 40 metų beveik ištisai viršijo daugiametį vidurkį. Staigus pušies medyno išplitimas X a. viduryje taip pat rodo gana staigų pelkės nusausėjimą.

Šias pastarąsias dvi beveik vienaamžių medžių pušyno fazes skiria maždaug šimtmėčių trukusi plyninės augalijos fazė. Remiantis Užpelkių Tyrelio medyno augimo dinamika, galima daryti išvadą, kad nepalankios klimatinės sąlygos IX amžiuje išskyrė du optimalius periodus: apie septintajį ir apie vienuoliktąjį mūsų eros amžius. Šių dviejų pušyno fazų populiacijų dinamiką rodo kumuliatyvinės medžių išdygimo ir žuvimo kreivės (49 ir 50 pav.). Medyno susiformavimas VII a. pradžioje vyko daug intensyviau ir per trumpesnį laiką, negu nunykimas. Nors abiejose fazėse pastebimi medžių žuvimo suinteresuojimo laikotarpiai, masinio medžių žuvimo baigiantis fazėms nebuvo - medynas nunykdamo palaipsniui. Panašus reiškinys pastebėtas ir tiriant Airijos durpynuose subborealio nusausėjimo laikotarpio pušyno fazes (McNally, Doyle, 1984 a, b) -



49.pav. „LCWU130b“ medžių grupės (VI - IX a. po Kr.) per metus išdygusių bei žuvusių medžių kumuliatyvinės kreivės. Plona linija pažymėta vidutiniu metinis prieaugis.



50 .pav. „LCWUT60a“ medžių grupės (X - XII a. po Kr.) per metus išdygusių bei žuvusių medžių kumuliatyvinės kreivės. Plona linija pažymėta vidutiniu metinis prieaugis.

blogėjančios klimatinės sąlygos neiššaukdavo masinio pušų žuvimo, o medynas nunykdavo kritiškai pablogėjus atželimo sąlygoms dėl kylančio pelkés vandens lygio.

XII a. po Kr., baigiantis X - XII a. pušyno fazei, pradėjo formuotis naujas pušų medynas. Skirtingai nuo ankstesniųjų dviejų fazijų, medžių įsikūrimas vyko palaipsniui per du šimtmečius, medynas gyvavo iki XIV a. antrosios pusės. Beveik visą gyvavimo laiką vyravo mažesnis už daugiametį vidutinį radialinis prieaugis. Tai rodo, kad vegetacijos sezono temperatūra buvo žemesnė negu I m.e. tūkstantmečio ir II tūkstantmečio pradžios raistinių fazijų metu. Dauguma šios fazės medžių užsikonservavo durpėje nugriuvę (žr. 30 pav.). Galbūt medžių šaknų sistema buvo paplauta fazės pabaigoje smarkiai pakilus pelkés vandens lygiui.

Nunykus šiai miško fazei, apie tris šimtmečius tiriamajame plote vyravo plyninės augalų bendrijos. Tai ilgiausia iš visų bemiškių fazijų. Plyninės bendrijos rodo pelkés vandeningumo pakilimą.

Pušyno atželimas vėl prasidėjo XVIII a. pabaigoje. XIX a. viduryje pušų metinis radialinis prieaugis peršoko vidutinį ir beveik visą XX amžių buvo didesnis už dviejų tūkstantmečių vidurkį. Tai rodo, kad XVIII a. pabaigoje ilgalaikės klimato sausėjimo tendencijos iššaukė pelkés vandeningumo mažėjimą, sudariusį palankias sąlygas pušų įsikūrimui, o paskutiniųjų šimtmečių vegetacijos sezono temperatūra yra viena aukščiausių per paskutinįjį tūkstantmetį.

Rekonstruota aukštapelkės augalijos istorija rodo optimalias pušies augimui ekologines sąlygas (pelkés vandeningumo sumažėjimą, sauso ir šilto klimato sąlygas) buvus mūsų eros pirmo tūkstantmečio pradžioje, mūsų eros VII - VIII a., XI a. - XII a. pradžioje, XIX a. pabaigoje -XX a. Pesimalios sąlygos, kai vyravo plyninės augalų bendrijos arba metinis pušų radialinis prieaugis buvo mažas, (pakilęs pelkés vandens lygis, šaltas ar drėgnas klimatas) buvo subatlančio periodo pradžioje maždaug iki I a. pr. Kr., taip pat fiksuojamos mūsų eros IV a. pirmoje pusėje, V - VI a., IX a., XII a. viduryje, XVI - XVIII amžiais.

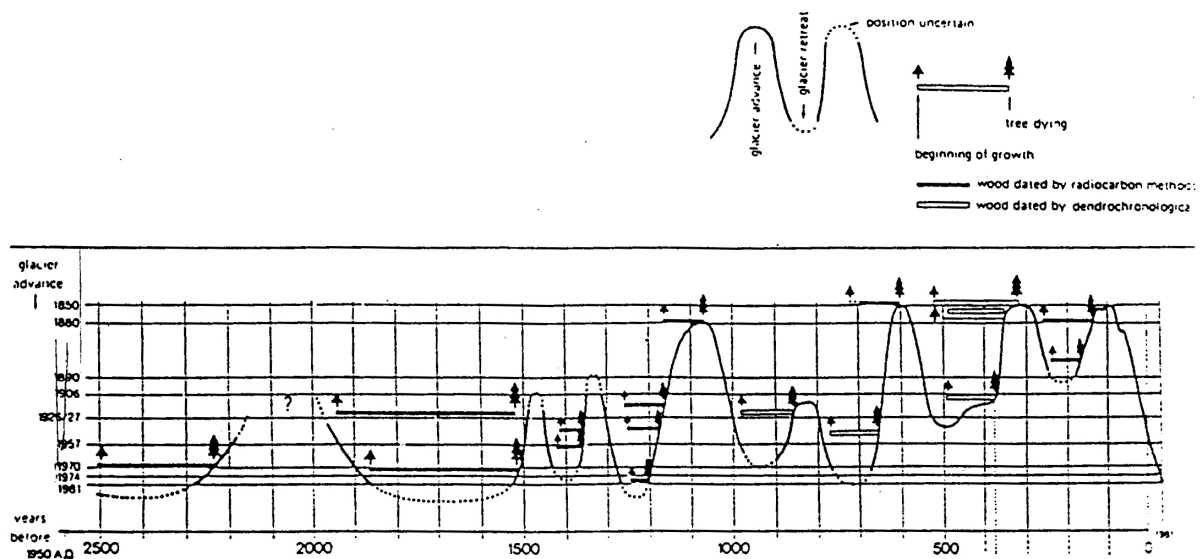
Nuorodų į klimatinį optimumą mūsų eros pradžioje yra kai kurių klimatologų darbuose. S.I.Barašas (Бараш, 1989), remdamasis S.I. Kostino ir J.L.Raunerio tyrimais, vertina pirmuosius du amžius po Kr. Europoje kaip šilčiausius mūsų eros amžius. Metraščiuose randama pastabų, kad durpynai pirmame amžiuje buvo taip nusausėję, kad žmonės tiesė per juos keliai (Бараш, 1989). Pirmojo tūkstantmečio vidurio amžių klimatologiniai vertinimai įvairių autorų šiek tiek prieštaringi. S.I.Barašas (Бараш, 1989) vertina IV a. buvus drėgną, tačiau nuo IV a. pabaigos nurodo prasidėjusį sausėjimą, nusitęsusį iki VIII a. V.I.Turmanina (Турманина, 1985) išskiria rytų Europoje buvusį drėgną periodą, apimantį visą IV - VII a. laikotarpi. Glaciologiniai tyrimai Apėse (Zumbühl and Holzhauser, 1988) rodo klimato

permainingą charakterį: V ir VI amžiuose nustatyti staigūs ledynų išplitimai, sukelti atšalimo ir kritulių pagausėjimo (žr. 51 pav.). Žymus vidutinių temperatūrų vegetacijos laikotarpiu (liepą - rugpjūtį) sumažėjimas apie VI a. vidurį fiksuoamas ir šiaurės Fenoskandijoje (Briffa ir kt., 1992; žr. 52 pav.), tai sutampa su M.Baillie konstatuojamu "540 m. po Kr. atšalimo epizodu", sukeliusi skirtingų rūsių medžių prieaugio sumažėjimą daugelyje šalių (Continental Drilling..., 1996).

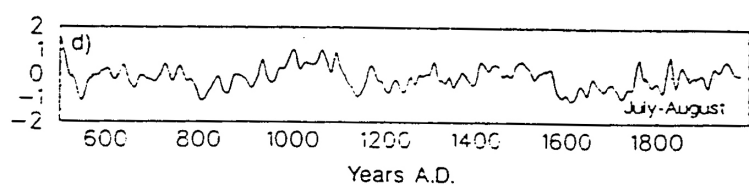
Žinios apie I-ojo tūkstantmečio antrosios pusės klimatinės sąlygas taip pat negausios, skirtingų autorių vertinimai, remiantis skirtingų Europos regionų duomenimis, kartais prieštaringi. S.I. Barašas (Бараш, 1989), su nuoroda į S.I.Kostiną (Костин, 1979), vadina periodą apie V-VIII a. "antruoju kseroterminiu periodu per paskutiniuosius 4500 metų", o VIII - X amžius, pasiremdamas metraščiais, vertina kaip ~~drēgnus~~ V.I.Turmanina (Турманина, 1979) sausa laiko visą I tūkstantmečio pabaigą, pradedant "Archyo pertrauka" VIII amžiumi, remdamasi G.K.Tušinskio m. Kaukazo ledynų formavimesi, datuota VII amžiaus (Тушинский, 1989). T. Turmanina (Турманина, 1979), taip pat kitais ~~metu~~ datuotos glaciologinės rekonstrukcijos (Holzhauser, 1988) parodė žymų ledyno atsileiskimą iššauktą kritulių sumažėjimo ir temperatūros ledyno išplitimą (žr. 51 pav.). Rekonstruota ledyno dinamika rodo pelkės nusausėjimą ir vystytančius nuo VII amžiaus maždaug iki VIII a. rievėse VII a. ryškiai pasireiškės kvazisezoninis ciklišumas (maždaug 22 ir 11 metų periodu) S.I.Barašo pastabą, su nuoroda į P.Reisa, (Reis, 1989) apie pasižymėjimo anomalijas reiškiniais, kaip išvyskėti pašvaistės, sukeltais Saulės aktyvumo ir Žemės procesų persitvarkymu. Pušų radialinio prietaiso pusėje ir plyninių augalų bendrijų įsigalejimui sutampa su Aletčo ledyno išplitimu Alpėse (liepų rugpjūčio temperatūrų pažemėjimo apie 80 m²) Fenoskandijoje (žr. 52 pav.).

Laikotarpis apie pirmojo ir antrojo (1000+/-200 m.) klimatologijoje žinomas "optimumas" (Ле Пя Ладюри, 1971; Бараш, 1989) arba "viduramžių šiltoji eon" (Northern..., 1995). Informaciją apie šiltą ir sausą eros amžių teikia jvairūs šaltiniai. Vasaros vidutinės temperatūros pagal medžių rievės ištisines serijas šiaurinėje Nordei pradedant X a. pradžia, baigiant XI a. pabaigą (Briffa et al., 1992) (52 pav.). Glaciologiniai tyrimai Alpėse rodo ledynų persitvarkimų

rumenčių sandūrą. Šasis klimatinis (Лесецкий, 1983; Climate of the Northern..., 1995) rekonstrukcijos rodo šiltą periodą, (Briffa et al., 1992) (52 pav.). Ieje X a. pusėje -



51.pav. Grosser Aletsch ledyno Šveicarijos Alpėse tūkstantmetės fluktuacijos (iš Zumbühl and Holzhauser, 1980). Kreivės pakilimai rodo ledyno išplitimą, kreivės kritimai - ledyno atsitrukimą, punktyrais parodytos nevissiškai aiškios ledyno pakraščio pozicijos. Horizontaliaisiais stulpeliais pavaizduoti ledyno palaidotų medžių gyvenimo laikotarpiai.



52.pav. Vidutinių liepos - rugpjūčio temperatūrų šiaurinėje Fenoskandijoje rekonstrukcija pagal medžių rievių chronologijas (iš Briffa ir kt., 1992).

XI a. (žr. 51 pav., (Zumbühl, Holzhauser, 1988)). Atitinkama informacija apie palankias klimatines sąlygas vynuogininkystei Britanijoje, vikingų gyvenvietes Grenlandijoje ir t.t. pateikama metraščiuose ir kronikose (Борисенков, Пасецкий, 1983; Бараш, 1989 ir kt.). Tačiau šie šaltiniai nurodo taip pat ir buvusias šaltas žiemas bei drėgnas vasaras (Бараш, 1989). Užpelkių Tyrelio subfossilinių pušų rievių pločių serijos taipogi rodo atskirus mažiau palankius augimui periodus ir "klimatinio optimumo" metu.

Antrame mūsų eros tūkstantmetyje klimato istorijos tyrinėtojai išskiria tris periodus: šiltą ir daugiausiai sausą tūkstantmečio pradžią ("mažajį klimatinį optimumą"), po jo sekusį šaltąjį "mažajį ledynmetį", kurio šalčiausia fazė buvo XVII a. (Lamb, 1981), ir XIX a. pabaigos - XXa. atšilimą (Ле Руа Ладюри, 1971; Lamb, 1981; Борисенков, Пасецкий, 1983; Ляхов, 1984 ir kt.). Skirtingi autoriai įvairiai nurodo perėjimo nuo "optimumo" į "mažajį ledynmetį" laiką. Pagal H.H. Lambą, "mažasis klimatinis optimumas" Europoje baigėsi 1300 - 1310 m. (Lamb, 1981). E.P.Borisenkovas ir V.M.Paseckis nurodo, kad atšalimas prasidėjo po 1200 m., o ryškiausiai perėjimas į "mažajį ledynmetį" pasireiškė 1300 - 1450 m., kai temperatūra nukrito vidutiniškai 1,3 - 1,4°C (Борисенков, Пасецкий, 1983). Kita grupė tyrinėtojų "mažojo ledynmečio" pradžią nukelia į XVI a. pradžią (1510+/-50 m.) (Bradley, Jones, 1992). Labiausiai sutariama, kad šalčiausias periodas buvo apie 1550 - 1700 m., taip pat XIX a. pradžia (Ле Руа Ладюри, 1971; Lamb, 1981; Борисенков, Пасецкий, 1983; Zumbühl, Holzhauser, 1988 ir kt.). Šiuo metu pasaulyje skiriama daug dėmesio šių klimatinių periodų pasireiškimo laikui ir regioniniams skirtumams tirti (PANASH: Paleoclimates..., 1995).

Užpelkių Tyrelio aukštapelkės X - XII a. pušyno fazės medžių prieaugio sumažėjimas ir fazės pabaiga XII a. pirmoje pusėje siejasi su tuo laiku šiaurės Fenoskandijoje fiksuojamu žymiu vasarų atšalimu (Briffa ir kt., 1992; žr. 52 pav.) bei nedideliu ledyno išplitimu Alpėse (Zumbühl, Holzhauser, 1988; žr. 51 pav.). Aukštapelkės plyninės augalijos fazė nuo XV a. antros pusės iki XVIII a. pabaigos atitinka ryškiausią "mažojo ledynmečio" periodą, pasižymintį žemomis temperatūromis ir padidėjusių kritulių kiekiu (Lamb, 1981; Ле Руа Ладюри, 1971; Борисенков, Пасецкий, 1983 ir kt.). Paskutinių amžių pušyno išplitimo fazės metinio radialinio prieaugio padidėjimas XIX a. viduryje atitinka klimatologų jau instrumentiškai fiksuojamą klimato atšilimą ir sausėjimą (Jones, Bradley, 1992 ir kt.).

Pušynų augimo dinamikos Užpelkio Tyrelio aukštapelkėje palyginimas su klimatologiniais tyrimais rodo, kad pesimalūs pušies augimui laikotarpiai, pasižymintys mažu metiniu radialiniu prieaugiu arba

plyninės augalijos fazėmis, atitinka periodus, klimatologų vertinamus kaip drėgni ar šalti: IV a. po Kr. pirma pusė (Бараш, 1989, Турманина, 1979), V - VI a. po Kr. (Турманина, 1979; Zumbühl, Holzhauser, 1988; Briffa et al., 1992 (VI a.)), IX a. (Zumbühl, Holzhauser, 1988; Briffa et al., 1992); XII a. vidurys (Zumbühl, Holzhauser, 1988; Briffa et al., 1992), XVI - XVIII a. (Ле Руа Ладюри, 1971; Lamb, 1981; Борисенков, Пасецкий, 1983; Бараш, 1989 ir kt.). Optimalūs (padidėjusio metinio prieaugio) periodai patvirtina sauso ir šilto klimato sąlygas mūsų eros pirmo tūkstantmečio pradžioje (Бараш, 1989), VII - VIII a. (Zumbühl, Holzhauser, 1988), XI a. (Zumbühl, Holzhauser, 1988; Briffa et al., 1992), XX a (Ле Руа Ладюри, 1971; Lamb, 1981 ir kt.). Atitikimas tarp *Pinus sylvestris* augimo sąlygų kaitos Užpelkių Tyrelio aukštapelkėje ir praeities klimato įvertinimų, atliktų kitų autorų, rodo, kad medyno augimo dinamika priklausė ne tik nuo vietinių ekologinių sąlygų, bet atspindėjo ir platesnio (Europinio) masto klimato fluktuacijas.

## 8. IŠVADOS

1. Lietuvos aukštapelkių durpių kloduose užsikonservavusi subfossilinė paprastosios pušies mediena (kelmai ir stiebai) išsaugo nepakitusią metinių rievių struktūrą keliis tūkstančius metų. Jos tyrimui ir rievių kryžminiam datavimui gali ir turėtų plačiau būti taikomi dendrochronologiniai metodai. Apie pusės (47%) Užpelkių Tyrelio subfossilinės medienos pavyzdžių metinio radialinio priaugio serijos turėjo pakankamai ryškią bendrają dinamiką, leidžiančią jas sinchronizuoti. Aukštapelkinių augimviečių pušies priaugio serijų sinchronizavimą apsunkinančios veiksnių yra palyginus neilgas medžių amžius (vidutiniškai 107 metai), atskiriems medžiams būdingas priaugio kaitos individualumas dalį ar visą augimo laikotarpį, dažnai pasitaikančios "iškrentančios" ir "dvigubos" metinės rievės, taip pat kai kuriais šimtmečiais ryškus priaugio dinamikos cikliškumas, sąlygojantis asinchroniškai gretinamų serijų pseudopanašumą.
2. Nustatyta, kad per paskutinius du su puse tūstančio metų Užpelkių Tyrelio aukštapelkėje vyko periodiška raistinės ir plyninės augalijos fazės kaita. Tiriama jame plote pirmoji *Pinus sylvestris* L. medyno fazė prasidėjo II a. pr.Kr., medynas nunyko VI a. po Kr. Antroji medyno fazė prasidėjo masiniu medžių atželimu VI - VII amžių po Kr. sandūroje ir baigėsi IX amžiaus pradžioje. Trečioji pušyno fazė truko nuo X a. vidurio iki XII a. pradžios. Ketvirtosios fazės medynas pradėjo formuotis antroje XII a. pusėje ir nunyko XV a. pabaigoje. Penktoji pušyno fazė prasidėjo XVIII a. pabaigoje ir truko iki durpyno ekspluatacijos pradžios. Tokia detali pelkės medyno istorija Lietuvoje atkurta pirmą kartą.
3. Atlirkus dabar augančių aukštapelkinėse augimvietėse *Pinus sylvestris* medžių metinio radialinio priaugio ryšių su klimatiniais rodikliais analizę, nustatyta, kad skirtinguose Lietuvos regionuose medžiai nevienodai reaguoja į klimatinių sąlygų kaitą. Užpelkių Tyrelio aukštapelkėje *Pinus sylvestris* medžių metinis radialinis priaugis teigiamai koreliuoja su ramybės sezono pabaigos ir vegetacijos sezono mėnesių temperatūra ir neigiamai koreliuoja su metine kritulių suma. Rytų Lietuvoje, labiau kontinentinio klimato sąlygomis, medžių priaugio koreliacija su metine temperatūra yra neigiamai, teigiamą įtaką turi žiemos (gruodžio - sausio mėnesių) ir einamujų metų rugės krituliai.
4. Dėl neišreikštос priaugio serijose amžiaus kreivės aukštapelkinių augimviečių pušies priaugio chronologijų standartizavimas (indeksavimas) neturi statistiškai patikimos vienareikšmės įtakos koreliacinių ryšių su klimatiniais rodikliais stiprumui. Priaugio serijų autoregresijos pašalinimas išryškina metinio priaugio koreliaciją su tais

klimatiniais veiksniais, kurie turi priešingą poveikį einamujų ir sekančiujų metų priaugui.

5. Pirminių komponentų išskyrimas iš individualių medžių priaugio variacijos ir šių komponentų amplitudžių panaudojimas daugiamaičiuose regresijos modeliuose leidžia rekonstruoti didesnę klimatinių parametruų variacijos dalį negu vienmačiai modeliai, besiremiantys vidutine visų barelio medžių priaugio chronologija. Pagal Užpelkių Tyrelio pušų priaugio chronologijos reikšmių fluktuacijas rekonstruojama 16,4% vidutinės vasario - rugsėjo mėnesių temperatūros variacijos, o pritaikius regresijos modelį, kurio nepriklausomi kintamieji yra medžių priaugio variacijos dviejų pirminių komponentų amplitudės - 24,2%.
6. Nepalankūs laikotarpiai paprastosios pušies augimui Užpelkio Tyrelio aukštapelkėje, rodantys pelkés vandens lygio pakilimo, vegetacijos sezono temperatūros pažemėjimo ir (arba) kritulių pagausėjimo tendencijas, rekonstruojami Subatlančio laikotarpio pradžioje iki I a. pr. Kr., IV amžiaus po Kr. pirmoje pusėje, V - VI amžiaus po Kr., IX a., XII a. viduryje, XVI - XVIII a. Optimalūs padidėjusio medžių metinio priaugio periodai, rodantys pelkés nusausėjimo, sauso ir (arba) šilto klimato sąlygas, buvo mūsų eros pirmaisiais amžiais, VII - VIII a., XI a., XIX a. antroje pusėje - XX amžiuje. Šie periodai atitinka kitų autorių atliktus praeities klimato Europoje vertinimus. Atitikimas tarp *Pinus sylvestris* augimo sąlygų kaitos Užpelkių Tyrelio aukštapelkėje ir kitų autorių paleoklimatinių rekonstrukcijų rodo, kad medyno augimo dinamika priklausė ne tik nuo vietinių ekologinių sąlygų, bet atspindėjo ir Europinio masto klimato fluktuacijas.
7. Įrodyta, kad subfossilinės medienos, užsikonservavusios aukštapelkių durpėse, tyrimas dendrochronologiniais metodais, pasitelkiant radioanglies datavimo ir paleobotaninius nuosėdų analizės metodus, suteikia galimybę atkurti praeities augalijos kaitos aspektus ir įvertinti paleoekologinių sąlygų svyrazimus. Siekiant papildyti ir patikslinti gautą šiame darbe informaciją, t.y. vienerių metų tikslumu datuoti praeities medžių augimo laikotarpius ir sudaryti ištisinę aukštapelkinių augimviečių pušies metinio radialinio priaugio chronologiją, būtina pratęsti tyrimus panašaus pobūdžio objektuose - aukštapelkėse, kuriose augančių pušų priaugio dinamika būtų panaši į Užpelkių Tyrelio medžių ir kuriose pušynas būtų augęs tais laikotarpiais, kai Užpelkių Tyrelio pelkės tirtame plote medynas buvo nunykęs.

## LITERATŪRA

1. Aniol R.W. (1983). Tree-ring analysis using Catras. - Dendrochronologia, 1: 45-53.
2. Baillie M.G.L. (1982). Tree-Ring Dating and Archaeology. - London - Canberra. 274 p.
3. Baillie M.G.L. (1986). Dendroscales of Northern Ireland and their limitations for the reconstruction of past environments. - Papers presented at the IIASA Workshop on "Regional Resource Management", September 30-4 October, 1985, Albena, Bulgaria: 143 - 154.
4. Baillie M.G.L., J.R.Pilcher (1973). A simple cross-dating program for tree-ring research. - Tree-Ring Bulletin, 33: 7-14.
5. Balčiūnas V., Bitvinskas T., Bacevičius G. (1983). Automatizuota rievių parametų matavimo linija. - Liet. MA Botanikos institutas. 3 p.
6. Bartholin T. (1987). Dendrochronology in Sweden. - In: Dendrochronology around the Baltic, Helsinki: 79-89.
7. Becker B. (1979). Dendrochronologie subfossiler Baumstämme aus Flusschottern, Hochmooren und Waldgrenzstandorten. - Allgemeine Forst Zeitschrift, 49: 1360-1364.
8. Becker B. (1981). Föllungsdaten Römischer Bauhölzer. - Fundberichte aus Baden-Württemberg, 6: 369-386.
9. Becker B., Schmidt B. (1989). Extension of the European oak chronology to the past 9224 years. - PACT 29.
10. Bednarz Z. (1981). Relationship of tree-ring widths in the Tatra Mountains to variations in monthly temperature and precipitation. - Dickenwachstum der Bäume - Mitteilungen der Forstlichen Bundesversuchsanstalt. Heft 142, Wien: 367-389.
11. Bednarz Z. (1984). The comparison of dendroclimatological reconstructions of summer temperatures from the Alps and Tatra Mountains from 1741 - 1965. - Dendrochronologia 2: 63 - 72.
12. Beeckman H. (1992). Redundancy analysis of tree rings and meteorological data in a Nelder design poplar plantation. - Proceedings of the International Dendrochronological symposium, Ystad - 1990, Lund: 22-26.
13. Beeckman H. (1993). Tree ring analysis as an ecological tool: a review of dendrochronological variables. - Biol. Jb. Dodonea, 61: 36 - 56
14. Bircher W. (1982). Zur Gletscher- und Klimgeschichte des Saastales. - Geographisches Institut der Universität, Zürich, 182 p.
15. Birks H.H. (1975). Studies in the vegetational history of Scotland. 4. Pine stumps in Scottish blanket peats. - Phil. Trans. R. Soc. Lond., B. 270 (905): 181-226.
16. Blasing T.J., (1978). Time series and multivariate analysis in paleoclimatology. - Time Series and Ecological Processes, No. 5: 212-226.
17. Blasing T.J., Duvick D.N. (1984). Reconstruction of precipitation history in North American corn belt using tree rings. - Nature, Vol. 307, No. 5947: 143-145.
18. Blasing T.J., Fritts H.C. (1973). Past Climate of Alaska and Northwestern Canada as Reconstructed from Tree Rings. - Climate of the Arctic: 48-58.
19. Blasing T.J., Solomin A.M., Duvick D.N. (1984). Response functions revisited. - Tree-Ring Bulletin, 44: 1-15.
20. Blasing T.J., Stahle D.W., Duvick D.N. (1988). Tree ring - based reconstruction of annual precipitation in the South - Central United States from 1750 to 1980. - Water Resources Research, vol. 24, No 1: 163-171.

- 115
- 21.Bradley R.S., Jones P. D., (1992). When was the " Little Ice Age". - Proceedings of the International Symposium on the Little Ice Age Climate, Tokio: 1-4.
- 22.Briffa K.R., (1987). Relationships between British climate and the radial growth of *Quercus* species - an empirical approach to climate reconstruction. - Applications of Tree-ring Studies. BAR International Series 333: 69 - 89.
- 23.Briffa K.R. (1992). Dendroclimatological reconstructions in Northern Fennoscandia. - Proceedings of the International Symposium on the Little Ice Age Climate, Tokyo: 5-10.
- 24.Briffa K.R. (1992). Increasing productivity of "natural growth" conifers in Europe over the last century. - Proceedings of the International Dendrochronological symposium, Ystad - 1990, Lund: 64-71.
- 25.Briffa K.R., Bartholin T., Eckstein D., Jones P.D., Karlen W., Schweingruber F.H., Zetterberg P. (1990). A 1,400-year tree-ring record of summer temperatures in Fennoscandia. - Nature, 346: 434-439.
- 26.Briffa K.R., Cook E.R. (1990). Methods of response function analysis. - In: Methods of dendrochronology: application in the environmental sciences (Eds. E.R.Cook and L.Kairiukstis), Kluwer: 240-247.
- 27.Briffa K.R., Jones P.D., Bartholin T., Eckstein D., Schweingruber F.H., Karlen W., Zetterberg P., Eronen M. (1992). Fennoscandian summers from AD 500: temperature changes on short and long timescales. - Climate Dynamics, 7: 111-119.
- 28.Briffa K.R., Jones P.D., Wigley T.M.L., Pilcher J.R., Baillie M.G.L. (1983) Climate reconstruction from tree rings. Part 1. Basic methodology and preliminary results for England. - J. of Climatology, 3: 233 - 242.
- 29.Briffa K.R., Jones P.D., Wigley T.M.L., Pilcher J.R., Baillie M.G.L. (1988) Climate reconstruction from tree rings. Part 2. Spatial reconstruction of summer mean sea level pressure patterns over Great Britain. - Journal of Climatology, 6: 1-15.
- 30.Briffa K.R., Jones P.D., Schweingruber F.H. (1988). Summer temperature patterns over Europe: A reconstruction from 1750 AD based on maximum latewood density indices of conifers. - Quaternary Research, 30: 36-52.
- 31.Brinkmann W.A.R. (1989). Comparison of two indicators of climatic change: tree growth and Lake Superior water supplies. - Quaternary Research, 32: 51-59.
- 32.Brown D.M. & Baillie M.G.L. (1992). Construction and dating of a 5000 year English bog oak tree-ring chronology. - Proceedings of the International Dendrochronological symposium, Ystad - 1990, Lund: 72-75.
- 33.Budriūnas A.R., Bitvinskas T. (1987). Some regularities in the dynamics of the radial increment of the scotch pine with the respect to spatial - ecological factors of the western regions of the Soviet Union. - In.: Methods of Dendrochronology (eds Kairiukstis L., Bednarz Z., Felikstik E.). Vol. I, Warszaw: 580 - 604.
- 34.Cleaveland M.K., Stahle D.W. (1989). Tree-ring analysis of surplus and deficit runoff in the White River, Arkansas. - Water Resources Research. Vol.25, No.6: 1391-1401.
- 35.Continental Drilling for Paleoclimatic Records (ed. S.M.Colman), (1996). - PAGES Workshop Report Series, 96 - 4.
- 36.Cook E.R., Holmes R.L. (1986). Users manual for program ARSTAN. - In: R.L.Holmes, R.K.Adams, H.C.Fritts (eds.), Tree-ring chronologies of western North America: California, eastern Oregon and northern Great Basin. Chronology Series VI . Tucson: Univ. of Arizona : 510-565.

- 37.Cook E.R., Jacoby G.C. (1977). Tree ring - drought relationships in the Hudson Valley. - New York. Science, 198: 399-401.
- 38.Cook E.R., Jacoby G.C. (1983). Potomac River streamflow since 1730 as reconstructed by tree rings. - J. Clim. Appl. Meteorol., 22: 1659-1672.
- 39.Dagys J. (1980). Augalų ekologija. - Vilnius, 239 p.
- 40.Delorme A., Leuschner H., Tuxen J., Höfle H., (1983). Der subatlantische Torfeichen-Horizont "Sieden", erneut belegt im Toten Moor am Steinhuder Meer. - Telma, Band 13: 33-51.
- 41.Dendrologija (sud. V.Ramanauskas), (1973). - Vilnius, 319 p.
- 42.Douglass A.E. (1914). A method of estimating rainfall by the growth of trees. The Climatic Factor. - Carnegie Institute of Washington Publications, 192: 101-122.
- 43.Douglass A.E. (1921). Dating our prehistoric ruins. - Natural History, 21(1): 27-30.
- 44.Douglass A.E. (1937). Tree rings and chronology. - Phys. Sci. Bull. (Arizona), N. 1.
- 45.Dutilleul P., Till C. (1989). Detection of atypical years in tree-ring series by construction of a temporal walk in the principal components planes. - Tree-Ring Bulletin, 49: 11-21.
- 46.Eckstein D. (1979). Die Dendrochronologie in Baugeschichte und Volkskunde. - Allgemeine Forst Zeitschrift, 49: 1348-1351.
- 47.Eckstein D. (1986). Temperature fluctuations in Western Europe during the last 1000 years as derived from tree rings and other proxy indicators. Regional Resource Management - Papers presented at the workshop September 30 - 4 October, 1985, Albena, Bulgaria: 33 - 46.
- 48.Eckstein D. (1989). Qualitative assessment of past environmental changes - In: Methods of Dendrochronology (Eds. E.R.Cook and L.Kairiukstis), Kluwer: 220-224.
- 49.Eckstein D. (1992). The assessment of shoot growth as a dendrochronological variable. - Proceedings of the International Dendrochronological symposium, Ystad - 1990, Lund: 89.
- 50.Eckstein D., Aniol R. (1981). Dendroclimatological reconstruction of the summer temperatures for an Alpine region. Dickenwachstum der Bäume - Mitteilungen der Forstlichen Bundesversuchsanstalt. Heft 142, Wien : 391-398.
- 51.Eckstein D., Wažny T., Bauch J. & Klein P. (1986). New evidence for the dendrochronological dating of Netherlandish paintings. - Nature, 320: 465-466.
- 52.Edouard J.L., Tessier L., Thomas A. (1992). Holocene paleoenvironment in the French Alps: dendrochronological approach. - Proceedings of the International Dendrochronological symposium, Ystad - 1990, Lund: 90-93.
- 53.Eklund B., (1956). The annual ring variations in spruce in the centre of northern Sweden and their relation to the climatic conditions. - Neddelanden Fran Statens Skogforskningsinstitut, 47: 2 - 63.
- 54.Eronen M., Hyvärinen H. (1982). Subfossil pine dates and pollen diagrams from northern Fennoscandia. - Geologiska Föreningens i Stockholm Förhandlingar 103: 437-445.
- 55.Eronen M., Huttunen P., Zetterberg P. (1991). Opportunities for dendroclimatological research in Fennoscandia. - Paleoclimate Research, Vol.6. Strasbourg.
- 56.Eronen M., Zetterberg P., Huttunen P. (1986). Climatic fluctuations in Norden as derived from tree rings and other proxy data. - Papers presented at the IIASA

- Workshop on "Regional Resource Management", September 30-4 October, 1985, Albena, Bulgaria: 75 - 110.
57. Eronen M., Zetterberg P. (1992). Dendrochronology and climatic history in the Subarctic area of Fennoscandia. - The Finish research programme on climate change, Helsinki: 13-18..
58. Ferguson C.W. (1969). A 7104 year annual tree-ring chronology for Bristlecone Pine (*Pinus aristata*) for the White Mountains of California. - *Tree-Ring Bulletin*, 29, (3-4): 3-29.
59. Ferguson C.W., Graybill D.A. (1983). Dendrochronology of Bristlecone pine: a progress report. - *Radiocarbon* 25: 287-288.
60. Fletcher J.M. (1978). Dendrochronology in Europe. - Oxford, B.A.R., International Series, No 51.
61. Fritts H.C. (1976). *Tree Rings and Climate*. - Academic Press, London, 567 p.
62. Fritts H.C. (1987). Principles and practices of dendroecology. - Proceedings of the International Symposium on Ecological Aspects of Tree - Ring Analysis, August 17 - 21, 1986, Marymount College, Tarrytown, New York: 6 - 17.
63. Fritts H.C., Guiot J., Gordon G.A., Schweingruber F.H. (1989) Methods of calibration, verification and reconstruction. - In: *Methods of dendrochronology: application in the environmental sciences* (Eds. E.R.Cook and L.Kairiukstis), Kluwer: 163-217.
64. Fritts H.C., Shatz D.J. (1975). Selecting and characterizing tree-ring chronologies for dendroclimatic analysis. - *Tree-Ring Bulletin*, 35: 31-40.
65. Fritts H.C., Vaganov E.A., Sviderskaja I.V., Shashkin A.V. (1992). Modeling tree-ring climatic relationships. - Proceedings of the International Dendrochronological symposium, Ystad - 1990, Lund: 104-108.
66. Groves C., Hillam J. (1988). The potential of non-oak species for tree-ring dating in Britain. - Proceedings of a conference on the application of scientific techniques to archaeology, Glasgow - 1987. BAR British Series 196: 567 - 579.
67. Gudelis V. (1958). Lietuvos geografinės aplinkos raida geologinėje praeityje. - In: *Lietuvos TSR fizinė geografija*, Vilnius : 42-101.
68. Hawley F.M. (1937). Relationship of southern cedar growth to precipitation and runoff. - *Ecology*, 18: 398-405.
69. Hillam J., Morgan R.A., Tyers I. (1987). Sapwood estimates and the dating of short ring sequences. - *Applications of Tree-Ring Studies*. B.A.R. International Series, 333: 165-185.
70. Hillam J. (1987). Problems of dating and interpreting results from archaeological timbers. - B.A.R. International Series, 333: 141-155.
71. Holmes R.L. (1983). Computer - assisted quality control in tree-ring dating and measurement. - *Tree-Ring Bull.*, 43: 69-78.
72. Hollstein E. (1979). *Mitteleuropäische Eichenchronologie*. - Mainz am Rhein.
73. Huber B., Giertz V. (1970). Central European Dendrochronology for the Middle Ages. *Scientific Methods in Mediaeval Archaeology*. - Berkeley and Los Angeles.
74. Hughes M.K., Brown P.M. (1992). Drought frequency in central California since 101 B.C. recorded in giant sequoia tree rings. - Proceedings of the International Dendrochronological symposium, Ystad - 1990, Lund: 90-93.
75. Hustich I. (1981). Some remarks on the climate / tree growth relation in Northern Europe. - *Dickenwachstum der Bäume - Mitteilungen der Forstlichen Bundesversuchsanstalt*. Heft 142, Wien: 309-325.

- 76.Jacoby G.C., Cook E.R. (1981). Past temperature variations inferred from a 400-year tree-ring chronology from Yukon territory, Canada. - Arctic and Alpine Research, Vol. 13, No. 4: 409-418.
- 77.Jacoby G.C., Cook E.R., Ulan L.D. (1985). Reconstructed summer degree days in Central Alaska and Northwestern Canada since 1524. - Quaternary Research, 23: 18-26.
- 78.Jacoby G.C., Ivanciu I.S., Ulan L.D. (1988). A 263-year record of summer temperature for Northern Quebec reconstructed from tree-ring data and evidence of a major climatic shift in the early 1800's. - Palaeography, Palaeoclimatology, Palaeoecology, vol. 64: 69-78.
- 79.Jalkanen R., Kurkela T. (1992). VB - method for the determination of pine defoliation in the past. - Proceedings of the International Dendrochronological symposium, Ystad - 1990, Lund: 153-157.
- 80.Jones P.D., Bradley R.S. (1992). Global - scale temperature changes during the period of instrumental records. - Proceedings of the International Symposium on the Little Ice Age Climate, Tokio: 253 - 255.
- 81.Kabailienė M. (1979). Taikomosios palinologijos pagrindai. - Vilnius, 147 p.
- 82.Kabailienė M. (1990). Lietuvos Holocenas. - Vilnius, 176 p.
- 83.Kairaitis J., Karpavičius J. (1996). Radial growth peculiarities of oak (*Quercus robur L.*) in Lithuania. - Ekologija (Vilnius), Nr. 4: 12 - 19.
- 84.Kairiukstis L., J.Grigaliunas, L.Skuodiene, Stravinskienė V. (1987). Physiological and dendrochronological indications of forest decline and their application for monitoring. Forest Decline and Reproduction: Regional and Global Consequences. - Proceedings of a workshop held in Krakow, Poland, 23-27 March 1987, Laxenburg: 151-168.
- 85.Kaiser K.F. (1987). Late glacial reforestation in the Swiss Mittelland and in Wisconsin illustrated by the Deattnau and the Two Creeks buried forests. - Proc. of the Int. Symposium on Ecological Aspects of Tre-Ring Analysis, Aug. 17-21, 1986, New York: 291-297e.
- 86.Kaiser K.F., Eicher U. (1987). Fossil pollen, molluscs, and stable isotopes in the Dättnau valley, Switzerland. - Boreas, Vol.16.: 293-303.
- 87.Kalicki T., Krąpiec M. (1995). Problems of dating alluvium using buried subfossil tree trunks: lessons from the 'black oaks' of the Vistula Valley, Central Europe. - The Holocene, 5(2): 243 - 250.
- 88.Kienast F., Kuhn N. (1989). Simulating forest succession along ecological gradients in southern Central Europe. - Vegetatio 79: 7-20.
- 89.Kienast F., Schweingruber F.H. (1986). Dendroecological studies in the Front Range, Colorado, U.S.A. - Arctic and Alpine Research, Vol.18, 3: 277-288.
- 90.Krąpiec M., (1992). Skale dendrochronologiczne późnego holocenu poludniowej i centralnej Polski. - Geologija t. 18, z.3, Krakow: 37-119.
- 91.Kriukelis R. (1995). *Pinus sylvestris* paežerių medynų radialinio prieaugio fluktuacijų analizė. Gamtos mokslo daktaro disertacija. - Vilnius.
- 92.Kunskas R. (1986). Lietuvos pelkių durpėdara ir mineralizacija, jų kladų būklė. - Geografijos metraštis (Vilnius), XXII - XXIII: 40 - 58.
- 93.Lageard J.G.A., Chambers F.M., Thomas P.A. (1992). Paleoforest reconstruction from peat exhumations at White Moss, South Cheshire, UK. - Proceedings of the International Dendrochronological symposium, Ystad - 1990, Lund: 172-176.

- 94.LaMarche V.C., Jr., (1968). Rates of slope degradation as determined from botanical evidence, White Mountains, California. U.S. - Geol. Surv. Prof. Pap. Vol. 352 (I): 341 - 347.
- 95.LaMarche V.C., Jr., Fritts H.C. (1971). Tree-rings, glacial advance and climate in the Alps. - Zeitschrift für Gletscherkunde und Glazialgeologie, Bd. VII, Heft 1-2: 126-131.
- 96.LaMarche V.C., Jr., Fritts H.C. (1972). Tree rings and sunspot numbers. - Tree Ring Bull. Vol. 32: 19 - 33.
- 97.Lamb H.H. (1981). Climate: Present, Past and Future. V. 1, 2. - London - New York
- 98.Leuschner H.H. (1992). Subfossil trees. - Proceedings of the International Dendrochronological symposium, Ystad - 1990, Lund: 193-197
- 99.Leuschner H.H., Delorme A., Höfle H.C. (1987). Dendrochronological study of oak trunks found in bogs in Northwest Germany. - Proceedings of the International Symposium on Ecological Aspects of Tree-Ring Analysis, August 17-21, 1986, Marymount College, Tarrytown, New York: 298-318.
- 100.Lietuvos klimato žinynas. Krituliai (Red. J.Mikalajūnienė)(1991), Vilnius, 122p.
- 101.Lietuvos klimato žinynas. Oro temperatūra (Red. G.Alosevičienė) (1992). - Vilnius, 140 p.
- 102.Lietuvos TSR durpynų kadastras (1966). - Vilnius, 192 p.
- 103.Läänelaid A. (1981). Pines on bogs as indicators of fires in the past. - Anthropogenous changes in the plant cover of Estonia. Tartu : 91 - 94.
- 104.Läänelaid A. (1982). Radial increment of bog pines and climatic changes. - In: Peatland Ecosystems. Estonian Contributions to the International Biological Programme, No 9. Tallin: 134 - 147.
- 105.McNally A., Doyle G.J. (1984 a). A study of subfossil pine layers in a raised bog complex in the Irish Midlands - I. Palaeowoodland extent and dynamics. - Proceedings of the Royal Irish Academy, vol. 84, B, No. 6: 57-70.
- 106.McNally A., Doyle G.J. (1984 b). A study of subfossil pine layers in a raised bog complex in the Irish Midlands - II. Serial relationships and floristics. - Proceedings of the Royal Irish Academy, vol. 84, B, No. 7: 71-81.
- 107.Mc Vean D.N. (1963 a). Ecology of Scots pine in the Scottish Highlands. - J. Ecol. 51: 671-686.
- 108.Mc Vean D.N. (1963 b). Growth and mineral nutrition of Scots pine seedlings on some common peat types. - J. Ecol. 51: 657-670.
- 109.Meko D., Hughes M., Stockton C., (1991). Climate change and climate variability: the paleo record. Managing Water Resources in the West under Conditions of Climate Uncertainty - Proceedings of a Colloquium November 14-16, 1990, Scottsdale, Arizona : 71-100.
- 110.Meko D.M., Stockton C.W., Bogges W.R. (1980). A tree-ring reconstruction of drought in southern California. - Water Resources Bulletin, 16(4): 594-600.
- 111.Mikola P. (1978). Consequences of climatic fluctuation in forestry. - Fennia, 150: 39-43.
- 112.Mills C. (1992). Dating short tree-ring sequences: an evaluation of three statistical procedures. - Proceedings of the International Dendrochronological symposium, Ystad - 1990, Lund: 225-229.
- 113.Mitchell J.M. Jr. (1980). History and mechanisms of climate. - Das Klima - Analysen und Modelle, Geschichte und Zukunft. Berlin: 31 - 42.

- 114.Munaut A.V. (1966 a). Recherches dendrochronologiques sur *pinus silvestris*. I. Etude de 45 pins sylvestres récents originaires de Belgique. - Agricultura (Belg.), Vol.14, N2: 193-232.
- 115.Munaut A.V. (1966 b). Recherches dendrochronologiques sur *pinus silvestris*. II. Première applications des méthodes dendrochronologiques à l'étude de pinus sylvestres subfossiles (Terneuzen, Pays-Bas). - Agricultura (Belg.), Vol.14, N3: 361-389.
- 116.Munro M.A.R. (1984). An improved algorithm for crossdating tree-ring series. - Tree-Ring Bulletin, Vol.44: 17-27.
- 117.Munzar J. (1988). The climate in Central Europe in historical past and possibilities of its reconstruction. - Historical Geography, 27, Separatum. Prague: 109-122.
- 118.Natkevičaitė - Ivanauskienė M. (1983). Botaninė geografija ir fitocenologijos pagrindai. - Vilnius, 280 p.
- 119.Oleksyn J. (1980). Wpływ aktywności Słońca na cykliczne zmiany rocznych przyrostów grubości sosny zwyczajnej i smolowej z terenu Puszczy Niepołomickiej. - Arboretum Kornickie, Rocznik XXV - 1980: 311 - 317.
- 120.Olsen H.C. (1992). Extremes in tree-ring indices of Norway spruce explained by weather. - Proceedings of the International Dendrochronological symposium, Ystad - 1990, Lund: 238-241.
- 121.PANASH: Paleoclimates of the Northern and Southern Hemispheres (1995). - PAGES series, 95 - 1.
- 122.Pelfini M. (1993). Impact on radial growth of the opening of a new ski - run on conifers in Bornio, Italy. - Dendrochronologia, 11: 45 - 54.
- 123.Pikšrytė R. (1989). Pelkinių augimviečių pušies radialinio prieaugio grupinio kitimo savybės. - Jaunuju mokslininkų straipsnių rinkinys, Lietuvos Mokslo akademija, Vilnius: 108 - 116.
- 124.Pikšrytė R. (1994). Influence of climate on the radial growth of *Pinus sylvestris* in a peat bog of Lithuania. - Abstracts of the International Conference on Tree Rings, Environment, and Humanity: Relationships and Processes, May 17 - 21, 1994, Tucson, Arizona, USA: 44.
- 125.Pikšrytė R. (1994). *Pinus sylvestris* forest phases in Užpelkių Tyrelis peat bog (Western Lithuania) during the Subatlantic period as derived by crossdating subfossil timber. - Abstracts and papers of the conference on geochronology and dendrochronology of old town's and radiocarbon dating of archaeological findings, Vilnius/Lithuania, Oct. 3 - Nov. 4 , 1994: 32.
- 126.Pikšrytė R. (1995). Dendrochronological study on palaeowoodland dynamics in a western Lithuanian peat bog. - Abstracts of International Meeting " Absolute Dating Methods", Gliwice, Poland : 49.
- 127.Pikšrytė R. (1996). Dendrochronological study on palaeowoodland dynamics in a western Lithuanian peat bog. - Zeszyt Zawiera Materiały V Konferencji " Metody chronologii bezwzględnej", Gliwice Rudy, 6-8 kwietnia, 1995, Poland. Zeszyty Naukowe Politechniki Śląskiej. Matematyka - Fizyka, Nr. 1330, Z. 79, Geochronometria 13, Gliwice: 203 - 214.
- 128.Pikšrytė - Pukienė R. (1996). 2000 years woodland history in Užpelkių Tyrelis peat bog. - Abstracts of Conference of the European Dendrochronology Workshop 2 - 5 May, 1996, Moudon, Switzerland : 38.

- 129.Pikšrytė R., Bitvinskas T. (1996). Tree-rings of different species and environment. - Proceedings of the International Meeting on " Baltic Network of Biodiversity and Productivity of Selected Species in Coastal Ecosystems", 4-8 October 1995, Nida, Lithuania. Vilnius: 43 - 44.
- 130.Pikšrytė R., Bitvinskas T. (1996) The usage of dendrochronological data of *Pinus sylvestris* and the possibilities of its expansion. - Proceedings of the International Meeting on " Baltic Network of Biodiversity and Productivity of Selected Species in Coastal Ecosystems", 4-8 October 1995, Nida, Lithuania. Vilnius: 45 - 47.
- 131.Pilcher J.R., Baillie M.G.L., Schmidt B., Becker B. (1984). A 7272 - year tree-ring chronology for western Europe. - Nature, Vol. 312: 150-152.
- 132.Renner F. (1982). Beiträge zur Gletschergeschichte des Gotthardgebietes und Dendroklimatologische Analysen an Fossilien Hölzern. - Geographisches Institut der Universität, Zürich, 180 p.
- 133.Roig F.A., Boninsegna J.A. (1992). Chiloe Island (Chile) summer precipitation reconstructed for 426 years from *Pilgerodendron uviferum* tree-ring chronologies. - Proceedings of the International Dendrochronological symposium, Ystad - 1990, Lund: 277-280.
- 134.Sass U., Eckstein D. (1992). The annual vesel area of beech as an ecological indicator. - Proceedings of the International Dendrochronological symposium, Ystad - 1990, Lund: 281-285.
- 135.Schiyatov S.G. and Mazepa V.S. (1986). Natural fluctuations of climate in the eastern regions of the USSR based on tree ring series. - Papers presented at the IIASA Workshop on "Regional Resource Management", September 30-4 October, 1985, Albena, Bulgaria: 47 - 74.
- 136.Schou J. & Rytter E. (1992). Dendrochronological dating using scanning and imageprocessing. - Proceedings of the International Dendrochronological symposium, Ystad - 1990, Lund: 286-287.
- 137.Schove D.J. (1974). Dendrochronological dating of oak from Old Windsor, Berkshire c. 650-906. - Medieval Archaeol, XVII: 165-172.
- 138.Schweingruber F.H. (1983). Der Jahrring. - Bern, Stuttgart, 234 p.
- 139.Schweingruber F.H. (1986). Tree rings as indicators for normal and anthropogenic environmental changes. - Papers presented at the IIASA Workshop on "Regional Resource Management", September 30-4 October, 1985, Albena, Bulgaria: 123 - 142.
- 140.Schweingruber F.H., Bartolin T., Schar E., Briffa K.R. (1988). Radiodensitometric - dendroclimatological conifer chronologies from Lapland (Scandinavia) and the Alps (Switzerland). - Boreas, Vol. 17, Oslo: 559-566.
- 141.Schweingruber F.H., Braeke O.U., Schaer E. (1978). Dendroclimatic studies in Great Britain and in the Alps. - Int. Conf. Evolution of planetary atmospheres and climatology of the earth, 16-20 Oct. 1978, Nice: 369-372.
- 142.Schweingruber F.H., Briffa K.R., Jones P.D. (1991). Yearly maps of summer temperatures in Western Europe from A.D. 1750 to 1975 and Western North America from 1600 to 1982. - Vegetatio, 92: 5 - 71.
- 143.Schär E., Schweingruber F.H. (1988). 4000 year's forest development in pre-christian times near a mountain lake in the Alps. - Dendrochronologia, 6: 131-140.
- 144.Seibutis A. (1958). Lietuvos pelkės. - In: Lietuvos TSR fizinė geografija, Vilnius: 337-382.

- 145.
145. Seibus A. (1966). Geobotaninė durpių telkinių tipologija. - In: Lietuvos TSR durpynų kadastras. Vilnius: 12 - 27.
146. Serre-Bachet F. (1992). Annual temperature reconstructions for the mediterranean area (1700-1979). - Proceedings of the International Dendrochronological symposium, Ystad - 1990, Lund: 293-297.
147. Shulman E. (1951). Tree-ring indices of rainfall, temperature and river flow. Compendium of Meteorology. - American Meteorological Society, Boston: 1024-1029.
148. Shulman E. (1956). Dendroclimatic Change in Semiarid America. - University of Arizona Press.
149. Siren G. (1965). Tree rings and climate forecasts. - New Scientist, 146: 18 - 25.
150. Skaisgiry V. (1966). Durpių fondas. - In: Lietuvos TSR durpynų kadastras. Vilnius: 27 - 29.
151. Songailienė A., Ženauškas K. (1985). Tyrimo duomenų biometrinis vertinimas. - Vilnius, 167 p.
152. Stahle D.W., Cleaveland M.K., Hehr J.G., (1988). North Carolina climate changes reconstructed from tree-rings: A.D. 372 to 1985. - Science, vol.140: 1517-1519.
153. Stahle D.W., Cleaveland M.K. (1988). Texas drought history reconstructed and analyzed from 1698 to 1980. - Journal of Climate. Vol.1: 59-74.
154. Stahle D.W., Cleaveland M.K., Cerveny R.S. (1991). Tree-ring reconstructed sunshine duration over central USA. - International Journal of Climatology, Vol.11: 285-295.
155. Stockton C.W. (1975). Long-term streamflow records, reconstructed from tree-rings. - Papers of the Laboratory of Tree-Ring Research, No5, University of Arizona, Tucson.
156. Stockton C.W., Fritts H.C. (1973). Long-term reconstruction of water level changes of lake Athabasca by analysis of tree rings. - Water Resources Bulletin, 9: 1006-1027.
157. Stockton C.W., Meko D.M. (1975). A long-term history of drought occurrence in Western United States as inferred from tree-rings. - Weatherwise, 28 (6): 244-249.
158. Stravinskienė V., Kairiukstis L. (1987). Dendrochronologies for moist forests of the Lithuanian SSR and their application for ecological forecasting. - Dendrochronology around the Baltic, Helsinki: 119-135.
159. Stravinskienė V., Kairiukstis L., (1992). Application of dendrochronology in regional monitoring of forest decline. - Proceedings of the International Dendrochronological symposium, Ystad - 1990, Lund: 159-161.
160. Studhalter R.A. (1956). Early history of crossdating - Tree-Ring Bulletin, 21.
161. Stuiver M., Pearson G.W. (1986). High-precision calibration of the radiocarbon time scale, AD 1950 - 500 BC. - Internatl 14C Conf, 12th Proc: Radiocarbon v.28, no 2b: 805-838.
162. Tallis J.H. (1975). Tree remains in southern Penine peats. - Nature, 256 (5517): 482-4.
163. Van der Plicht J. and Mook W.G. (1989). Calibration of radiocarbon ages by computer. - Radiocarbon, Vol.31, No.3: 805-816.
164. Vilenkinas N. (1979). Kombinatorika. - Kaunas, 248 p.
165. Vogel J.C., Casparie W.A., Munaut A.V. 1969. Carbon-14 trends in subfossil pine stubs. -Science, 166: 1143-1145.

- 166.Ważny T. (1990). Aufbau und Anwendung der Dendrochronologie für Eichenholz in Polen. - Dissertation zur Erlangung des Doktorgrades des Fachbereichs Biologie der Universität Hamburg. Hamburg, 213 p.
- 167.Ważny T. (1992). Historical timber trade and its implications on dendrochronological dating. - Proceedings of the International Dendrochronological symposium, Ystad - 1990, Lund: 331-333.
- 168.Ważny T., Eckstein D. (1991). The dendrochronological signal of oak (*Quercus* spp.) in Poland. - *Dendrochronologia*, 9: 35 - 50.
- 169.Wonnacott T.H., Wonnacott R.J. (1979). Regression: a second course in statistics. - New York, 556 p.
- 170.Zetterberg P., Meriläinen J. (1987). A pine chronology for eastern Finland and the dating of historical timber constructions. - *Dendrochronology around the Baltic*, Helsinki: 57-63.
- 171.Zielski A. (1987). The laboratory of dendrochronology in Toruń - process of organization. - *Dendrochronology around the Baltic*, Helsinki: 105-109.
- 172.Аболин Р.И. (1915). Болотные формы сосны *Pinus sylvestris*. Тр. Бот. музея АН, Т.14.
- 173.Адаменко М.Ф. (1979). Реконструкция динамики термического режима летних месяцев на территории Горного Алтая в XIV - XX вв. - *Дендрохронология и дендроклиматология*. Москва: 110 - 113.
- 174.Адаменко В.Н. (1983). Изменения климата и природных ресурсов как междисциплинарная проблема. - *География и природные ресурсы*, 1.
- 175.Балявичене Ю. (1991). Синтаксономо-фитогеографическая структура растительности Литвы. - Вильнюс, 218 с.
- 176.Бараш С.И. (1989). История нёурожаев и погоды в Европе. - Ленинград, 237 с.
- 177.Беднаж З. (1975). Географический предел подобия кривых годичных приростов кедра европейского (*Pinus cembra* L.) в Европе. - *Биологические основы дендрохронологии* (Материалы к симпозиуму ХII - того международного ботанического конгресса, Ленинград, июль, 1975). Вильнюс - Ленинград: 75-83.
- 178.Белонин М. Д., Голубева В.А., Скублов Г.Т. (1982). Факторный анализ в геологии. - Москва.
- 179.Берри Б.Л., Либерман А.А., Лукьянова Л.М., Турманина В.И. (1979). Выявление с помощью ЭВМ периодов вековых колебаний климата по дендрохронологическим рядам. - *Ритмы гляциальных процессов*, Москва: 135 - 148.
- 180.Березина Н., Лисс О., Самсонов С. (1983). Мир зеленого безмолвия. - Москва, 159 с.
- 181.Битвинскас Т. (1972). О некоторых вопросах синхронизации (верификации) в дендроклиматохронологических исследованиях и о принципах классификации и отбора дендрохронологического материала. - *Дендроклиматохронология и радиоуглерод*. Каунас: 148 - 158.
- 182.Битвинскас Т. (1974). Дендроклиматические исследования. - Ленинград, 172 с.
- 183.Битвинскас Т. (1978). К вопросу о возможности построения сверхдолгосрочных дендрошкал в Южной Прибалтике. - Условия среды и радиальный прирост деревьев. Каунас: 45 - 51.

- 
- 184.Битвинскас Т.Т. (1979). Опыт использования реперной системы солнечной активности для изучения закономерностей изменчивости радиального прироста деревьев. - Дендрохронология и дендроклиматология. Москва: 174 - 179.
- 185.Битвинскас Т., Дергачев В.А., Кайрюкшис Л.А., Kocharov Г.Е., Янкявичюс К.К. (1975). Разработка биоЭкологических основ дендрохронологии в СССР. - Биологические основы дендрохронологии (Материалы к симпозиуму XII - того международного ботанического конгресса, Ленинград, июль, 1975. Вильнюс - Ленинград: 5-12
- 186.Битвинскас Т., Савукинене Н., Григялите М. (1981). Развитие болота Аукштои Плинья и растительного покрова его окрестностей и дендрохронологический материал торфяника. - Пространственные изменения климата и годичные кольца деревьев, Каунас: 14-20.
- 187.Борисенков Е.П., Пасецкий В.М. (1983). Экстремальные природные явления в русских летописях XI-XVII вв.- Ленинград, 240 с.
- 188.Будрюнас Р.-А., Жеймавичюс К. (1990). Выявление воздействия Экстремальных климатических условий Литвы на радиальный прирост псевдотсуги сизой. - Адаптационная изменчивость растений при интродукции. Рига: 33 - 36.
- 189.Букантис А. (1992). Экстремальные зимы Прибалтики. Дисс. на соискание ученой степени доктора географических наук. - Санкт-Петербург - Вильнюс.
- 190.Бузыкина А.И., Дашковская И.С., Хлебопрос Р.Г. (1986). Характеристика динамики радиального прироста древостоев.- Лесоведение, 6: 31-38.
- 191.Дергачев В.А., Kocharov Г.Е. (1981). Проявление закономерностей некоторых природных процессов в прошлом в концентрации радиоуглерода годичных колец древесины. - Пространственные изменения климата и годичные кольца деревьев, Каунас: 27-39.
- 192.Елина Г.А. (1987). Многоликие болота. - Ленинград, 191 с.
- 193.Жуковская В.М., Мучник И.Б. (1976). Факторный анализ в социально - экономических исследованиях. - Москва, 152 с.
- 194.Зайцева Г.И., Марков Ю.Н., Мешхарашили Р.Я., Оболенская А.В. (1987). Особенности радиоуглеродных исследованиях с ископаемой древесиной. - Временные и пространственные изменения климата и годичные кольца деревьев, ч.2, Каунас: 30-52.
- 195.Карпавичюс Й.А. (1981, а). Выпадающие годичные кольца сосен (*Pinus sylvestris L.*) произрастающих в болоте "Аукштои Плинья". - Пространственные изменения климата и годичные кольца деревьев. Каунас: 40-44.
- 196.Карпавичюс Й.А. (1981, б). Чувствительность (изменчивость) отдельных деревьев сосны в нормальных и болотных условиях среды. - Пространственные изменения климата и годичные кольца деревьев, Каунас: 62-68.
- 197.Карпавичюс Й.А. (1984, а). Групповая изменчивость радиального прироста сосны в болотных условиях произрастания. Временные и пространственные изменения климата и годичные кольца деревьев, ч.1, Каунас: 74-80.

198. Карпавичюс Й.А. (1984, б). Групповая изменчивость радиального прироста сосны в нормальных условиях произрастания. Временные и пространственные изменения климата и годичные кольца деревьев, ч.1, Каунас: 86-93.
199. Карпавичюс Й.А. (1984, в). Индивидуальная и групповая изменчивость радиального прироста сосны обыкновенной в подзоне смешанных лесов. Дисс. на соискание ученой степени кандидата сельскохозяйственных наук. - Минск.
200. Карпавичюс Й. (1994). О некоторых проблемах, возникающих при составлении долгосрочных серий годичных колец деревьев. - *Ekologija* (Vilnius) Nr. 3: 3 - 12.
201. Кац Н.Я. (1948). Типы болот СССР и Западной Европы и их географическое распространение. - Москва, 320 с.
202. Климатологический справочник СССР, (1954); Вып. 6, Литовская ССР и Калининградская обл. РСФСР, ч. II. Осадки. - Ленинград.
203. Климатологический справочник СССР, (1969); Вып. 6, Литовская ССР и Калининградская обл. РСФСР, ч. I. Температура воздуха и почвы. - Ленинград.
204. Климатологический справочник СССР, (1969); Вып. 6, Литовская ССР и Калининградская обл. РСФСР, ч. II.. Атмосферные осадки. - Ленинград.
205. Кобышева Н.В., Костин С.И., Струников Е.А. (1980). Климатология. - Ленинград, 344 с.
206. Колемаев В.А., Староверов О.В., Турундаевский В.Б. (1991). Теория вероятностей и математическая статистика. - Москва, 400 с.
207. Колчин Б.А. (1979). Дендрохронологические шкалы Новгорода и Белоозера. - Дендроклиматологические шкалы Советского Союза, Каунас: 82-102.
208. Колчин Б.А., Черных Н.Б. (1975). Абсолютные дендрохронологические шкалы северных регионов Восточной Европы протяжением в 12 столетий. - Биологические основы дендрохронологии (Материалы к симпозиуму XII - того международного ботанического конгресса, Ленинград, июль, 1975), Вильнюс - Ленинград: 27-32.
209. Колчин Б.А., Черных Н.Б. (1977). Дендрохронология Восточной Европы. - Москва.
210. Колchin Б.А., Черных Н.Б. (1981). Дендрохронологическая шкала второй половины II тысячелетия нашей эры (по археологическим материалам Приладожского и Приильменского регионов). - Дендроклиматологические шкалы Советского Союза, ч. 2, Каунас: 50-64.
211. Костин С.И. (1979). Связь изменений климата в современную эпоху с колебаниями его за прошлое время. Труды ГГО, вып. 403: 107-113.
212. Крамер П.Д., Козловский Т.Т. (1983). Физиология древесных растений. - Москва, 462 с.
213. Кунскас Р. (1984). Этапы развития оз. Биржулис - остатка лимногляциального бассейна Жемайтийской возвышенности. - *Geographia Lituanica*, Vilnius: 58-65.
214. Ларгин М.Ф., Лавровъ Н.В. (1986). Исследования состава и свойств торфяно - болотных вод в целях охраны окружающей среды. - Методы изучения болот и их охрана, Vilnius: 53-57.

215. Ле Руа Ладюри Э. (1971). История климата с 1000 года. - Ленинград, Гидрометеоиздат, 280 с.
216. Лир Х., Польстер Г., Фидлер Г.-И. (1974). Физиология древесных растений. - Москва, 421 с.
217. Лисс О.Л., Астахова В.Г. (1983). Лесные болота. - Москва, 128 с.
218. Лобжанидзе Д. (1972). Влияние климатических факторов на образование ложных колец древесины в Закавказье. - Дендроклиматохронология и углерод, Каунас: 62-65.
219. Ляхов М.Е. (1984). Климатические экстремумы в центральной части европейской территории СССР в XIII-XX вв. Изв. АН СССР, 6, -Москва.
220. Ляэнелайд А. (1979). Болотные формы сосны обыкновенной как индикаторы динамики верховых болот. Автореферат дисс. на соискание ученой степени кандидата биологических наук. - Тарту.
221. Ляэнелайд А. (1981 а). Изучение линейной связи прироста сосен с метеорологическими факторами при помощи двумерного анализа. - Пространственные изменения климата и годичные кольца деревьев, Каунас: 14-20.
222. Ляэнелайд А. (1981 б). Дендрошкалы болотных сосен Эстонской ССР. - Дендроклиматологические шкалы Советского Союза, ч. 2, Каунас: 71-73.
223. Мазепа В.С. (1986). Использование спектрального представления и линейной фильтрации стационарных последовательностей при анализе цикличности в дендрохронологических рядах. - Дендрохронология и дендроклиматология. Москва: 49 - 67.
224. Максимов А.А. (1989). Природные циклы. - Ленинград.
225. Метеорологические данные за отдельные годы по Литовской ССР и Калининградской области РСФСР, ч. I. Температура воздуха. (1953) - Вильнюс.
226. Метеорологические данные за отдельные годы. Вып. 6, по Литовской ССР и Калининградской области РСФСР. Ливневые дожди и суточные количества осадков за 1936-1959 гг. (1961) - Ленинград.
227. Мягков С.М. (1979). История климата нашей эры в Европе в связи с проблемой ритмичности и прогноза развития гляциальных процессов. - In: Ритмы гляциальных процессов. Москва: 7 - 23.
228. Нейштадт М.И. (1971). Палинология как наука и ее состояние в СССР. - Плен. докл. в III Международной палинологической конференции, Новосибирск - 1971, 14 с.
229. Оленин С.М., Мазепа В.С. (1987). Климатически обусловленная динамика радиального прироста сосны в ленточных борах Казахстана и его прогноз. - Временные и пространственные изменения климата и годичные кольца деревьев, ч.2, Каунас: 53-61.
230. Пакальникис Р. (1971). Исследования динамики и экологического оптимума некоторых компонентов озерного ландшафта. Автореферат дисс. на соискание ученой степени кандидата биологических наук. - Вильнюс.
231. Пакальникис Р. (1975). О синхронности колебания уровня воды в бессточных озерах Балтийс и Яскутис. - Биологические основы дендрохронологии (Материалы к симпозиуму XII - того международного ботанического конгресса, Ленинград, июль, 1975, Вильнюс - Ленинград: 55-60.

232. Пакальникис Р. (1978). Дендрохронологические исследования колебаний уровня воды в озерах. - Условия среды и радиальный прирост деревьев. Каунас: 37-38.
233. Пакальникис Р. (1981). Дендрохронологические шкалы сосны обыкновенной (*Pinus sylvestris L.*) для двух бессточных водосборных бассейнов восточной Литвы. - Дендроклиматологические шкалы Советского Союза, ч. 2, Каунас: 74-76.
234. Пикшрите Р., Битвинскас Т. (1988). Структура и динамика радиального прироста сосны обыкновенной (*Pinus sylvestris L.*) в торфянике Ужпяльку Тирялис. - Материалы XIX экспедиции - конференции ботаников Прибалтики. Вильнюс: 42 - 44.
235. Пикшрите Р., Битвинскас Т. (1989). Методы синхронизации рядов ширины годичных слоев сосны на торфяных болотах верхового и переходного типов. - Тез. докладов научно - технической конференции. Новополоцк.
236. Полозова Л.Г., Шиятов С.Г. (1975). Влияние термического режима на радиальный прирост деревьев в различных условиях их местообитания. - Экология, 6.
237. Поляшкин Ю.В. (1986). Экологическая интерпретация формы кривых и амплитуд радиального прироста деревьев. - Дендрохронология и дендроклиматология. Москва: 33 - 38.
238. Прокушкин С.Г. (1982) Минеральное питание сосны.- Новосибирск, 190 с.
239. Пуннинг Я.М., Илометс М., Кофф Т., Раамя. Р., Петерсен И., Тийтс Т. (1985). Комплексные стратиграфо - палеогеографические исследования озерно - болотных отложений во впадине Вялламяги (Ю. - В. Эстония). - Таллин, АН Эстонской ССР.
240. Раунер Ю.Л., Золотокрылин А.Н., Попова В.В. (1983). Колебания влажности климата на Европейской территории СССР за 4000 лет. - Изв. АН СССР, Сер. Географическая, 1.
241. Родькин А.К. (1979). Палеопочвенные исследования в изучении динамики физико - географических условий голоцен. - In: Ритмы гляциальных процессов, Москва: 56 - 79.
242. Розанов М.И., Несторов В.Г., Кириенко Г.И. (1975). Особенности динамики прироста деревьев и их учет при составлении дендрошкал. - Биологические основы дендрохронологии (Материалы к симпозиуму XII-го международного ботанического конгресса, Ленинград, июль, 1975). Вильнюс - Ленинград: 43-46.
243. Савукинене Н., Битвинскас Т., Григялите М. (1978). Стратиграфия и развитие болота Ужпялкю Тирялис. - Условия среды и радиальный прирост. Каунас: 56-61.
244. Смоляк Л.П. (1963). Влияние уровня грунтовых вод на жизнедеятельность сосны на верховом болоте. - Ученые записки Тартуского гос. университета, т. 145. Труды по ботанике, вып. 7: 328 - 336.
245. Солнечная активность и изменения климата (Ред. Р.У.Фейбридж). (1966). - Москва, 370 с.
246. Спиров В.В. (1986). Метод двухволновой микрофотометрии в отраженном свете и возможности его применения для анализа годичных

- слоев древесины. - Дендрохронология и дендроклиматология. Москва: 43 - 48.
247. Стравинскене В. (1979). Дендрошкилы заболоченных и болотных лесов Литовской ССР. - Дендроклиматологические шкалы Советского Союза, Каунас: 35-44.
248. Стравинскене В. (1981). Единые дендрохронологические шкалы осоково-сфагновых и долgomошных сосняков Литовской ССР. - Дендроклиматологические шкалы Советского Союза, ч. 2, Каунас: 77-79.
249. Стравинскене В. (1983). Динамика ранней и поздней древесины в годичных кольцах деревьев и ее изменения вследствие лесоосушения. Экология, 6: 29 - 34.
250. Ступнева А.В. (1981, а). Методические особенности профильного метода исследования условий среды. - Радиальный прирост и дендроиндикация, Каунас: 71-77.
251. Ступнева А.В. (1981, б). Пространственно - временная изменчивость основных дендрорядов профиля Мурманск - Карпаты. - Пространственные изменения климата и годичные кольца деревьев, Каунас: 98-100.
252. Ступнева А.В. (1984, а). Метод главных компонент в решении задач дендроклиматохронологии. Временные и пространственные изменения климата и годичные кольца деревьев, ч. 1, Каунас: 49-53.
253. Ступнева А.В. (1984, б). Построение и исследование свойств хронологий главных компонент. Временные и пространственные изменения климата и годичные кольца деревьев, ч. 1, Каунас: 61-63.
254. Сукачев В.Н. (1905). О болотной сосне. - Лесной журнал, 35 (3), 354-372.
255. Шведов Ф.Н. (1892). Дерево как летопись засух. - Метеорологический вестник, 5.
256. Шенников (1964). Введение в геоботанику. - Ленинград, 447 с.
257. Шиятов С.Г. (1970). К методике расчета индексов прироста деревьев. - Экология, 3.
258. Шиятов С.Г. (1975). Сверхвековой цикл в колебаниях индексов прироста лиственницы (*Larix sibirica*) на полярной границе леса. - Биологические основы дендрохронологии (Материалы к симпозиуму XII - того международного ботанического конгресса, Ленинград, июль, 1975), Вильнюс - Ленинград: 47-54.
259. Шиятов С.Г. (1986). Дендрохронология верхней границы леса на Урале. - Москва, 136 с.
260. Шиятов С.Г., Мазепа В.С. (1987). Климатически обусловленные колебания радиального прироста деревьев в восточных районах СССР. - Временные и пространственные изменения климата и годичные кольца деревьев, ч. 2, Каунас: 69-84.
261. Тамошайтис Ю. (1986). Принципы выделения болот для охраны в Литовской ССР. - Методы изучения болот и их охрана, Vilnius: 63-69.
262. Турманина В.И. (1979). Пути восстановления природных явлений последнего тысячелетия и основные результаты. - In: Ритмы гляциальных процессов, Москва: 24 - 55.

- 263.Турманина В.И. (1985). Вековые изменения природы Европейской части СССР за два тысячелетия. - Вестн. Моск. Ун-та. Сер. 5. География, 5: 61-69.
- 264.Тушинский Г.К., Турманина В.И. (1979). Ритмы гляциальных процессов последнего тысячелетия. - In: Ритмы гляциальных процессов, Москва: 154 - 160.
- 265.Хейкурайнен Л. (1983). Болота. - Москва, 40 с.
- 266.Хотинский Н.А. (1971). Проблема пограничного горизонта. - АН СССР, Серия наук о земле. Москва, 41 с.
- 267.Юкнис Р.А. (1990, а). Дендрохронологические методы оценки изменений роста деревьев в условиях загрязненной природной среды. - Экология, 4: 19-29.
- 268.Юкнис Р.А. (1990, б). Рост и продуктивность одновозрастных сосняков в условиях загрязненной природной среды. Автореф. дисс. на соиск. уч. степени д-ра биол. наук. - Красноярск.

## List of figures

Fig. 1. A scheme of synchronising (cross-dating) tree ring sequences in two increment cores.

Fig. 2. The fragments of spore and pollen diagrams from the first (A) and the second (B) peat cores in Užpelkių Tyrelis peat bog (legend is the same as in fig. 3).

Fig. 3. The fragment of spore and pollen diagram from the third Užpelkių Tyrelis peat core: 1-medium peat, 2-fuscum peat, 3-eriophorum - sphagnum peat, 4-scheuchzeria - sphagnum peat, 5-pinus - sphagnum peat, 6-carex - scheuchzeria medium peat, 7,8 - pollen percentage, 9-warm - dry subperiod, 10-cool - moist subperiod.

Fig. 4. A scheme of Užpelkių Tyrelis peat bog. In the right the outlines of the bog and the study area (shaded) are shown. In the left more detailed plot of the study site is represented: A-B - the first excavation through the first upper meter of peat deposits; C-D - excavation through the second meter of peat deposits, E-F - excavation through the first meter of peat deposits. A dashed line marks the undisturbed areas of surface peat layers, points represent subfossil pine stumps (trunks).

Fig. 5. The remains of pine palaeoforests in Užpelkių Tyrelis bog peat deposits.

Fig. 6. The distribution of subfossil wood samples along the depth.

Fig. 7. The first excavation in Užpelkių Tyrelis peat bog. A schematic section through the first uppermost meter of peat deposits. Triangles represent pine stumps: a base of a triangle relatively represents the stump base diameter and altitude of the triangle stands relatively for the stem remnant length. Lying horizontally trunks are represented by rectangles. Radiocarbon dated specimens are shown with the dates BP.

Fig. 8. The second excavation in Užpelkių Tyrelis peat bog. A schematic section through the second meter of peat deposits. The legend is the same as in fig. 7.

Fig. 9. The distribution of subfossil trees according to their life duration.

Fig. 10. A scheme of situation of sampled trees in the peat bog site in Daunoriai forestry (Utena district). Sampled trees are marked by numbers.

Fig. 11. The calibration of the radiocarbon age of timber specimen from the I c. BC - I c. AD (1990 +/- 40 years BP).

Fig. 12. The calibration of the radiocarbon age of timber specimen from the XIII - XIV centuries AD (690 +/- 50 years BP).

Fig. 13. The principal components (eigenvectors) of two correlated variables x and y.

Fig. 14. An example of individual features in the dynamics of tree radial growth: a) general view to the radial growth patterns of two trees, b) the period of synchronous fluctuations in the radial growth, c) the period with differing patterns in the radial growth of the same trees.

Fig. 15. Individual features in the radial growth dynamics of bog pine trees. Stepwise comparison of radial growth patterns in pairs among a group of cross-dated specimens: the progressive comparing of series with one another

(parts A, B, C) demonstrates good correspondence between the patterns, but growth differences become distinct in the first / last specimen pair (part D), especially in the second century of their growth. In the figures t values of correlation between the compared series are presented.

Fig. 16. The visual verification of radial growth series (checking tree ring sequences for anomalous growth effects). The growth patterns of two compared series do not agree (are shifted in a time scale) before the year marked by the question mark (part A). During reexamination a false ring was detected in one measurement radius of the specimen No 1305. The corrected radius series were averaged into a new tree ring series. In part B the corrected tree ring series of the specimen 1305 and the series of the specimen 1306 are compared.

Fig. 17. A rhythmical growth pattern of pine trees from Užpelkių Tyrelis peat bog (specimen No. 348 from the VII - IX century). A light line represents annual radial growth, a heavy line represents moving five - year average.

Fig. 18. An example of pseudo - synchronism: a) the similarity among the growth patterns of a group of trees in a not - synchronous position, b) the same group of trees synchronized according to the maximum t- values among the radial growth series.

Fig. 19. Pseudo - synchronism: a) a position of crossdating between specimens 1285 and 977 with the maximum t - value (13 / 1 rings accordingly, t value 5.3); b) the specimens 1285 and 977 visually crossdated in a position 9 / 1 (t value 4.8). The crossdating in this position is replicated with other trees from the group (for a comparison the radial growth series of specimen 979 is included).

Fig. 20. The fluctuations in radial growth of the oldest pines in the oligotrophic bog (tree group "LCWUT99Z", II - I century BC).

Fig. 21. A further fragment of radial growth dynamics of the trees from the oldest pinewood phase ("LCWUT99Z").

Fig. 22. Growth dynamics of the trees in the bog at the beginning of the 1st millennium AD (tree group "LCWUT99Z")

Fig. 23. A further fragment from the oldest phase of the oligotrophic bog pine forest ("LCWUT99Z"): growth dynamics of the trees from I - II c. AD.

Fig. 24. A fragment from a subfossil tree group "LCWU130B" (VI - IX c. AD): synchronized radial growth series. A heavier line represents mean chronology of the group.

Fig. 25. A fragment from a subfossil tree group "LCWUT60A" (X - XII c. AD): synchronized radial growth series. A heavier line represents mean chronology of the group.

Fig. 26. A fragment from the XII - XV century tree group "LCW1319A": radial growth of the trees in the beginning of that bog - forest phase.

Fig. 27. Tree group "LCW1319A": a further fragment of the tree growth dynamics.

Fig. 28. Tree group "LCW1319A": radial growth of trees at the end of the phase.

Fig. 29. Synchronized radial growth series of subfossil wood specimens from the XVIII - XX century AD (a group "LCWUTXXA") and their dating against the Užpelkių Tyrelis living tree chronology. Heavier lines represent mean chronologies.

Fig. 30. The layers of remnants from the separate pinewood phases in the first excavation (the first uppermost meter of oligotrophic peat layer): 1 - X - XII century phase "LCWUT60A"; 2 - XII - XV century phase "LCW1319A"; 3 - XVIII - XX century phase "LCWUTXXA".

Fig. 31. The layers of remnants from the separate pine forest phases and subphases in the second excavation (the second meter of oligotrophic peat layer). 1 - the oldest pinewood phase "LCWUT99Z" (II c. BC - VI c. AD): a) a tree subgroup "LCWUT99A"; b) a tree subgroup "LCWUT99B"; c) a tree subgroup "LCWUT99C". 2 - a pine forest phase from the VI - IX century AD. 3 - a pinewood phase from the X - XII century.

Fig. 32. The distribution of calibrated radiocarbon ages ( $\pm 1 \sigma$ ) of Užpelkių Tyrelis subfossil timber specimens.

Fig. 33. The growth patterns of two  $^{14}\text{C}$  dated specimens from the X - XII century AD tree group. The C14 dates of synchronous samples dispart by two centuries.

Fig. 34. Pinewood growth dynamics in Užpelkių Tyrelis oligotrophic bog during two millenia. A - annual radial growth chronologies: the fluctuations around mean value; B - pinewood growth history: the distribution of pine tree life spans in a time scale. Radiocarbon dated rings are marked in black, the numbers represent  $^{14}\text{C}$  dates (yr BP).

Fig. 35. The correlation of three mean radial growth chronologies of living trees from Užpelkių Tyrelis bog with monthly and annual climatic parameters: A - with the mean temperature, B - with total precipitation. utg abs - mean chronology of absolute measurement data; utg std - standard chronology; utg res - residual chronology.

Fig. 36. The correlation of three mean radial growth chronologies from the experimental dendrochronological site in Daunoriai bog with monthly and annual values of temperature (A) and precipitation (B). Dashed lines represent significance levels of correlation coefficients. Chronologies: std - standard; res - residual; abs - of absolute measurement data.

Fig. 37. A scheme demonstrating the opposite influence of May temperature on the increment in current and next year (Daunoriai bog site). A - correlations among values in presence of strong autorecorrelation in tree ring sequence (index chronology STD). B - correlations among values after removing the autocorrelation from the tree ring sequence (residual chronology RES).

Fig. 38. The seasonal dynamics of the absorption of macro - nutrients by pine roots under conditions of cold soil (according Prokushkin, 1982).

Fig. 39. The annual corse of the average minimum (A) and maximum (B) air temperature in Utēna and Telšiai.

Fig. 40. The annual corse of sum precipitation in Utēna and Telšiai meteorological stations. In parentheses average amount of precipitation per year in the station is presented.

Fig. 41. Actual mean temperatures for the February through September period and that reconstructed according to the standard tree ring chronology from Užpelkių Tyrelis living pine trees.

Fig. 42. The weights of three significant principal components in the growth dynamics of separate trees from the Užpelkių Tyrelis living tree site.

Fig. 43. The weights of four significant principal components in the growth dynamics of separate trees from the Daunoriai site.

Fig. 44. The chronologies of principal component amplitudes from the Užpelkių Tyrelis site living tree radial growth: LIPS 1PC Amp - the amplitudes of the first, LIPS 2PC Amp - of the second, LIPS 3PC Amp - of the third principal component.

Fig. 45. The chronologies of principal component amplitudes from the Daunoriai site tree radial growth. PC1 - the amplitudes of the first, PC2 - of the second, PC3 - of the third, PC4 - of the fourth principal component.

Fig. 46. The correlations between the principal component amplitudes from the Užpelkių Tyrelis site tree radial growth and monthly and annual climatic parameters: A - mean temperature, B - sum precipitation. PC1 - the first, PC2 - the second, PC3 - the third principal component.

Fig. 47. The correlations between the principal component amplitudes from the Daunoriai site tree radial growth and monthly and annual climatic parameters: A - mean temperature, B - sum precipitation. PC1 - the first, PC2 - the second, PC3 - the third, PC4 - the fourth principal component..

Fig. 48. Actual mean temperatures for the February through September period and that reconstructed according to the model based on two principal component amplitudes from Užpelkių Tyrelis living pine tree growth.

Fig. 49. Cumulative curves of annual tree germination and dying off in a tree group No "LCWU130B" (from the VI - IX century AD). A light line represents the mean annual radial growth in the group.

Fig. 50. Cumulative curves of annual tree germination and dying off in a tree group No "LCWUT60A" (from the X - XII century AD). A light line represents the mean annual radial growth in the group.

Fig. 51. Long term fluctuations of Grosser Aletschgletschers in the Swiss Alps (from Zumbühl and Holzhauser, 1980). Upsurges in the curve represent advances of the glacier and declines represent retreats, a dashed line stands for an uncertain position. Horizontal bars represent life spans of trees buried by glacier.

Fig. 51. The reconstruction of July - August mean temperatures in northern Fenoscandia using continuous tree-ring records (from Briffa et al., 1992).

DISERTACIJOS PRIEDAI

**II. PRIEDAS.**

Užpelkių Tyrelio aukštapelkės subfossilinės *Pinus sylvestris* L. stiebų radialinio prieaugio II a. pr. Kr. - VI a. po Kr. chronologija "LCWUT99z"

	Vidutinis prieaugis 0,01 mm										Pavyzdžių kiekis										
Data BC	0	9	8	7	6	5	4	3	2	1	0	9	8	7	6	5	4	3	2	1	
Data AD	1	2	3	4	5	6	7	8	9	0	1	2	3	4	5	6	7	8	9	0	
173BC								15	15	10									1	1	1
170BC	23	18	23	23	13	23	23	18	13	15	1	1	1	1	1	1	1	1	1	1	1
160BC	13	25	20	18	25	18	30	20	25	23	1	1	1	1	1	1	1	1	1	1	1
150BC	15	15	10	13	13	18	13	33	20	45	1	1	1	1	1	1	1	1	1	1	1
140BC	50	20	23	13	28	15	18	25	35	15	1	1	1	1	1	1	1	1	1	1	1
130BC	38	45	48	25	33	18	23	25	30	20	1	1	1	1	1	1	1	1	1	1	1
120BC	18	10	15	28	28	38	10	27	34	54	1	1	1	1	1	1	1	2	2	2	2
110BC	40	35	35	29	22	29	39	33	36	25	3	4	4	5	5	5	5	5	5	5	5
100BC	28	35	35	36	27	39	40	42	40	61	5	5	5	5	5	5	5	5	5	5	5
90BC	63	67	81	57	50	37	39	40	42	32	5	5	5	5	5	5	5	5	6	6	6
80BC	51	65	45	26	38	56	69	87	77	69	6	6	6	6	6	6	6	6	6	6	6
70BC	40	33	32	32	31	52	42	68	67	62	6	6	6	6	6	6	6	6	6	6	6
60BC	71	72	87	78	67	81	61	58	46	37	6	6	6	6	6	6	6	6	6	6	6
50BC	36	62	67	73	84	79	80	99	67	60	6	6	7	7	8	8	9	9	9	9	9
40BC	49	60	57	39	41	46	49	44	49	48	9	9	9	9	10	10	10	10	11	11	11
30BC	61	58	67	72	86	86	96	120	94	92	11	11	10	11	12	12	13	14	14	14	14
20BC	101	89	87	88	92	141	118	129	120	128	14	14	15	15	15	14	14	14	13	12	12
10BC	149	146	151	122	120	144	142	133	114	111	12	12	12	12	12	12	12	12	12	12	12
1AD	136	123	136	137	154	168	209	203	198	157	14	14	14	14	15	15	15	14	14	15	15
11AD	152	119	118	116	138	160	142	145	142	155	15	14	14	14	14	14	14	14	14	14	14
21AD	152	128	109	105	90	72	69	68	66	67	14	14	14	14	14	14	14	14	14	14	13
31AD	73	85	84	66	75	70	66	64	61	65	13	13	13	13	13	13	13	13	13	13	13
41AD	57	53	49	51	55	59	55	51	56	66	13	12	12	12	12	12	12	12	12	12	11
51AD	63	67	49	51	55	54	69	61	57	44	11	11	11	11	11	11	11	11	11	11	11
61AD	41	44	39	29	35	32	35	36	31	34	13	13	12	12	12	13	13	12	12	12	12
71AD	44	42	46	49	44	41	32	38	40	56	11	12	12	12	12	12	11	11	11	11	11
81AD	52	49	59	61	66	59	42	32	29	50	11	11	11	11	11	11	11	11	8	8	8
91AD	40	48	63	67	70	86	72	80	76	59	8	8	8	8	8	8	8	8	8	7	7
101AD	63	62	103	72	89	85	81	73	89	138	7	6	6	6	6	5	5	5	5	5	5
111AD	79	64	69	142	110	93	62	66	57	61	5	5	5	5	5	5	5	5	5	5	5
121AD	49	53	61	86	96	151	153	89	87	94	5	5	5	5	5	5	6	6	6	6	6
131AD	108	113	114	94	146	137	163	115	85	99	6	6	6	6	6	6	6	6	6	6	6
141AD	126	132	161	238	115	86	65	65	73	73	6	6	6	6	5	5	5	5	5	5	5
151AD	66	76	60	86	83	70	66	49	69	87	5	5	5	5	5	5	5	5	5	5	5
161AD	76	59	54	77	56	54	62	54	62	60	5	5	5	5	5	5	5	5	5	5	5
171AD	77	67	73	98	116	114	115	105	127	118	5	5	5	5	5	5	4	4	4	4	4
181AD	100	67	71	93	87	90	94	103	88	65	4	5	6	6	6	6	6	6	6	6	6
191AD	84	94	85	91	94	87	76	58	83	118	6	6	6	6	7	7	7	7	7	7	7
201AD	108	90	96	89	73	70	81	114	123	95	7	7	7	7	7	7	7	7	6	6	6
211AD	63	78	104	86	92	77	69	68	61	56	6	6	6	6	6	6	6	6	6	6	6
221AD	54	55	47	40	36	40	47	61	63	54	5	5	5	5	5	5	5	5	5	5	5
231AD	78	106	104	105	79	78	83	105	115	90	5	5	5	5	4	4	4	4	4	4	4
241AD	91	62	56	64	43	59	54	60	68	86	4	5	5	5	5	5	5	5	5	5	5
251AD	137	150	135	161	206	257	224	130	95	118	5	5	5	5	5	5	5	5	5	5	5
261AD	163	187	193	172	148	149	111	93	69	114	5	5	5	5	5	5	5	5	5	5	5
271AD	198	208	202	122	99	73	74	77	96	48	5	4	4	4	4	3	3	3	3	3	2
281AD	75	65	46	40	46	47	47	26	27	25	2	2	2	4	4	4	4	4	4	4	4
291AD	26	30	26	20	25	26	25	44	32	38	4	4	4	4	4	4	5	5	5	5	5

DISERTACIJOS PRIEDAI

II priedo tēsinys

301AD	30	36	29	26	32	57	42	34	19	26	5	5	5	6	6	6	6	6	5	5
311AD	37	23	30	37	45	33	39	36	28	33	5	6	6	6	6	6	6	6	6	6
321AD	42	30	25	26	26	21	36	50	64	52	6	6	6	6	6	6	6	6	6	6
331AD	71	62	62	58	50	60	56	59	65	66	6	6	6	6	6	7	7	7	7	7
341AD	63	48	49	55	60	56	61	70	72	73	7	7	7	7	7	7	8	8	8	8
351AD	59	73	57	54	42	55	65	70	90	89	8	8	8	8	8	8	8	8	8	8
361AD	80	82	66	64	77	83	76	70	72	71	8	8	8	8	8	8	8	8	8	8
371AD	73	85	78	79	72	64	68	74	75	69	9	9	9	9	10	10	10	10	10	9
381AD	75	86	76	66	67	82	92	99	113	116	9	9	9	9	9	9	9	9	9	9
391AD	116	128	120	125	112	108	101	112	107	109	9	9	9	9	9	9	9	9	9	9
401AD	100	97	95	90	74	86	94	82	73	75	9	9	9	9	8	8	8	8	8	7
411AD	89	96	98	80	69	60	62	75	63	71	6	6	6	6	5	5	5	5	5	5
421AD	70	69	70	73	71	72	53	60	61	72	5	5	5	5	5	5	5	5	5	4
431AD	64	60	101	123	116	106	90	101	123	116	4	4	4	4	4	4	4	4	4	4
441AD	84	75	39	43	69	49	53	62	44	57	4	4	3	2	2	2	2	2	2	2
451AD	58	54	55	41	37	25	24	23	28	38	2	2	2	2	2	2	2	2	2	2
461AD	43	29	34	29	24	34	29	35	32	27	2	2	2	2	2	2	2	2	2	2
471AD	36	35	32	29	47	44	48	32	33	31	2	2	2	2	2	2	3	3	3	3
481AD	37	34	34	29	24	22	27	32	27	34	3	3	3	3	3	3	3	3	3	3
491AD	35	37	32	42	43	27	27	25	36	36	3	3	3	3	3	3	3	3	3	3
501AD	29	34	47	36	30	29	36	39	39	47	3	3	3	3	3	3	3	3	3	3
511AD	44	48	58	42	64	60	44	50	45	33	3	3	3	3	3	3	3	3	3	3
521AD	34	44	58	48	51	65	38	54	69	69	3	3	3	3	3	3	3	3	3	3
531AD	53	44	51	49	41	42	53	29	28	24	3	3	3	3	3	3	3	3	3	3
541AD	17	22	32	34	38	35	29	25	28	19	3	3	3	3	3	3	3	3	3	3
551AD	26	33	32	28	32	23	35	39	37	31	3	3	3	3	3	3	3	3	3	3
561AD	32	44	40	50	54	45	34	24	25	24	3	3	3	3	3	3	3	3	3	3
571AD	24	23	29	33	40	40	45	48	59	49	3	3	3	3	3	3	3	3	3	3
581AD	44	24	21	26	24	22	25	28	38	65	3	2	2	2	2	2	2	2	2	2
591AD	58	55	130								2	1	1							

DISERTACIJOS PRIEDAI

**III. PRIEDAS.**

Užpelkių Tyrelio aukštapelkės subfossilinės *Pinus sylvestris L.* stiebų radialinio priaugio VI - IX a. po Kr. chronologija "LCWU130b"

Data	vidutinis priaugis 0,01mm									pavyzdžių kiekis										
	0	1	2	3	4	5	6	7	8	9	0	1	2	3	4	5	6	7	8	9
551	20	15	15	13	25	20	28	28	30		1	1	1	1	1	1	1	1	1	1
560	10	10	20	23	63	70	53	30	45	35	1	1	1	1	1	1	1	1	1	1
570	43	38	40	28	30	28	35	15	20	23	1	1	1	1	1	1	1	1	1	1
580	28	25	25	18	23	29	28	50	52	64	1	1	1	1	1	2	2	2	2	2
590	68	52	71	42	44	30	28	45	41	49	2	2	2	2	2	2	3	7	8	
600	59	64	63	57	51	56	64	68	61	63	10	11	13	13	13	14	15	15	15	15
610	73	78	80	88	81	87	76	68	58	73	15	16	16	17	18	18	18	19	19	20
620	74	88	100	131	91	90	66	70	64	98	20	20	20	21	21	21	21	21	22	22
630	102	98	113	100	92	109	95	69	56	41	22	22	23	22	22	22	22	22	22	22
640	43	59	67	72	75	58	34	58	60	69	22	22	22	22	21	21	21	21	21	21
650	61	107	84	114	99	114	84	71	44	45	21	21	21	21	21	21	21	21	21	22
660	61	60	60	49	57	67	83	73	89		22	22	22	22	22	22	22	22	22	22
670	92	93	99	95	88	92	116	70	65	46	22	21	21	21	21	21	21	21	20	20
680	33	38	44	55	57	61	63	52	62	59	20	20	20	20	20	20	20	20	20	20
690	62	83	90	53	63	41	49	31	28	30	20	20	20	20	20	20	20	20	20	20
700	36	44	47	50	60	85	93	98	97	77	20	20	20	20	20	19	19	19	19	19
710	51	58	50	46	51	63	74	112	123	125	19	19	19	19	19	19	19	19	19	19
720	127	119	98	95	75	67	55	63	74	101	19	19	18	18	18	18	18	18	17	16
730	85	98	92	93	114	132	129	95	77	55	16	16	16	16	16	16	16	16	16	16
740	37	60	75	61	54	58	64	69	76	79	16	16	16	16	16	15	15	15	14	
750	81	83	73	85	94	107	76	57	52	57	13	12	11	11	11	9	9	9	9	
760	60	70	83	106	123	107	70	66	86	77	9	9	9	8	7	7	7	7	6	
770	77	75	66	76	62	53	53	59	49	35	6	5	5	5	5	5	5	5	5	
780	28	22	21	27	29	36	39	38	40	58	5	5	5	5	5	5	5	5	5	
790	61	52	47	35	27	29	30	32	33	26	5	5	5	5	5	5	5	5	5	
800	22	29	25	29	44	37	31	32	21	39	5	5	5	5	5	5	5	5	5	
810	51	57	46	64	68	95	83	102	88	70	5	5	5	5	5	5	4	4	4	
820	66	75	107	97	62	48	43	37	45	39	4	4	4	4	3	3	3	3	3	
830	53	58	53	50	78	133	138	200			3	2	2	2	2	2	2	1		

DISERTACIJOS PRIEDAI

**IV. PRIEDAS.**

Užpelkių Tyrelio aukštapelkės subfossilinės *Pinus sylvestris L.* stiebų radialinio priaugio X - XII a. po Kr. chronologija "LCWUT60a"

Data	vidutinis priaugis 0,01mm									pavyzdžių kiekis										
	0	1	2	3	4	5	6	7	8	9	0	1	2	3	4	5	6	7	8	9
951	18	15	21	17	18	38	27	44	31		1	1	2	2	2	2	3	3	3	
960	47	34	34	32	33	29	34	36	34	35	4	4	4	4	4	5	9	9	12	14
970	35	40	33	29	31	31	26	24	30	26	16	16	16	16	17	17	17	18	18	
980	29	36	31	37	43	40	41	48	32	42	18	19	19	20	21	23	23	24	24	25
990	38	38	34	41	45	34	39	40	60	54	26	26	26	27	27	28	28	28	29	29
1000	52	56	66	79	89	37	40	60	57	96	32	32	33	34	34	34	35	37	37	37
1010	134	130	115	115	82	46	41	36	41	47	38	38	38	38	39	39	39	39	39	39
1020	62	98	99	94	96	86	86	77	94	116	40	40	40	40	40	40	40	40	40	40
1030	110	78	81	71	91	87	101	91	95	168	41	41	41	41	41	42	42	42	42	42
1040	154	127	102	80	69	68	67	59	52	42	42	42	42	42	42	42	42	43	43	
1050	51	47	43	38	34	39	52	81	90	89	43	43	43	42	42	42	42	42	42	
1060	90	76	58	59	74	69	81	81	78	66	42	42	42	42	42	42	42	42	42	
1070	81	80	76	68	64	65	67	69	92	74	42	41	40	39	39	39	39	38	38	
1080	76	68	75	66	57	55	52	33	43	32	38	38	36	34	34	33	32	30	30	29
1090	43	26	35	42	43	57	64	76	104	116	28	27	27	27	27	27	27	27	27	
1100	106	100	100	59	68	68	78	92	102	90	26	25	25	23	23	23	23	23	22	
1110	96	104	121	116	110	111	94	117	108	102	22	22	22	20	18	18	16	13	13	13
1120	92	78	75	87	74	68	55	68	77	69	12	12	12	12	11	10	9	8	8	8
1130	56	60	61	53	69	84	81	80	67	72	8	7	5	5	4	4	4	4	3	
1140	64	57	47	47	38	54	55	25	15		2	2	2	2	2	1	1	1		

DISERTACIJOS PRIEDAI

**V. PRIEDAS.**

Užpelkių Tyrelio aukštapelkės subfossilinės *Pinus sylvestris* L. stiebų radialinio prieaugio XII - XV a. po Kr. chronologija "LCW1319a"

Data	vidutinis prieaugis 0,01mm										pavyzdžių kiekis									
	0	1	2	3	4	5	6	7	8	9	0	1	2	3	4	5	6	7	8	9
1143			40	20	23	28	25	10	13					1	1	1	1	1	1	2
1150	14	14	18	17	18	13	12	23	22	20	2	2	3	3	3	3	3	3	3	3
1160	24	19	30	29	25	25	17	21	17	25	3	3	3	3	3	3	3	3	3	3
1170	27	34	20	25	22	19	22	22	39	38	3	3	4	4	5	5	5	5	5	5
1180	62	40	45	42	73	48	55	61	53	68	5	6	6	6	6	6	6	6	6	6
1190	56	69	68	64	72	84	54	39	31	48	6	6	6	6	6	6	6	6	6	6
1200	60	59	38	35	35	32	28	29	37	52	6	6	6	7	7	7	7	7	7	7
1210	48	35	50	63	94	74	53	49	57	61	7	7	7	7	7	8	8	8	8	8
1220	91	74	60	67	66	78	61	43	40	38	8	8	8	8	8	8	8	8	8	8
1230	38	47	53	46	37	32	34	47	53	45	8	8	8	8	8	8	8	7	7	8
1240	47	40	29	36	34	55	69	94	125	105	8	8	8	8	8	8	8	8	8	8
1250	73	44	33	43	34	37	39	33	40	45	7	7	8	8	8	8	8	8	8	8
1260	42	38	46	42	43	48	59	56	60	76	9	9	9	9	9	9	9	9	9	9
1270	83	49	49	53	56	52	44	43	42	48	9	10	10	10	10	11	11	11	12	12
1280	46	39	39	40	40	42	38	40	37	28	12	12	13	14	14	14	15	14	14	15
1290	24	33	30	35	28	28	28	31	32	34	14	14	15	15	15	15	15	15	15	15
1300	47	50	37	43	57	76	66	76	90	81	14	14	14	15	15	14	13	12	12	12
1310	72	79	80	66	76	81	90	75	59	45	12	12	12	12	12	12	13	13	13	13
1320	43	55	61	72	74	83	84	88	66	52	13	13	13	13	14	14	14	14	14	15
1330	53	44	48	60	71	76	83	88	83	81	15	15	15	15	15	15	15	15	15	15
1340	84	71	74	58	66	79	84	93	80	86	15	15	15	15	15	15	15	15	15	15
1350	69	37	52	58	50	47	47	57	70	91	15	16	16	16	16	16	16	16	16	16
1360	68	60	64	63	59	46	40	40	47	62	16	16	16	16	15	15	15	15	15	15
1370	72	57	51	57	61	57	59	75	76	81	15	15	15	15	15	15	15	15	15	15
1380	61	64	55	51	41	41	46	50	47	51	15	15	15	15	15	15	15	15	15	15
1390	61	64	59	59	58	51	51	49	52	53	15	15	14	14	14	14	14	14	13	13
1400	45	46	46	41	33	35	32	34	44	48	13	13	13	13	12	12	12	12	11	10
1410	54	69	63	80	67	60	56	52	60	71	10	10	9	9	9	9	9	8	8	8
1420	50	45	32	47	44	45	41	49	43	36	8	8	8	7	7	7	7	6	5	5
1430	36	34	33	33	29	27	25	27	27	23	5	4	4	4	4	4	4	4	4	4
1440	39	45	39	50	52	50	49	45	39	50	4	4	4	4	3	3	3	3	3	3
1450	49	47	55	54	62	68	69	78	84	63	3	3	3	3	3	3	3	3	3	3
1460	56	58	47	40	43	35	34	44	33	23	3	3	3	3	3	3	3	3	3	2
1470	21	37	57	35	40						2	2	2	1	1					

DISERTACIJOS PRIEDAI

**VI. PRIEDAS.**

Užpelkių Tyrelio aukštapelkės subfossilinės *Pinus sylvestris L.* stiebų radialinio priaugio XVIII - XX a. po Kr. chronologija "LCWUTXXa"

Date	vidutinis priaugis 0,01mm									pavyzdžių kiekis										
	0	1	2	3	4	5	6	7	8	9	0	1	2	3	4	5	6	7	8	9
1773		58	48	48	25	38	20	28				1	1	1	1	1	1	1	1	1
1780	30	13	30	28	30	40	38	20	25	20	1	1	1	1	1	1	1	1	1	1
1790	35	40	30	40	43	28	30	43	65	68	1	1	1	1	1	1	1	1	1	1
1800	88	50	88	83	105	13	33	48	60	58	1	1	1	1	1	1	1	1	1	1
1810	55	48	26	35	34	33	32	27	30	22	1	1	3	3	3	3	3	4	4	4
1820	27	35	38	24	28	31	35	48	38	41	4	4	4	4	4	4	4	4	4	4
1830	37	49	37	51	29	38	62	72	75	97	4	4	4	5	5	5	5	5	5	5
1840	113	98	101	61	67	77	81	104	118	165	5	5	5	5	5	5	5	5	5	5
1850	159	103	65	62	83	87	101	117	135	98	5	5	5	5	5	5	5	5	5	5
1860	104	124	131	159	165	118	57	46	43	84	5	5	5	5	5	5	5	5	5	5
1870	99	111	127	120	93	152	182	155	141	156	5	5	5	5	5	5	5	5	5	5
1880	148	169	155	174	185	174	52	69	110	60	5	4	3	3	3	3	2	2	2	2
1890	63	163	193	128	150	7	63	68	75	63	2	1	1	1	1	1	1	1	1	1
1900	68	83	115	115	110	115	100	103	65	73	1	1	1	1	1	1	1	1	1	1
1910	80	107	90	93	118	83	85	60	90	70	1	1	1	1	1	1	1	1	1	1
1920	78	75	85	75	45						1	1	1	1	1					

DISERTACIJOS PRIEDAI

**VII. PRIEDAS.**

Užpelkių Tyrelio aukštapelkės dabar augančių *Pinus sylvestris L.* medžių tyrimo barelio stiebų radialinio priaugio chronologijos:

a) absoliučių dydžių (ABS) chronologija:

Data	priaugis 0,01mm										pavyzdžių kiekis										
	0	1	2	3	4	5	6	7	8	9	0	1	2	3	4	5	6	7	8	9	
1869											50										
1870	25	105	100	100	100	120	150	145	110	80	1	2	2	2	2	3	3	3	3	3	
1880	105	90	85	65	55	70	70	50	80	65	3	3	3	3	3	3	3	3	3	3	
1890	85	80	90	60	60	45	60	85	80	75	5	5	5	6	6	6	6	6	6	6	
1900	45	65	70	100	95	90	85	60	65	75	6	6	6	6	7	7	7	7	7	7	
1910	85	100	135	85	80	115	135	100	135	140	7	8	9	9	9	9	9	9	9	9	
1920	140	140	135	100	75	105	95	105	80	65	9	10	10	10	10	10	10	10	10	10	
1930	70	75	85	110	125	100	130	155	160	165	10	10	10	10	10	10	10	10	10	10	
1940	90	110	135	130	130	165	140	125	130	120	10	10	10	10	10	10	10	10	10	10	
1950	130	90	75	110	100	95	75	105	85	70	10	10	10	10	10	10	10	10	10	10	
1960	125	150	130	145	150	120	95	120	150	125	10	10	10	10	10	10	10	10	10	10	
1970	140	145	110								10	10	10								

b) standartinė indeksų (STD) chronologija:

Data	indeksai										pavyzdžių kiekis										
	0	1	2	3	4	5	6	7	8	9	0	1	2	3	4	5	6	7	8	9	
1869											77										
1870	39	109	108	117	111	121	142	136	107	98	1	2	2	2	2	3	3	3	3	3	
1880	116	101	102	70	72	96	100	74	120	85	3	3	3	3	3	3	3	3	3	3	
1890	97	102	119	71	86	64	88	110	108	105	5	5	5	6	6	6	6	6	6	6	
1900	59	85	98	149	105	105	98	70	76	84	6	6	6	6	7	7	7	7	7	6	
1910	81	114	136	86	78	98	124	99	128	134	7	8	9	9	9	9	9	9	9	7	
1920	129	130	101	101	73	99	89	101	75	61	9	10	10	10	10	10	10	10	10	10	
1930	64	74	75	96	107	88	109	131	135	143	10	10	10	10	10	10	10	10	10	10	
1940	82	105	118	112	114	149	128	111	111	103	10	10	10	10	10	10	10	10	10	10	
1950	110	89	66	96	85	88	68	90	77	50	10	10	10	10	10	10	10	10	10	10	
1960	100	120	104	103	118	106	77	91	118	109	10	10	10	10	10	10	10	10	10	10	
1970	116	112	109								10	10	10								

DISERTACIJOS PRIEDAI

c) likutinė po autoregresinio modeliavimo (RES) chronologija:

Data	indeksai									pavyzdžių kiekis										
	0	1	2	3	4	5	6	7	8	9	0	1	2	3	4	5	6	7	8	9
1870	51	130	105	114	101	95	147	119	94	97	1	1	2	2	2	2	3	3	3	3
1880	111	108	89	82	78	106	109	69	131	90	3	3	3	3	3	3	3	3	3	3
1890	100	98	120	59	90	69	105	115	95	100	3	5	5	5	6	6	6	6	6	6
1900	69	105	105	142	82	104	98	72	95	95	6	6	6	6	6	7	7	7	7	7
1910	88	113	131	71	85	104	122	85	129	117	7	7	8	9	9	9	9	9	9	9
1920	113	112	115	85	72	112	89	104	79	73	9	9	10	10	10	10	10	10	10	10
1930	85	92	88	106	109	86	115	127	120	124	10	10	10	10	10	10	10	10	10	10
1940	58	114	115	104	107	140	102	96	105	94	10	10	10	10	10	10	10	10	10	10
1950	106	79	78	114	87	94	74	108	79	65	10	10	10	10	10	10	10	10	10	10
1960	121	121	94	102	125	100	84	102	116	102	10	10	10	10	10	10	10	10	10	10
1970	113	109	105								10	10	10							

DISERTACIJOS PRIEDAI

**VIII. PRIEDAS.**

Daunorių g - jos (Utenos raj.) aukštapelkės tyrimų barelio *Pinus sylvestris L.* medžių stiebų radialinio prieaugio chronologijos:

a) absoliučių dydžių (ABS) chronologija:

Data	prieaugis 0,01mm									pavyzdžių kiekis										
	0	1	2	3	4	5	6	7	8	9	0	1	2	3	4	5	6	7	8	
1777								111	92	55								1	1	1
1780	72	36	46	62	103	120	136	106	87	39	1	1	1	1	1	1	1	1	1	2
1790	32	30	45	52	62	52	40	36	55	45	2	2	2	2	2	2	2	2	2	2
1800	50	36	67	53	51	41	32	47	54	53	2	2	3	3	4	4	4	4	4	4
1810	50	30	45	57	31	45	47	57	42	41	4	4	4	4	4	4	4	4	4	4
1820	64	15	9	26	57	48	51	60	109	67	4	4	4	4	4	4	4	4	4	4
1830	53	48	36	48	52	67	71	54	45	51	4	4	4	4	4	5	5	5	5	5
1840	90	82	95	72	54	61	59	79	70	67	5	5	5	5	6	6	6	6	6	6
1850	66	97	82	83	75	58	60	55	48	47	6	6	6	6	7	7	7	7	7	7
1860	67	73	93	88	87	90	91	70	58	48	7	7	7	8	8	8	9	9	9	9
1870	51	40	42	37	41	41	45	37	39	29	9	9	9	9	9	9	9	9	9	9
1880	27	31	31	33	39	26	15	12	11	9	9	9	9	9	9	9	9	9	9	9
1890	21	34	43	34	42	34	35	34	53	45	9	9	9	9	9	9	9	9	9	9
1900	32	29	42	52	26	14	13	9	9	11	9	9	9	9	9	9	9	9	9	9
1910	12	23	42	61	70	77	107	53	43	46	9	10	10	10	10	10	10	11	11	11
1920	49	65	69	57	50	44	40	46	32	29	11	11	11	11	11	11	11	11	11	11
1930	29	26	26	39	22	24	24	27	24	30	11	11	11	11	11	11	11	11	11	11
1940	29	50	52	49	43	46	42	34	37	25	11	11	11	11	11	11	11	11	11	11
1950	34	35	24	28	28	41	34	39	39	29	11	11	11	11	11	11	11	11	11	11
1960	26	35	40	34	28	37	36	46	42	48	11	11	11	11	11	11	11	11	11	11
1970	50	37	42	48	51	48	59	51	64	44	11	11	11	11	11	11	11	11	11	11
1980	42	45	57	64	57	47	56	73	40	35	11	11	11	11	11	11	11	11	11	11
1990	39	43																		

b) standartinė indeksų (STD) chronologija:

Data	indeksai									pavyzdžių kiekis										
	0	1	2	3	4	5	6	7	8	9	0	1	2	3	4	5	6	7	8	
1777							163	137	84									1	1	1
1780	110	57	73	99	165	194	222	176	147	79	1	1	1	1	1	1	1	1	1	2
1790	66	61	92	105	130	106	85	75	114	96	2	2	2	2	2	2	2	2	2	2
1800	106	75	92	51	102	85	56	87	115	108	2	2	3	3	4	4	4	4	4	4
1810	94	65	82	106	58	98	96	118	76	78	4	4	4	4	4	4	4	4	4	4
1820	145	32	16	46	85	95	112	139	215	133	4	4	4	4	4	4	4	4	4	4
1830	108	101	62	93	108	109	123	98	75	71	4	4	4	4	4	5	5	5	5	5
1840	144	107	86	73	92	94	103	118	125	124	5	5	5	5	6	6	6	6	6	6

DISERTACIJOS PRIEDAI

	tęsinys, STD chronologija																		
1850	127	161	92	74	92	77	91	108	105	107	6	6	6	7	7	7	7	7	7
1860	146	153	206	167	142	123	119	124	117	96	7	7	7	8	8	8	9	9	9
1870	104	79	97	86	96	93	100	92	103	77	9	9	9	9	9	9	9	9	9
1880	68	76	74	80	97	63	28	11	15	21	9	9	9	9	9	9	9	9	9
1890	41	70	113	77	100	75	73	79	133	106	9	9	9	9	9	9	9	9	9
1900	65	80	132	159	74	26	26	31	22	29	9	9	9	9	9	9	9	9	9
1910	24	42	65	113	164	189	314	148	121	118	9	10	10	10	10	10	10	11	11
1920	133	180	175	163	149	126	123	136	92	82	11	11	11	11	11	11	11	11	11
1930	84	74	73	104	57	63	67	75	63	81	11	11	11	11	11	11	11	11	11
1940	77	124	125	126	113	124	120	97	105	69	11	11	11	11	11	11	11	11	11
1950	96	106	70	75	78	104	89	99	99	76	11	11	11	11	11	11	11	11	11
1960	70	91	102	83	71	87	84	112	98	115	11	11	11	11	11	11	11	11	11
1970	124	90	103	114	118	112	138	121	147	92	11	11	11	11	11	11	11	11	11
1980	97	99	126	137	123	99	118	157	83	71	11	11	11	11	11	11	11	11	11
1990	68	77									11	11							

c) likutinė po autoregresinio modeliavimo (RES) chronologija:

Gr 1 Mg 4+0

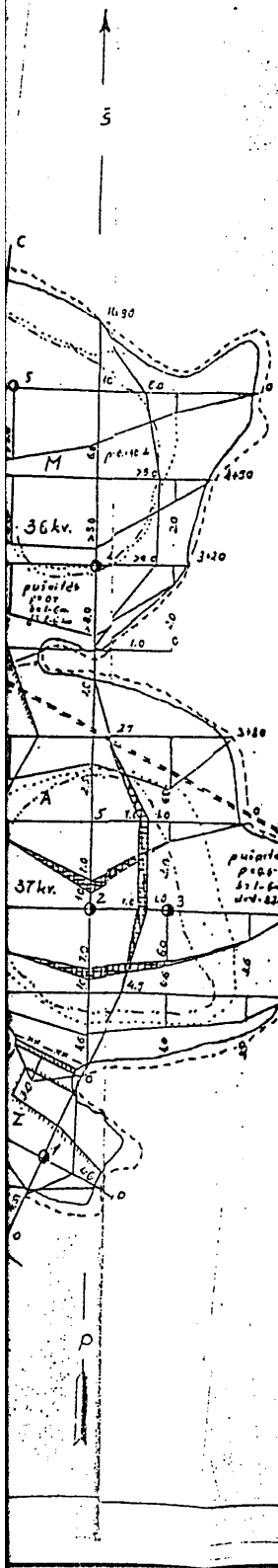
Gr. E.	Klodo struktūra	T %	G %
0		25	0,1
1		40	6,7
2		40	6,2
3		55	7,0
4	□ □ □ □	45	8,3
5	□ □ □ □	45	8,4
6	□ □ □ □	45	6,8
7		40	0,9
8		40	9,0
Vidutinis		40	7,2

Gr 2 Mg 4+0

Gr. E.	Klodo struktūra	T %	G %
0		25	10,7
1		10	16,5
2		10	22,3
3		15	24,4
4		15	4,8
5		15	2,4
6		15	1,9
7		10	1,1
8		10	1,1
9		15	1,5
10		15	1,5
11		30	1,0
12		30	1,0
13		30	1,0
14		30	1,0
15		30	1,0
16		30	1,0
17		30	1,0
18		30	1,0
19		30	1,0
20		30	1,0
21		30	1,0
22		30	1,0
23		30	1,0
24		30	1,0
25		30	1,0
26		30	1,0
27		30	1,0
28		30	1,0
29		30	1,0
30		30	1,0
31		30	1,0
32		30	1,0
33		30	1,0
34		30	1,0
35		30	1,0
36		30	1,0
37		30	1,0
38		30	1,0
39		30	1,0
40		30	1,0
41		30	1,0
42		30	1,0
43		30	1,0
44		30	1,0
45		30	1,0
46		30	1,0
47		30	1,0
48		30	1,0
49		30	1,0
50		30	1,0
51		30	1,0
52		30	1,0
53		30	1,0
54		30	1,0
55		30	1,0
56		30	1,0
57		30	1,0
58		30	1,0
59		30	1,0
60		30	1,0
61		30	1,0
62		30	1,0
63		30	1,0
64		30	1,0
65		30	1,0
66		30	1,0
67		30	1,0
68		30	1,0
69		30	1,0
70		30	1,0
71		30	1,0
72		30	1,0
73		30	1,0
74		30	1,0
75		30	1,0
76		30	1,0
77		30	1,0
78		30	1,0
79		30	1,0
80		30	1,0
81		30	1,0
82		30	1,0
83		30	1,0
84		30	1,0
85		30	1,0
86		30	1,0
87		30	1,0
88		30	1,0
89		30	1,0
90		30	1,0
91		30	1,0
92		30	1,0
93		30	1,0
94		30	1,0
95		30	1,0
96		30	1,0
97		30	1,0
98		30	1,0
99		30	1,0
100		30	1,0
101		30	1,0
102		30	1,0
103		30	1,0
104		30	1,0
105		30	1,0
106		30	1,0
107		30	1,0
108		30	1,0
109		30	1,0
110		30	1,0
111		30	1,0
112		30	1,0
113		30	1,0
114		30	1,0
115		30	1,0
116		30	1,0
117		30	1,0
118		30	1,0
119		30	1,0
120		30	1,0
121		30	1,0
122		30	1,0
123		30	1,0
124		30	1,0
125		30	1,0
126		30	1,0
127		30	1,0
128		30	1,0
129		30	1,0
130		30	1,0
131		30	1,0
132		30	1,0
133		30	1,0
134		30	1,0
135		30	1,0
136		30	1,0
137		30	1,0
138		30	1,0
139		30	1,0
140		30	1,0
141		30	1,0
142		30	1,0
143		30	1,0
144		30	1,0
145		30	1,0
146		30	1,0
147		30	1,0
148		30	1,0
149		30	1,0
150		30	1,0
151		30	1,0
152		30	1,0
153		30	1,0
154		30	1,0
155		30	1,0
156		30	1,0
157		30	1,0
158		30	1,0
159		30	1,0
160		30	1,0
161		30	1,0
162		30	1,0
163		30	1,0
164		30	1,0
165		30	1,0
166		30	1,0
167		30	1,0
168		30	1,0
169		30	1,0
170		30	1,0
171		30	1,0
172		30	1,0
173		30	1,0
174		30	1,0
175		30	1,0
176		30	1,0
177		30	1,0
178		30	1,0
179		30	1,0
180		30	1,0
181		30	1,0
182		30	1,0
183		30	1,0
184		30	1,0
185		30	1,0
186		30	1,0
187		30	1,0
188		30	1,0
189		30	1,0
190		30	1,0
191		30	1,0
192		30	1,0
193		30	1,0
194		30	1,0
195		30	1,0
196		30	1,0
197		30	1,0
198		30	1,0
199		30	1,0
200		30	1,0
201		30	1,0
202		30	1,0
203		30	1,0
204		30	1,0
205		30	1,0
206		30	1,0
207		30	1,0
208		30	1,0
209		30	1,0
210		30	1,0
211		30	1,0
212		30	1,0
213		30	1,0
214		30	1,0
215		30	1,0
216		30	1,0
217		30	1,0
218		30	1,0
219		30	1,0
220		30	1,0
221		30	1,0
222		30	1,0
223		30	1,0
224		30	1,0
225		30	1,0
226		30	1,0
227		30	1,0
228		30	1,0
229		30	1,0
230		30	1,0
231		30	1,0
232		30	1,0
233		30	1,0
234		30	1,0
235		30	1,0
236		30	1,0
237		30	1,0
238		30	1,0
239		30	1,0
240		30	1,0
241		30	1,0
242		30	1,0
243		30	1,0
244		30	1,0
245		30	1,0
246		30	1,0
247		30	1,0
248		30	1,0
249		30	1,0
250		30	1,0
251		30	1,0
252		30	1,0
253		30	1,0
254		30	1,0
255		30	1,0
256		30	1,0
257		30	1,0
258		30	1,0
259		30	1,0
260		30	1,0
261		30	1,0
262		30	1,0
263		30	1,0
264		30	1,0
265		30	1,0
266		30	1,0
267		30	1,0
268		30	1,0
269		30	1,0
270		30	1,0
271		30	1,0
272		30	1,0
273		30	1,0
274		30	1,0
275		30	1,0
276		30	1,0
277		30	1,0
278		30	1,0
279		30	1,0
280		30	1,0
281		30	1,0
282		30	1,0
283		30	1,0
284		30	1,0
285		30	1,0
286		30	1,0
287		30	1,0
288		30	1,0
289		30	1,0
290		30	1,0
291		30	1,0
292		30	1,0
293		30	1,0
294		30	1,0
295		30	1,0
296		30	1,0
297		30	1,0
298		30	1,0
299		30	1,0
300		30	1,0
301		30	1,0
302		30	1,0
303		30	1,0
304		30	1,0
305		30	1,0
306		30	1,0
307		30	1,0
308		30	1,0
309		30	1,0
310		30	1,0
311		30	1,0
312		30	1,0
313		30	1,0
314		30	1,0
315		30	1,0
316		30	1,0
317		30	1,0
318		30	1,0
319		30	1,0
320		30	1,0
321		30	1,0
322		30	1,0
323		30	1,0
324		30	1,0
325		30	1,0
326		30	1,0
327		30	1,0
328		30	1,0
329		30	1,0
330		30	1,0
331		30	1,0

I: I. PRIEDAS.

lio pelkės tyrimų planas



Durpių otsargų kokybinė charakteristika

Sklypy ir durpių otsargų parodinimas plane	Sklypy pavad. plotas ha	Durpių žaliosios išteklinės plotas m <sup>2</sup>	Techninės kokybės rodikliai					
			susiskaidymo %		Peleinių guminų %			
			min.	max.	vid.	min.	max.	vid.
<b>I. Viso durpyno</b>								
1. Bendri geologiniai išteklių atžm. ribos	32,2	3.39	1091.5	10	45	25	0.7	24.4
2. Naudingi išteklių supeleningas gretinimo ilki 38%	32,2	3.39	1091.5	10	45	25	0.7	24.4
<b>II. Naudingi išteklių pagal plototilius</b>								
1. Rukštinių tipo	A	15.2	3.43	521.4	10	40	20	4.1
Tame skaičiuose: a) Kraukinių durpių su susiskaidymo laipsniu mažiau 20%								
2. Mūraus tipo	M	14.1	3.68	518.9	10	30	24	0.7
Tame skaičiuose: a) Kraukinių durpių su susiskaidymo laipsniu mažiau 20%								
3. Zerutinių tipo supeleningas gretinys ilki 30%	Z	2.9	2.25	51.2	35	45	40	6.1
Tame skaičiuose: su peleinių guminų gretinimo ilki 25%								

Eksplikacija

Plotų parodinimas	Plotas ha	Vidut. gytis/m <sup>2</sup>	Žaliosios išteklinės plotas m <sup>2</sup>
1. Pramoninės ribos su 0.7 m gylyje	32.2	3.39	1091.5
2. Pakraštys	4.50		
Viso nulinės ribos	36.7		

Žemės valdytojai:

ABC Dovainių kol.

CBA Kretingos miškų akio Šateikių g-rja, Jonavos dalyje, miško 36 ir 37 L.

Miškų akio ir miško pramonės ministerijo Durpių fondo valdyba

Užpelkių Tyrelio durpynas Plunočių r-nas	Vald. V-kos	Stasiav. v.
	Vald. Vyr. ini	Alaknoriai
Durpių plotas Mastelių horis. 1:5000 vertl. 1:500	Port. V-kos	
	Sudarė	Paukščiai
1959 m.	Kepijavu	Paukščiai
	Inventoriacius Nr. Lopų skaičius - 1.	

Mastelių:  
horizontalus 1cm: 50m.  
vertikalus 1cm: 5m.  
100 100 100 200